

საქართველოს ტექნიკური უნივერსიტეტი
პიდრომეტეროლოგიის ინსტიტუტი

შ090 № IHM-19-42- GTU-CD-5702

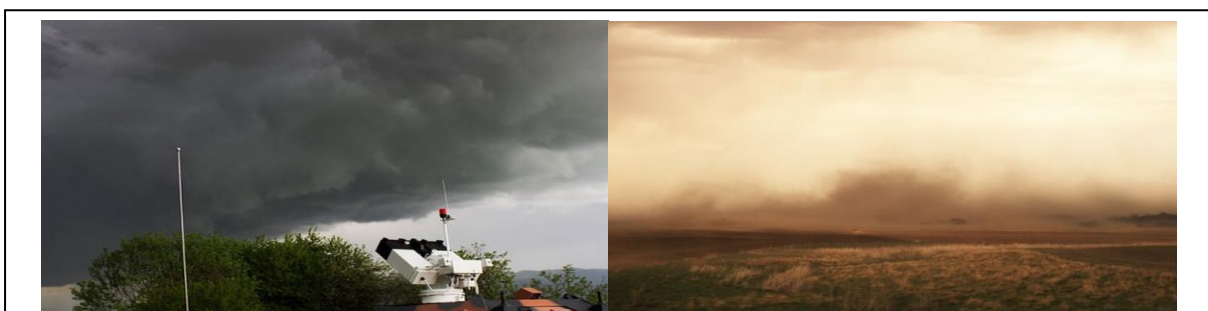
“ გ ა მ ტ კ ი ც ე ბ ”

საქართველოს ტექნიკური უნივერსიტეტის
პიდრომეტეროლოგიის ინსტიტუტის

დირექტორი

თ.ცინცაძე

“ 25 “ დეკემბერი 2019 წ.



აღმოსავლეთ საქართველოს აქტიური ზემოქმედების რეგიონების
ეკონომიკური მძიმე ლითონების ზონური კონცენტრაციების
განსაზღვრა და ურბანიზაციის ცენტრები ეკოლოგიური
მდგრადართობის შეფასება რიცხვითი მოდელირებითა და ნატურული
დაკვირვების საშუალებით

(დასკვნითი ანგარიში)

საქართველოს ტექნიკური უნივერსიტეტის

პიდრომეტეროლოგიის ინსტიტუტის

სამეცნიერო საბჭოს თავჯდომარე

გიორგი მელაძე

საქართველოს ტექნიკური უნივერსიტეტის

პიდრომეტეროლოგიის ინსტიტუტის

ბუნებრივი გარემოს გაჭუჭყიანების მონიტორინგის

და პროგნოზირების განყოფილების გამგე

ლიანა ინწკირველი

პროექტის ხელმძღვანელები: ბუნებრივი გარემოს

გაჭუჭყიანების მონიტორინგის და პროგნოზირების

განყოფილების მთავარი მეცნიერი თანამშრომელები

ლიანა ინწკირველი
ალექსანდრე სურმავა

თბილისი

2 0 1 9

ანგარიშის რეზიუმე

აღმოსავლეთ საქართველოს აქტიური ზემოქმედების რეგიონების ეკოსისტემებში მძიმე ლითონების ფონური კონცენტრაციების განსაზღვრა და ურბანიზაციის ცენტრებში ეპოლოგიური მდგომარეობის შეფასება რიცხვითი მოდელირებითა და ნატურული დაკვირვების საშუალებით

თემის პროგრამით გათვალისწინებული ყველა სამუშაო შესრულებულია.

ანგარიშში აღმოსავლეთ საქართველოში სეტყვის ღრუბლებზე აქტიური ზემოქმედების სამუშაოების განახლებასთან დაკავშირებით შესწავლილია ამ რეგიონის ნიადაგებსა და ზედაპირულ წყლებში ზოგიერთი მძიმე ლითონის (Cu , Pb , Ag) შემცველობები. დადგენილია, რომ მძიმე ლითონების შემცველობა წყალსაცავების წყლებში ნორმის ფარგლებშია და დაბინძურებას ადგილი არ აქვს. ნიადაგებში სპილენძის და ტყვიის შემცველობები ზედა 0-10 სმ-იან ნიადაგის ფენაში გაცილებით მაღალია ქვედა-10-20 სმ ფენასთან შედარებით და ხშირად აღემატება კლარკის შესაბამის მნიშვნელობებს. ვერცხლის შემცველობა კი დაბალია და მერყეობს მეათედი და მეასედი მგ/კგ ფარგლებში.

დამუშავებულია აღმოსავლეთ საქართველოს ცენტრალურ ნაწილში ატმოსფერული პროცესების ეპოლუციისა და მტვრის გავრცელების მათემატიკური მოდელი. განხილულია 4 მეტეოროლოგიური სიტუაცია: ფონური სტაციონალური აღმოსავლეთის, დასავლეთის, ჩრდილოეთისა და სამხრეთის ქარების შემთხვევები. დადგენილია, რომ მტვრი კონცენტრირებულია უშუალოდ დაბინძურების პუნქტის მიდამოებში.

ქალაქებიდან ატმოსფეროში მოხვედრილი მტვრის სივრცეულ განაწილებაზე გარკვეულ გავლენას ახდენს ჰაერის დინებისა და ტურბულენტობის დროში ცვლილება. ჰაერში მტვერი ვრცელდება რეგიონის დიდ ნაწილზე. მიუხედავად ამისა, 0.1 საშუალო დღედამური ზღკ-ზე მეტი კონცენტრაცია მიიღება მხოლოდ ქქ. თბილისისა და რუსთავის უშუალო სიახლოეს. მტვრის გავრცელების ვერტიკალური არე შემოსაზღვრულია ატმოსფეროს სასაზღვრო ფენით, მის ზევით თავისუფალ ატმოსფეროში დამტვრიანება მიღებულია ცალკეული ლაქების სახით.

Report Summary

Determination of background concentrations of heavy metals in ecosystems and estimation the ecological state in the urbanization centers using numerical modeling and natural observations in the regions of active impacts of East Georgia

All activities envisaged by the program was performed.

Report reveals in connection with the resumption of work of active exposure to hail clouds in Eastern Georgia the content of some heavy metals (Cu , Pb , Ag) in the soils and surface waters of this region was studied. It was established that the content of heavy metals in the waters of water bodies is within normal limits. The content of copper and lead in soils is much higher in the 0-10 cm layer than in the 10-20 cm and often exceeds the value of the corresponding Clarke. Silver content is low and it ranges between tenth and hundredths (mg/kg).

A mathematical model of the evolution of atmospheric processes and the spread of dust is processed in the central part of Eastern Georgia. Four meteorological situations are discussed: background stationary east, west, north and south winds cases. It was found that dust is concentrated in the area of the contamination point itself.

The spatial distribution of urban dust in the atmosphere is influenced to a certain extent by the change in time of air flows and turbulence. In the air, dust spreads over a large part of the region. Nevertheless, dust concentrations of more than 0.1 of the MPC were obtained only in the vicinity of the cities - Tbilisi and Rustavi. The vertical area of dust distribution is limited by the boundary layer of the atmosphere, above it in the free atmosphere dust content is obtained only in the form of individual spots.

Резюме отчета

Определение фоновых концентраций тяжелых металлов в экосистемах районов активных воздействий и оценка экологического состояния в центрах урбанизации путем численного моделирования и натурных наблюдений

Все работы, предусмотренные программой темы, выполнены в полном объеме.

В научном отчете в связи с возобновлением работ активных воздействий на градовые облака в Восточной Грузии, изучено содержание некоторых тяжелых металлов (Cu, Pb, Ag) в почвах и поверхностных водах этого региона. Установлено, что содержание тяжелых металлов в водах водоемов находится в пределах нормы. Содержание меди и свинца в 0-10 см слое почвы значительно выше, чем в 10-20 см-ом, и часто превышает значение соответствующего кларка. Содержание серебра незначительно и колеблется в пределах десятичной и сотовой доли мг / кг.

Разработана математическая модель эволюции атмосферных процессов и распространения пыли в центральной части Восточной Грузии. Рассмотрены 4 метеорологические ситуации: случаи фоновых стационарных восточных, западных, северных и южных ветров. Выяснилось, что пыль сконцентрирована непосредственно в области источника загрязнения. Пространственное распределение городской пыли в атмосфере в определенной степени зависит от изменения во времени воздушных потоков и турбулентности. В воздухе пыль распространяется на большую часть региона. Несмотря на это, концентрации пыли более 0,1 ПДК были получены только в окрестностях городов Тбилиси и Рустави. Вертикальная область распространения пыли ограничена пограничным слоем атмосферы, над ним в свободной атмосфере запыленность наблюдается только в виде отдельных пятен.

ეფერატი

ანგარიში შეიცავს: 105 გვერდს, 30 ცხრილს, 79 ნახაზს, 80 ლიტერატურულ წყაროს.

საკვანძო სიტყვები: ფონური კონცენტრაცია, მძიმე ლითონები, ნიადაგები, ზედაპირული წყლები, რიცხვითი ინტეგრირება, სინოპტიკური სიტუაცია, მტვერი, ადვექტიური და ადვექციური გადატანა.

კახეთის რეგიონში სეტყვის დრუბლებზე აქტიური ზემოქმედების სამუშაოების განახლებასთან დაკავშირებით გარემოს ობიექტებში (ნიადაგი, ზედაპირული წყლები) განსაზღვრულია მძიმე მეტალების და ზოგიერთი დამაბინძურებელი ინგრედიენტის კონცენტრაციები. დადგინდია, რომ გრუნტის წყლები ხასიათდება მაღალი მინერალიზაციით. აღინიშნება მთავარი იონების მაღალი შემცველობა. ხელოვნურ წყალსაცავებში კი მხოლოდ ამონიუმის იონის შემცველობა აღემატება ზღვრულად დასაშვებ კონცენტრაციას; მიკრობიოლოგიური თვალსაზრისით სასოფლო-სამეურნეო ჩამონადენი დაბინძურებულია E-coli-ით. მძიმე ლითონების (Cu, Pb, Ag) კონცენტრაცია კი უმნიშვნელოა და მხოლოდ ზოგჯერ აღწევს ან მცირედ აღემატება შესაბამისი ზღვ-ს მნიშვნელობას. განსაკუთრებით დაბალია ვერცხლის იონის შემცველობა, როგორც ზედაპირულ წყლებში, ასევე ნიადაგში.

მოდელირებული და შესწავლილია შიდა და ქვემო ქართლის, სამცხე-ჯავახეთის და მცხეთა-მთიანეთის რეგიონებში ატმოსფერული პროცესების განვითარება და ქალაქებში არსებული მტვრიანობის გავრცელება ზაფხულის სეზონში. განხილულია 4 მეტეოროლოგიური სიტუაცია: ფონური სტაციონალური დასავლეთის, აღმოსავლეთის, ჩრდილოეთის და სამხრეთის ქარების შემთხვევები. მოდელირებისას დაშვებულია, რომ ქალაქების ტერიტორიაზე 2 მეტრის სიმაღლეზე კონცენტრაციის მნიშვნელობები მუდმივია და სიდიდით ტოლია საშუალო წლიური მნიშვნელობის. დადგენილია, რომ მტვერი კონცენტრირდება უშუალოდ დაბინძურების პუნქტის მიდამოებში და დასახლებული პუნქტიდან პორიზონგალური მიმართულები; პაერში მტვერი ვრცელდება რეგიონის დიდ ნაწილზე, დაბინძურების პუნქტიდან 2 - 4 კმ მანძილზე მისი კონცენტრაცია დაახლოებით 10 kg/m^2 მცირდება, ხოლო უფრო დაშორებით 20 - 30 კმ მანძილზე კონცენტრაცია დაახლოებით 10^2 - 10^3 kg/m^2 არის შემცირებული. მიუხედავად ამისა 0.1 ზღვ-ზე მეტი კონცენტრაცია მიღებულია მხოლოდ ქ. თბილისისა და რუსთავის სიახლოესებს. ჩატარებულმა კვლევებმა პასუხი გასცა აღმოსავლეთ საქართველოს მეტეოროლოგიის მრავალ საკითხს. ამასთან წამოაჩინა საკითხები, რომლებიც მოითხოვენ შედგომ დაზუსტებასა და გაუმჯობესობას.

შემსრულებელთა სია

პასუხისმგებელი შემსრულებელი:	სახელი, გვარი	ხელისმოწერა
მთავარი მეცნიერი თანამშრომელი, ფიზ.მათ. მეცნიერებათა დოქტორი	ალექსანდრე სურმავა	
მთავარი მეცნიერი თანამშრომელი, ქიმიის აკადემიური დოქტორი	ნუგზარ ბუაჩიძე	
მთავარი მეცნიერი თანამშრომელი, სოფ/მეურნ აკადემიური დოქტორი	ლალი შავლიაშვილი	
შემსრულებლები:		
1	მთავარი მეცნიერი თანამშრომელი, გეოგრაფიის აკადემიური დოქტორი	ნათელა ქებისაშვილი
2	უფროსი მეცნიერი თანამშრომელი, გეოგრაფიის აკადემიური დოქტორი	ნაზიბროლა ბეგლარაშვილი
3	უფროსი მეცნიერი თანამშრომელი, გეოგრაფიის აკადემიური დოქტორი	მარიამ ტაბატაძე
4	მეცნიერი თანამშრომელი, ქიმიის აკადემიური დოქტორი	გულჩინა კუჭავა
5	მეცნიერი თანამშრომელი, ფიზ.მათ. აკად. ოქტორი	გიორგი კორძახია
6	მეცნიერი თანამშრომელი	ეგატერინე შუბლაძე
7	მეცნიერი თანამშრომელი	სოფიო მდიგანი
8	მეცნიერი თანამშრომელი, გეოგრაფიის აკადემიური დოქტორი	მანანა კაიშაური
9	მეცნიერი თანამშრომელი, ქიმიის აკადემიური დოქტორი	ნათია გიგაური
10	წამყვანი ინჟინერი	მერაბ ხატიაშვილი
11	წამყვანი ინჟინერი	ანა გიორგიშვილი

შინაარსი

1	თავი I. შესაგალი	7
	1.1. აღმოსავლეთ საქართველოს დრუბლებზე აქტიური ზემოქმედების რეგიონში სეტყვის კლიმატური მახასიათებლების კვლევა	7
	1.2. აღმოსავლეთ საქართველოში ჩატარებული სეტყვის საწინააღმდეგო სამუშაოების მოკლე დახასიათება	17
2	თავი II. ღრუბლებზე აქტიური ზემოქმედების რეგიონების ზედაპირულ ფაქტები და ნიაზაბეგში მძიმე ლითონების შემცველობის შეფასება	19
	2.1 აღმოსავლეთსაქართველოსდრუბლებზეაქტიური ზემოქმედებისრეგიონებისპიდროლოგიურიქსელისადანიაღაგებისმოკლედახასიათება	19
	2.2 ქიმიური ანალიზის შედეგები	21
3	თავი III. ძართლის, მცხოვა-მთიანეთის, სამცხე-ჯავახეთის პლიგატისა და ატმოსფეროს დაბინძურების შესრაპლის რიცხვითი მოღელების მოკლედასისიათება	43
	3.1 რეგიონის გეოგრაფიული დახასიათება	43
	3.2 რეგიონის კლიმატის მოკლე დახასიათება	45
	3.3 რეგიონალური და ლოკალური ატმოსფერული და ეკოლოგიური პროცესების რიცხვითი მოდელების მოკლე დახასიათება	47
	3.4 საქართველოს ცენტრალურ ნაწილში მეზომასშტაბის ატმოსფერული პროცესების განვითარების მათგანიკური მოდელი	51
4	თავი IV. შიდა და შვემო ძართლის, მცხოვა-მთიანეთის და სამცხე-ჯავახეთი სრუბინებაში მეზომასშტაბის ატმოსფერული პროცესების და დამტკიციანების მოღელირების შედებები	62
	4.1 პიდროთერმოდინამიკური ველების და მტვრის დროითი და სივრცითი ევოლუცია ფონური აღმოსავლეთის ქარის დროს	62
	4.2 პიდროთერმოდინამიკური ველების და ურბანული მტვრის დროითი და სივრცითი ევოლუცია ფონური დასავლეთის ქარის დროს	73
	4.3 პიდროთერმოდინამიკური ველების და ურბანული მტვრის დროითი და სივრცითი ევოლუცია ფონური სამხრეთის ქარის დროს	85
	4.4 პიდროთერმოდინამიკური ველების და ურბანული მტვრის დროითი და სივრცითი ევოლუცია ფონური ჩრდილოეთის ქარის დროს	91
დასპენა		99
ლიტერატურა (პირველი, მეორე, მესამე და მეოთხე თავები)		101

თავი I. შესავალი

ეკოლოგიურ პრობლემებთან ერთად დღეს მეურნე ადამიანს უაღრესად დიდ ზიანს აყენებს სტიქიური მოვლენები, რომელთაგან სეტყვა ერთ-ერთი უკელაზე ვერაგი მტერია საქართველოს სოფლის მეურნეობისათვის. 25-წლიანი იძულებითი შესვენების შემდეგ 2015 წლის გაზაფხულიდან საქართველოში ამუშავდა ღრუბლებზე აქტიური ზემოქმედების სამსახური, რომელსაც ამჟამად სამსედრო სამეცნიერო-ტექნიკური ცენტრი “დელტა” ხელმძღვანელობს. მოქმედების პრინციპია სეტყვის ღრუბლებზე სარაკეტო სისტემით ზემოქმედება. რაკეტებში განთავსებულია რეაგენტი ვერცხლის იოდიდი, რომლის გაფრქვევა სტარტიდან მე-7 წმ-ზე იწყება. სტარტიდან 41-ე წმ-ზე კი რაკეტა თვითლიკვიდაციას განიცდის.

ბუნებრივია, ისმის კითხვა: რამდენად საშიშია ადამიანის ჯანმრთელობისა და გარემოსათვის რაგებიდან გაფრქვეული რეაგენტი? ან რამდენად აუცილებელია ამ სამსახურის ამოქმედება. სწორედ ამ პრობლემას, კონკრეტულად კი აღმოსავლეთ საქართველოს ეკოსისტემებში (ნიადაგი, ზედაპირული წყლები) მძიმე ლითონების კონცენტრაციების განსაზღვრას ეხება წარმოდგენილი სამეცნიერო პროექტი. კვლევა დაწყებულია 2014 წლიდან. წინამდებარე ანგარიში წარმოადგენს ამ კვლევების მე-2 ნაწილს (პირველი ნაწილი დასრულდა 2016 წელს). მიღებული შედეგები შეიძლება ჩაითვალოს აღმოსავლეთ საქართველო რეგიონის ეკოსისტემებში (ნიადაგი, წყალი) მძიმე ლითონების ფონურ კონცენტრაციებად.

ცნობილია, რომ ატმოსფეროში მიმდინარე პროცესები განაპირობებენ წარმოქმნილი შეწონილი ნაწილაკებისა და მტვრის გავრცელების არეალს, რაც უდაოდ დიდ როლს ასრულებს დამაჭუჭუყიანებელ ნივთიერებათა გადატანა - დალექვის პროცესში. ამ კუთხით სტუ პიდრომეტეოროლოგიის ინსტიტუტში ჩატარებულია კვლევები, რომლებშიც კავკასიაში ატმოსფერული პოცესის განვითარების რეგიონალური მოდელის გამოყენებით და პასიური მინარევის გადატანა - დიფუზიის არასტაციონალური სამგანზომილებიანი განტოლების რიცხვითი ინტეგრირებით, შესწავლილია კახეთის (2014-2016) და შიდა ქართლის (2017-2019) ტერიტორიებზე მტვრის გავრცელება ოთხი ძირითადი სინოპტიკური სიტუაციისა და დაბინძურების სტაციონალური წყაროების შემთხვევებში. ჩატარებულია რიცხვითი ექსპერიმენტები. ექსპერიმენტების მიზანი იყო შესწავლილ რეგიონებში გამოკვლეულიყო ბეტა- და გამა - მეზომასშტაბის ატმოსფერული პროცესების განვითარების პიდროთერმოდინამიკური თავისებურებები და კინემატიკით გამოწვეული ქალაქებში გაბნეული მტვრის კონცენტრაციის სურათები.

ჩატარებულმა კვლევებმა პასუხი გასცა შესწავლილი რეგიონების მეტეოროლოგიის მრავალ საკითხს და წარმოაჩინა საკითხები, რომლებიც მოითხოვენ შემდგომ დაზუსტებასა და გაუმჯობესებას.

1.1 აღმოსავლეთ საქართველოს ღრუბლებზე აქტიური ზემოქმედების რეგიონებში სეტყვის კლიმატური მახასიათებლების კვლევა

საქართველოს მოსახლეობას სეტყვიანობა ოდითგანვე დიდ ზიანს აყენებდა და ბუნებრივია, რომ ამ საკითხის კვლევას დიდი ხნის ისტორია აქვს. შესაბამისად, მრავალრიცხოვანია ამპრობლემისადმი მიძღვნილი ლიტერატურაც. ამ მიმართულებით ჩატარებული კვლევები ფართო სპექტრს მოიცავს, როგორიცაა: სეტყვიანობის კლიმატოლოგია, სეტყვის ჩამოყალიბების მექანიზმი, სეტყვის პროცესებზე ზემოქმედების მეოდოდოლოგია და შედეგები.

უკრადღებას შევაჩერებთ სეტყვის კლიმატური მახასიათებლების მაჩვენებლების პლანაზე, რათა შევაფასოთ და დავასაბუთოთ აღმოსავლეთ საქართველოში მოქმედი სეტყვის საწინააღმდეგო სამუშაოების მართებულობა.

სეტყვა დიდ ზიანს აყენებს ქვეყნების ეკონომიკას და განსაკუთრებით სოფლის მეურნეობას. სეტყვა იმ სტიქიურ მეტეოროლოგიურ მოვლენათა რიცხვს მიეკუთვნება, რომლებიც ქმნიან საგანგებო სიტუაციებს. მათი ექსტრემალურად ანომალური გადახრები ხშირად კატასტროფულ ხასიათს ატარებს და არსებით მატერიალურ ზარალს იწვევს. ამიტომ ამინდის მსგავსი სტიქიური მოვლენებისგან მოსალოდნელი ნებატიური შედეგების პრევენციისთვის მნიშვნელოვანია ამ მოვლენების ექსტრემალური და ანომალური მახასიათებლების ინტენსივობის და განმეორადობის სივრცითი-დროითი განაწილების ცოდნა.

სეტყვა განსაკუთრებით საშიშია იმ რაიონებში, რომლებიც ხასიათდება რელიეფის სირთულით, ზღვის დონიდან დიდი სიმაღლით, ჰაერის მასების მაღალი ტენიანობით, ასევე, დედამიწის ზედაპირის მაღალი ტემპერატურით, რომელიც ხელს უწყობს კონვექციის გაძლიერებას [1].

სეტყვა – სხვადასხვა ზომის, სფეროსებრი ყინულოვანი მასაა, რომლის რადიუსი საშუალოდ 5-დან 25მმ-მდე მერყეობს, იგი შედგება უმთავრესად გამჭვირვალე გულისაგან, რომლის გარშემოც გამჭვირვალე და გაუმჭვირვალე ყინულოვანი ფენები ცვლიან ერთმანეთს. შეტყვა წარმოადგენს ყინულოვან ნალექს, ის წარმოიშობა ჭექა-ქუხილის გროვა-წვიმის ღრუბლების წინა ნაწილში, სადაც ინტენსიურია აღმავალი დენები. აღნიშნულ ღრუბლებში ხდება კონვექციური პროცესების ინტენსიური განვითარება, რომლის დროსაც თბილი ჰაერის აღმავალი დენების სიჩქარე 10გ/წმ-ზე მეტია და ხშირ შემთხვევაში იგი 25-35 მ/წმ-საც აღწევს.

სეტყვის ღრუბლების წარმოშობა ხდება ღრუბლების გადაცივებულ ნაწილში - 0° -იანი იზოთერმას ზემოთ. ამ ზონაში მიმდინარეობს ჩანასახოვან მდგომარეობაში მყოფი გადაცივებული წყლის წვეთების და ყინულის კრისტალების ზრდა, საწყის ფაზაში ეს პროცესი მიმდინარეობს კონდენსაციური და სუბლიმაციური, ხოლო შემდგომ გრავიტაციული კოაგულაციის გზით. მათი დიდ ზომამდე დამსხვილება ხდება წყლის წვეთების მნიშვნელოვანი აკუმულაციის დონეზე, რომელიც განლაგებულია იმ სიმაღლეზე, სადაც შეინიშნება გერტიკალური მიმართულებით აღმავალი ჰაერის ნაკადის მაქსიმალური სიჩქარე (ღრუბლების შეა ნაწილი ან ცოტა მაღლა). რაც უფრო მატულობს ჰაერის გერტიკალური სიჩქარე და ღრუბლების წყლიანობა, მით უფრო ინტენსიურად იზრდება ჩანასახოვანი სეტყვის ზომა. გერტიკალური სიჩქარეც და ღრუბლების წყლიანობაც დამოკიდებულია ღრუბლების სიძლიერეზე, რომლის ზრდითაც მატულობს ორივე ელემენტის მნიშვნელობა.

ხშირ შემთხვევაში, ღრუბლებიდან გამოყოფილი სეტყვის მარცვლები ვარდნის პროცესში გზაშივე დნება და დედამიწაზე მსხვილი წვიმის წვეთების სახით გვევლინება. ეს დამოკიდებულია 0°-იან იზოთერმას განლაგების სიმაღლეზე, ტემპერატურის ვერტიკალური გრადიენტის სიდიდეზე და სეტყვის მარცვლის ზომაზე. ღოგორც გამოკვლევები გვიჩვენებენ, 4 მმ რადიუსის მქონე სეტყვის მარცვალი შეიძლება მთლიანად გადნეს თუ 0°-იანი იზოთერმა განლაგებულია 2-3 კმ სიმაღლეზე, ხოლო 8მმ-იანი რადიუსისთვის - 4-5 კმ-ზე.

სტიქიურ მოვლენებს შორის საქართველოსთვის, მეტ წილად მისი აღმოსავლეთი ნაწილისთვისგანსაკუთრებით საშიში მოვლენაა სეტყვა. ამიტომ სეტყვა უძველესი დროიდან

იპყრობდა მოსახლეობის, ისტორიკოსების და მოგზაურების უურადღებას. ჯერ კიდევ გასული საუკუნის 50-იანი წლებიდან მიმდინარეობდა სეტყვის პროცესების აქტიური თეორიული და ექსპერიმენტული კვლევები. საქართველოში განსაკუთრებით ადსანიშნავია გეოფიზიკის და პიდრომეტეოროლოგიისინსტიტუტებში ჩატარებული სამუშაოები, რის საფუძველზეც შემუშავდა სეტყვის დრუბელზე ზემოქმედების უფაქტური მეთოდები. ეს მეთოდები დაინერგა სეტყვასთან ბრძოლის სპეციალურ სამსახურში, რომელიც სეტყვისგან იცავდა დაახლოებით 1.2 მლნ.ჰა ფართობზე განლაგებულ სასოფლო-სამეურნეო სავარგულებს. აღნიშნული სამუშაოების შედეგად ზარალი შემცირდა დაახლოებით 70-80%-ით. საბჭოთა კავშირის დაშლის შემდეგ, დაუფინანსებლობის გამო, სეტყვასთან ბრძოლის სამუშაოები შეწყდა, თუმცა სეტყვის პრობლემამ აქტუალობა არ დაკარგა. პირიქით, ჩატარებული გამოკვლევების თანახმად, გლობალური დათბობის პირობებში შეინიშნება ამინდის მრავალი ექსტრემალური მოვლენის გააქტიურება, რაც უკვე საგრძნობია საქართველოს ეკოსისტემებისა და ეკონომიკისთვის (გვალვების გახშირება, გაუდაბნოება, მთის მყინვარების დნობა და სხვ.).

პოსტსაბჭოთა პერიოდში დაფიქსირებული ძლიერი სეტყვის და შესაბამისი ზარალის უამრავი მაგალითია ასახული ქვეყნის მასშტაბით, მათ შორის: 2012 წლის 19 ივნისს დამის საათებში სტიქიას ქონდა ადგილი აღმოსავლეთ საქართველოში, თელავის და გურჯაანის რაიონებში. გრიგალურ ქარბორბალას თან ახლდა ძლიერი სეტყვა. დაზიანდა შენობები, მთლიანად განადგურდა მოსავალი; 2012 წლის 10 აპრილს მოსულმა სეტყვამ თელავის, ყვარლის და ახმეტის რაიონები დააზარალა. ყვარლის რაიონში, კუჭატანსა და სანავარდოში მთლიანად განადგურდა მრავალწლიანი ნარგავები [2]; 2014 წლის 2 ივნისს ძლიერმა სეტყვამ გორის მუნიციპალიტეტის ათზე მეტი სოფელი დააზარალა. სტიქიის მასშტაბურობიდან გამომდინარე, ზარალმა რამდენიმე მილიონს გადააჭარბა [3]; სიღნაღის რაიონის სოფლებში 2015 წლის 28 მაისს მოსული სეტყვის სიმაღლემ ზოგიერთ ადგილზე 30 სანტიმეტრს მიაღწია. სეტყვამ რამდენიმე სოფელში მთლიანად გაანადგურა სასოფლო-სამეურნეო კულტურები, ქერის და ხორბლის მოსავალი, რომელიც ორ კვირაში უნდა აედოთ [4]; 2015 წლის 22 ივნისს გვიან დამით მოსულმა სეტყვამ ყვარლის რაიონის სოფლებში. რამდენიმე ასეულ ჰექტარზე ვენახები, საზამთროს ბაღები, სიმინდის ყანები 70–90%-ით გაანადგურა. სეტყვას თან ძლიერი ქარიც ერთვოდა [5]; 2015 წლის 20 აგვისტოს მოსულმა ძლიერმა სეტყვამ ყურძენი 100%-ით გაანადგურა ყვარელსა და მიმდებარე სოფლებში, განადგურდა სიმინდის ყანები და საზამთროს ბაღებიც [6].

სეტყვისგან მიუწებული ზარალის მასშტაბები დამოკიდებულია მოსული სეტყვის მარცვლების სიღრიდეზე. სასოფლო სამეურნეო კულტურებს მნიშვნელოვან ზარალს აუქნებს წვრილი ინტენსიური სეტყვა, თუმცა, განსაკუთრებითსაშია 10-15 მმდიამეტრის მქონე სეტყვის მარცვლები, ხოლო 30-40 მმ და მეტი დიამეტრის მქონე სეტყვის მარცვლებს შეუძლიათ მთლიანად გაანადგუროს ნათესები, დახვრიტოს სახლების სახურავები, დაამსხვრიოს ფანჯრები, დახოცოს შინაური ფრინველი და წვრილფეხა საქონელი. სეტყვიანობისიშვიათ შემთხვევებში, როდესაც სეტყვის მარცვალი იწონის 100-200გ-ს და ქათმის კვერცხის ტოლიცაა, შეუძლია იყოს ადამიანის დაღუპვის მიზეზი. საქართველოსთვის უმეტეს შემთხვევებში დამახასიათებელია წვრილი ინტენსიური სეტყვის მოსვლა - დაახლოებით 70%; სეტყვიანობის განმეორადობა, საშუალო (20-30 მმ) და მსხვილი (30 მმ და მეტი) დიამეტრის მქონე სეტყვის მარცვლებისა, შეადგენს 25-30%-ს. ამასთან, (30-50მმ) დიამეტრის მქონე სეტყვის მარცვლების მოსვლის განმეორადობა საქართველოში შეადგენს 10%-ს, და ბოლოს, სეტყვიანობის შემთხვევათა 4% მოდის 50 მმ და მეტი დიამეტრის მქონე სეტყვის მარცვლების მოსვლა-

ზე. ჩვეულებრივ სეტყვა მოდის გროვა-წვიმის ღრუბლებიდან, თუმცა, ხშირად სეტყვის მოსვლა სხვა სახის ღუბლებიდანაც შეინიშნება, უმეტესად სეტყვის მოსვლა ფიქსირდება დადებითი პაერის ტემპერატურის შემთხვევაში 15-20°C დიაპაზონში, თუმცა, ხშირია სეტყვის მოსვლის შემთხვევები 10-15 და 21-25 °C დიაპაზონშიც. მეტეორსადგურების დაკვირვებათა მონაცემებით, 5°C -ზე ნაკლები და 30°C -ზე მეტი პაერის ტემპერატურისას, სეტყვიანობა იშვიათად გახვდება[7].

**ცხრილი 1.1 საქართველოს ტერიტორიაზე სეტყვის მოსვლის შემთხვევათა
რიცხვი (დღე) დამიყენებული ზარალი (1995-2011 წ.წ)**

წელი	შემთხვევათა რიცხვი (დღე)	ზარალი მლ.ლ.
1995	7	12.7
1996	11	17.0
1997	14	35.0
1998	12	8.5
1999	9	6.9
2000	7	5.8
2001	8	10.4
2002	8	6.8
2003	7	6.0
2004	11	12.5
2005	19	6.9
2006	11	6.2
2007	7	5.0
2008	5	2.9
2009	15	9.5
2010	15	6.9
2011	14	6.2
	180	165.2

სეტყვიან დღეთა სტატისტიკური ანალიზი საქართველოს რეგიონების მიხედვით მოცემულია ცხრ. 1.2.-ში.

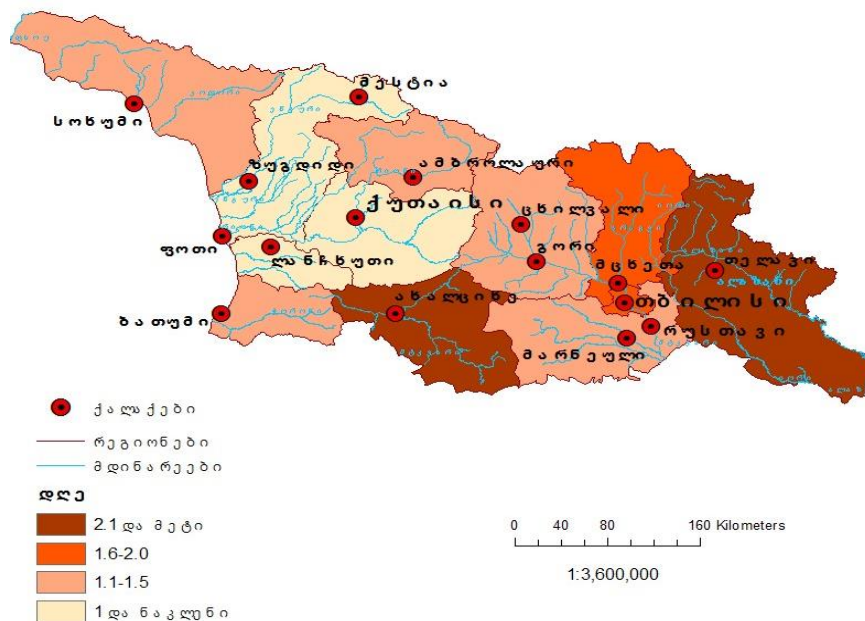
**ცხრილი 1.2. საქართველოს რეგიონებში საშუალო მრავალწლიურ სეტყვიან
დღეთა რაოდენობა 1961-2006 წლების მონაცემებით**

რეგიონი	ფართობი, კმ ²	სეტყვიან დღეთა საშუალო წლიური რაოდენობა
თბილისი	400	1.6
აფხაზეთი	8700	1.48
სამეგრელო-ზემო სვანეთი	7400	0.82
რაჭა-ლეჩხუმი ქვ. სვანეთი	2500	1.22
იმერეთი	6600	0.94
გურია	2000	0.55
აჭარა	2900	1.35

სამცხე-ჯავახეთი	6400	2.11
შიდა ქართლი	3400	1.32
ქვემო ქართლი	6900	1.31
მცხეთა-მთიანეთი	6700	1.76
კახეთი	12200	2.29

ამ ცხრილის ანალიზმა გამოავლინა, რომ საშუალო მრავალწლიურ სეტყვიან დღეთა რიცხვის მაქსიმალურ გაოდენობით გამოირჩევა კახეთი.

ცხრ.1.2-ის სტატისტიკურ ანალიზზე დაყრდნობით მ.ფიფიას მიერ შეიქმნა სეტყვიან დღეთა საშუალო წლიური რაოდენობის გეოინფორმაციული რუკა საქართველოს რეგიონებისთვის, მათი მუნიციპალური საზღვრების ფარგლებში (ნახ. 1.1).



ნახ.1.1 სეტყვიან დღეთა საშუალო რაოდენობის წლიური განაწილება საქართველოს ტერიტორიაზე რეგიონების მიხედვით.

ცხრ.1.3-ში მოყვანილია ძლიერი სეტყვის შემთხვევები, როდესაც განსაკუთრებით დიდი ფართობები დაზიანდა კახეთში.

ცხრილი 1.3. ძლიერი სეტყვის შემთხვევები კახეთის რეგიონში (1877-2012წწ)

წელი	ოვე	რიცხვი	დაზიანებული ფართობი, კმ ²	დაზარალებული ტერიტორიები, უდიდესი ინტენსიურობის ცენტრი
1877	ივლისი	4	60	გურჯაანი, ვეჯინი, ბაკურციხე
1953	ივნისი	19	45	საგარეჯო
1978	მაისი	28	129	სიღნაღი
1982	მაისი	20	34	გურჯაანი, დედოფლისწყარო
1986	მაისი	21	30	გურჯაანი, რუისპირი
1987	მაისი	9	121	უდაბნო, ნუპრიანი

1987	მაისი	12	42	ნაფარეული
1987	ივნისი	4	18	გავაზი
2012	ივლისი	19	35	თელავი

ცხრ.1.4-ში მოცემულია 100% დაზიანებული ტერიტორიის შესახებ ინფორმაცია და შესაბამისი ზარალი სეტყვიანობის ზოგიერთი შემთხვევისას საქართველოში, ჩანს, რომ ყველაზე მეტად მნიშვნელოვან ტერიტორიაზე სეტყვიანობა აღინიშნება კახეთში, ძირითადად ალაზნის გაკეზე და ცივ-გომბორის ქედზე. ამასთან, იგი საკმაოდ მნიშვნელოვან ზარალს იწვევს, რომელიც იანგარიშება რამდენიმე ათეული მილიონი აშშ დოლარით.

ცხრილი 1.4. სეტყვიანობის ზოგიერთი შემთხვევისას 100% დაზიანებული ტერიტორიები დაშესაბამისი ზარალი

წელი	ოვე	რიცხვი	ფართობი, კმ ²	ზარალი მლნ. აშშ დოლარი	რაიონი (ყველაზე დიდი ინტენსივობის ცენტრი)
1978	V	28	129	21.552	კახეთი (სიღნაღი)
1982	V	20	34	7.370	კახეთი (გურჯაანი, დედოფლისწყარო)
1982	VII	5	72	9.360	სამხრეთ-საქართველოს მთიანეთი (ახალქალაქი)
1986	V	21	30	5.840	კახეთი (რუსპირი, გურჯაანი)
1987	V	9	121	26.0	კახეთი (უდაბნო, ნუკრიანი)
1987	V	12	42	9.130	კახეთი (ნაფარეული)
1987	VI	4	18	3.810	კახეთი (გავაზი)
2012	VII	19	35	30.150	კახეთი (თელავი)

სეტყვიანობის ერთ-ერთ მნიშვნელოვან მახასიათებელს წარმოადგენს სეტყვიან დღეთა რაოდენობა. სეტყვიან დღეთა რაოდენობის განაწილება მეტწილად დამოკიდებულია მის ფიზიკურ-გეოგრაფიულ პირობებზე, განსაკუთრებით ოროგრაფიასა და ზღვის სიახლოვეზე. როგორი მეტეოროლოგიური, კერძოდ, კონვექციური პროცესების განვითარებაზე დიდ გავლენას ახდენს მთები, ზეგნები და მაღლობები. მთიან და მაღალმთიან რაიონებში, წინააღმდეგობის დაძლევისას ჰაერის მიწისპირა შრეებში ძლიერდება ტურბულენტულობა და იზრდება კონვექციური დრუბლიანობა, ყველაფერი ეს გავლენას ახდენს სეტყვიან დღეთა რაოდენობის განაწილების სასიათზე, რაც კარგად იყო ნაჩვენები გამოკვლევებში, რომელიც წარმოდგენილია ცხრ. 1.5-ის სახით [8].

ცხრილი 1.5. სეტყვიან დღეთა რაოდენობა და სეტყვის მოსვლის პერიოდები (თვე)

რეგიონი	დაპვირვებათა კუნქტები	სიმაღლე ზ.დ.(მ)	საშუალო დღეთა რაოდენობა (წლიური)	უდიდეს დღეთა რაოდენობა (წლიური)	სეტყვის მოსვლის პერიოდები (თვეები)
კახეთი	თელავი	568	2.8	7	III-XI
	საგარეჯო	802	2.6	5	III-X

ცხრ.1.5-დან ნათლად ჩანს, რომ ადგილის სიმაღლის მატებასთან ერთად იზრდება სეტყვიან დღეთა რაოდენობა. სეტყვიანობის ზრდა გრძელდება 2500-2800 მ-მდე, ხოლო შემდეგ მცირდება. თუმცა, სეტყვიან დღეთა ცვლილება სიმაღლის ცვლილებასთან მიმართებაში, დამოკიდებულია კონკრეტული რაიონის კლიმატურ თავისებურებებსა და სხვა ფაქტორებზე.

მონაცემთა ანალიზები აჩვენებს რომ კახეთში ხშირად სეტყვის 54-76% გრძელდება 10 წელი, გამონაკლისია დედოფლისწყარო, სადაც ამ ხანგრძივობის, სეტყვის მხოლოდ 36%-ია (ცხრ.1.6).

ცხრილი 1.6. კახეთის რეგიონში სეტყვის ხანგრძლივობისა და დღედამის განმავლობაში მოსვლის (საათები) ალბათობა (%)

სადგური	ხანგრძლივობა, წთ				დღედამის საათები		
	10	11-20	21-30	30 და მეტი	21-06	06-12	12-21
	%				%		
ახმეტა	54	37	9	-	9	3	88
თელავი	76	20	4	-	14	10	76
გურჯაანი	74	26	-	-	2	2	96
ქვარელი	67	21	12	-	14	8	78
სიღნაღი	69	23	2	6	4	2	94
საგარეჯო	74	20	2	4	6	8	86
ედოფლისწყარო	36	47	10	7	3	-	97

მე-1.6. ცხრილიდან ირკვევა, რომ სეტყვის მოსვლის უდიდესი ალბათობა დღედამის განმავლობაში 12-21 სთ ინტერვალშია და შეადგენს 76-97%. უმცირესი კი 06-12 სთ ინტერვალშია (0-10%), რაც აიხსნება ატმოსფეროს არასაქმარისი გათბობით დღედამის ამ პერიოდისთვის და კონგექციური დენების არარსებობით.

სეტყვის მოსვლის ხანგრძივობა ერთ პერიოდში შეადგენს 3-5 წუთს და სეტყვის წარმომქმნელი ღრუბლები გადადგილდება საშუალოდ 20-30 კმ/სთ სიჩქარით [9].

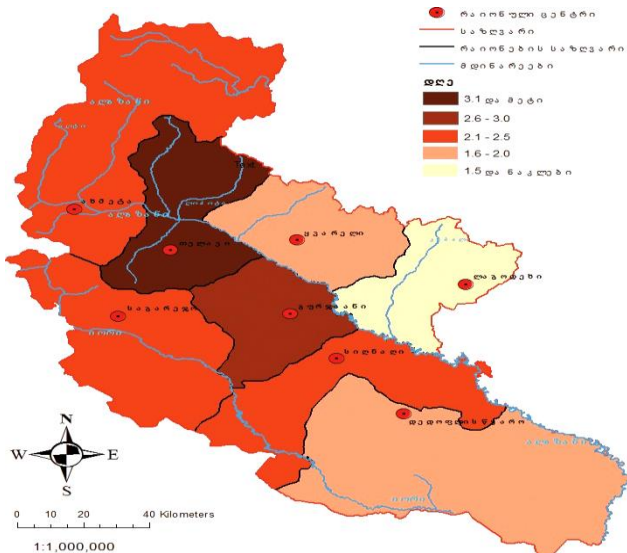
ცხრ.1.7.-ში წარმოდგენილია სეტყვიან დღეთა საშუალო და უდიდესი რაოდენობა წლის განმავლობაში კახეთის რეგიონის მუნიციპალიტეტებისათვის.

**ცხრილი 1.7. სეტყვიან დღეთა რაოდენობა კახეთის რეგიონში წლის განმავლობაში
(1967-2004)**

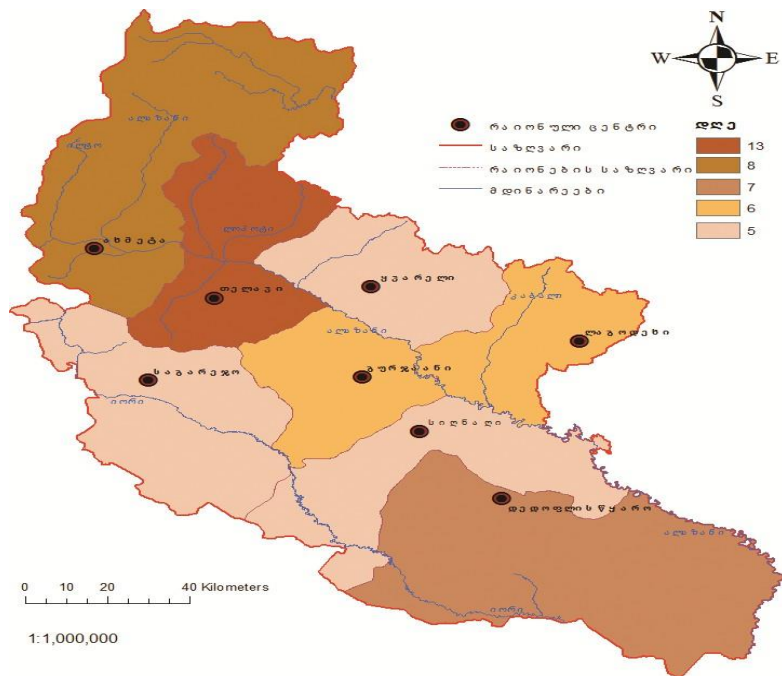
რაიონი	სიმაღლე ზ.დ., მ	სეტყვიან დღეთა საშუალო რაოდენობა	სეტყვიან დღეთა უდიდესი რაოდენობა
ახმეტა	567	2.5	8
გურჯაანი	451	3.0	6
დედოფლისწყარო	800	1.7	7
თელავი	562	3.2	13
ლაგოდეხი	435	1.2	6
საგარეჯო	802	2.5	5
სიღნაღი	790	2.4	5
ყვარელი	448	1.7	5

როგორც ცხრილიდან 1.7. ჩანს, სეტყვიან დღეთა ყველაზე ნაკლები საშუალო რაოდენობა დაფიქსირებულია ლაგოდეხის რაიონში. აქ სეტყვიან დღეთა საშუალო რაოდენობა არ აღემატება 1.2-ს. ხოლო ყველაზე მეტი სეტყვიან დღეთა საშუალო რაოდენობა აღინიშნება თელავის რაიონში და შეადგენს 3.2-ს. უდიდეს სეტყვიან დღეთა მაქსიმალური რაოდენობა აღინიშნება აგრეთვე თელავის რაიონში და შეადგენს 13 დღეს.

მგ-7 ცხრილის მონაცემების საფუძველზე კახეთისათვის შედგენილია სეტყვიან დღეთა საშუალო და უდიდესი რაოდენობის გეოინფორმაციული რუკები მუნიციპალური რაიონების საზღვრების ფარგლებში (ნახ. 1.2; 1.3) [10].



ნახ. 1.2. სეტყვიან დღეთა საშუალო წლიური რაოდენობის განაწილება კახეთის რაიონების მიხედვით [10].

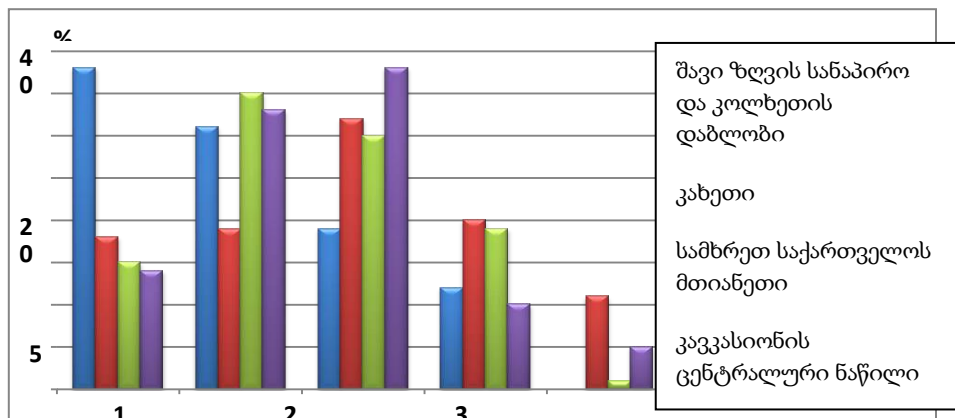


ნახ. 1.3. სეტყვიან დღეთა უდიდესი წლიური რაოდენობის განაწილება კახეთის რაიონების მიხედვით [10].

1.2 ნახაზიდან ჩანს, რომ სეტყვის პროცესები ყველაზე აქტიურია თელავის რაიონში, სადაც სეტყვიან დღეთა რაოდენობა წელიწადის განმავლობაში საშუალოდ აღემატება 3-ს. გურჯაანის რაიონში სეტყვიან დღეთა რაოდენობა რამდენადმე ნაკლებია (2.6-3.0), ახმეტის, საგარეჯოსა და სიღნაღის რაიონებში კი მათი რაოდენობა შეადგენს 2.1-2.5-ს, ყვარლისა და დედოფლისწყაროს რაიონებში - 1.6-2.0-ს, ხოლო ლაგოდეხის რაიონში რაოდენობა 1.5-ზე ნაკლებია.

ნახ.1.3-ის თანახმად, წლის განმავლობაში სეტყვიან დღეთა უდიდესი რაოდენობა თელავის რაიონშია და შეადგენს 13-ს, ახმეტის რაიონში 8-ს, დედოფლისწყაროს რაიონში 7-ს, გურჯაანისა და ლაგოდეხის რაიონებში 6-ს, ხოლო სიღნაღის, საგარეჯოსა და ყვარლის რაიონებში მათი რაოდენობა არ აღემატება 5-ს.

ნახ.1.4-ზე წარმოდგენილია სეტყვის სხვადასხვა ინტენსივობის განმეორების პისტოგრამა საქართველოს სხვადასხვა ფიზიკურ-გეოგრაფიულ პირობებში



ნახ.1.4. სეტყვიანობის სხვადასხვა ინტენსივობის განმეორებადობა რაიონების მიხედვით.

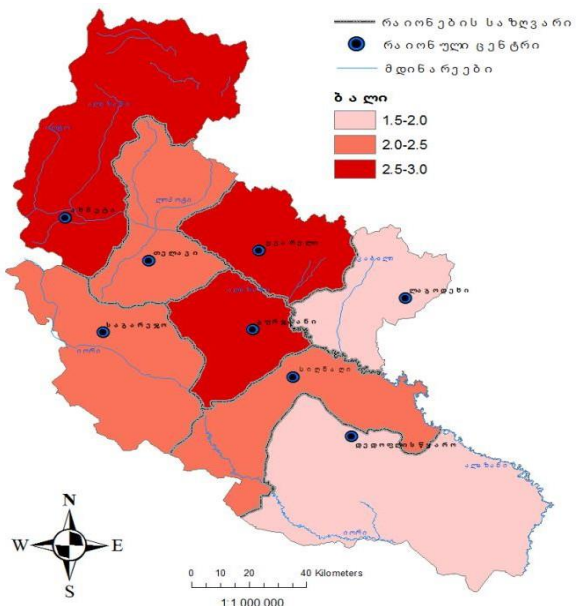
კახეთის რეგიონისთვის შეფასებულია სეტყვის საშუალო და მაქსიმალური ინტენსივობები 1983-1991 წლების მონაცემების მიხედვით, რომელიც წარმოდგენილია ცხრ.1.8 [10].

ცხრილი 1.8. კახეთის რეგიონში სეტყვის საშუალო და მაქსიმალური ინტენსივობა რაიონების მიხედვით

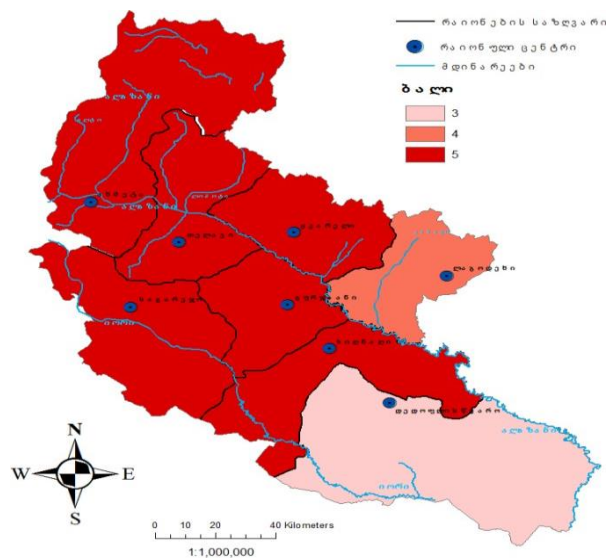
რაიონები	საშუალო ინტენსივობა (ბალი)	მაქსიმალური ინტენსივობა (ბალი)
ახმეტა	2.6	5
თელავი	2.0	5
საგარეჯო	2.2	5
გურჯაანი	2.5	5
დედოფლისწყარო	1.6	3
ლაგოდეხი	1.7	4
ყვარელი	2.8	5
სიღნაძი	2.3	5

ცხრილი 1.8-დან კარგად ჩანს, რომ კახეთის რეგიონში სეტყვის შედარებით დაბალი ინტენსივობა მხოლოდ დედოფლისწყაროსა და ლაგოდეხის რაიონებში ფიქსირდება, საშუალოდ 1.6 და 1.7 ბალი, ხოლო კახეთის დანარჩენ რაიონებში სეტყვის საშუალო ინტენსივობა 2-3 ბალის ფარგლებშია, ასეთივე მდგომარეობაა სეტყვის მაქსიმალური ინტენსივობის შემთხვევაში, კახეთის რეგიონის ყველა რაიონში, გარდა დედოფლისწყაროსა და ლაგოდეხის რაიონებისა ფიქსირდება სეტყვის ინტენსივობის მაქსიმუმი - 5 ბალი, რაც ასევე მოსალოდნელი იყო.

ცხრილი 1.8-ზე დაყრდნობით შედგენილ იქნა კახეთის რეგიონის რაიონების მიხედვით სეტყვის საშუალო და მაქსიმალური ინტენსივობის გეოინფორმაციული რუკები (ნახ. 1.5. და 1.6)



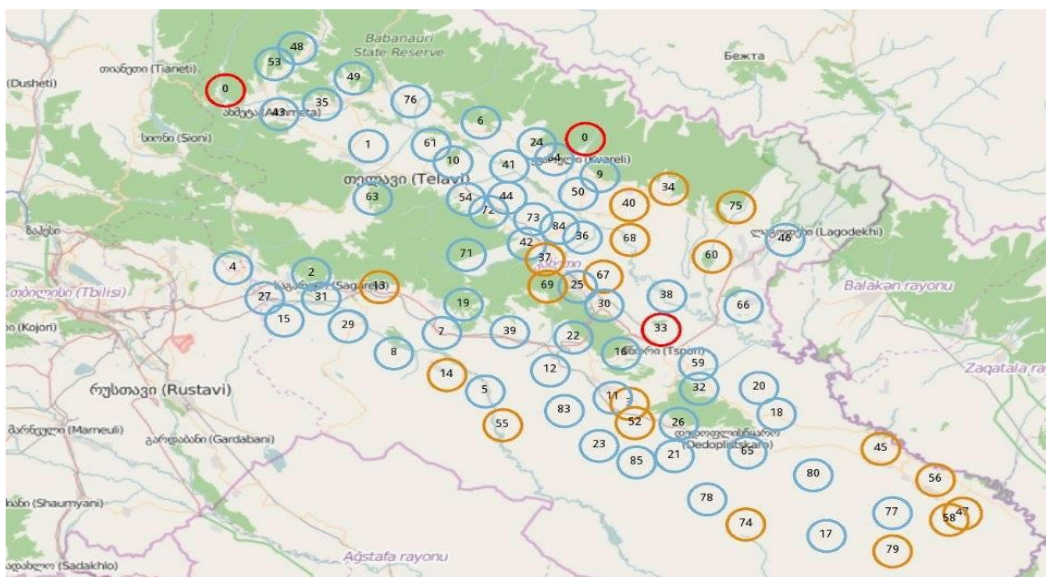
ნახ.1.5 კახეთის რეგიონის სეტყვის საშუალო ინტენსივობა რაიონების მიხედვით [10].



ნახ.1.6. კახეთის რეგიონის სეტყვის მაქსიმალური ინტენსივობა რაიონების მიხედვით [10].

1.2 აღმოსავლეთ საქართველოში ჩატარებული სეტყვის საწინააღმდეგო სამუშაოების მოქლე დახასიათება

კახეთში 2015 წელს დაიწყო და კვლავ გრძელდება სეტყვის დრუბლებზე აქტიური ზემოქმედების სამუშაოები. საანგარიშო პერიოდში (2017-2019წწ.) სეტყვისგან დასაცავი ტერიტორიის ფართობი არ შეცვლილა და შეადგინა 800 ათასი ჰა, მათ შორის სასოფლო-სამეურნეო სავარგულების ფართობია 565 ათასი ჰა, ანუ მთლიანი ფართობის 70%-ზე მეტი. დასაცავ ტერიტორიაზე განლაგებული სეტყვის საწინააღმდეგო რაკეტების გამშვები დანადგარების საერთო რაოდენობაა 83, მათი განლაგების სქემა მოცემულია ნახ.1.7-ზე [11].



ნახ.1.7. სეტყვის საწინააღმდეგო რაკეტების გამშვები დანადგარების განლაგების სქემა

საანგარიშო პერიოდში გამოყენებული რეაგენტის შედგენილობა ასეთია:

- აქტიური ნაერთი ანუ შერეული რეაგენტის რეაქტიული საწვავი-400 გრ-ია;
- აქედან უშუალოდ ვერცხლის იოდიდი შეადგენს - 50–70 გრ-ს;
- 2017 და 2018 წლებში დახარჯული რაკეტების რაოდენობამ შეადგინა-3790, ხოლო 2019 წელს - 4 440.

რაკეტების ძირითადი ნაწილი (დაახლოებით 75%) დაიხარჯა გურჯაანის, თელავის, ახმეტის, დადოფლისწყაროს და სიღნაღის რაიონებში (ნახ.1.8) [11].



ნახ.1.8. სეტყვისაგან დასაცავი ტერიტორია კახეთის მხარეში

სეტყვის დრუბლებზე აქტიური ზემოქმედების პარალელურად გრძელდებოდა კახეთის რეგიონში გარემოს ობიექტებში (ნიადაგი, წყალი) ზოგიერთი მძიმე ლითონის (Cu,Pb,Ag) შემცველობის კონტროლი. ამასთან ერთად გასათვალისწინებელია, რომ კახეთი სოფლის მეურნეობის ძირითადი რეგიონია, სადაც ინტენსიურად გამოიყენება მინერალური სასუქები და შესაძიმიყატები, ამასთან, ნიადაგის ნაყოფიერების შენარჩუნებისათვის საკვები ელემენტების ანაზღაურება ხდება სხვადასხვა სასუქის შეტანით. მათთან ერთად ნიადაგში შეიტანება მრავალი ტოქსიკური ნივთიერება. ასე მაგალითად, მინერალური სასუქების სისტემატიურად გამოყენებისას ნიადაგის დაბინძურება ხდება შემდეგი მძიმე მეტალებით: ტყვიით, კადმიუმით, დარიშხანით, ვერცხლიწყლით, სპილენძით, ქრომით, თუთიით, რაც გარკვეულ საშიშროებას უქმნის ადამიანებისა და ცხოველების ჯანმრთელობას. აქედან გამომდინარე მძიმე ლითონების შემცველობის კონტროლს გარემოს ობიექტებში აქვს დიდი პრაქტიკული მნიშვნელობა. ჩვენი კალევის თემატიკიდან გამომდინარე ვაკონტროლებდით სპილენძის, ტყვიისა და ვერცხლის შემცველობას ნიადაგებსა და ზედაპირულ წყლებში.

საანგარიშო პერიოდში ჩატარებული ახალიზების შედეგები მოცემულია მე-2 თავში და დასკვნებში. აქ აღნიშნავთ მხოლოდ, რომ მძიმე ლითონების, მათ შორის ვერცხლის, კონცენტრაციები ზედაპირულ წყლებში უმნიშვნელოდ და არც ერთ შემთხვევაში არ აჭარბებს შესაბამისი ზღჯ-ს მნიშვნელობას. ნიადაგში კი მძიმე ლითონებიდან პრიორიტეტული დამაბინძურებელია სპილენძი, თუთია და ტყვია. ვერცხლის კონცენტრაცია ნიადაგის ნიმუშებში დაფიქსირდა მხოლოდ კვალური მინარევის დონეზე.

თავი II. ღრუბლებზე აქციური ზემოქმედების რეგიონების ზედაპირულ ფაქტება და ნიაღაბები მაიმე ლითონების შემცველობის შეფასება

2.1. აღმოსავლეთ საქართველოს ღრუბლებზე აქტიური ზემოქმედების რეგიონების ჰიდროლოგიური ქსელისა და ნიაღაბების მოკლე დახსასიათება

გარემოს დაბინძურება უნდა გავიგოთ, როგორც არასასურველი მოვლენა, რომლის შედეგად გარემოში ისეთი რაოდენობით ხვდება უცხო, მავნე ნივთიერებები, რომ იცვლება მისი ფონური კონცენტრაცია. გარემოს დაბინძურება არღვევს ბუნებრივი პროცესების ჩვეულებრივ მიმდინარეობას, რის გამოც ცოცხალ ორგანიზმებს არსებობა-განვითარებისთვის ექმნებათ არახელსაყრელი პირობები და/ან დისკომფორტი.

კახეთი სოფლის მეურნეობის ძირითად რეგიონია, სადაც ინტენსურად გამოიყენება მინერალური სასუქები და შხამქიმიკატები. ნიაღაბის ნაყოფიერების შენარჩუნებისათვის საკვები ელემენტების ანაზღაურება ხდება სხვადასხვა სასუქების შეტანით, მათთან ერთად ნიაღაგში მრავალი ტოქსიკური ნივთიერებაც შეიტანება. ასე მაგალითად, ფოსფორიანი სასუქების სისტემატურად მაღალი ნორმებით გამოყენებისას ისინი ანაგვიანებენ ნიაღაგს მძიმე მეტალებით-ტყვიით, კადმიუმით, დარიშხანით, ვერცხლისწყლით, სპილენძით, ქრომით, თუთიით, აგრეთვე რადიოაქტიური ელემენტებით სტრონციუმით, ურანით, რადიუმით და თორიუმით, რაც დიდ საშიშროებას უქმნის ადამიანისა და ცხოველთა ჯანმრთელობას. კალიუმიანი სასუქების უმრავლესობა იწვევს გარემოს დაბინძურებას ქლორით, ნატრიუმით და მნიშვნელოვანი რაოდენობით დარიშხანით და მძიმე მეტალებით ტყვიით, თუთიით, ქრომით და ვერცხლისწყლით [1].

გამოყენებული სასუქების 50 და პესტიციდების 90% იფანტება გარემოში და იწვევს ეკოსისტემების დაბინძურებას [2]. გამოყენებულ პესტიციდებში წამყვანი ადგილი შაბიამანს, კუპრაზანს, კუპერვალს, იროკოს, ციანიდებს და სხვ. უკავიათ. მათი უმეტესობის ძირითადი შემადგენელი კომპონენტი სპილენძია, რომელიც ხვდება ჰაერში, წყალში, საკვებ პროდუქტებში და ადამიანის ორგანიზმში.

სპილენძი ჭარბი რაოდენობით ცოცხალ ორგანიზმში მაღალი ტოქსიკურობით ხასიათდება და აქტიურად რეაგირებს ამინომჟავებთან და ცილებთან, წარმოქმნის მდგრად კომპლექსებს, რითაც არღვევს ფერმენტების კატალიზურ ფუნქციას. გარდა ამისა, ზრდის მიზოქონდოების მემბრანის განვლადობას, შლის ერთოვციტებს, იწვევს ნერვული სისტემის, ღვიძლის, თირკმელების დისფუნქციას, ასუსტებს ორგანიზმის იმუნიტეტს, მოქმედებს პირის ღრუსლორწოვან გარსზე, იწვევს გასტრიტებს [3].

ტყვია იწვევს ცვლილებას ნერვულ სისტემაში, სისხლში და ქსოვილებში. აქტიურად მოქმედებს ცილების სინთეზზე, უჯრედის ენერგეტიკულ ბალანსზე და მის გენეტიკურ აპარატზე. ძირითადად გროვდება თირკმელში, თმებში, ცენტრალურ ნერვულ სისტემაში. მისი მაღალი შემცველობა არღვევს იმ რეაციებს, რომლის დროსაც გემოგლობინი წაროიშვება. ტყვიის ორგანული ნაერთები ტეტრაეთილ და ტეტრამეთილ ტყვია იწვევს უძილობას, კრუნჩხვებს და პერიფერიულ ნერვოზებს [3].

ტყვიის გაზრდითი კონცენტრაციები გარდა ავტოტრანსპორტის გამონაბოლქვი აირებისა შესაძლებელია გამოწვეული იყოს რეგიონის ეკოსისტემებში ღრუბლებზე აქტიური ზემოქმედების გავლენით (რეაგენტი - PbI₂), რომელიც ინტენსურად გამოიყენებოდა კახეთის რეგიონში გასული საუკუნის 60-90-იან წლებში, 1990 წლის შემდეგ აღნიშნული სამუშაოები შეწყდა [2; 4]. 2015 წლიდან კახეთში განახლდა სეტინის საწინააღმდეგო სამუშაოები, სადაც რეაგენტად ტყვიის იოდიდი (PbI₂) აღარ გამოიყენება, ამჟამად ამ სამუშაოებში გამოიყენება ვერცხლის იოდიდი (AgI). ამიტომ ჩვენს მიერ დაგეგმილია სხვადასხვა ეკოსისტემაში სხვა ელემენტებთან ერთად, ვერცხლის კონცენტრაციების განსაზღვრა.

ვერცხლის ჭარბი შემცველობა, ისე როგორც სპილენძი და ტყვია, მაგნეა როგორც გარემოს ობიექტებისათვის, ისე ადამიანის ორგანიზმისათვის.

შოველივე ზემოთქმულიდან ნათლად ჩანს, თუ რაოდენ აქტუალური და საჭიროა მძიმე ლითონების შემცველობის ცოდნა სხვადასხვა ეკოსისტემაში. ამიტომ, ჩევნი კვლევის მიზანს შეადგენდა დაგვედგინა ზოგიერთი ნორმირებული, პრიორიტეტული ელემენტის შემცველობა კახეთის რეგიონის ნიადაგებსა და ზედაპირულ წყლებში.

ნორმირებული ნივთიერებების გავლენით იცვლება ნიადაგის ბუნება, მისი ქიმიური და ბიოლოგიური თვისებები, დეგრადირდება მიკროფლორა და ნელდება მცენარის განვითარება. ცოცხალ ორგანიზმებში აკუმულირების შემდეგ ისინი ხვდებიან ნივთიერებათა ცვლის ბიოქიმიურ ჯაჭვში.

მაგნე ნივთიერებებით ნიადაგის დაბინძურების ხარისხის დასადგენად ნორმირებული ელემენტების შემცველობას ადარებენ ზღვრულად დასაშვებ კონცენტრაციას, კლარკს ან ფონურ მნიშვნელობებს. ამავე დროს, გასათვალისწინებელია ის გარემოებაც, რომ ფიტოტოქსიკური ზემოქმედება ნორმირებული სხნადი (მოძრავი) ფორმებით არის განპირობებული. სწორედ ამიტომ ჩვენს მიერ კვლევის ობიექტად არჩეულია ახეთი, საქართველოში სოფლის მეურნეობის ძირითადი რეგიონი, სადაც ინტენსიურად მიმდინარეობს სასოფლო-სამეურნეო სამუშაოები და სადაც 5 წელია განახლდა სეტყვის დრუბლებზე აქტიური ზემოქმედების სამუშაოები, რომელთა მიმდინარეობის დროს, როგორც უკვე აღვნიშნეთ, რეაგენტად გამოიყენება ვერცხლის იოდიდი (AgI) [4]. ეს სამუშაოები აღნიშნული რეაგენტით დაიწყო 2015 წელს. სოფლის მეურნეობის სამინისტროს მონაცემების მიხედვით ეს არის წარმატებული პროექტი და ის გაგრძელდება მრავალი წლის განმავლობაში. ამიტომ ნიადაგის ნიმუშებსა და წყლის სინჯებში ჩვენს მიერ განსაზღვრული ვერცხლის კონცენტრაციები შეიძლება მივიჩნიოთ ფონურ მნიშვნელობებად, რაც მეტად მეტად მნიშვნელოვანია შემდგომი კვლევებისათვის.

ამ ფაქტიდან გამომდინარე მიზანშეწონილად მივიჩნიეთ კახეთის რეგიონში ჩაგვეტარებინა ზედაპირული წყლებისა და ნიადაგების ქიმიური ანალიზი, მათში დამაბინძურებელ ნივთიერებათა კონცენტრაციების განსაზღვრის მიზნით. განსაკუთრებულ ყურადღებას კივაჭცევდით ამ ეკოსისტემებში მძიმე ლითონების შემცველობას.

შესწავლილია კახეთის რეგიონის ნიადაგების და ზედაპირული წყლები, ნიმუშების აღება ხდებოდა წელიწადში ორჯერ: აქტიური ზემოქმედების და არაზემოქმედების პერიოდებში მონიტორინგის ჩატარებით სიღნადისა და გურჯანის მუნიციპალიტეტებში 2017-2019 წლებში. ზედაპირული წყლებისა და გრუნტის წყლის სინჯების აღების ადგილები შერჩეულია სიღნადის მუნიციპალიტეტის სოფ. ძველი ანაგის ტერიტორიის მდელოს დამლაშებულ ნიადაგებზე, ხოლო გურჯანის მუნიციპალიტეტში - მდელოს ყავისფერ ნიადაგებზე განთავსებული ხელოვნური წყალსაცავი.

დამლაშებული ნიადაგების დამახასიათებელია ცუდი ფიზიკური, წყლოვანი, ჰაეროვანი თვისებები და საქმაოდ მაღალი ტუბე რეაქცია. დამლაშებული ნიადაგები აერთიანებენ ორ ჯგუფს:

1. ბიც-ბიცნარ (მლაშობები) და 2. ბიცობ-ბიცობნარ ნიადაგებს [5].

დამლაშებული ნიადაგების რელიეფი წარმოდგენილია მთათაშორის დეპრესიებით, ალუვიური ვაკეების, დახშული ტბებისა და ნატბეურების ელემენტებით. ბიციანი ნიადაგები ძირითადად განვითარებულია დეპრესიული ახალგაზრდა რელიეფის ელემენტებზე, ხოლო ბიცობიანი - შედარებით ძველი შემაღლებული რელიეფის პირობებში. ნიადაგწარმომქნევლი ქანები წარმოდგენილია ალუვიური, პროლუვიურ-დელუვიური, დამლაშებული ნაფენებით და დამლაშებული თიხებით. ბუნებრივი მცენარეული საფარი წარმოდგენილია ვეგიანებით, აგშნიანებით, აგშნიან-ყარლანინი და ურო-აგშნიანი ფორმაციებით.

ბიცი და ბიცნარი ნიადაგები, ჰიდროლოგიური პირობების მიხედვით, იყოფიან ჰიდრომორფულ (გრუნტის წყალი 1,5-3 მ-მდე) და ავტომორფულ ნიადაგებად (გრუნტის წყალი ღრმადაა - 10 მ-მდე).

ბიცი და ბიცნარი ნიადაგები ხასიათდებიან მძიმე მექანიკური შედგენილობით. მიეკუთვნებიან თიხებს. შთანთქმულ კათიონებში ჭარბობს კალციუმი. ჰუმურის შემცველობა დაბალია. ეს ნიადაგები ადვილადხსნად მარილებს განსხვავებული რაოდენობით შეიცავს. ბიცებში

ადგილად ხსნადი მარილების შემცველობა ზედა ფენიებში 1,76 – 3,18 % შეადგენს, სიღრმეში კი - 3,5 - 3,6 % აღწევს. ბიცები ადგილად ხსნადი მარილებს შეიცავს ზედაპირიდანვე, ბიცნარები - ქვედა ფენების სხვადასხვა სიღრმიდან.

მელიორაციული დონის მიებებიდან ძირითადი ქიმიური მელიორაციაა, რისთვისაც იყენებენ თაბაშირს, ფოსფორთაბაშირს, კალციუმის ქლორიდს და სხვ. მოთაბაშირებას თხოულობენ ისეთი ნიადაგები, რომლებშიც შთანთქმული ნატრიუმის შემცველობა > 10 %-ზე.

მდელოს-ყავისფერი ნიადაგებისთვის დამახასიათებელია მძლავრი პროფილი, გალებების ნიშნები და მძიმე მექანიკური შედგენილობა [5]. მდელოს-ყავისფერი ნიადაგების საერთო ფართობი შეადგენს 1,9 % (130 400 ჰა). ეს ნიადაგები გავრცელებულია ქვემო და ზერო ქართლში, კახეთში (ალაზნის მარჯვენა ნაპირი) და მესხეთში. მდელოს-ყავისფერი ნიადაგებს უკავია რელიეფის დეპრესიული ნაწილები. ნიადაგწარმომქმნელი ქანები წარმოდგენილია მძიმე მექანიკური შედგენილობის ალუვიური და დელუვიურ-პროლუვიური ნალექებით, რომელთა სიღრმე ზოგჯერ 100 მ აღწევს. კლიმატი ზომიერად თბილია. საშუალო წლიური ტემპერატურა შეადგენს 9,9 – 10,6°C. ნალექების საშუალო წლიური რაოდენობა 464 – 512 მმ ფარგლებში მერყეობს.

მდელოს-ყავისფერი ნიადაგები ხასიათდება სუსტი ტუტე ან ტუტე რეაქციით, ღრმა ჰუმუსირებით, ჰუმუსის ფულვატურ-ჰუმატური ტიპით, ზედაპირიდანვე კარბონატულობით, შთანთქმული ფუძეების დაბალი ჯამით, ძირითადი უანგელების თანაბარი განაწილებით. ნიადაგები მიეკუთვნება მსუბუქ და საშუალო თიხებს.

სიღნაღის მუნიციპალიტეტში - სოფ. ძველი ანაგის ტერიტორიაზე შევარჩიეთ ხელოვნური წყალსაცავების (ძველი და ახალი, სადაც ხდება სხვადასხვა ჯიშის თევზების მოშენება-კარპი, ბრტყელშუბლა, ალაზნის ლოქო და სხვა), სასოფლო-სამეურნეო ჩამონადენის და გრუნტის წყლის სინჯების აღების აღგილები. სინჯების აღება მოხდა შემდეგი წერტილებიდან: ახალი წყალსაცავი, ძველი წყალსაცავი, სასოფლო-სამეურნეო ჩამონადენი, ქვემო ალაზნის სარწყავი არხის წყალი და გრუნტის წყალი. ქვემო ალაზნის სარწყავი არხის წყალი ზამთრის თვეებში იკეტება, ამიტომ სინჯის აღება ვერ მოხერხდა. ძველი და ახალი წყალსაცავები ივსება ქვემო ალაზნის სარწყავი არხის წყლით, რომელიც მარაგდება მდ.ალაზნის წყლით.

შერჩეული წყალსაცავების გარშემო 20 მ-ის დაცილებით სხვადასხვა ადგილებიდან მოხდა ნიადაგის ნიმუშების აღება 0-10, 10-20, 20-40, 40-60, 60-80 და 80-100 სმ სიღრმეზე.

ანალოგიური სამუშაოები ჩატარდა გურჯანის მუნიციპალიტეტში. შერჩეულ იქნა ხელოვნური წყალსაცავი სოფ.ახაშნის ტერიტორიაზე, სადაც ხდება კალმახის მოშენება. წყალსაცავი ივსება ალექსანდრეს წყაროს წყლით. წყალსაცავიდან 20 მ-ს დაცილებით მოხდა ნიადაგის ნიმუშების აღება იგივე სიღრმეებზე.

აღებულ ნიადაგის ნიმუშებში (0-10 და 10-20 სმ სიღრმეზე) და ზედაპირული წყლების წყლის სინჯებში განისაზღვრა ზოგიერთი მძიმე ლითონი (Cu, Pb, Ag) თანამედროვე ISO (METHOD 3051A, 2007) მეთოდით პლაზმურ-ემისიური სპექტროფორომეტრის ICP-OES საშუალებით.

სხვა დაგეგმილი ამოცანების თანამედროვე დონეზე შესასრულებლად გამოყენებული იქნება სტანდარტების საერთაშორისო ორგანიზაციის (The International Organization for Standards) მიერ შემუშავებულილ სტანდარტები-ISO 17025, კერძოდ [6-14]:

2.2 ქიმიური ანალიზის შედეგები

ანალიზის შედეგები (2017წ.) წარმოდგენილია ცხრ. 2.1-ში. როგორც ცხრილი 1-დან ჩანს წყალსაცავების წყლის pH ოდნავ ტუტეა, მერყეობს 8,12-8,42 ფარგლებში. ბუნებრივი წყლების ერთერთი ძირითადი მაჩვენებელი არის pH, რომელიც ბუნებრივი თუ ანთოროპოგნული ფაქტორების მიხედვით საკმაოდ ცვლადია იგი განსაზღვრავს უანგვა-ალდგენით პოტენციალს და მასზეა დამოკიდებული წყლის თვითგაწმენდის უნარი [2].

ცხრილი 2.1. ალაზნის ველის ზედაპირული წყლების, გრუნტის წყლისა და სასოფლო-სამეურნეო ჩამონადენის ფიზიკურ-ქიმიური და ჰიდროქიმიური ანალიზის შედეგები, თებერვალი, 2017

№	აზომილი ინგრედიენტები	ზღვა	სიღნადი, სოფ.ქველიანაგა				გურჯაანი
			ახალი წყალსაცავი	ქველიწყალსა ცავი	რუნტის წყალი	სასოფლო- სამეურნეო ჩამონადენი	
1	ტემპერატურა, ^{0C}		6.2	6.3	6.5	7.0	6.8
2	სუნი, ბალი		0	0	0	0	0
3	გამჭირვალობა, სმ		11	10	12	11	10
4	pH	6.5- 8.5	8.22	8.21	6.58	8.12	8.42
5	კარბონატი, მგ/ლ		3.0	3.3	-	2.9	3.1
6	ნატრიორეანგი, მგ/ლ		-	-	0.88	-	-
7	ჰიდროკარბონატები, მგ/ლ		217.16	146.40	746.6	113.2	155.4
8	სიხისტე, მგ/ლ		3.92	4.22	11.53	5.24	3.22
9	ამონიუმი, მგN/ლ	0.39	0.562	0.684	-	0.496	0.368
10	კალციუმი, მგ/ლ	180	55.78	55.40	131.4	65.46	51.23
11	მაგნიუმი, მგ/ლ		13.78	17.69	60.5	15.61	14.12
12	ელექტროგამტარობა, მა, msms/cm		999	887	6030	520.2	645.3
13	გასხნილი ფანგბადი, მგ/ლ		6.95	6.01	-	8.5	9.1
14	ჟემა, მგ/ლ	6.0	4.25	5.75	-	6.0	5.46
15	ნიტრიტი, მგN/ლ	1.0	<0.001	<0.001	0.267	1.223	0.562
16	ნიტრატი, მგN/ლ	10.0	0.003	0.006	-	0.025	0.014
17	ფოსფატი, მგ/ლ	3.5	0.063	0.020	-	0.124	0.095
18	ფტორი, მგ/ლ		0.107	0.133	1.229	0.111	0.075
19	ბრომი, მგ/ლ		0.328	0.135	-	0.325	0.124
20	სულფატები, მგ/ლ	500	396.26	606.59	3160.8	324.62	415.34
21	ქლორიდები, მგ/ლ	350	41.95	40.83	528.9	37.94	35.61
22	ნატრიუმი, მგ/ლ	200	64.0	280.0	580.0	46.5	36.5
23	კალიუმი, მგ/ლ		2.6	4.5	2.7	2.1	1.9
24	მინერალიზაცია, მგ/ლ		791.55	1051.2	5212.3	599.55	678.45
25	სპილენდი, მგ/ლ	1.0	0.0058	0.0044	0.0042	0.0041	0.0029
26	ტყვია, მგ/ლ	0.03	0.0016	0.0036	0.0024	0.0069	0.0017
27	ვერცხლი, მგ/ლ	0.05	0.0006	0.0006	0.0003	0.0003	0.0002

მინერალიზაცია ახალ წყალსაცავში შეადგენს 791,55 მგ/ლ, ხოლო ძველში - 1051,2 მგ/ლ. გასხნილი ნივთიერებების მიხედვით (მგ/ლ-ით) წყალსაცავები მიეკუთვნებიან ზომიერ (500-1000 მგ/ლ) და მაღალ (>1000-ზე) მინერალიზაციის მქონე წყლებს [2]. ხოლო სასოფლო-სამეურნეო ჩამონადენის მინერალიზაცია გაცილებით ნაკლებია და ტოლია 599,55 მგ/ლ.

გურჯაანის წყალსაცავის წყალში წყლის მინერალიზაცია სიღნადის რაონის წყლებთან შედარებით ნაკლებია, 2017 წლის მონაცემებით მინერალიზაცია შეადგენს 678,45 მგ/ლ-ს.

რაც შეეხება გრუნტის წყლებს, მისი მინერალიზაცია გაცილებით მეტია ყველა წყალსაცავის მინერალიზაციაზე (5212,3 მგ/ლ) და ის მიეკუთვნება მაღალ მინერალიზირებულ წყლებს. ამავე დროს აღსანიშნავია ის ფაქტიც, რომ აღაზნის ველზე გრუნტის წყალი ამოსულია მაღლა 1,5-2,5 მ-მდე და შესაძლებელია მათი შედინება წყალსაცავის წყლებში. აღინიშნება ნატრიუმის, ქლორისა და სულფატების იონების მაღალი შემცველობა, რაც იმის მაჩვენებელია, რომ წყალსაცავები გაშენებულია დამლაშებულ ნიადაგებზე.

ბიოგენური ნივთიერებებიდან მხოლოდ ამონიუმის იონების კონცენტრაციები აღემატებიან შესაბამის ზღვრულად დასაშვებ კონცენტრაციას და აღნიშნულ წყლებში მერყეობს 0,368-0,684 მგ/ლ-ს ფარგლებში. ამავე დროს შეინიშნება ტენდენცია, რომ ამონიუმის იონები უფრო მეტი რაოდენობით არის ძველ წყალსაცავში, ვიდრე ახალში, ხოლო გურჯაანის წყალსაცავში არ აღემატება ზღვრულად დასაშვებ კონცენტრაციას.

წყლის დაბინძურების შედეგად იცვლება მისი ფიზიკური თვისებები (ფერი, სუნი, სიმდგრივე), ქიმიური შედგენილობა (ორგანული და ბიოგენური ნივთიერებები, მმიმე ლითონები და სხვ), მიკროფლორა. წყლის ბაქტერიოლოგიურ სისუფთავეს ავასებენ ნაწლავის ჩიორების (E-coli) რაოდენობით 1 ლიტრ წყალში. კოლი ინდექსის მაღალი მნიშვნელობა წყლის ფერალური დაბინძურების მაჩვენებელია. ცხრ.2.2-ში მოცემულია მიკრობიოლოგიური ანალიზის შედეგები, საიდანაც ჩანს, რომ ძველი წყალსაცავის წყალი დაბინძურებულია და E-coli-ი შეადგენს 1,4 ზდკს, ხოლო სასოფლო-სამეურნეო ჩამონადენში შედარებით უფრო მაღალია და შეადგენს 2 ზდკს.

ცხრილი 2.2. წყალსაცავების, გრუნტის წყლის და სასოფლო-სამეურნეო ჩამონადენის მიკრობიოლოგიური ანალიზის შედეგები, თებერვალი, 2017წ.

გაზომილი ინგრედიენტები	ზღვა	სიღნაღი, სოფ.ძველიანაგა				გურჯაანი სოფ.ახაშნის ელოგნური წყალსაცავი
		ახალი წყალსაცავი	ძველი წყალსაცავი	გრუნტის წყალი	სასოფლო- სამეურნეო ჩამონადენი	
ტოტალური კოლიფორმები	1 ლგ ³ -ში	8 000	9 000	5 200	10 200	6 000
E-coli	1 ლგ ³ -ში	5 000	7 000	3 400	9.800	4 500
ფერალური სტრეპტოპოდები	1 ლგ ³ -ში	600	750	540	850	340

ცხრილი 2.3. ალაზნისველისზედაპირული წყლების, გრუნტის წყლის, სასოფლო-სამეურნეო ჩამონადენისა და ქვემო ალაზნის სარწყავი არხის ფიზიკურ-ქიმიური და ჰიდროქიმიური ანალიზის შედეგები, აგვისტო, 2017წ.

№	დასახელება	ზღვა	სიღნაღი, სოფ.ძველიანაგა					გურჯაანი სოფ.ახაშნის ხელიკნერი წყალსაცავი	
			ახალი წყალსაცავი, შესახელებითან	ხალი წყალსაცავი, შესახებ	ძველი წყალსაცავი	სასოფლო-სამეურნეო ჩამონადენი	ძველ ალაზნის სარწყავი არხი		
1	ტემპერატურა, °C		22.0	22.5	22.8	22.5	22.1	23.0	23.5
2	გამჭირვალობა, სმ		10	10	9	8	9	11	10
3	pH	6.5-8.5	8.02	8.12	7.45	7.22	8.05	7.51	7.50
4	ელექტროგამტარობა, $\mu\text{Sms}/\text{cm}$		522	543	602	612	341	11522	521
5	მინერალიზაცია, მგ/ლ		582.4	595.12	584.14	522.08	299.13	12958.0	487.30
6	კარბონატი, მგ/ლ		1.23	1.35	-	-	-	-	-
7	ნახშირორფანგი, მგ/ლ		-	-	2.2	1.45	2.09	6.34	1.33
8	მარილიანობა, ppt		0.31	0.33	0.29	0.38	0.20	1.89	0.20
9	სიხისტე, მგ/ლ		3.32	4.02	3.17	2.81	2.29	20.22	4.64
10	ამონიუმი, მგN/ლ	0.39	0.735	0.746	0,654	0,555	0,439	0.624	0,435
11	ნიტრიტი, მგN/ლ	1.0	0.125	0.132	0.251	0.116	0.114	<0.001	0.111
12	ნიტრატი, მგN/ლ	10.0	1.423	2.025	1.025	1.412	2.025	0.061	2.489
13	ფოსფატი, მგ/ლ	3.5	0.122	0.178	0.161	0.142	0.099	<0.001	0.088

ცხრილი 2.3-ის გაგრძელება									
14	სულფატები, მგ/ლ	500	322.21	333.82	299.89	311.25	39.48	1365.87	74.20
15	ქლორიდები, მგ/ლ	350	40.21	45.01	22.78	19.45	11.08	297.24	11.05
16	ფტორი, მგ/ლ		0.148	0.111	0.147	0.147	0.088	1.105	0.127
17	ჰიდროკარბონატები, მგ/ლ		181.5	192.24	174.12	180.22	129.0	253.76	314.08
18	კლორები, მგ/ლ		1.1	2.1	1.1	1.4	1.1	6.0	1.3
19	ნატრიუმი, მგ/ლ	200	45.6	40.9	15.5	31.5	8.5	350.0	20.5
20	კალციუმი, მგ/ლ	180	74.12	74.38	69.11	85.41	36.04	295.22	69.15
21	მაგნიუმი, მგ/ლ		15.14	17.15	16.45	18.07	9.48	66.08	19.21
22	სილიციუმება, მგ/ლ		9.5	10.2	10.1	9.2	8.1	11.5	9.5
23	სპილენი, მგ/ლ	1.0	0.0122	0.0133	0.0147	0.0163	0.0146	0.0220	0.0135
24	ტუვია, მგ/ლ	0.03	0.0068	0.0089	0.0079	0.0064	0.0055	0.0012	0.0022
25	გრიცელი, მგ/ლ	0.05	0.0002	0.0002	0.0001	0.0002	0.0001	0.0001	0.0002

ცხრილი 2.4. ალაზნის ველის ზედაპირული წყლებისა და გრუნტის წყლის მიკრობიოლოგიური ანალიზის შედეგები. აგვისტო, 2017წ.

განსაზღვრული ინგრედიენტები	ერთეული	სიღნაღი, სოფ. ველისანაგა						გურჯანი
		ახალი წყალსაცავი, შესასვლელთან	ახალი წყალსაცავი, შეაში	ძველი წყალსაცავი	სასოფლოსა მეურნეობაზონადები	ქვემო ალაზნის სარწყავი არხი	გრუნტის წყალი	
ტოტალურიკორდინირებული მენტი	1დგ³-ში	8000	9500	9500	7500	8500	7000	7500
E-coli	1დგ³-ში	7000	6500	4000	6500	3500	6200	3500
ფერადურისტრეაქტორები	1დგ³-ში	550	650	400	550	250	350	450

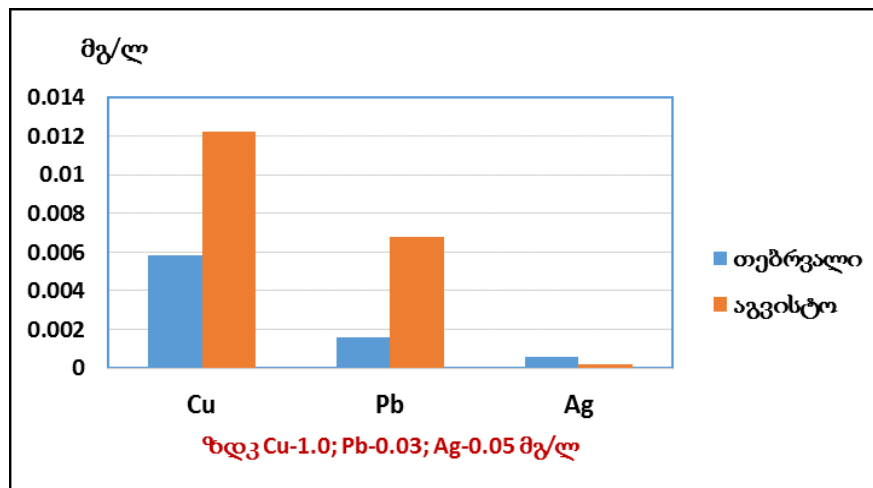
როგორც 2.1 და 2.3 ცხრილებიდან ჩანს:

- წყალსაცავების წყლები მიეკუთვნებიან საშუალოდ მინერალიზირებულ წყალსაცავების კატეგორიას.
- გრუნტის წყლები ხასიათდებიან მაღალი მინერალიზაციით და მიეკუთვნებიან მაღალი მინერალიზაციის მქონე წყლებს; აღინიშნება ნატრიუმის, ქლორისა და სულფატების იონების მაღალი შემცველობა, რაც იმის მაჩვენებელია, რომ წყალსაცავები გაშენებულია დამლაშებულ ნიადაგებზე (სიღნაღის მუნიციპალიტეტში).
- სიღნაღის რაიონის სოფ. ანაგის და გურჯანის რაიონის სოფ. ახაშინის ტერიტორიაზე არსებულ ხელოვნურ წყალსაცავებში ბიოგენური ნივთიერებებიდან მხოლოდ მონიუმის იონების კონცენტრაციები აღემატებიან ზღვრულად დასაშვებ მნიშვნელობებს, ამავე დროს არის ტენდენცია, რომ მათი რაოდენობა ძველ წყალსაცავებში მეტია ახალ წყალსაცავებთან შედარებით.
- მიკრობიოლოგიური თვალსაზრისით სასოფლო-სამეურნეო ჩამონადენი დაბინძურებულია E-coli-ით (ცხრ. 2.2 და 24).
- მძიმე ლითონების კონცენტრაცია უმნიშვნელოა, დაფიქსირებულია ნორმის ფარგლებში და არ ხდება ამ ლითონებით წყალსაცავების დაბინძურება.

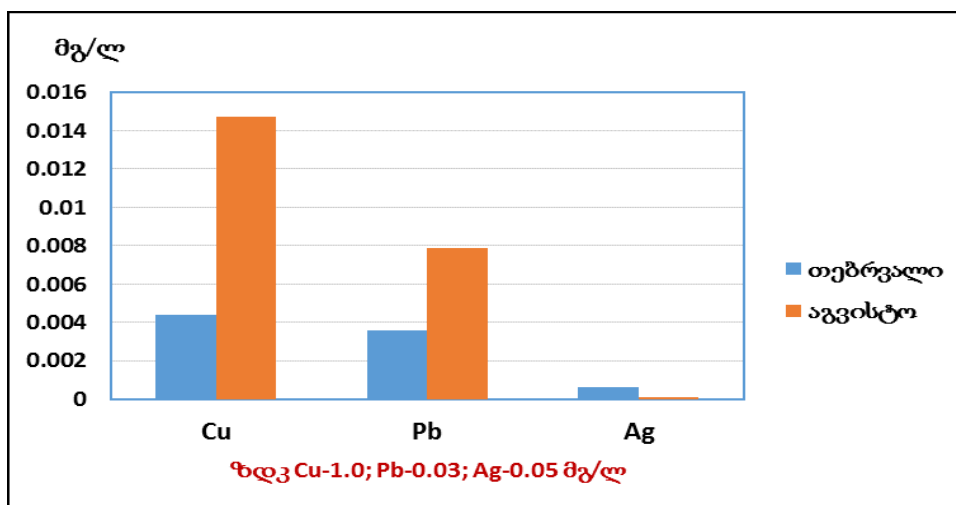
ცხრ. 2.5 და ნახ. 2.1-2.3 მოცემულია მძიმე ლითონების შემცველობა წყალსაცავების წყლებში. როგორც მონაცემებიდან ჩანს, ისინი ნორმის ფარგლებში დაფიქსირდა და ამ მხრივ დაბინძურებას არა აქვს ადგილი (ცხრ. 2.5, ნახ. 2.1-2.3).

ცხრილი 2.5. სიღნაღისა და გურჯანის რაიონების ზედაპირულ წყლებში მძიმე ლითონების შემცველობა

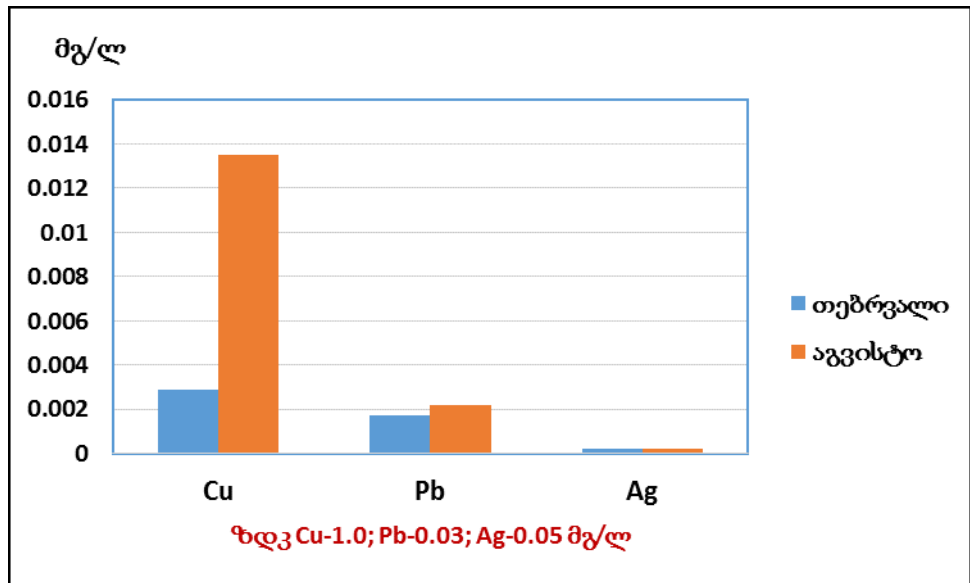
ნიმუშის აღების დრო	ინგრედიენტები	ერთეული	ქვემო აღაზნის სარწყავი არხი	სოფ. ძველი ანაგა, ახალი წყალსაცავი	სოფ. ძველი ანაგა, ძველი წყალსაცავი	სოფ. ახაზნის ხელოვნური წყალსაცავი
02.2017	სპილენდი	მგ/ლ		0.0058	0.0044	0.0029
	ტყვია			0.0016	0.0036	0.0017
	ვერცხლი			0.0006	0.0006	0.0002
08.2017	სპილენდი	მგ/ლ	0.0146	0.0122	0.0147	0.0135
	ტყვია		0.0055	0.0068	0.0079	0.0022
	ვერცხლი		0.0002	0.0002	0.0001	0.0002



ნახ. 2.1. სიღნაღის რაიონის სოფ. ძველიანაგის ახალი წყალსაცავის ნიმუშებში მძიმე ლითონების შემცველობა (2017).



ნახ. 2.2. სიღნაღის რაიონის სოფ. ძველიანაგის ძველი წყალსაცავის ნიმუშებში მძიმე ლითონების შემცველობა (2017).



ნახ. 3.3. გურჯაანის რაიონის სოფ. ახაშენის წყალსაცავის ნიმუშებში მძიმე ლითონებისშემცველობა (2017).

ნიადაგის ნიმუშებში ჰუმუსისა და საკვები ელემეტების (N, P, K) შესათვისებელი ფორმების განსაზღვრა ძველი ანაგისა და სოფ.ახაშენის ნიადაგის ნიმუშებში 0-20, 20-40, 40-60 სმ სიღრმეზე. ცხრ. 2.6-ში მოცემულია ჰუმუსისა და N, P, K-ს მიღებული შედეგები.

ცხრილი 2.6. ძველი ანაგის და სოფ.ახაშენის ნიადაგებში ჰუმუსისა და საკვები ელემენტების შესათვისებელი ფორმების განსაზღვრის შედეგები (02.2017)

ნიადაგისდასახელება	სიღრმე, სმ	ჰუმუსი %	შესათვისებელი მგ/100გ		პიდროლიზური N მგ/100გ
			P ₂ O ₅	K ₂ O	
სოფ. ძველიანაგა	0-20	2.36	2.2	50.0	4.6
	20-40	1.46	1.8	43.0	4.0
	40-60	1.11	1.2	30.0	3.8
სოფ.ახაშენი	0-20	3.20	3.5	47.8	5.6
	20-40	2.50	3.2	45.0	4.8
	40-60	1.50	1.4	34.0	4.2

ცხრ. 2.6-დან ჩანს ჰუმუსის შემცველობა სოფ.ძველი ანაგის ნიადაგებში ზედა პორიზონტში შეადგენს 2,36%, სიღრმეში თანდათან კლებულობს და 40-60 სმ სიღრმეზე შეადგენს 1,11%-ს, ე.ო. ეს ნიადაგები ჰუმუსით ნაკლებად უზრუნველყოფილი ნიადაგებია.

- ნიადაგი მდიდარია შესათვისებელი კალიუმით (50,0 მგ/100 გ ნიადაგში სამაგიეროდ მცირეა შესათვისებელი ფოსფორის რაოდენობა). სიღრმეში მისი რაოდენობა კლებულობს და შეადგენს 30,0 მგ/100 გ ნიადაგში.
- პიდროლიზური აზოტის რაოდენობა იცვლება ჰუმუსის შემცველობის მიხედვით, მაქსიმალურია ზედა ჰუმუსიან ფენაში და შეადგენს 4,6 მგ/100 გ ნიადაგში. სიღრმეში მისი რაოდენობა კლებულობს. ეს მიუთითებს იმაზე, რომ საკვლევ ნიმუშებში დაბალია პიდროლიზური ანუ შესათვისებელი აზოტის შემცველობა, ე.ო. ნიადაგში ითვლებიან დაბალნაყოფიერ ნიადაგებად.

- სოფ.ახშირის ნიადაგები უკეთესია ყველა კომპონენტის მიხედვით ძველი ანაგის ნიადაგებთან შედარებით.
- ცხრ. 2.7-ში მოცემულია ნიადაგის ნიმუშებში მძიმე ლითონების (Cu, Pb, Ag) განსაზღვრის შედეგები 0-10 და 10-20 სმ სიღრმეზე.

**ცხრილი 2.7. ხელოვნური წყალსაცავების მიმდებარე ტერიტორიების ნიადაგის
ნიმუშებში Cu, Pb, Ag შემცველობა. ოქტომბერი, 2017 წ**

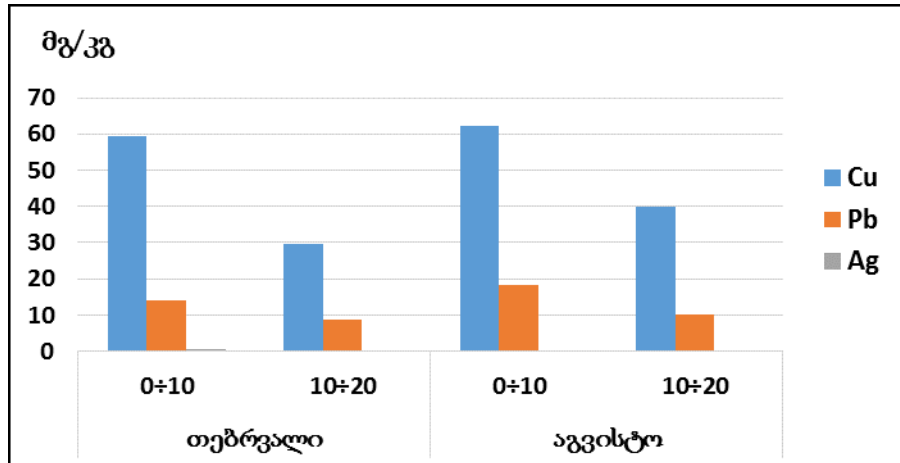
№	ინგრედიენტები	სიღრმე, სმ	Cu	Pb	Ag
			გვ/კგ	გვ/კგ	გვ/კგ
1	სიღნაღი, ს.ძველი ანაგა	0-10	59.53	14.05	0.53
		10-20	29.72	8.63	0.24
2	გურჯაანი, ს.ახაშენი	0-10	21.45	5.45	0.51
		10-20	27.68	5.72	0.24
		20-30	30.23	5.23	0.29
		30-40	40.04	6.67	0.38
		40-50	29.05	5.88	0.39

**ცხრილი 2.8. ხელოვნური წყალსაცავების მიმდებარე ტერიტორიების ნიადაგის
ნიმუშებში Cu, Pb, Ag შემცველობა. აგვისტო, 2017 წ**

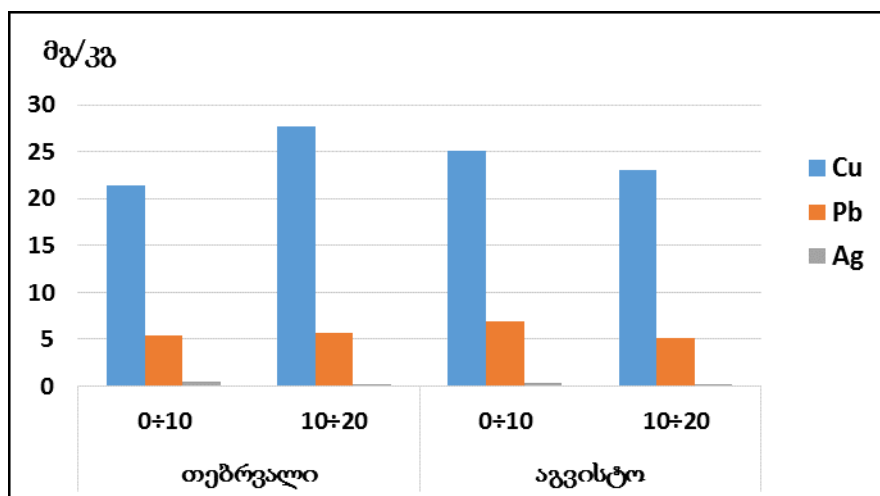
№	ინგრედიენტები	სიღრმე, სმ	Cu	Pb	Ag
			გვ/კგ	გვ/კგ	გვ/კგ
1	სიღნაღი, ს.ძველი ანაგა	0-10	62.25	18.27	0.25
		10-20	40.05	10.16	0.19
2	გურჯაანი, ს.ახაშენი	0-10	25.10	6.96	0.30
		10-20	23.06	5.17	0.25

როგორც ცხრ. 2.7-2.8-დან ჩანს სპილენძის შემცველობა ზედა 0-10 სმ-იან ფენაში შეადგენს 59,53 გვ/კგ, ხოლო ქვედა 10-20 სმ-იან ფენაში შეადგენს 29,72 გვ/კგ-ზე. გურჯაანის ნიადაგებში მისი შემცველობა შესაბამისად შეადგენს 21,45-27,68 გვ/კგ. სპილენძის შემცველობა კლარკში შეადგენს 47, ხოლო ნიადაგში მისი საშუალო შემცველობა - 20 გვ/კგ. როგორც მიღებული შედეგებიდან ჩანს, სპილენძის შემცველობა აღემატება როგორც კლარკის ისე ნიადაგში მის საშუალო შემცველობას. გურჯაანის ნიადაგებში სპილენძის შემცველობა ნაკლებია ძველი ანაგის ნიადაგებთან შედარებით. ტყვიის შემცველობა მხოლოდ ზედა 0-10 სმ-იან ფენაში აღემატება მის საშუალო მნიშვნელობას ნიადაგში. ვერცხლის შემცველობა ნორმის ფარგლებშია.

როგორც ნახ. 2.4 და 2.5-დან ჩანს: ნიადაგში მძიმე ლითონებიდან პრიორიტეტული დამაბინძურებელი ელემენტია სპილენძი. სიღნაღის რაიონში საანგარიშო პერიოდში ნიადაგისზედა 0-10 სმ-იანფენაში დაფიქსირებულია სპილენძის მაქსიმალური რაოდენობა, რომელიც შეადგენს 62 გვ/კგ, ხოლო ტყვიის შემცველობა 18 გვ/კგ-ზე, გაცილებით ნაკლებია მათი შემცველობა გურჯაანის რაიონში. ნიადაგის 10-20 სმ-იან ფენაში აღინიშნება მძიმე ლითონების უფრო ნაკლები შემცველობა.



ნახ. 2.4. სიღნაღი, ს.ძველი ანაგა, ხელოვნური წყალსაცავების მიმდებარე ტერიტორიების ნიადაგის ნიმუშებში Cu, Pb, Ag შემცველობა, თებერვალი, აგვისტო 2017 წ.



ნახ. 2.5. გურჯაანი, სოფ. ახაშენი, ხელოვნური წყალსაცავების მიმდებარე ტერიტორიების ნიადაგის ნიმუშებში Cu, Pb, Ag შემცველობა, თებერვალი, აგვისტო 2017 წ.

2018 წელს ჩატარდა ორი ექსპედიცია.

სიღნაღის მუნიციპალიტეტში - სოფ. ძველი ანაგის ტერიტორიაზე აღებულია ნიადაგისა და წყლის სინჯები შემდეგი წერტილებიდან: სასოფლო-სამეურნეო ჩამონადენი, ახალი წყალსაცავი, ძველი წყალსაცავი და გრუნტის წყალი.

ნიადაგის ნიმუშების აღება მოხდა 0-10, 10-20, 0-20, 20-40, 40-60, 60-80, 80-100 სმ სიღრმეზე წყალსაცავების გარშემო 20 მ-ის დაცილებით.

ანალოგიური სამუშაოები ჩატარდა გურჯაანის მუნიციპალიტეტში, სოფ. ახაშენის ტერიტორიაზე წყალსაცავიდან მოხდა წყლის სინჯის აღება, ხოლო წყალსაცავიდან 20 მ-ს დაცილებით მოხდა ნიადაგის ნიმუშების აღება იგივე სიღრმეებზე.

დაგეგმილი იყო წყლის სინჯებში ადგილზე მობილური აპარატის საშუალებით გაზომვების ჩატარება კერძოდ, ტემპერატურის, pH, განსილი ჟანგბადის და მარილიანობის [9]. ხოლო ლაბორატორიაში მათში განისაზღვრა პიდროქიმიური და მიკრობიოლოგიური პარამეტრები (იხ. ცხრილები 2.9, 2.10).

ცხრილი 2.9. ალაზნის გელის ხელოვნური წყალსაცავების, გრუნტის წყლისა და სასოფლო-სამეურნეო ჩამონადენის ფიზიკურ-ქიმიური და ჰიდროქიმიური ანალიზის შედეგები, თებერვალი, 2018 წ

№	გაზომილი პარამეტრები	ერთეული	სიღნადი, ძველი ანაგა				გურჯაანი სოფ. ახაშნის ხელოვნური წყალსაცავი
			ახალი წყალსაცავი	ძველი წყალსაცავი	სასოფლო-სამეურნეო ჩამონადენი	გრუნტის წყალი	
1	სუნი	ბალი	0	0	0	0	0
2	გამჭირვალობა	სმ	9	9	10	12	11
3	pH	მგ/ლ	7,95	8,12	8,02	6,70	7,65
4	კარბონატი	მგ/ლ	-	2,1	1,92	-	-
5	ნახშირორჟანგი	მგ/ლ	1,06	-	-	0,95	1,15
6	ჰიდროკარბონატი	მგ/ლ	129,32	197,64	149,24	785,1	137,81
7	სიხისტე	მგექვ/ლ	2,36	4,57	3,01	12,25	2,45
8	ამონიუმი	მგN/ლ	0,124	0,778	0,854	0,358	0,623
9	კალციუმი	მგ/ლ	32,58	62,99	29,35	202,3	41,02
10	მაგნიუმი	მგ/ლ	8,99	17,32	9,37	58,5	5,28
11	ელექტროგამტარობა	µsms/cm	213,5	365,2	252,2	5896	240,6
12	გახსნილი ჟანგბადი	მგ/ლ	9,54	9,98	9,20	-	9,41
13	ქბძ ₅	მგ/ლ	1,02	1,36	0,95	-	1,15
14	ნიტრატი	მგN/ლ	0,535	0,233	0,325	0,253	0,500
15	ნიტრიტი	მგN/ლ	0,019	<0,001	0,085	<0,001	0,002
16	ფოსფატი	მგ/ლ	0,167	0,254	0,135	0,053	0,248
17	ფტორი	მგ/ლ	0,065	0,056	0,044	0,179	0,068
18	ბრომი	მგ/ლ	0,133	0,339	0,140	<0,001	0,120
19	სულფატები	მგ/ლ	20,50	90,25	35,88	3256,8	26,22
20	ქლორიდები	მგ/ლ	4,49	8,13	3,21	498,5	4,28
21	ნატრიუმი	მგ/ლ	7,0	16,5	10,0	524,5	8,5
22	კალიუმი	მგ/ლ	0,9	1,1	1,1	4,1	1,2
23	სილიციუმეჟავა	მგ/ლ	4,1	7,1	3,7	11,0	3,8
24	მინერალიზაცია	მგ/ლ	206,21	364,97	258,98	6011,9	238,85
25	სპილენი	მგ/ლ	0,0082	0,0029	0,0045	0,0053	0,0032
26	ტყვია	მგ/ლ	0,0029	0,0038	0,0021	0,0019	0,0019
27	ვერცხლი	მგ/ლ	0,0038	0,0002	0,0003	0,0002	0,0005

ცხრილი 2.10. ხელოვნური წყალსაცავების, გრუნტის წყლის და სასოფლო-სამეურნეო ჩამონადენის მიკრობიოლოგიური ანალიზის შედეგები, 02.2018 წ.

განსაზღვრული ინგრედიენტები	ერთეული	სიღნადი, სოფ.ძველი ანაგა				გურჯაანი, ს.ახაშნის ხელოვნური წყალსაცავი
		ახალი წყალსაცავი	ძველი წყალსაცავი	გრუნტის წყალი	სასოფლო-სამეურნეო ჩამონადენი	
ტოტალური კოლიფორმები	1 ღმბ ³ -ში	5500	6500	6000	7000	6 500
E-coli	1 ღმბ ³ -ში	5 000	6 000	4000	7 500	6000
ცეპალური სტრესტოკოკები	1 ღმბ ³ -ში	400	600	500	650	400

ცხრ. 2.9 და 2.10-ში მოცემულია 2018 წელს აღებული ნიმუშების ქიმიური ანალიზის შედეგები. როგორც ცხრილის მონაცემები გვიჩვენებს:

- წყალსაცავების წყლები მიეკუთვნებიან საშუალოდ მინერალიზირებულ წყალსაცავების კატეგორიას.
- გრუნტის წყლები ხასიათდებიან მაღალი მინერალიზაციით და მიეკუთვნებიან მაღალი მინერალიზაციის მქონე წყლებს; აღინიშნება ნატრიუმის, ქლორისა და სულფატების იონების მაღალი შემცველობა, რაც იმის მაჩვენებელია, რომ წყალსაცავები გაშენებულია დამლაშებულ ნიადაგებზე (სიღნადის მუნიციპალიტეტში).
- სიღნადის რაიონის სოფ. ანაგის და გურჯაანის რაიონის სოფ. ახაშნის ტერიტორიაზე არსებულ ხელოვნურ წყალსაცავებში ბიოგენური ნივთიერებებიდან მხოლოდ ამონიუმის იონების კონცენტრაციები აღმატებიან ზღვრულად დასაშვებ მნიშვნელობებს, ამავე დროს არის ტენდენცია, რომ მათი რაოდენობა ძველ წყალსაცავებში მეტია ახალ წყალსაცავებთან შედარებით.
- მიკრობიოლოგიური თვალსაზრისით სასოფლო-სამეურნეო ჩამონადენი განსაკუთრებით დაბინძურებულია E-coli-ით.
- მძიმე ლითონების კონცენტრაცია უმნიშვნელოა, დაფიქსირებულია ნორმის ფარგლებში და არ ხდება ამ ლითონებით წყალსაცავების დაბინძურება.

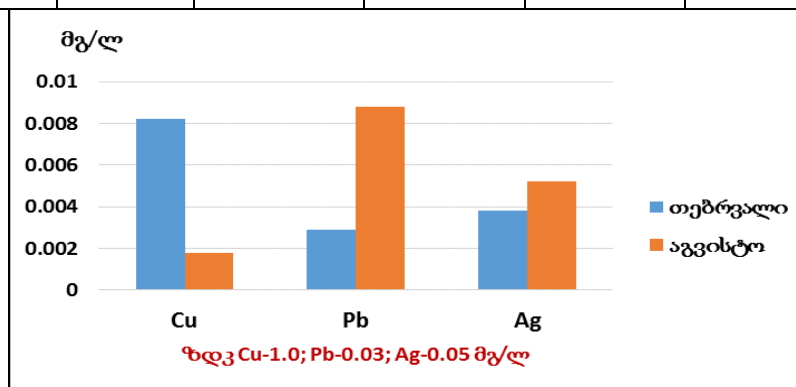
ცხრილი 2.11. ალაზნის გელის ხელოვნური წყალსაცავების, გრუნტის წყლის, სასოფლო-სამეურნეო ჩამონადენისა და ქვემო ალაზნის სარწყავი არხის წყლის ფიზიკურ-ქიმიური და ჰიდროქიმიური ანალიზის შედეგები, აგვისტო, 2018წ.

№	გაზომილი პარამეტრები	ერთეული	სიღნადი, ძველი ანაგა					გურჯაანი
			ახალი წყალსაცავი	ძველი წყალსაცავი	ქვემო ალაზნის სარწყავი არხი	სასოფლო-სამეურნეო ჩამონადენი	გრუნტის წყლი	
1	სუნი	ბალი	0	0	0	0	0	0
2	გამჭირვალობა	სმ	9	9	9	11	11	10
3	pH	მგ/ლ	8,23	7,98	8,40	7,82	8,12	8,77
4	კარბონატი	მგ/ლ	1,25	-	2,1	-	1,5	1,5
5	ნახშირირფანგი	მგ/ლ	-	2,82	-	1,23	-	-
6	ჰიდროკარბონატი	მგ/ლ	197,64	229,36	192,76	142,27	272,33	200,1
7	სიხისტე	მგექვ./ლ	4,92	7,21	3,82	2,92	15,22	3,32
8	ამონიუმი	მგN/ლ	0,356	0,688	0,345	0,543	0,355	0,578
9	კალციუმი	მგ/ლ	75,48	116,47	55,35	28,25	397,20	67,52
10	მაგნიუმი	მგ/ლ	14,02	16,99	12,88	9,11	71,0	28,67
11	კლექტორგამტარობა	µsmms/cm	630	835	360	302	3156	455
12	ნიტრატი	მგN/ლ	0,479	0,015	0,635	1,235	1,675	0,876
13	ნიტრიტი	მგN/ლ	0,005	0,045	0,034	0,123	0,458	0,056
14	ფოსფატი	მგ/ლ	0,183	0,090	0,040	0,145	0,197	0,190
15	ფტორი	მგ/ლ	0,293	0,250	0,335	0,098	0,098	0,045
16	ძრომი	მგ/ლ	0,924	0,042	0,095	0,045	0,123	0,089
17	სულფატები	მგ/ლ	130,89	207,18	63,31	52,30	1349,5	111,45
18	ქლორიდები	მგ/ლ	28,41	30,52	7,28	8,20	178,5	11,98
19	ნატრიუმი	მგ/ლ	78,5	125,5	14,5	10,5	366,8	15,7
20	კალიუმი	მგ/ლ	1,6	4,0	1,2	1,2	9,5	1,5
21	სილიციუმმჟავა	მგ/ლ	6,1	10,2	4,5	4,5	7,5	7,5
22	მინერალიზაცია	მგ/ლ	627,83	827,07	350,21	351,76	3296	479,82
23	სპილენდი	მგ/ლ	0,0018	0,0060	0,0025	0,0086	0,0060	0,0069
24	ტყვია	მგ/ლ	0,0088	0,0068	0,0109	0,0019	0,0020	0,0056
25	გერცხლი	მგ/ლ	0,0052	0,0009	0,0035	0,0002	0,0003	0,0003

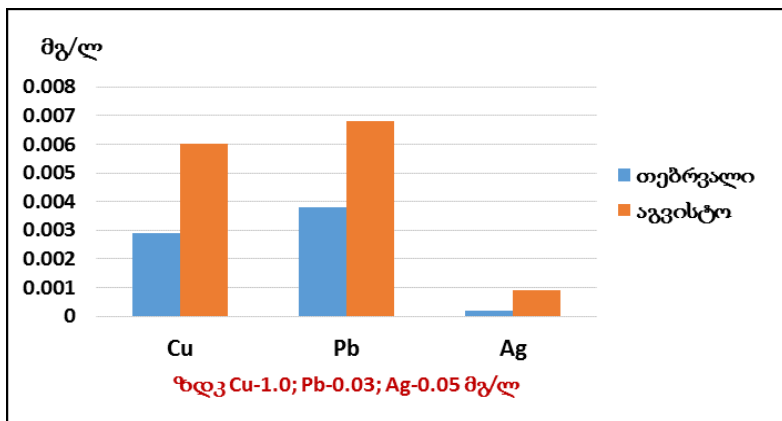
- აგვისტოსს თვის მონაცემების მიხედვით, ბუნებრივი წყლების ერთ-ერთი ძირითადი მაჩვენებელი არის pH, რომელიც ბუნებრივი თუ ანთროპოგენული ფაქტორების მიხედვით საკმაოდ ცვლადია (7,82-8,77). იგი განსაზღვრავს ჟანგვა-ალდგენით პოტენციალს და მასზეა დამოკიდებული წყლის თვითგაწმენდის უნარი.
- მინერალიზაცია ახალ წყალსაცავში შეადგენს 627,83 მგ/ლ, ხოლო ძველში - 827,07 მგ/ლ. გახსნილი ნივთიერებების მიხედვით (მგ/ლ-ით) წყალსაცავები მიეკუთვნებიან ზომიერი (500-1000 მგ/ლ) მინერალიზაციის მქონე წყლებს. ხოლო სასოფლო-სამეურნეო ჩამონადენის მინერალიზაცია გაცილებით ნაკლებია და ტოლია 351,76 მგ/ლ.
- გურჯაანის წყალში წყლის მინერალიზაცია სიღნაღის რაიონის წყლებთან შედარებით ნაკლებია და შეადგენს 479,82 მგ/ლ.
- რაც შეეხება გრუნტის წყლებს, მისი მინერალიზაცია გაცილებით მეტია ყველა წყალსაცავის მინერალიზაციაზე (3296 მგ/ლ) და ის მიეკუთვნება მაღალ მინერალიზირებულ წყლებს. ამავე დროს აღსანიშნავია ის ფაქტიც, რომ ალაზნის ველზე გრუნტის წყალი ამოსულია მაღლა 1,5-2,5 მ-მდე და შესაძლებელია მათი შედინება წყალსაცავის წყლებში.
- როგორც ცხრ. 2.11-დან ჩანს, აღინიშნება ნატრიუმის, ქლორისა და სულფატ-იონების მაღალი შემცველობა, რაც იმის მაჩვენებელია, რომ წყალსაცავები გაშენებულია დამლაშებულ ნიადაგებზე.
- ბიოგენური ნივთიერებებიდან მხოლოდ ამონიუმის იონები აღემატებიან შესაბამის ზღვრულად დასაშვებ კონცენტრაციას და აღნიშნულ წყლებში მერყეობს 0,345-0,688 მგ/ლ-ს ფარგლებში. ამავე დროს შეინიშნება ტენდენცია, რომ ამონიუმის იონები უფრო მეტი რაოდენობით არის ძველ წყალსაცავში, ვიდრე ახალში, ხოლო გურჯაანის წყალსაცავში უველთვის არ აღემატება ზღვრულად დასაშვებ კონცენტრაციას.
- რაც შეეხება მძიმე ლითონების შემცველობას წყალსაცავების წყლებში, ისინი ნორმის ფარგლებში დაფიქსირდა და ამ მხრივ დაბინძურებას აღილი არ აქვს

ცხრილი 2.12. ხელოვნური წყალსაცავების, გრუნტის წყლის და სასოფლო-სამეურნეო ჩამონადენის მიკრობიოლოგიური ანალიზის შედეგები, აგვისტო, 2018 წ.

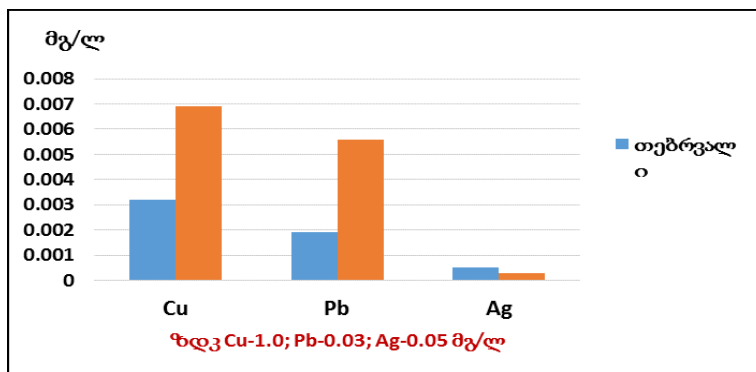
განსაზღვრული ინგრედიენტები	ერთეული	სიღნაღი, სოფ. ძველი ანაგა				გურჯაანი, ს.ახაშნის ხელოვნური წყალსაცავი
		ახალი წყალსაცავი	ძველი წყალსაცავი	გრუნტის წყალი	სასოფლო-სამეურნეო ჩამონადენი	
ტოტალური კოლიფორმები	1 ლმ³-ში	3 500	4 500	5 500	6 400	4 000
E-coli	1 ლმ³-ში	2 000	6 000	5 500	6 500	5 000
ვეგალური სტრესტოკოენცი	1 ლმ³-ში	250	300	550	500	200



ნახ. 2.6. სიღნაღის რაიონის სოფ. ძველიანაგის ახალი წყალსაცავის ნიმუშებში მძიმელითონების შემცველობა (2018).



ნახაზი 2.7. სიღნაღის რაიონის სოფ. მელიანაგის ძელი წყალსაცავის ნიმუშებში მძიმე ლითონების შემცველობა (2018).



ნახაზი 2.8. გურჯაანის რაიონის სოფ. ახაშენის წყალსაცავის ნიმუშებში მძიმე ლითონების შემცველობა (2018).

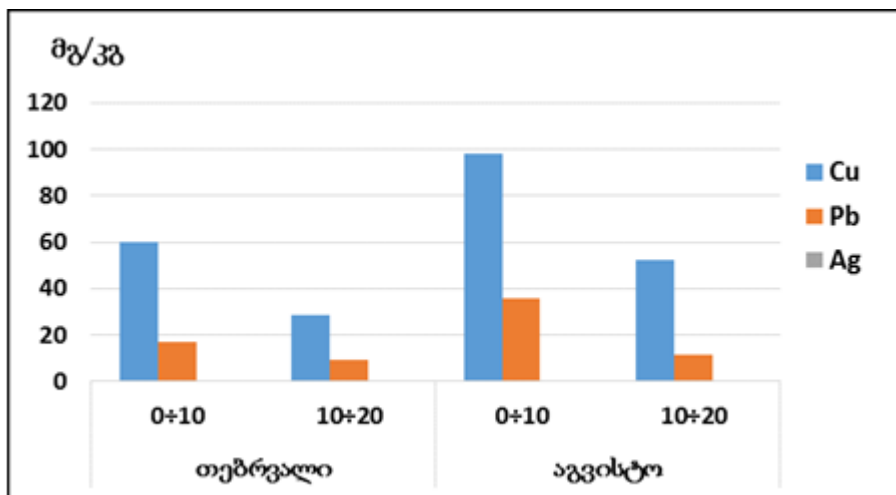
ლაბორატორიაში ჩამოტანილი ნიადაგის ნიმუშებში ჩატარდა ქიმიური ანალიზები: გაშრობა, დაფხვნა-დაქუცმაცება, დაფქვა, გაცრა და ა.შ., 0-10 და 10-20 სმ სიღრმეზე განისაზღვრა მძიმე ლითონების (Cu, Pb, Ag) შემცველობა (ცხრ. 2.13, 2.14).

ცხრილი 2.13. ხელოვნური წყალსაცავების მიმდებარე ტერიტორიების ნიადაგის ნიმუშებში Cu, Pb, Ag შემცველობა. 28.02. 2018

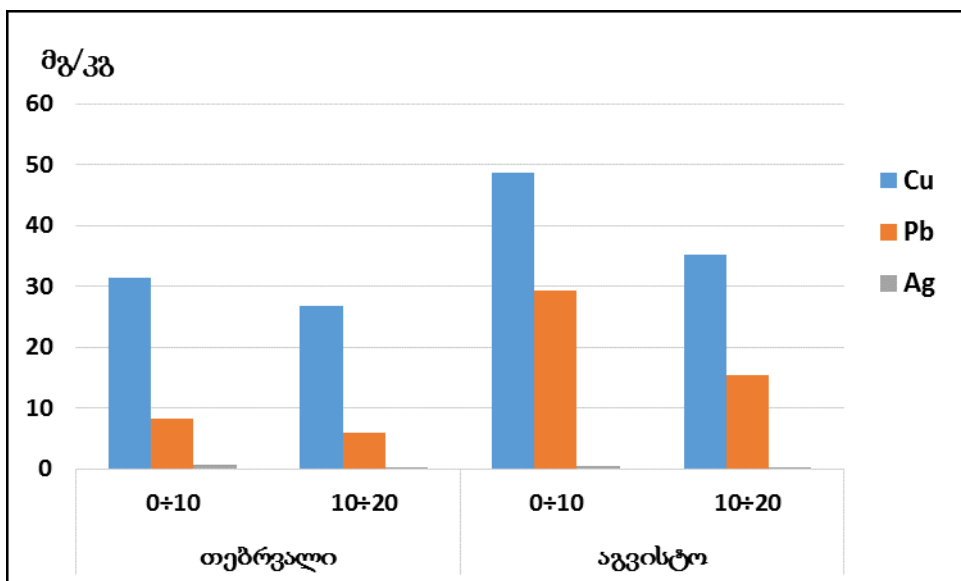
№	ინგრედიენტები	სიღრმე, სმ	Cu	Pb	Ag
			მგ/კგ		
1	სიღნაღი, ს. მელიანაგი	0-10	60.24	17.18	0.45
		10-20	28.52	9.22	0.20
2	გურჯაანი, ს. ახაშენი	0-10	31.35	8.25	0.59
		10-20	26.82	5.89	0.31

**ცხრილი 2.14. ხელოვნური წყალსაცავების მიმდებარე ტერიტორიების
ნიადაგის ნიმუშებში Cu, Pb, Ag შემცველობა
აგვისტო, 2018**

Nº	ინგრედიენტები	სიღრმე, სმ	Cu	Pb	Ag
			გვ/კგ	გვ/კგ	გვ/კგ
1	სიღნაღი, ს.ძველი ანაგა	0-10	98.24	35.66	0.52
		10-20	52.41	11.78	0.22
2	გურჯაანი, ს.ახაშენი	0-10	48.63	29.33	0.49
		10-20	35.21	15.47	0.28



ნახ. 9. სიღნაღი, ს.ძველი ანაგა, ხელოვნური წყალსაცავების მიმდებარე ტერიტორიების ნიადაგის ნიმუშებში Cu, Pb, Ag შემცველობა, თებერვალი, აგვისტო 2018 წ.



ნახ.10. გურჯაანი, სოფ. ახაშენი, ხელოვნური წყალსაცავების მიმდებარე ტერიტორიების ნიადაგის ნიმუშებში Cu, Pb, Ag შემცველობა, თებერვალი, აგვისტო 2018 წ.

გრაფიკებიდან ჩანს, რომ 2018 წლის თებერვლის თვის ნიადაგში მძიმე ლითონებიდან პრიორიტეტული დამაბინძურებელი ელემენტია სპილენძი. სიღნაღის რაიონში საანგარიშო პერიოდში ნიადაგის ზედა 0-10 სმ-იან ფენაში დაფიქსირებულია სპილენძის მაქსიმალური რაოდენობა 60,24 მგ/კგ, ხოლო ტყვიის შემცველობა 9,22-17,18 მგ/კგ-ის ფარგლებში მერყეობს, შედარებით ნაკლებია სპილენძის შემცველობა გურჯაანის რაიონში და შეადგენს 31,35 მგ/კგ ნიადაგის ზედა ფენაში, ხოლო ტყვია მერყეობს 5,89-8,25 მგ/კგ-ის ფარგლებში. ნიადაგის 10-20 სმ-იან ფენაში აღინიშნება მძიმე ლითონების უფრო ნაკლები შემცველობები.

ნახ. 2.9 და 2.10-დან ჩანს, რომ აგვისტოს თვის ნიადაგშიც მძიმე ლითონებიდან პრიორიტეტული დამაბინძურებელი ელემენტია სპილენძი. სიღნაღის რაიონში (ს.ძველი ანაგა) საანგარიშო პერიოდში ნიადაგის ზედა 0-10 სმ-იან ფენაში დაფიქსირებულია სპილენძის მაქსიმალური რაოდენობა 98,24 მგ/კგ, ხოლო ტყვიის შემცველობა შედგებს 35,66 მგ/კგ, შედარებით ნაკლებია სპილენძის შემცველობა გურჯაანის რაიონში (ს.ახაშენი) და შეადგენს 48,63 მგ/კგ ნიადაგის ზედა ფენაში, ხოლო ტყვია-29,33 მგ/კგ. ნიადაგის 10-20 სმ-იან ფენაში აღინიშნება მძიმე ლითონების უფრო ნაკლები შემცველობები. ვერცხლის შემცველობა როგორც ძველი ანაგის, ისე ახაშენის ნიადაგების ზედა ფენაში უმნიშვნელოა და შესაბამისად შეადგენს 0,52 და 0,49 მგ/კგ ნიადაგზე აგვისტოს თვეში. სიღრმეში ვერცხლის შემცველობა კიდევ უფრო მცირეა.

აღსანიშნავია ნიადაგის დაბინძურება სპილენძით, ვინაიდან სასოფლო-სამეურნეო სავარგულებში გამოყენებული ქიმიკატები შეიცავენ სპილენძებს. პესტიციდებში წამყვანი ადგილი შაბიამანს, კუპრაზანს, კუპერვალს, იროკოს, ციანიდებს და სხვას უკავიათ. უმეტესობის ძირითადი შემადგენელი კომპონენტი სპილენძია, რომელიც ხვდება ჰაერში, წყალში, საკვებ პროდუქტებში და ადამიანის ორგანიზმში; ხოლო ტყვიის გაზრდილი კონცენტრაციები შესაძლებელია გამოწვეული იყოს ალაზნის ველის ნიადაგებსა და მცენარეულ საკვებ პროდუქტებში ავტომანქანების გამონაბოლქვიაირებით და ღრუბლებზე აქტიური ზემოქმედების გავლენით (რეაგენტი **PbI₂**), თუმცა ეს რეაგენტი აღარ გამოიყენება სეტყვის საწინააღმდეგო სამუშაოების ჩატარების დროს, ამჟამად ამ სამუშაოებში გამოიყენება ვერცხლის იოდიდი (**AgI**). ნიადაგში კონცენტრაციის მიხედვით სპილენძის შემდეგ მეორე ადგილზეა ტყვია და ბოლოს ვერცხლი. მათ მიერ ნიადაგის დაბინძურება არ ხდება.

2019 წლის თებერვლისა და აგვისტოს თვეებში ჩატარდა ექსპედიციური სამუშაოები სიღნაღისა და გურჯაანის მუნიციპალიტეტებში. აღებული იყო ბუნებრივი წყლის სინჯები და ნიადაგის ნიმუშები საკვლევი ობიექტებიდან. ლამორატორიაში მოხდა საჭირო ინგრედიენტების განსაზღვრა, მიღებული შედეგებია მოცემულია შესაბამის ცხრ. 2.15-2.20 და ნახ.2.11-2.15.

ცხრილი 2.15. ალაზნის ველის ხელოვნური წყალსაცავების, გრუნტის წყლისა და სასოფლო-სამეურნეო ჩამონადენის ფიზიკურ-ქიმიური და ჰიდროქიმიური ანალიზის შედეგები, თებერვალი

გაზომილი პარამეტრები	ერთეული	სიღნაღი, ძველი ანაგა				გურჯაანი
		ახალი წყალსაცავი	ძველი წყალსაცავი	სასოფლო- სამეურნეო ჩამონადენი	გრუნტის წყალი	
pH	მგ/ლ	7,26	7,85	7,91	7,05	7,35
კარბონატი	მგ/ლ	-	1,3	1,25	-	-
ნახშირორჟანგი	მგ/ლ	1,15	-	-	0,85	1,05
ჰიდროკარბონატი	მგ/ლ	132,56	186,23	152,42	822,25	142,35
სიხისტე	მგექვ/ლ	2,22	3,26	2,85	11,88	2,49
ამონიუმი	მგN/ლ	0,251	0,524	0,613	0,333	0,521
კალციუმი	მგ/ლ	35,41	59,12	31,54	198,58	44,25

ცხრილი 2.15-ის გაგრძელება						
მაგნიუმი	მგ/ლ	11,02	16,54	10,23	17,11	7,19
ალკოლოგიური გარემონტი	μsms/cm	240,15	389,33	268,49	6124,5	256,9
გასხვის ლი ფანგბადი	მგ/ლ	10,51	10,25	11,14	11,46	10,35
ქბმ ₅	მგ/ლ	0,95	0,86	0,74	1,28	0,65
ნიტრატი	მგN/ლ	1,125	0,827	0,741	0,522	0,419
ნიტრიტი	მგN/ლ	0,012	0,022	0,061	0,124	0,043
ფოსფატი	მგ/ლ	0,135	0,148	0,148	0,085	0,178
ფტორი	მგ/ლ	0,111	0,087	0,064	0,041	0,102
ბრომი	მგ/ლ	0,161	0,228	0,214	0,189	0,174
სულფატები	მგ/ლ	45,12	102,14	42,84	3876,23	32,17
ქლორიდები	მგ/ლ	6,05	10,45	6,25	512,36	6,47
ნატრიუმი	მგ/ლ	15,20	22,15	12,33	615,23	12,36
კალიუმი	მგ/ლ	1,5	1,9	2,1	6,5	2,1
სილიკოუმმჟავა	მგ/ლ	5,5	9,1	4,5	10,1	4,1
მინერალიზაცია	მგ/ლ	239,18	390,45	260,78	6222,52	261,48
სპილენი	მგ/ლ	0,0059	0,0046	0,0065	0,0041	0,0049
ტაცვა	მგ/ლ	0,0022	0,0019	0,0030	0,0024	0,0017
კერცხლი	მგ/ლ	0,0005	0,0003	0,0004	0,0001	0,0002

ცხრილი 2.16. სელოვნური წყალსაცავების, გრუნტის წყლის და სასოფლო-სამეურნეო ჩამონადენის მიკრობიოლოგიური ანალიზის შედეგები, თებერვალი, 2019 წ.

განსაზღვრული ინგრედიენტები	ერთეული	სიღნაღი, სოფ. ძველი ანაგა				გურჯაანი, ს.ახაშნის ხელოვნური წყალსაცავი
		ახალი წყალსაცავი	ძველი წყალსაცავი	გრუნტის წყლი	სასოფლო-სამეურნეო ჩამონადენი	
ტოტალური კოლიფორმები	1 დგ³-ში	4 000	5500	5000	6500	5 500
E-coli	1 დგ³-ში	4500	4 000	3500	6000	4000
ფეკალური სტრეპტოკოკები	1 დგ³-ში	200	300	450	550	200

- წყალსაცავების წყლები მიეკუთვნებიან საშუალოდ მინერალიზირებულ წყალსაცავების კატეგორიას.
- გრუნტის წყლები ხასიათდებიან მაღალი მინერალიზაციით და მიეკუთვნებიან მაღალი მინერალიზაციის მქონე წყლებს; ადინიშნება ნატრიუმის, ქლორისა და სულფატების იონების მაღალი შემცველობა, რაც იმის მაჩვენებელია, რომ წყალსაცავები გაშენებულია დამლაშებულ ნიადაგებზე (სიღნაღის მუნიციპალიტეტში).
- სიღნაღის რაიონის სოფ. ანაგის და გურჯაანის რაიონის სოფ. ახაშნის ტერიტორიაზე არსებულ ხელოვნურ წყალსაცავებში ბიოგენური ნივთიერებებიდან მხოლოდ ამონიუმის იონების კონცენტრაციები აღემატებიან ზღვრულად დასაშვებ მნიშვნელობებს, ამავე დროს არის ტენდენცია, რომ მათი რაოდენობა ძველ წყალსაცავებში მეტია ახალ წყალსაცავებთან შედარებით.
- მიკრობიოლოგიური ოვალსაზრისით სასოფლო-სამეურნეო ჩამონადენი დაბინძურებულია E-coli-ით.
- მძიმე ლითონების კონცენტრაცია უმნიშვნელოა, დაფიქსირებულია ნორმის ფარგლებში და არ ხდება ამ ლითონებით წყალსაცავების დაბინძურება.

ცხრილი 2.17. ალაზნის ველის ხელოვნური წყალსაცავების, გრუნტის წყლის, სასოფლო-სამეურნეო ჩამონადენისა და ქვემო ალაზნის სარწყავი არხის წყლის ფიზიკურ-ქიმიური და ჰიდროქიმიური ანალიზის შედეგები, აგვისტო, 2019

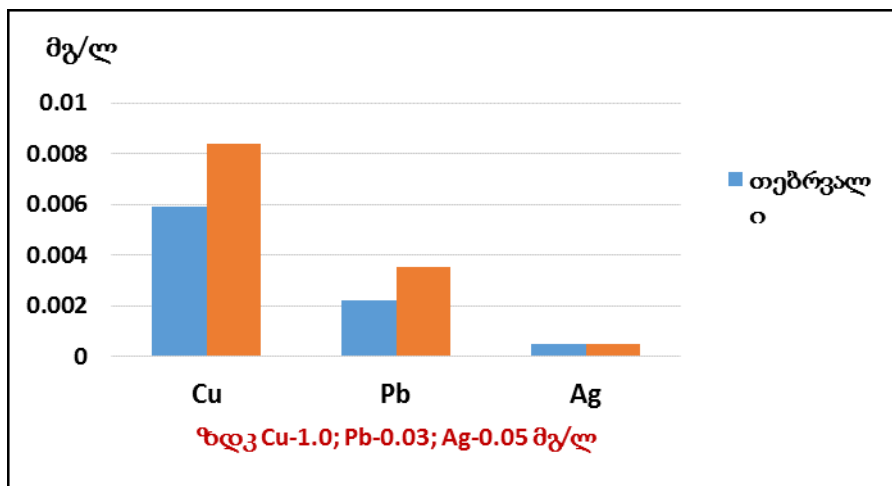
გაზომილი პარამეტრები	ერთეული	სიღნადი, ძველი ანაგა					გურჯანი
		ახალი წყალსაცავი	ძველი წყალსაცავი	ქვემო ალ- აზნის სარ- წყავი არხი	სასოფლო- სამეურნეო ჩამონადენი	გრუნტის წყლი	
pH	მგ/ლ	8,55	8,25	8,61	7,75	7,45	8,56
კარბონატი	მგ/ლ	0,85	0,74	1,22	-	-	1,12
ნახშირორეანგი	მგ/ლ	-	-	-	1,05	1,14	-
ჰიდროკარბონატი	მგ/ლ	128,19	156,32	202,55	125,84	322,84	153,23
სიხისტე	მგბეტ/ლ	3,21	4,14	2,25	1,88	11,12	2,46
ამონიუმი	მგN/ლ	0,422	0,581	0,411	0,623	0,284	0,485
კალციუმი	მგ/ლ	69,25	99,48	66,89	33,45	412,48	59,78
მაგნიუმი	მგ/ლ	10,22	12,45	9,48	10,47	65,22	30,41
ელექტროგამტარობა	µsms/cm	436	625	425	455	5425	336
ნიტრატი	მგN/ლ	1,885	1,326	0,842	1,322	1,478	0,975
ნიტრიტი	მგN/ლ	0,012	0,048	0,043	0,147	0,321	0,111
ფოსფატი	მგ/ლ	0,105	0,122	0,059	0,105	0,096	0,057
ფტორი	მგ/ლ	0,055	0,023	0,065	0,038	0,101	0,027
ბრომი	მგ/ლ	0,115	0,047	0,024	0,115	0,109	0,122
სულფატები	მგ/ლ	159,02	245,12	76,49	67,32	1486,23	202,45
ქლორიდები	მგ/ლ	36,89	45,18	11,46	19,69	210,23	15,48
ნატრიუმი	მგ/ლ	75,89	134,51	16,78	11,47	435,62	20,15
კალიუმი	მგ/ლ	1,1	3,5	1,5	1,5	10,5	1,1
სილიციუმმჴავა	მგ/ლ	7,1	8,5	3,1	3,5	8,1	7,5
მინერალიზაცია	მგ/ლ	440,55	630,40	420,48	460,12	5405,23	339,78
სპილენი	მგ/ლ	0,0084	0,0056	0,0084	0,0080	0,0059	0,0071
ტუფია	მგ/ლ	0,0035	0,0029	0,0045	0,0035	0,0031	0,0025
ვერცხლი	მგ/ლ	0,0005	0,0004	0,0001	0,0005	0,0002	0,0003

ცხრილი 2.18. ხელოვნური წყალსაცავების, გრუნტის წყლის და სასოფლო-სამეურნეო ჩამონადენის მიკრობიოლოგიური ანალიზის შედეგები, აგვისტო, 2019

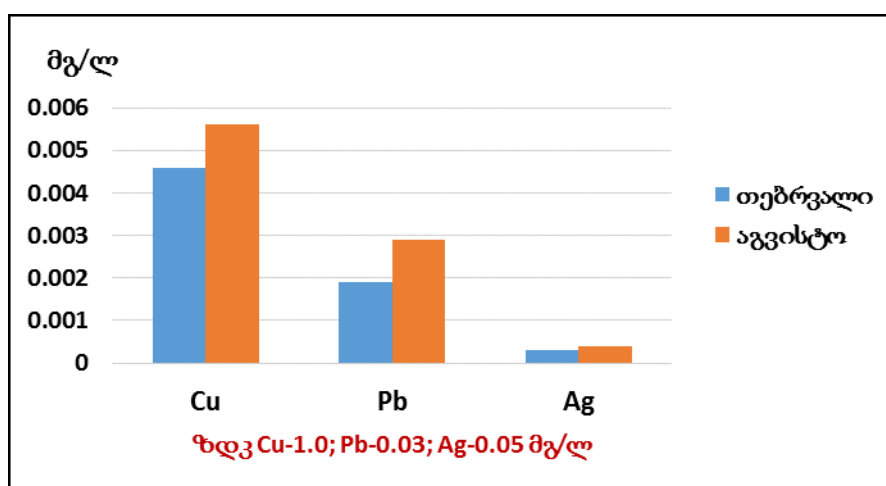
განსაზღვრული ინგრედიენტები	ერთეული	სიღნადი, სოფ. ძველი ანაგა				გურჯანი, ს.ახაშნის ხელოვნური წყალსაცავი
		ახალი წყალსაცავი	ძველი წყალსაცავი	გრუნტის წყლი	სასოფლო- სამეურნეო ჩამონადენი	
ტობალური კოლიფორმები	1 ღმ³-ში	3 200	5 500	5 000	5600	3500
E-coli	1 ღმ³-ში	1500	5 000	4000	5300	2 000
ვეკალური სტრეპტოპოპები	1 ღმ³-ში	150	250	350	250	100

- აგვისტოსს თვის მონაცემების მიხედვით, ბუნებრივი წყლების ერთ-ერთი ძირითადი მაჩვენებელი არის pH, რომელიც ბუნებრივი თუ ანთროპოგენული ფაქტორების მიხედვით საკმაოდ ცვლადია (7,45-8,61). იგი განსაზღვრავს უანგგა-ალდგენით პოტენციალს და მასზეა დამოკიდებული წყლის თვითგაწმენდის უნარი.
- მინერალიზაცია ახალ წყალსაცავში შეადგენს 440,55 მგ/ლ, ხოლო ძველ ში - 630,40 მგ/ლ. გასხილი ნივთიერებების მიხედვით (მგ/ლ-ით) წყალსაცავები მიეკუთვნებიან ზომიერი (500-1000 მგ/ლ) მინერალიზაციის მქონე წყლებს. ხოლო სასოფლო-სამეურნეო ჩამონადენის მინერალიზაცია ტოლია 460,12 მგ/ლ.

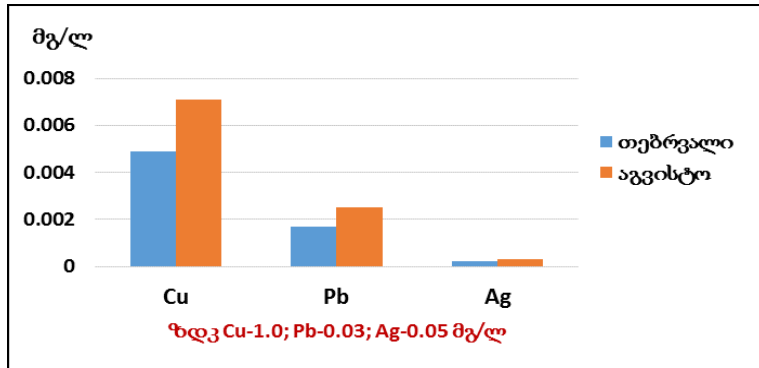
- გურჯაანის წყალსაცავის წყალში წყლის მინერალიზაცია სიღნაღის რაონის წყლებთან შედარებით ნაკლებია და შეადგენს 339,78 მგ/ლ.
- რაც შეეხება გრუნტის წყლებს, მისი მინერალიზაცია გაცილებით მეტია ყველა წყალსაცავის მინერალიზაციაზე (5405 მგ/ლ) და ის მიეკუთვნება მაღალ მინერალიზირებულ წყლებს. ამავე დროს აღსანიშნავია ის ფაქტიც, რომ ალაზნის ველზე გრუნტის წყალი ამოსულია მაღლა 1,5-2,5 მ-დე და შესაძლებელია მათი შედინება წყალსაცავის წყლებში.
- ბიოგენური ნივთიერებებიდან მხოლოდ ამონიუმის იონები აღემატებიან შესაბამის ზღვრულად დასაშვებ კონცენტრაციას და აღნიშნულ წყლებში მერყეობს 0,284-0,623 მგ/ლ-ს ფარგლებში. ამავე დროს შეინიშნება ტენდენცია, რომ ამონიუმის იონები უფრო მეტი რაოდენობით არის ძველ წყალსაცავში, ვიდრე ახალში, ხოლო გურჯაანის წყალსაცავშიც აღემატება ზღვრულად დასაშვებ კონცენტრაციას.
- რაც შეეხება მძიმე ლითონების შემცველობას წყალსაცავების წყლებში, ისინი ნორმის ფარგლებში დაფიქსირდა და ამ მხრივ დაბინძურებას ადგილი არ აქვს.



ნახ. 2.11. სიღნაღის რაონის სოფ. ძველიანაგის ახალი წყალსაცავის ნიმუშებში მძიმე ლითონების შემცველობა (2019).



ნახ. 2.12. სიღნაღის რაონის სოფ. ძველიანაგის ძველი წყალსაცავის ნიმუშებში მძიმე ლითონების შემცველობა (2019).



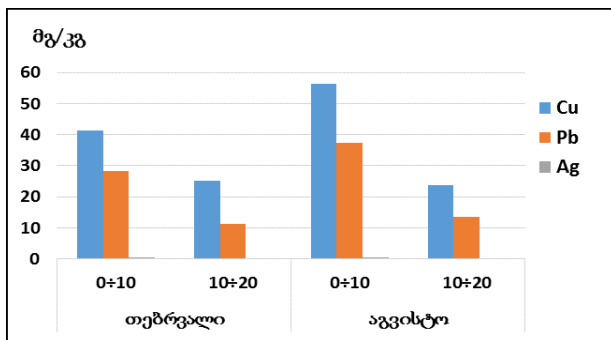
ნახ. 2.13. გურჯაანის რაიონის სოფ. ახაშენის წყალსაცავის ნიმუშებში მძიმე ლითონების შემცველობა (2018).

ცხრილი 2.19. ხელოვნური წყალსაცავების მიმდებარე ტერიტორიების ნიადაგის ნიმუშებში Cu, Pb, Ag შემცველობა თებერვალი, 2019

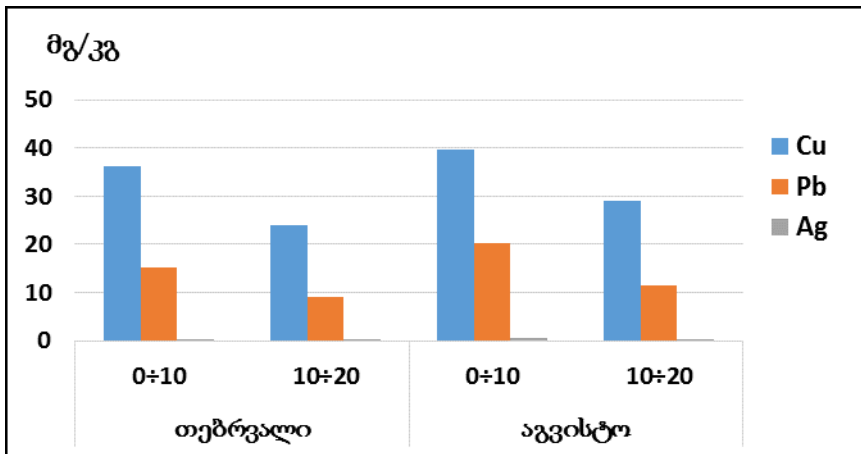
№	ინგრედიენტები	სიღრმე, სმ	Cu	Pb	Ag
			გ/კბ		
1	სიღნაღი, ს.ძველი ანაგა	0-10	41.20	28.15	0.36
		10-20	25.22	11.24	0.28
2	გურჯაანი, ს.ახაშენი	0-10	36.21	15.27	0.42
		10-20	24.11	9.22	0.29

ცხრილი 2.20. ხელოვნური წყალსაცავების მიმდებარე ტერიტორიების ნიადაგის ნიმუშებში Cu, Pb, Ag შემცველობა აგვისტო, 2019

№	ინგრედიენტები	სიღრმე, სმ	Cu	Pb	Ag
			გ/კბ		
1	სიღნაღი, ს.ძველი ანაგა	0-10	56.31	37.29	0.45
		10-20	23.63	13.54	0.31
2	გურჯაანი, ს.ახაშენი	0-10	39.59	20.19	0.51
		10-20	29.13	11.45	0.30



ნახ. 2.14. სიღნაღი, ს.ძველი ანაგა, ხელოვნური წყალსაცავების მიმდებარე ტერიტორიებისნიადაგის ნიმუშებში Cu, Pb, Ag შემცველობა, თებერვალი, აგვისტო 2019 წ.



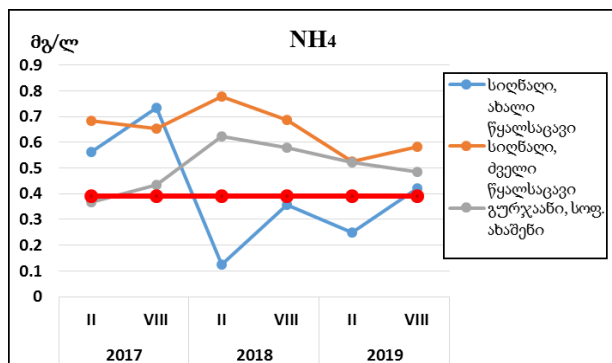
ნახ. 2.15. გურჯაანი, სოფ. ახაშენი, ხელოვნური წყალსაცავების მიმდებარე ტერიტორიებისნიადაგის ნიმუშებში Cu, Pb, Ag შემცველობა, თებერვალი, აგვისტო 2019 წ.

2019 წელს, როგორც ცხრ. 2.19; 2.20-დან და ნახ. 2.14; 2.15-დან ჩანს, ნიადაგის ნიმუშებში სპილენძის შემცველობა სიღნაღის თებერვლის თვის მონაცემების მიხედვით შეადგენს 41,20 ზედა 0-10 სმ-იან ფენაში, ხოლო 10-20 სმ-იან ფენაში - 25,22 მგ/კგ, რაც ნაკლებია კლარკის მნიშვნელობაზე. ანალოგიურად ნაკლებია სპილენძის შემცველობა გურჯაანის ნიადაგებში (36,21 – 24,11). შესაბამისად იცვლება ტყვიის შემცველობა, შედარებით მაღალია ზედა და ნაკლებია ქვედა ჰორიზონტებში.

აგვისტოს თვეში ორივე კომპონენტის მატება შესამჩნევია. სპილენძის შემცველობა სიღნაღის ნიადაგში აღემატება როგორც კლარკის, ისე მის საშუალო მნიშვნელობას, თუმცა გურჯაანის ნიადაგში მისი მნიშვნელობა ნაკლებია კლარკის მნიშვნელობაზე. უმნიშნელოდ იზრდება ვერცხლის მნიშვნელობები.

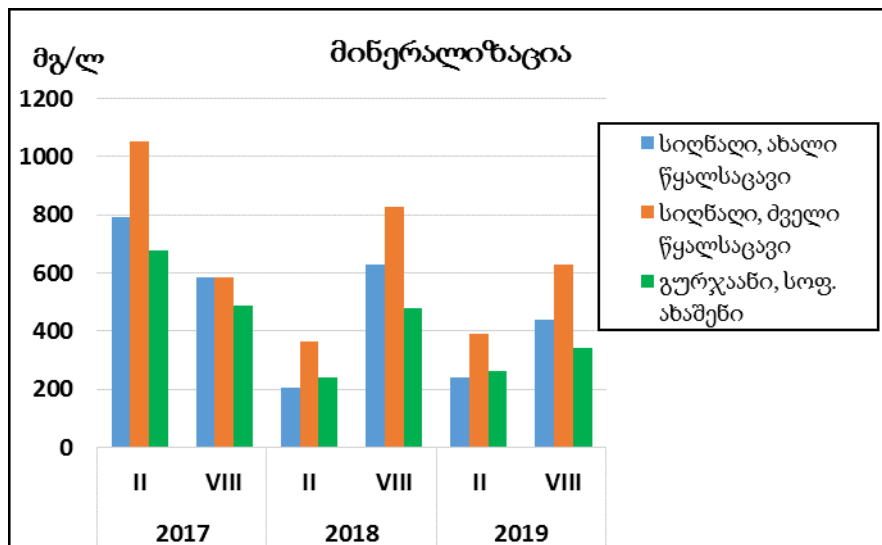
2017-2019 წლის საერთო შედეგების მიმოხილვა

ნახ. 2.16-2.21-ზე მოცემულია სიღნაღისა და გურჯაანის მუნიციპალიტეტებში განთავსებული ხელოვნური წყალსაცავების და მათ მიმდებარე ტერიტორიებზე არსებული ნიადაგების კოლოგიური მდგომარეობის შემაჯამებელი მონაცემების გრაფიკული გამოსახვა.



ნახაზი 2.16. ამონიუმის იონის ცვლილების დინამიკა სიღნაღისა და გურჯაანის ხელოვნური წყალსაცავების წყლებში, თებერვალი, აგვისტო, 2017- 2019.

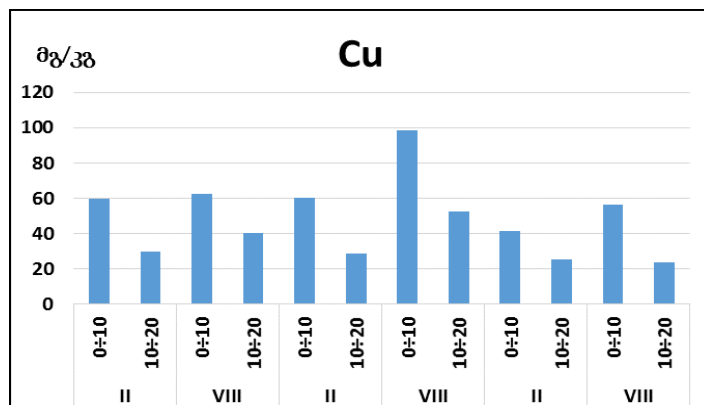
ნახ. 2.16-ზე მოცემულია ამონიუმის იონების შემცველობა წყალსაცავების წყალში 2017-2019 წწ-ში, სიღნაღმის ნათლად ჩანს, რომ ახალი წყალსაცავის წყალში ამონიუმის იონების კონცენტრაცია ზოგიერთ შემთხვევაში აღემატება ზღვრულად დასაშვებ კონცენტრაციას (2017), მაშინ როცა ძველი წყალსაცავის წყალში მისი კონცენტრაცია, 2017-2019 წწ განმავლობაში ყოველთვის აღემატება ზღვაში. მაქსიმალური რაოდენობა აღინიშნება ზამთრის თვეებში და შეადგენს 0,70-0,78 მგ/ლ (1,8-2 ზღვა). სიღნაღმის ძველი წყალსაცავის იდენტურია გურჯაანის წყალსაცავის მონაცემები, აქ მაქსიმალური მნიშვნელობა შეადგენს 2018 წ-ის თებერვლის თვეში 0,62 მგ/ლ (1,6 ზღვა). ამონიუმის იონების ჭარბი შემცველობა წყალსაცავების წყლებში ბუნებრივია, ვინაიდან მათში ხდება თევზის მოშენება სარეალიზაციოდ და მათ მიერ ხდება ფერალიების გამოყოფა. გარდა ამისა, ხშირია ამ წყლებში ევტროფიკაციის პროცესების მიმდინარეობა.



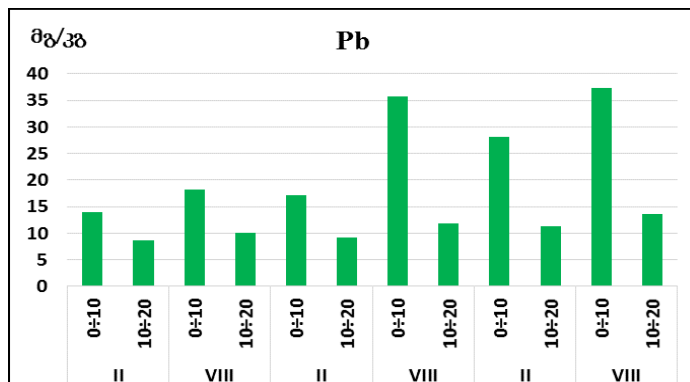
ნახაზი 2.17. მინერალიზაციის ცვლილების დინამიკა სიღნაღმისა და გურჯაანის ხელოვნური წყალსაცავების წყლებში, თებერვალი, აგვისტო, 2017- 2019.

ნახ. 2.17-დან ჩანს, რომ სიღნაღმის ახალი წყალსაცავის წყლის მინერალიზაცია იცვლება 200-780 მგ/ლ-ის, ხოლო ძველის - 380-1050 მგ/ლ-ის ფარგლებში. ახალი წყალსაცავის წყლის მინერალიზაცია გაცილებით ნაკლებია ძველი წყალსაცავის წყლის მინერალიზაციასთან შედარებით. წყალსაცავის წყლის მინერალიზაციის ცვლილება განპირობებულია სხვადასხვა პერიოდში მათში ქვემო ალაზნის სარწყავი არხის წყლის ჩაშვებით. როგორც ცნობილია, არხის წყალი ზამთრის თვეებში იკეტება, ამიტომ წყალსაცავის წყლის მინერალიზაცია ზამთრის თვეებში მაღალია. ამავე დროს, ძველ ანაგაში წყალსაცავები განთავსებულია დამლაშებულ ნიადაგებზე, სადაც ხდება მაღალი მინერალიზებული გრუნტის წყლების შედინება. მაგალითად, წყალსაცავის მინერალიზაციის სიდიდე 2017 წლის თებერვლის თვეში შეადგენს 1050 მგ/ლ. ზაფხულის თვეებში, როდესაც ხდება წყლის განზავება, მინერალიზაცია დაახლოებით შეადგენს 500-800 მგ/ლ, თუმცა 2018-2019 წწ-ში მინერალიზაცია აგვისტოს თვეში აღემატება თებერვლის თვის მონაცემებს. გურჯაანის წყალსაცავი განთავსებულია არადამლაშებულ ნიადაგებზე, ამიტომ მისი მინერალიზაცია სიღნაღმის ახალ, ისე ძველ წყალსაცავებთან შედარებით ნაკლებია. მისი მაქსიმალური მნიშვნელობა შეადგენს 2017 წ-ის თებერვლის თვეში 640 მგ/კგ. გახსნილი

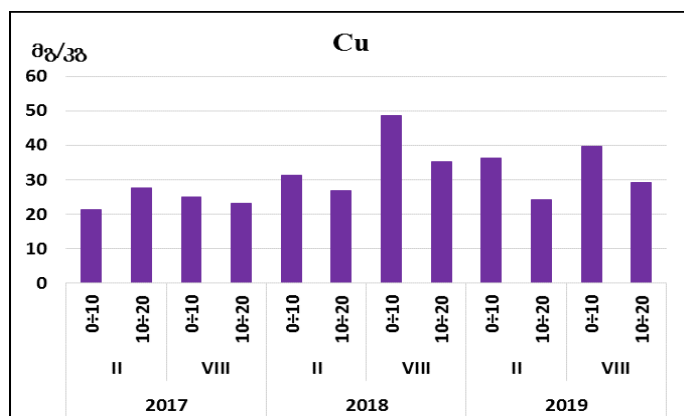
ნივთიერებების მიხედვით (მგ/ლ-ით) წყალსაცავები მიეკუთვნებიან ზომიერ (500-1000 მგ/ლ) და მაღალ (>1000 მგ/ლ) მინერალიზაციის მქონე წყლებს.



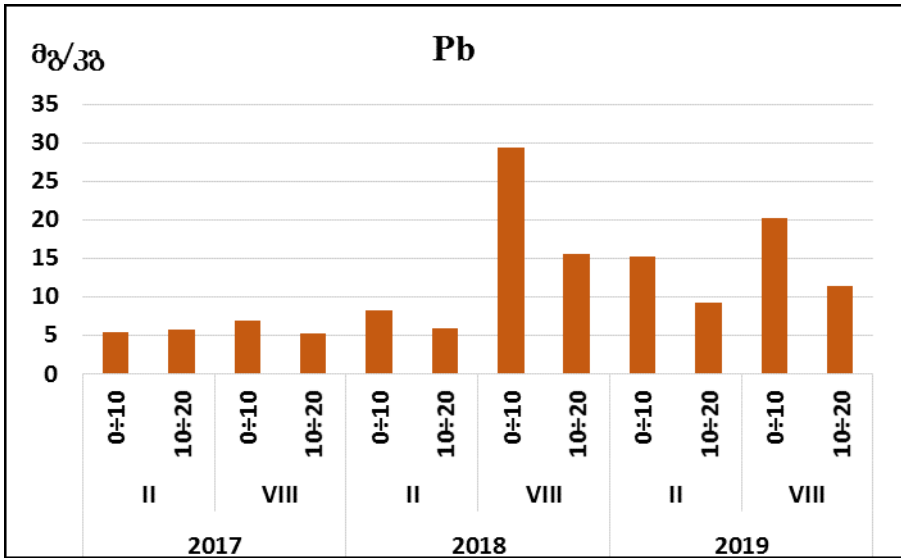
ნახაზი 2.18. სპილენძის კონცენტრაციის ცვლილების დინამიკა სიღნაღის რაიონის სოფ. ძველი ანაგის ხელოვნური წყალსაცავების მიმდებარე ტერიტორიების ნიადაგებში თებერვალი, აგვისტო, 2017- 2019.



ნახაზი 2.19. ტყვიის კონცენტრაციის ცვლილების დინამიკა სიღნაღის რაიონის სოფ. ძველი ანაგის ხელოვნური წყალსაცავების მიმდებარე ტერიტორიების ნიადაგებში თებერვალი, აგვისტო, 2017- 2019.



ნახაზი 2.20. სპილენძის კონცენტრაციის ცვლილების დინამიკა გურჯაანის რაიონის სოფ. ახაშნის ხელოვნური წყალსაცავის მიმდებარე ტერიტორიის ნიადაგებში
თებერვალი, აგვისტო, 2017- 2019.



ნახაზი 2.21. ტყვიის კონცენტრაციის ცვლილების დინამიკა გურჯაანის რაიონის სოფ. ახაშნის ხელოვნური წყალსაცავის მიმდებარე ტერიტორიის ნიადაგებში თებერვალი, აგვისტო, 2017- 2019.

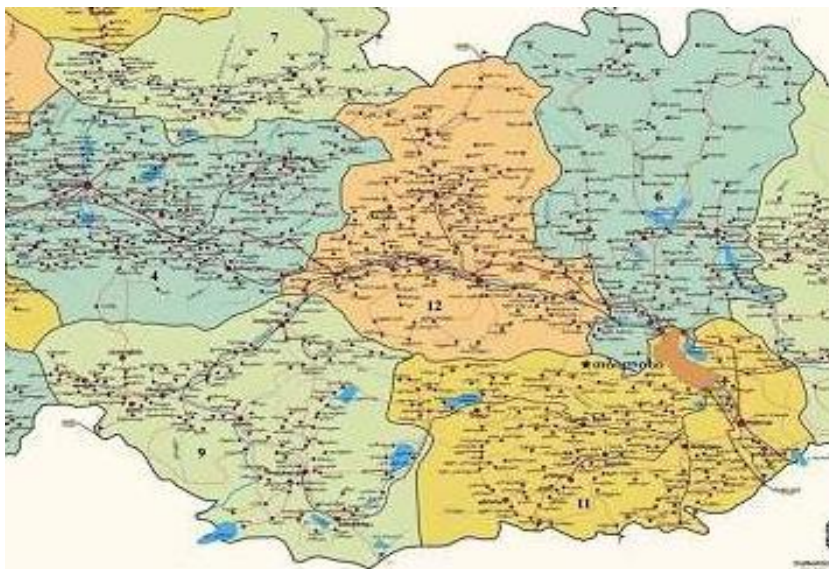
ნახ. 2.18-2.21-ზე მოცემულია სპილენძის და ტყვიის კონცენტრაციების მნიშვნელობები სოფ. გველი ანაგის და ახაშნის ნიადაგებში. როგორც მონაცემებიდან ჩანს, გველი ანაგის ნიადაგებში სპილენძის შემცველობა ზედა 0-10 სმ ნიადაგის ფენაში გაცილებით მაღალია ქვედა-10-20 სმ ფენასთან შედარებით. მისი მაქსიმალური მნიშვნელობა შეადგენს 100,00 მგ/კგ-ს 0-10 სმ ფენაში 2018 წ-ის აგვისტოს თვეში, რაც 2-ჯერ აღემატება კლარკში და 5-ჯერ ნიადაგში მის საშუალო შემცველობას. სოფ. ახაშნის ნიადაგებში სპილენძის მაქსიმალური მნიშვნელობა შედგენს 49,0 მგ/კგ, ე.ი.2,5 -ჯერ აღემატება მის საშუალო მნიშვნელობას ნიადაგში. სპილენძის შემცველობა კლარკში შეადგენს 47, ხოლო ნიადაგში მისი საშუალო შემცველობა - 20 მგ/კგ [2]. სოფ. გველი ანაგის ნიადაგში ტყვიის შემცველობის მაქსიმალური მნიშვნელობა შეადგენს 37,00 მგ/კგ-ს, რაც 2,3-ჯერ აღემატება კლარკში და 3,7-ჯერ ნიადაგში მის საშუალო შემცველობას. სოფ. ახაშნის ნიადაგებში ტყვიის მაქსიმალური მნიშვნელობა შედგენს 29,0 მგ/კგ, ე.ი.1,8 -ჯერ აღემატება კლარკის და 2,9-ჯერ მის საშუალო მნიშვნელობას ნიადაგში. ტყვიის მნიშვნელობა კლარკში შეადგენს 16, ხოლო ნიადაგში მისი საშუალო შემცველობა - 10 მგ/კგ [2].

ვერცხლის შემცველობა დაბალია ორივე ტიპის ნიადაგში და მერყეობს მეათედი და მეასედი მგ/კგ-ის ფარგლებში.

თავი III. ქართლის, მცხეთა-მთიანეთის, სამცხე-ჯავახეთის კლიმატისა და ატმოსფეროს დაბინძურების შესწავლის რიცხვითი მოძღვანის მოპლე დახასიათება

3.1 რეგიონის გეოგრაფიული დახასიათება

ქართლი საქართველოს ცენტრალური რეგიონია. ის შედგება ორი მხარისაგან – შიდა და ქვემო ქართლისაგან (ნახ. 3.1). შიდა ქართლის ფართობი 6.2 ათასი კმ²ია, მოსახლეობა - 63.4 ათასი ადამიანი. ქვემო ქართლი მდებარეობს, შიდა ქართლის სამხრეთით. მისი ფართობი 6.9 ათასი კმ. კმ-ია, მოსახლეობა – 432.3 ათასი ადამიანი.



ნახ. 3.1 ქართლის, მცხეთა-თიანეთისა, სამცხე-ჯავახეთისადმინისტრაციული რუკა.

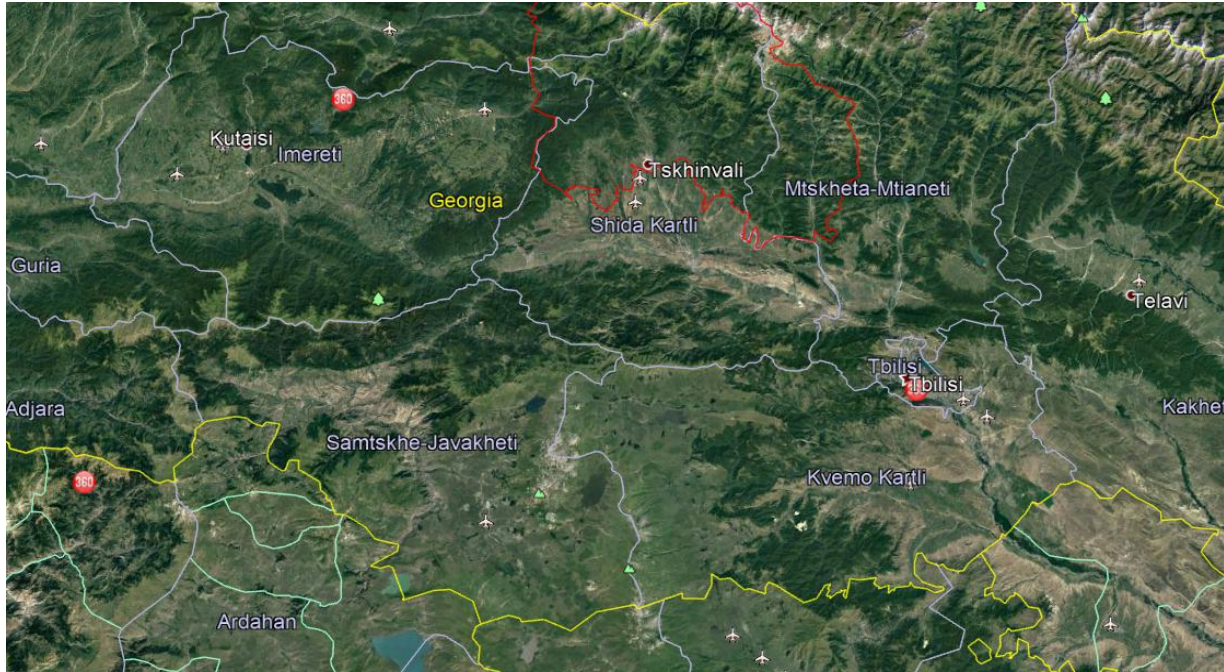
შიდა ქართლის ადმინისტრაციული ცენტრია ქორი, ადმინისტრაციული ერთეულები – ნაშერის, გორის, ქარელის და კასპის მუნიციპალიტეტები. შიდა ქართლის ჩრდილოეთი ნაწილი შედის ყოფილი სამხრეთ თხეთის ოლქში და დუშეთის მუნიციპალიტეტში. ქვემო ქართლის ადმინისტრაციული ცენტრია ქ. რუსთავი. მასში შედის 6 მუნიციპალიტეტი – გარდაბნის, მარნეულის, ბოლნისის, დმანისის, თეთრი წყაროს და წალკის.

შიდა ქართლის აღმოსავლეთით მდებარეობს მცხეთა-მთიანეთის ადმინისტრაციული ერთეული. მისი ფართობი 6.7 ათასი კვ.კმ-ია, მოსახლეობა - 125 ათასი კაცი. მცხეთა-მთიანეთის შემადგენლობაშია დუშეთის, თიანეთის, მცხეთის და ყაზბეგის მუნიციპალიტეტები, ადმინისტაციილი ცენტრია ქ.მცხეთა.

სამცხე-ჯავახეთი მდებარეობს საქართველოს სამხრეთ ნაწილში. მისი ფართობი არის 6.4 ათასი კვ.კმ, მოსახლეობა 208 ათასი. სამცხე-ჯავახეთის მხარის შემადგენლობაშია 6 ადმინისტრაციული ერთეული: ახალციხის, ახალქალაქის, ადიგენის, ასპინძის, ბორჯომის და ნინოწმინდის მუნიციპალიტეტები. ადმინისტრაციული ცენტრია ქ.ახალციხე.

აღმოსავლეთ საქართველოს აღნიშნულ რეგიონს ჩრდილოეთით ესაზღვრება რუსეთის ფედერაციის ავტონომური რესპუბლიკები, სამხრეთით – აზერბაიჯანი, სომხეთი და თურქეთი, დასავლეთით - იმერეთი, გურია და აჭარის ავტონომიური რესპუბლიკა, აღმოსავლეთით კახეთი.

რეგიონს კარგად გამოკვეტილი ბუნებრივი საზღვარი გააჩნია (ნახ.3.2). ჩრდილოეთ საზღვარი იწყება კავკასიონის მწვერვალ ზეკარასთან და გასდევს მთავარი კავკასიონის ქედის წყალგამყოფ თხემს კახეთის კავკასიონამდე. სამხრეთი საზღვარი მდებარეობს მცირე კავკასიონის წვრილმთიან-ვაკე-დაბლობ ტერტორიაზე. ის იწყება ქვემო ქართლის ვაკიდან და გადის სამსარის, არსიანის და აჭარა-იმერეთის ქედებზე.



ნახ. 3.2. ქართლის, მცხეთა-თიანეთისა, სამცხე-ჯავახეთისტოკოგრაფიული რუკა.

დასავლეთი საზღვარი კვეთს თრიალეთის ქედს, ვრცელდება ბორჯომის ხეობამდე და მისდევს ლიხის ქედს. ლიხის ქედი აღმოსავლეთ საქართველოს ბუნებრივ საზღვარს წარმოადგენს. აღმოსავლეთით საზღვარი გასდევს თრიალეთის ქედის აღმოსავლეთ ნაწილს და გადის მდ.მტკვრის გასწვრივ მდებარე ელდარის დაბლობსა და ქართლის ვაკეზე. ამრიგად, თავისი ოროგრაფიით აღმოსავლეთ საქართველოს ქართლის რეგიონი ატმოსფეროს ქვედა ფენებში დაცულია ჩრდილოეთიდან და სამხრეთიდან პაერის შემოჭრისაგან და ღიაა სამხრეთისა და სამხრეთ-აღმოსავლეთის დინებებისათის, რაც მნიშვნელოვნად განსაზღვრავს რეგიონის ქლიმატს.

შიდა ქართლის ჩრდილოეთი ნაწილი განლაგებულია კავკასიონის მთავარ ქედზე და ხასიათდება ნაკლები სიმაღლით. მის სამხრეთით განთავსებულია ქართლის ვაკე. ვაკის სამხრეთ ნაწილში მდებარეობს მდ.მტკვრის ხეობა, რომელიც წარმოადგენს ვიწრო, 2-7 კმ სიგანისა და 90 კმ სიგრძის ზოლს. რეგიონში მდებარეობენ შედარებით მცირე ზომის ფართობის ტირპონ-მუხრანის, სამილახვროსა და მუხრან-საგურამოს ვაკეები. ხეობას ჩრდილოეთიდან მიუყვება მცირე ქედებისა და სერების ზოლი. ქვემო ქართლი განლაგებულია ნახევრად უდაბნო, მშრალი სუპტონიკული და მაღალმთიანი ალპიური ზონის საზღვრებში, მცხეთა-მთიანეთის მხარე კი - მთავარი კავკასიონის ქედის სამხრეთ კალთაზე. მისი რელიეფი ხასიათდება მაღალი, ჩრდილოეთიდან სამხრეთისაკენ მიმართული ქედებით. ცალკეული მთების სიმაღლე აღწევს 3.5 - 5 კმ-ს.

სამცხე-ჯავახეთის რელიეფი როგორია. ის მთაგორიანია და კლდოვანი მხარეა. მისთვის დამახასიატებელია ვაკისებრი ტერასები, გორაკ-ბორცვები და ვულკანური წარმოშობის მთები. რელიეფი დასერილია ხეობებით და მდინარეების კალაპოტებით. ჯავახეთის ზედაპირი ტალღოვანი ვაკეა. რეგიონის ჩრდილოეთით თრიალეთის ქედის სამხრეთი კალთებია, აღმოსავლეთით აღმართულია აბულ-სამსარის ქედი.

3.2 რეგიონის კლიმატის მოკლე დახასიათება

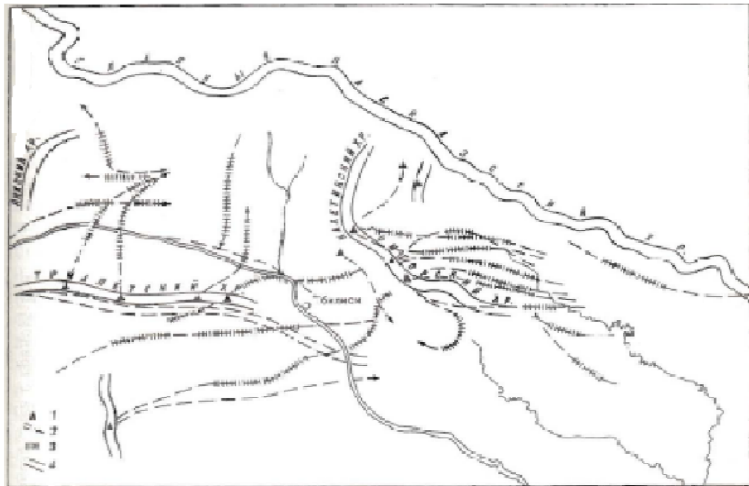
აღმოსავლეთ საქართველოს ტერიტორიისათვის დამახასიათებელ კლიმატს მისი მდგბარეობა და რელიეფის სირთულე განსაზღვრავს [1-4]. ყველაზე დაბალ ადგილს წარმოადგენს მდ.მტკვრის ხეობა. რეგიონის სამხრეთ-დასავლეთი, ჩრდილო, ცენტრალური და აღმოსავლეთი ნაწილები დახრილია მტკვრის ხეობისაკენ - დასავლეთისკენ, სამხრეთისკენ, ჩრდილოეთისა და სამხერეთ-აღმოსავლეთისკენ. სამხრეთი ნაწილი, ჯავახეთის ზეგანი, ერთგვარ ტაფობს წარმოადგენს (ბორჯომის, ახალქალაქის, დმანისის პლატოები). ყველაზე დაბალი ადგილია მინგრჩაურის წყალსაცავის მიმდებარე ტერიტორია. იქ რელიეფის სიმაღლე ზღვის დონიდან დაახლოებით 70 მ-ია. ყველაზე მაღალ რაიონს წარმოადგეს მთავარი კავკასიონის ქედი, სადაც ცალკეული მწვერვალის სიმაღლეზღვის დონიდან 3.5-5 კმ-ს აღწევს. ამასთან, ის შავი და კასპიის ზღვების მხრიდან დაშორებულია დაახლოებით 150 და 200 კმ-ით. ზღვებთან სიახლოვე, მისი ქედებით შემოსაზღვრულობა ქართლს, მცხეთა-მთიანეთს, სამცხე-ჯავახეთს პიდრომეტაროლგიურ თავისებურებასა და მახასიათებელ რეგიონალურ კლიმატს უქმნის.

ქვემო ქართლის ბარისათვის დამახასიათებელია მშრალი სუპტროპიკული ჰავა. ის ღიაა აღმოსავლეთის მხრიდან, ამიტომ მისთვის დამახასიათებელია აღმოსავლეთის ცივი და მშრალი ჰაერის შემოჭრა. მეორეს მხრივ, მტკვრის ხეობის არსებობა ხელს უწყობს სამხრეთ – დასავლეთის ნოტიო და თბილი ჰაერის შემოდინებას ქართლის ტერიტორიაზე. ამ პროცესებთან არის დაკავშირებული უხვი ნალექები, ელჭექი და სეტყვა. ჰაერის საშუალო წლიური ტემპერატურა 12°C -ია, იანვრის თვეის -0.2°C . ყველაზე ცხელი თვეებია ივლისი – აგვისტო. ამ თვეების საშუალო ტემპერატურა იცვლება ინტერვალში $23 - 25^{\circ}\text{C}$. აბსოლუტური მინიმალური ტემპერატურა $-20 - -25^{\circ}\text{C}$ -ის ფარგლებშია. აბსოლუტურად მაქსიმალური $-40 - 41^{\circ}\text{C}$.

შიდა ქართლის კლიმატი კონტინენტურია, ჰავა ზომიერად თბილი და ტენიანია (ზოგან მშრალი). საშუალო წლიური ტემპერატურა 11°C , შესაძლებელი მაქსიმალური ტემპერატურაა 42°C , მინიმალური -32°C . [5]

მცხეთა-მთიანეთის მხარის კლიმატი მიეკუთვნება ზომიერად ნოტიო სუბტროპიკულ ჰავას. აქ ზაფხული ცხელია, ზამთარი $-$ ზომიერად ცივი. ჰაერის საშუალო წლიური ტემპერატურაა $10,8^{\circ}\text{C}$, იანვრის $-1,1^{\circ}\text{C}$. ნალექები 590 mm წელიწლიური მუხრან-საგურამოს ქვაბულში ქარებს მნიშვნელოვანი სიჩქარე აქვთ (წლიური საშუალო დაახლოებით $3,6 \text{ m}^3/\text{m}^2$). სამცხე-ჯავახეთის უმეტეს ნაწილში მთიანი ველების ჰავაა. ზამთარი ცივი და მცირეთოვლიანია, ხოლო ზაფხული სანგრძლივი და თბილი. უფრო მაღალ ზონაში, მესხეთის ქედზე, ზღვის ნოტიოდან ზომიერად ნოტიო კონტინენტურზე გარდამავალი ჰავაა. ჰაერის საშუალო ტემპერატურა -3°C გრადუსიდან $+9^{\circ}\text{C}$ გრადუსამდე მერყეობს. რეგიონისათვის დამახასიათებელია საშიში და სტიქიური პიდრომეტეროლოგიური მოვლენების ფართო სკექტრი. ქობილისში მაღალი ტემპერატურა ($>35^{\circ}\text{C}$) დაიკვირება უწყვეტად 6 და 8 საათის განმალობაში ივლისის და აგვისტოს თვეებში, შესაბამისად. ქვემო ქართლის მნიშვნელოვანი ტერიტორია განეკუთვნება გვალვის ძალიან მაღალი რისკის რეგიონს. შიდა ქართლის დასავლეთი ნაწილი, მდ.მტკვრის ხეობა და ახალციხის ქვაბული - გვალვის საშუალო რისკის რაიონია. ქვემო ქართლში ზემკაცრი გვალვის აღბათობა მაღალია. ახალციხის

ტერიტორიისათვის მისი ალბათობა იცვლება 14%-დან აპრილში, 80% -მდე სექტემბერში [3]. სამხრეთ საქართველოს მთიანეთისა და ქვემო ქართლის ტერიტორიის ცალკეულ მცირე ნაწილებში გრიგალურმა ქარებმა შეიძლება მაიღწიონ და გადააჭარბონ 50 მ/წმ. ასეთი რაიონებია ზეკარის, გოდერის და მამისონის ურელტეხილები, ფარავანი, დმანისი და მთა-საბური. აღმოსავლეთ საქართველოში სეტყვის მოსვლა დაკავშირებულია დასავლეთიდან და აღმოსავლეთიდან ჰაურის მასების შემოჭრისთან, ან ტალღურ აღრევათან (ნახ.3.3, ცხრ.3.1). 44% შემთხვევაში სეტყვა დაკავშირებულია ცივი ფრონტის შემოჭრასთან, 22%-ში ტალღურ აღრევასთან, 17%-ში შიდამასიურ პროცესებთან და 15%-ში ფრონტალურ ოკლუზიასთან [6].



ნახ. 3.3. სეტყვის წარმოშობის კერები და სეტყვათცვენის ტრაექტორიები აღმოსავლეთ საქართველოში [2].

ცხრილი 3.1. სეტყვიანი დღეების საშუალო და მაქსიმალური წლიური მნიშვნელობები

მეტეოსადგური	დღეთა რიცხვი	
	საშუალო	მაქსიმალური
თბილისი	1,6	7
ახმეტა	1,8	4
თელავი	2.7	5
ნაფარეული	1.4	5
წინანდალი	1.6	5
ზეგაანი	2.1	5
გურჯაანი	1.8	6
ყვარელი	2.1	8
კარდანახი	3.0	6
ალაზანი	1.3	4

ამრიგად, არმოსავლეთ საქართველოს განხილული რეგიონი ხასიათდება მეტად საინტერესო და მრავალფეროვანი ლოკალური კლიმატით. თუ გავითვალისწინებთ იმას, რომ ის წარმოადგენს საქართველოს სასოფლო-სამეურნეო და საექსპორტო დანიშნულების პროდუქტების წარმოების ერთ-ერთი ძირითად რაიონს, მისი პიდრომეტეოროლოგიური და ეკოლოგიური პრობლემების შესწავლას გააჩნია მნიშვნელოვანი პრაქტიკული და თეორიული მნიშვნელობა.

3.3. რეგიონალური და ლოკალური ატმოსფერული და ეკოლოგიური პროცესების რიცხვითი მოდელების მოკლე დახასიათება

მათემატიკური მოდელირება არის ამინდის პროგნოზირების, ლოკალური და რეგიონალური ატმოსფერული პროცესების კვლევის ერთ-ერთი ყველაზე უფრო ეფექტური საშუალება. ის ემყარება α, β და γ მეზმასშტაბური მოდელების ფართო გამოყენებას. მათში განხორციელებულია ატმოსფეროს ჰიდროთერმოდინამიკის სამგანზომილებიანი არასტაციონალური არაწრფივი განტოლებათა სისტემების რიცხვითი ინტეგრირება თანამედროვე ცხადი და არაცხადი რიცხვითი სქემების საშუალებით.

ლოკალური მასშტაბის რეგიონებში ატმოსფერული პროცესების ეკოლოგიური მოდელების ორი მიმართულებაა გამოკვეთილი:

I – კვლევა, რომელიც ტარდება ამინდის მოკლევადიანი და ზემოკლევადიანი პროგნოზის ოპერატიული პროგნოზირების სქემების ფუნქციონრებისას მიღებული შედეგების ანალიზის საშუალებით;

II – კვლევები, რომლებიც ტარდება კონკრეტული ტერიტორიებისათვის სპეციალურად დამუშავებული β და γ მეზო მასშტაბის პროცესების ჰიდროთერმოდინამიკული მოდელების საშუალებით.

ორივე მიმართულებით მიღებულია მნიშვნელოვანი თეორიული შედეგები.

დღეისათვის, ჰიდრომეტეოროლოგიური კვლევების თვალსაზრისით წამყვან სამეცნიერო ცენტრებში დამუშავებულია და ოპერატიულად გამოიყენება ათამდე რეგიონალური პროგნოსტიკული სისტემა (ცხრ.3.2).

მეზომეტეოროლოგიური მასშტაბის ოპერატიული პროგნოზული სისტემის ექსპლუატაციისა და გაუმჯობესობისათვის ევროპის ქვეყნების მეტეოროლოგიური სამსახურები დაიყვნენ რამდენიმე ჯგუფად. ეს ჯგუფებია:

- ALADIN (Aire Limited Adaptation dynamique Developpement Inter-National)-სისტემის დამუშავებელ ძირითად ქვეყანას წარმოადგენს საფრანგეთი-ავსტრია. უნგრეთმა, რუმინეთმა, სლოვაკეთმა, სლოვენიამ, ჩეხეთმა და ხორვატიამ შექმნეს ALADIN-ის ქვეჯგუფი LACE (Limited Areamodellingin Central Europe). ვეჯგუფის ცენტრი მდებარეობს ქ. პრაღაში;

- COSMO (Consortium for Small-scale Modelling) — სისტემის ძირითადი შემქმნელი ქვეყანაა გერმანია. პოლონეთი და რუმინეთი ერთდროულად მონაწილეობდნენ ALADIN-ის ასევე COSMO-სშექმნის პროცესში.

- HIRLAM (High Resolution Limited Area Model) — სისტემის ძირითად შემქმნელია სკანდინავიური ქვეყნები და ესპანეთი. პროექტის დამუშავებაში მონაწილეობს საფრანგეთიც.

ცხრილი 3.2. ატმოსფეროს ოპერატიული რეგიონალური მოდელების დახასიათება 2007 წ. დასაწყისისათვის [3].

ქვეყანა	გეორდითი სასაზღვრო და საწყისი პირობები	მოდელი	ბაზის ბიჯი, კბ
HIRLAM	ISF	HIRLAM UK708	5-20
დიდი ბრიტანეთი	UM	NAE38	12
რუსეთი	GFS	L31 MM5 Z-model	75 15 10
აშშ	GFS	NAML60	12

		NMML60	5-8
საფრანგეთი	ARPEGE/ ALADIN	AROMEL41	2.5
გერმანია	GME COSMO-EU	COSMO-EUL40 COSMO-DEL50	7 2.8
შვეიცარია	ISF	COSMO-7L60 COSMO-2L60	6,6 2,2
იაპონია	GSM RSM	PSMI40 MSML50	20 5

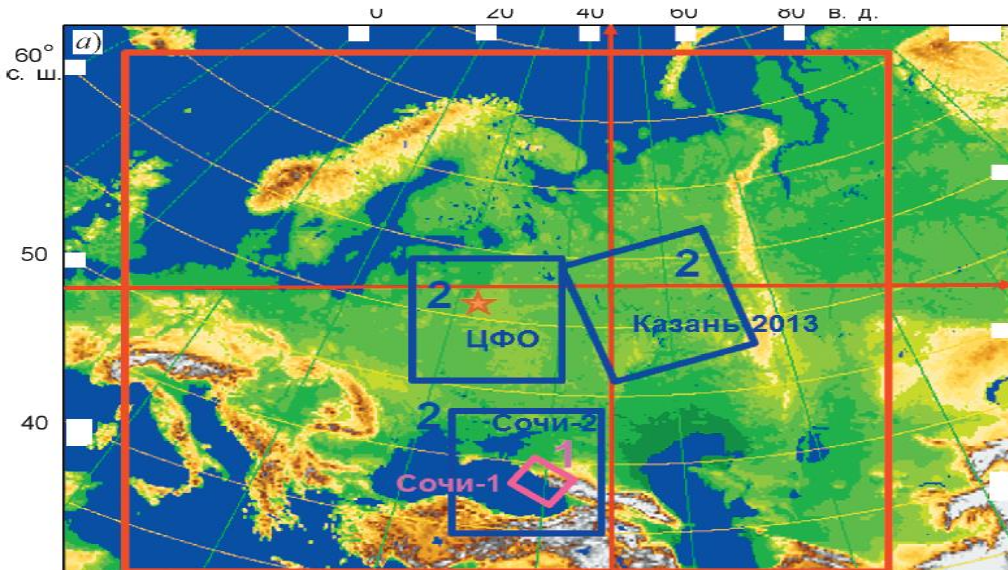
დიდი ბრიტანეთი დამოუკიდებლად თავისი ძალებით ამჟღავებს პროგნოსტიკულ სისტემებს. ის ამასთანავე თანამშრომლებს სხვა ქვეყნებთან და სისტემებთან.

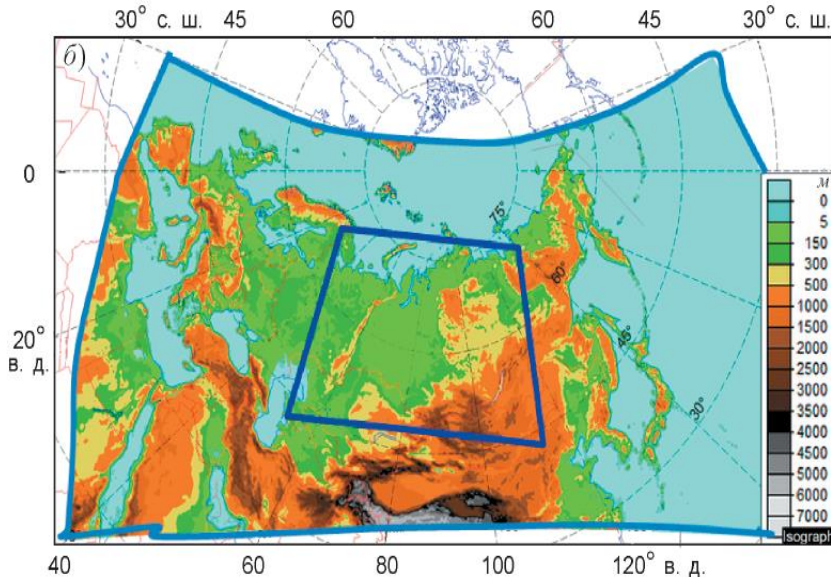
რუსეთის ჰიდრომეტეოროლოგიური კომიტეტი 2007 წლიდან იმყოფება COSMO-სშემადგენლობაში და მონაწილეობს პროგნოსტიკული სისტემის გაუმჯობესობაში.

აღნიშნული პროგნოსტიკული სისტემები შედგება 6 ტოლფასოვანი ქვესისტემებისაგან. ეს სისტემებია:

- დაკვირვებათა ქვესისტემა;
 - ტელეკომუნიკაციური ქვესისტემა;
 - გამოთვლითი ქვესისტემა;
 - მონაცემთა ათვისების ქვესისტემა;
 - ატმოსფეროში ნიადაგსა და ოკეანეში (ზღვაში) მიმდინარე პროცესების ქვესისტემა;
 - პროცესების შემდგომი ქვესისტემა;
- უკელა ამ ქვესისტემის მუშაობაზე ერთნაირადა დამოკიდებული მიღებული შედეგები.

რუსეთის ჰიდრომეტეოროლოგიური სამსახური 2009 წლიდან გახდა კონსორციუმ COSMO-ს წევრი და კონსორციუმის წესდების შესაბამისად რუსეთისათვის დაამუშავა COSMO-Ru ვარიანტი. დღეისათვის შექმნილია COSMO-Ru7 ვერსია [9] (ნახ. 1.4.) დღეისათვის რუსეთიდრომეტის გამოთვლითი სისტემებისათვის მოხვევა და ნოვოსიბირსკში ექსპლუატირებს მეზომეტეოროლოგიური პროგნოზირების ხაზები [10].





ნახ. 3.4. COSMO-Ru -ს ინტეგრირების არე: а) COSMO-Ru1 (სოჩა),) COSMO-Ru2- (ცენტრალური ფედერაციული ოლქი, სოჩა 2,) COSMO-Ru7 (წითელი ხაზით შემოსაზღვრული არე); б) COSMO-RuEna (mTeli are) da COSMO-RuSib (შიდა არე).

COSMO-Ru-ს რიცხვითი ინტეგრირებისათვის გამოყენება გ.ი.მარჩუკის მიერ დამუშავებულ გახლების მეთოდი [11]. სივრცითი პორიზონტალური ბიჯები სხვადასხვა ვერსიებში იცვბლება რამდენიმე ათეული კმ-დან რამდენიმე კმ-დან, ვერტიკალური - კმ-დან რამდენიმე ასეულ მეტრამდე, დროითი ბიჯები - რამდენიმე ათეული წმ-დან რამდენიმე წმ-დან მაგალითად, გამოთვლებს 78 სთ-იანი პროგნოზირებისათვის SGI ICE-X სუპერკომპიუტერზე 288 ბირთვის პარალელული გამოყენებით, $700 \times 620 \times 40$ წერტილებისაგან შემდგარ ბადეზე პორიზონტალური ბიჯით 7 კმ, სჭირდება 50 წთ ფიზიკური დრო.

პროგნოსტიკული მოდელების გამოყენებით ჩატარებული კვლევებით მიღებულია საინტერესო შედეგები. მათი გათვალისწინება იძლევა პროგნოსტიკული სისტემების შემდგომი გაუმჯობესების და რიცხვითი მოდელების სრულყოფის საშუალებას.

მეზომეტეოროლოგიური მოდელები, რომლებიც მიზნად არ ისახავენ ამინდის პროგნოზირებას, დამუშავებულია სხვადასხვა ჰიდრომეტეოროლოგიური პროცესების წარმოშობის და ეპოლუციის კანონზომიერების კვლევებისათვის. განსაკუთრებული ყურადღება ეთმობა რთული რელიეფის პირობებში მეზომასშტაბის პროცესების განვითარების მოდელირებას. ამოცანა რთულია და მისი გადაწყვეტა პირდაპირად დაკავშირებულიადინამიკური მეტეოროლოგიის სხვადასხვა პრეობლემებთან - მათშორის სხდასხვა მასშტაბის ატმოსფერული ტურბულენტობის განვითარებასთან მთიან რეგიონებში. მთიან ტერიტორიებზე ატმოსფეროს სასაზღვრო ფენის შესწავლა ძირითადად ფოკუსირებულია მათ გლობალურ თვისებებზე. ისეთებზე, როგორიცაა ატმოსფეროს თერმიული სტრატიფიკაცია, სასაზღვრო ფენის სისქის ცვლილება. უკანასკნელ პერიოდში ჩატარებულ ზოგიერთ ნაშრომში [7, 8] შესწავლილია მთიან ტერიტორიაზე ტურბულენტობის სტრუქტურა, ტურბულენტობისკინეტიკური ენერგიის განაწილება. მოდელირების და დაკვირვების მონაცემების ანალიზმა აჩვენა, რომ რთული რელიეფის ტერიტორიაზე წარმოშობილი ტურბულენტობის სტრუქტურა მნიშვნელოვნად განსხვავდება კლასიკურ კონვექციურ სასაზღვრო ფენის სტრუქტურისაგან. კვლევებმა აჩვენა, რომ მიზანშეწონილია მიღებული შედეგების შემდგომი განზოგადოება სხვასხვა სიგანისა, ორიენტაციის ხეობებისათვის და მთაგორიანი ტერიტორიისათვის.

ნაშრომებში [12-15] რთული რელიეფის მქონე ტერიტორიებზე მოდელირებულია რეგიონ-ალური ლოკალური ცირკულაციების განვითარება და დამაბინძურებელი ნივთიერებების გავრცელება. მოდელირებისათვის გამოყენებულიარია რეგიონალური მასშტაბის ატმოსფერული პროცესისა და მეზომასშტაბის სასაზღვრო ფენის რიცხვითი მოდელები. მოდელირებით გამოკვლეულია ლოკალური ცირკულაციის თავისებურებები და ატმოსფეროს დამაბინძურებელი ნივთიერებების გადატანის ტრაქტორიები, შეფასებულია ნიადაგზე დალექილი დამაბინძურებელი ნივთიერებების ზედაპირული კონცენტრაციები.

ამინდის პროგნოზირების დამუშავებული მათემატიკური და რიცხვითი მოდელირება გამოიყენება პიდრომეტეოროლოგიური ველების მისაღებად ატმოსფეროში აეროზოლების გავრცელების კანონზომიერების კვლევისა და დაბინძურების პროგნოზირებისათვის. დღეისათვის დამუშავებულია მოდელები, რომელებიც შეიძლება სისტემატიზირდეს ოთხი ჯგუფის სახით: გაუსის, ემპირიული, ლაგრანჟის და ეილერის მოდელები.

გაუსის სტაციონალური და არასტაციონალურ მოდელები [16-17] გვაძლევენ ამონაფრქვევის შლეიფში კონცენტრაციის სივრცული განაწილების ანალიზურ გამოსახულებას. ისინი ეყრდნობიან დაშვებას, რომ დაბინძურების ღრუბელში კონცენტრაციის განაწილება ახლოსაა გაუსის ნორმალურ განაწილებასთან და წარმოადგენენ დიფუზიის განტოლების ანალიზურ ამონენას იმ შემთხვევაში, როდესაც ქარის სიჩქარე მუდმივია დროსა და სივრცეში. დიფუზიის კოეფიციენტები არაა დამოკიდებული კოორდინატებზე და ინგრედიენტის ადვექტიური გაედატანა მინარევის გავრცელების მიმართულებით გაცილებით ძლიერია დიფუზიურ გადატანაზე.

ემპირიული მოდელები მიღებულია მრავალრიცხოვანი ექსპერიმენტალური გაზომვებისა და ნატურული დაკვირვების მასალების განზოგადების ბაზაზე. ისინი ანალიზური ფუნქციების საშუალებით გამოსახავენ დამაბინძურებელი ინგრედიენტების კონცენტრაციის განაწილებას სივრცეში ქარის ფიქსირებული და მუდმივი მნიშვნელობის, რეგიონის კლიმატური ზონის მასასიათებელი და ამოფრქვევის წყაროს გეომეტრიული, თერმიული პარამეტრების გამოყენებით [18-19]. ემპირიული მოდელები ფართოდ გამოიყენება გარემოზე ზემოქმედების ღონის შეფასების და ზღვრულად დასაშვები ამონაფრქვევების რაოდენობის განსაზღვრისათვის. ემპირიული მოდელები ძირითადად ასახავენ ლოკალური დიფუზიის პროცესებს.

ლაგრანჟის მოდელში კონცენტრაციის საშუალო მნიშვნელობა სივრცის მოცემულ წერტილში და დროის განსაზღვრულ მომენტში განისაზღვრება როგორც დროითი და სივრცითი ინტეგრალი ჰაერის მოცელობის ალბათობის ფუნქციის და წყაროს მასასიათებელი ფუნქციების ნამრავლიდან [20-22]. ლაგრანჟის მოდელები ძირითადად გამოიყენება დიდმასშტაბიანი დიფუზიის პროცესების შესწავლისათვის.

განსაკუთრებული გავრცელება პპოვა ატმოსფეროს დაბინძურების პროგნოსტიკულმა და დიაგნოსტიკურმა ეილერის ქიმიურმა მოდელებმა [23-25]. მათში დამაბინძურებელი ნივთიერებების კონცენტრაციები განისაზღვრებიან მინარევების ატმოსფეროში გადატანა-დიფუზიის განტოლების რიცხვითი ინტეგრირებით. თანამედროვე მოდელები ითვალისწინებენ ატმოსფეროში არსებული მინარევების ქიმიური გარდაქმნის, რადიაციული დაშლის, ფოტოდისიპაციის, აეროზოლების გამორეცხვას, დალექვას და სხვა ფიზიკური, თუ ქიმიური კინეტიკის პროცესებს. ქიმიური მოდელები ინტეგრირებულია ამინდის თანამედროვე მაღალი გარჩევის უნარის მქონე პიდროსტატიკურ და არაპიდროსტატიკურ მეზომეტეოროლოგიურ მოდელებში. ისინი წარმოადგენენ თანამედროვე რთულ გამოთვლით სისტემებს. მათი რეალიზაცია ხორციელდება მძლავრ სუპერკომპიუტერებზე და ექსპლუატაცია მოითხოვს სკეციალურად მომზადებულ პერსონალს.

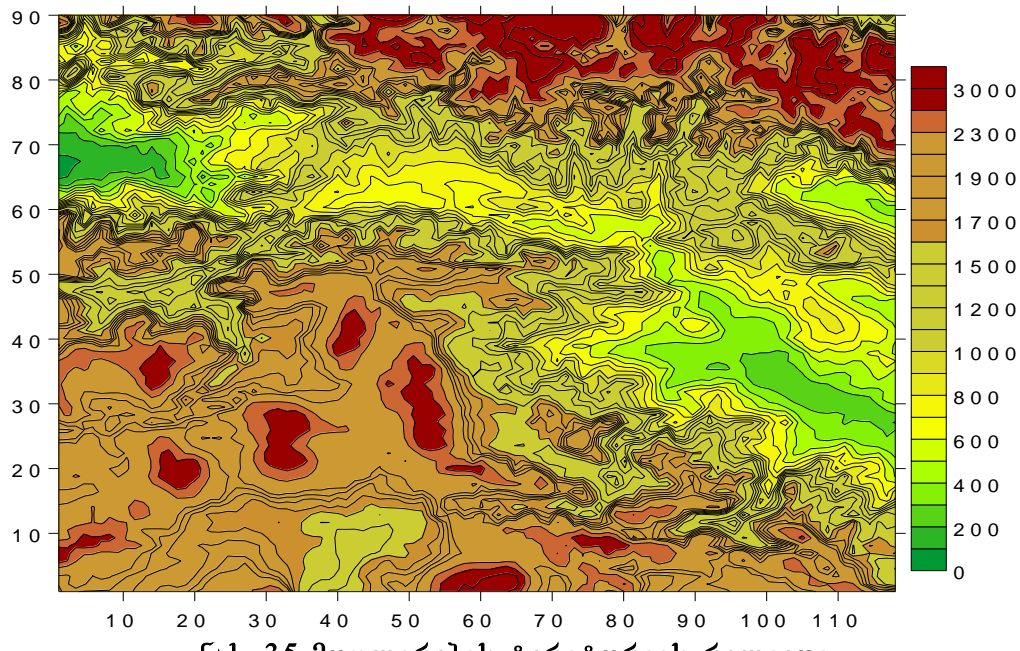
ატმოსფეროს დაბინძურების პროგნოსტიკული სისტემების გარდა შექმნილია მთელი რიგი დიაგნოსტიკური მოდელები, რომლებიც გამოიყენება კვლევითი სამუშაოსა და ცალკეულ

პრაქტიკული ამოცანების გადასაწყვეტად [26-32]. თითოეული მოდელი დამუშავებულია გარკვეული პიდრომეტეოროლოგიური პირობების და დაბინძურების კონკრეტული სიტუაციებისათვის.

კავკასიაში, საქართველოსა და მის ცალკრულ რაიონებში ატმოსფეროს დაბინძურების პრობლემის შესასწავლად დამუშავებულია აეროზოლების გავრცელების დიაგნოსტიკური რეგიონალური და ლოკალური [33-39] მოდელები. ისინი ეყრდნობიან ატმოსფეროს პიდროთერმოდინამიკის არასტაციონალური არაწრფივი სამგანზომილებიანი კვაზისტატიკურ განტოლებათა სისტემასა და ატმოსფეროში ნივთიერების გადატანა-დიფუზიის განტოლების ერთობლივ ინტეგრირებას რთული რელიეფის ტერიტორიებისათვის. მოდელებში რელიეფის ადეკვატური აღწერისათვის გამოყენებულია რელიეფის მიმყოლი კოორდინატთა სისტემა. ინტეგრირება განხორციელებულია რიცხვითი სქემების საშუალებით ფ.შუმანის ცხადი და გ.მარჩუკის მიერ დამუშავებული არაცხადი გახლების მეთოდის გამოყენებით. მოდელირებით გამოკვლეულია დამაბინძურებელი ნივთიერებების გადატანის ტრაექტორიები, მერიდიანულად პარალელების გასწვრივ მიმართული ქედების გავლენა რეგიონალურ დინებებზე და პასიურ დაბინძურებელ ნივთიერებათა გადატანაზე, მათი საშუალებით შეფასებულია ნიადაგზე დალექტიდი დამაბინძურებელი ნივთიერებების ზედაპირული კონცენტრაციები, აეროზოლების ლოკალური და რეგიონალური დიფუზიის სხვა თავისებურებები.

3.4. საქართველოს ცენტრალურ ნაწილში მეზომასშტაბის ატმოსფერული პროცესების განვითარების მათემატიკური მოდელი

ამოცანის მათემატიკური დასმა. იმისათვის, რომ შევისწავლოთ ლოკალური პიდრომეტეოროლოგიური პროცესების განვითარება საქართველოს ცენტრალურ ნაწილშიტერიტორიაზე განვიხილოთ არე ზომებით 236 კმ×180 კმ. რე, რომლის ცენტრში მოთავსებულიაქართლის, მცხეთა-თიანეთისა, სამცხე-ჯავახეთის რეგიონები. ნახ. 3.5-ზე ნაჩვენებია მათემატიკური მოდელირებისათვის გამოყენებული რელიეფი, საიდანაც ჩანს, რომ რეგიონს ჩრდილოეთიდან ესაზღვრება მტკვარი, კავკასიონის ქედი, სამხრეთიდან - მცირე კავკასიონი, დასავლეთიდან კოლხეთის დაბლობი და გურიის ქედი, ხოლო-აღმოსავლეთიდან ივრის ზეგანი, ალაზნის და ქართლის ვაკეების რელიეფი მეტად რთულია და მისი სიმაღლე იცვლება 77 მ-დან 3.4 კმ-მდე.



ნახ. 3.5 მოდელირების ტერიტორიის რელიეფი.

ძირითად განტოლებებს, რომლებიც აღწერენ მეტეოროლოგიური ველების და პასიური დამაბინძურებელი ნივთიერების კონცენტრაციის ცვლილებას გარემოში აქვთ შედეგი სახე:

ა) ატმოსფეროსათვის [19, 20] :

$$\begin{aligned} \frac{du}{dt} &= -\frac{\bar{P}}{\rho} \frac{\partial \varphi}{\partial x} + lv + g(1+0.61q)\theta \frac{\partial z}{\partial x} + \mu \Delta u + \frac{1}{\rho h^2} \frac{\partial}{\partial \zeta} \rho v \frac{\partial u}{\partial \zeta}, \\ \frac{dv}{dt} &= -\frac{\bar{P}}{\rho} \frac{\partial \varphi}{\partial y} - lu + g(1+0.61q)\theta \frac{\partial z}{\partial y} + \mu \Delta v + \frac{1}{\rho h^2} \frac{\partial}{\partial \zeta} \rho v \frac{\partial v}{\partial \zeta}, \\ \frac{\partial \varphi}{\partial \zeta} &= \frac{g}{RT} (1+0.61q) \theta h, \quad \frac{\partial h}{\partial t} + \frac{\partial uh}{\partial x} + \frac{\partial vh}{\partial y} + \frac{\partial \tilde{w}h}{\partial \zeta} + \frac{1}{\rho} \frac{d\rho}{dz} wh = 0, \quad (1) \\ \frac{\partial \vartheta'}{\partial t} + u \frac{\partial \vartheta}{\partial x} + v \frac{\partial \vartheta}{\partial y} + \tilde{w} \frac{\partial \vartheta}{\partial \zeta} + Sw &= \mu \Delta \vartheta + \frac{1}{\rho h^2} \frac{\partial}{\partial \zeta} \rho v \frac{\partial \vartheta}{\partial \zeta} + \frac{L}{\rho C_p} \phi_{con} - \frac{\partial \theta}{\partial t}, \\ \frac{\partial q}{\partial t} + u \frac{\partial q}{\partial x} + v \frac{\partial q}{\partial y} + \tilde{w} \frac{\partial q}{\partial \zeta} &= \mu \Delta q + \frac{1}{h^2} \frac{\partial}{\partial \zeta} v \frac{\partial q}{\partial \zeta} - \varphi_{con}, \\ \frac{\partial m}{\partial t} + u \frac{\partial m}{\partial x} + v \frac{\partial m}{\partial y} + \tilde{w} \frac{\partial m}{\partial \zeta} &= \mu \Delta m + \frac{\partial}{h^2} \frac{\partial}{\partial \zeta} v \frac{\partial m}{\partial \zeta} + \varphi_{con} - \frac{\partial N}{\partial t}, \\ \frac{\partial c}{\partial t} + u \frac{\partial c}{\partial x} + v \frac{\partial c}{\partial y} + (\tilde{w} - \frac{w_0}{h}) \frac{\partial c}{\partial \zeta} &= \mu \left(\frac{\partial^2 c}{\partial x^2} + \frac{\partial^2 c}{\partial y^2} \right) + \frac{1}{h^2} \frac{\partial}{\partial \zeta} v \frac{\partial c}{\partial \zeta} - \frac{\partial C}{\partial t}, \\ \frac{d}{dt} &= \frac{\partial}{\partial t} + u \frac{\partial}{\partial x} + v \frac{\partial}{\partial y} + \tilde{w} \frac{\partial}{\partial \zeta}, \quad A = \frac{\partial}{\partial x^2} + \frac{\partial}{\partial y^2}, \quad w = \frac{\partial z}{\partial t} + u \frac{\partial z}{\partial x} + v \frac{\partial z}{\partial y} + \tilde{w}h \end{aligned}$$

ბ) ნიადაგის აქტიური ფენისათვის [21, 22]:

$$\frac{\partial V}{\partial t} = \frac{\partial}{\partial z} D(V) \frac{\partial V}{\partial z} - \frac{\partial E(V)}{\partial z}, \quad \frac{\partial T_{soil}}{\partial t} = K_{soil} \frac{\partial^2 T_{soil}}{\partial z^2}, \quad \text{სადაც } \delta_0 > z > Z_{soil}; \quad (2)$$

სადაც t დროა; x, y ყდაზაღმოსავლეთით, ჩრდილოეთით და ვერტიკალურად ზევით მიმართული დეკარტეს კორდინატთა დერძებია; $\zeta = (z - \delta)/h$ განუზომადი ვერტიკალური კორდინატა; $\delta = \delta(x, y)$ მიწისპირა ფენის სიმაღლეა; δ_0 რელიეფის სიმაღლეა; $h = H - \delta$; $H(t, x, y)$ ტროპოპაზის სიმაღლეა; u, v, w და \tilde{w} ქარის სიჩქარის მდგენელებია; x, y, z და ζ დერძების გასწვრივ; $\vartheta = T'/\bar{T}$ და $\varphi = P'/\bar{P}(z)$ ტემპერატურისა და წნევის ანალოგებია; $\bar{T} = 300K$; T' , P' ტემპერატურის და წნევის გადახრებია მათი სტანდარტული ვერტიკალური განაწილებებიდან $T(z) = \bar{T} - \gamma z$ და $\bar{P}(z)$; γ - ტემპერატურის სტანდარტული ვერტიკალური გრადიენტია; ϑ და θ ტემპერატურის ანალოგის მეზომასშტაბური დაფონური შემადგენელი ნაწილებია; $\vartheta' = \vartheta - \theta$; q და Q წყლის ორთქლის და ფონური მასური ნაწილებია; m და M დრუბლის წყლის და ფონური მასური ნაწილებია; T_{soil} და T_{sea} ნიადაგისა და ზღვის წყლის ტემპერატურებია; c ატმოსფეროს დამაბინძურებელი პასიური ნივთიერების კონცენტრაცია; V ნიადაგში წყლის მოცულობითი შემცველობა; $\rho(z)$ და ρ_{sea} მშრალი ჰაერის სიმკვრივის სტანდარტული ვერტიკალური განაწილება და ზღვის წყლის სიმკვრივეა; g თავისისუფალი ვარდნის აჩქარება; R უნივერსალური გაზური მუდმივად მშრალი ჰაერისათვის; C_p მშრალი ჰაერის გუთრი სითბოტეგადობაა მუდმივი წნევის პირობებში; S ოერმული მდგრადობის

პარამეტრია; L კონდენსაციის ფარული სითბოა; ϕ_{con} კონდენსაციის სიჩქარეა; μ და N პორიზონტალური და ვერტიკალური ტურბულენტობის კოეფიციენტია; $\partial N / \partial t$ - ნალექების მოსვლის ინტენსივობა; D ნიადაგში წყლის დიფუზიის კოეფიციენტია; E - ნიადაგის ფილტრაციის კოეფიციენტია; I ზღვაში მზის ჯამური რადიაციის ნაკადია; K_{soil} ნიადაგისტემპერატურაგამტარებლობის კოეფიციენტია . μ და N განსაზღვრულია შემდეგი ფორმულებით [39,40]:

$$\mu = \Delta x \Delta y \sqrt{2 \left(\frac{\partial u}{\partial x} \right)^2 + \left(\frac{\partial u}{\partial y} + \frac{\partial v}{\partial x} \right)^2 + 2 \left(\frac{\partial v}{\partial y} \right)^2}; \quad N = (0.05 \Delta z)^2 \sqrt{\left(\frac{\partial u}{\partial z} \right)^2 + 2 \left(\frac{\partial v}{\partial z} \right)^2 + \frac{g}{\rho} \frac{\partial p}{\partial z}}; \quad (3)$$

სადაც Δx და Δy - პორიზონტალური ბიჯებია, Δz - ვერტიკალური ბიჯია.

(1), (2)-ში არსებული კონდენსაციის სიჩქარის, სტატიკური მდგრადობის, დიფუზიისა და ფილტრაციის კოეფიციენტები განისაზღვრებიან ცნობილი ფორმულებით [41-43]:

$$S = \begin{cases} (\gamma_a - \gamma) / \bar{T}, & \text{თუ } q < q_{sat} \\ (\gamma_a - \gamma) / \bar{T}, & \text{თუ } q \geq q_{sat} \end{cases}; \quad \Phi_c = \begin{cases} 0, & \text{თუ } q < q_{sat} \\ \frac{\rho c_p}{L} (\gamma_a - \gamma_m), & \text{თუ } q \geq q_{sat} \end{cases}, \quad (4)$$

სადაც, γ_m ტემპერატურის ნოტიო ადიაბატური გრადიენტია; q_{sat} ნაჯერი წყლის ორთქლის მასური წილია, რომელიც განისაზღვრება ფორმულით [44]

$$q_{sat} = 0.622(\exp(17.5/(T - 273.2)/(T - 31.8)) / P). \quad (5)$$

ნიადაგში წყლის დიფუზიის და ფილტრაციის კოეფიციენტები განისაზღვრება ფორმულებით [45]:

$$D(C) = D_{max} \left(\frac{C - C_{con}}{C_{por} - C_{con}} \right)^{3,5}, \quad E(C) = E_{max} \left(\frac{C - C_{con}}{C_{por} - C_{con}} \right)^{3,5}, \quad (6)$$

სადაც D_{max} , E_{max} დიფუზიისა და ფილტრაციის კოეფიციენტების ცნობილი მაქსიმალური მნიშვნელობებია; C_{con} , C_{por} - ნიადაგში ბმული წყლის მოცულობითი შენცველობა და ნიდაგის ფორიანობაა, შესაბამისად.

ნალექების ინტენსივობა განისაზღვრება ფორმულით:

$$\frac{\partial N}{\partial t} = \begin{cases} (m - m_{max}) / \delta / \delta t & \text{თუ } m \geq m_{max} \\ 0 & \text{თუ } m < m_{max} \end{cases} \quad (7)$$

სადაც m_{max} წყლის მაქსიმალური წილია დრუბელში; δt - ნალექის მოსვლის დროითი ინტერვალია.

(1), (2) და (3) განტოლებათა სისტემებისათვის განვიხილოთ შესაბამისი საწყისი და სასაზღვრო პირობები.

დავუშვათ, რომ დროის s_a საწყისს $t = 0$ მომენტში საძიებელი ფუნქციები ($u, v, \vartheta, q, m, h, C, T_{sea}, T_{soil}$) ცნობილი სიდიდეებია. მათ კონკრეტულ მნიშვნელობებს განვსაზღვრავთ ქვემოთ რიცხვითი ექსპერიმენტის განმარტების დროს.

საწყისი და სასაზღვრო პირობები. ამოცანის ამოხსნის არის გვერდითსაზღვრებზე მივიღოთ შემდეგი სასაზღვრო პირობები:

$$v = \left(\frac{\bar{P}}{\rho} \frac{\partial \varphi}{\partial x} - g(1+0.61q)g \frac{\partial z}{\partial x} \right) / l, \quad u = \left(-\frac{\bar{P}}{\rho} \frac{\partial \varphi}{\partial y} + g(1+0.61q)g \frac{\partial z}{\partial y} \right) / l, \\ \vartheta' = 0, \quad q = q(0, x, y, \zeta), \quad m = m(0, x, y, \zeta), \quad c = c(o, x, y, z), \quad \text{at } t = 0 \quad (8)$$

$$h = h(o, x, y, \zeta), \quad T_{sea} = T_{sea}(o, z), \quad T_{soil} = T_{sol}(o, z), \\ \frac{\partial u}{\partial y} = \frac{\partial v}{\partial y} = \frac{\partial h}{\partial y} = \frac{\partial \vartheta'}{\partial y} = \frac{\partial q}{\partial y} = \frac{\partial m}{\partial y} = 0, \quad \text{at } y = 0, \\ \frac{\partial u}{\partial x} = \frac{\partial v}{\partial x} = \frac{\partial h}{\partial x} = \frac{\partial \vartheta'}{\partial x} = \frac{\partial q}{\partial x} = \frac{\partial m}{\partial x} = 0, \quad \text{at } x = 0, X \quad (9)$$

გერტიკალური სასაზღვრო პირობები შემდეგია:

(1) განტოლებათა სისტემისათვის:

$$\left. \begin{aligned} \frac{\partial u}{\partial \zeta} &= \frac{\partial v}{\partial \zeta} = \frac{\partial \vartheta'}{\partial \zeta} = \frac{\partial q}{\partial \zeta} = \frac{\partial m}{\partial \zeta} = \tilde{w} = 0 \\ \varphi &= \bar{\phi}(t, x, y, \zeta) + \frac{g}{RT} \Delta \theta(h(1, x, y) - h(0, x, y)) \end{aligned} \right\} \quad \text{at } \zeta = 1; \quad (10)$$

$$u = u_{10m}, \quad v = v_{10m}, \quad \vartheta' = \vartheta'_{2m}, \quad q = q_{2m}, \quad m = 0 \quad \text{at } \zeta = 0. \quad (11)$$

სადაც $\bar{\phi}(t, x, y, \zeta)$ წნევის ანალოგის ფონური მნიშვნელობაა; $\Delta \theta$ - ტროპოპაუზაზე ტემპერატურის ანალოგის გრადიენტია; T_δ - ქვეფენილი ზედაპირის ტემპერატურა; u_{10m} , v_{10m} , ϑ'_{2m} , q_{2m} მოცემული ფუნქციების მნიშვნელობებია ატმოსფეროს მიწისპირა ფენის 10 და 2 მ სიმაღლეებზე. q_δ - წყლის ორთქლის მასური წილია ქვეფენილ ზედაპირზე:

$$q_\delta = \begin{cases} q_{sat} & zRvis \quad zedapirze \\ q_{sat} C/C_{por} & niadagis \quad zedapirze \end{cases};$$

u_{10m} , v_{10m} , ϑ'_{2m} , q_{2m} ფუნქციების მნიშვნელობები განისაზღვრებიან ატმოსფეროს მიწისპირა ფენის პარამეტრიზაციული მოდელის საშუალებით [ლაზრიელი], რომელიც აღიწერება შემდეგ განტოლებათა სისტემის საშუალებით;

$$\frac{\partial |\mathbf{u}|}{\partial z} = \frac{u_*}{\chi z} \phi_u(\zeta), \quad \frac{\partial p}{\partial z} = \frac{p_*}{\chi} \varphi_g(\zeta), \quad (p = \vartheta, q), \quad \zeta = \frac{z}{L}, \quad L = \frac{u_*^2}{\lambda \chi^2 g_*^2}$$

$$|\mathbf{u}| = \frac{u_*}{\chi} f_u(\zeta, \zeta_u), \quad p - p_0 = p_* f_g(\zeta, \zeta_0), \quad \zeta_u = \frac{z_u}{L}, \quad \zeta_0 = \frac{z_0}{L}, \quad \text{if } z \leq z_{sur}, \quad (12)$$

$$\nu_i = \frac{u_* \chi z}{\phi_i(\zeta)}, \quad (\nu_i)_h = \frac{u_* \chi h_s}{\phi_i(\zeta_h)}, \quad (i = u, \vartheta), \quad \zeta_h = \frac{h_s}{L},$$

სადაც $|\mathbf{u}| = (u^2 + v^2)^{0.5}$ ქარის სიქარის მოდულია; u_* ხახუნის დინამიკური სიჩქარეა; ϑ_* და q_* პოტენციალური ტემპერატურისა და წყლის ორთქლის მოცულობითი შემცველობაა ხორცლიანობის დონეზე; χ პარმანის მუდმივაა; z_0 და z_u ხორცლიანობის პარამეტრია ქარის სიქარისა და ტემპერატურისათვის; L სიგრძის მასშტაბია; $\lambda = g/\bar{T}$ კონვექციის პარამეტრია; $\phi_u(\zeta)$, $\varphi_g(\zeta)$, $f_u(\zeta, \zeta_u)$, and $f_g(\zeta, \zeta_0)$ უნივერსალური ფუნქციებია [46].

(2) და (3) განტოლებათა სისტემებისათვის ვერტიკალური სასაზღვრო პირობები $z = \delta(x, y)$ ზედაპირზე და $z = Z_g$ დონეზე შემდეგია:

$$\rho_g c_g K_g \frac{\partial T_g}{\partial z} - \rho c_p v_{2m} (T - T_\delta) / 2 - \rho c_p v_{2m} (q - q_g) / 2 = I_g \quad \text{როცა } z = \delta(x, y)$$

$$C = \begin{cases} C_{\text{por}} & \text{if } \int_0^1 \partial N / \partial t \, d\zeta > 0 \\ D \frac{\partial C}{\partial z} = \frac{\rho_w}{\rho} v_{2m} (q - q_\delta) & \text{if } \int_0^1 \partial N / \partial t \, d\zeta \leq 0 \end{cases}; \quad (13)$$

$$\frac{\partial T_g}{\partial z} = \frac{\partial C}{\partial z} = 0, \quad \text{როცა } z = Z_g$$

სადაც, ინდექსი „ g “ აღნიშნავს „sea“-ს ზღვის ზედაპირისთვის და „soil“-ს – ხმელეთის ზედაპირის შემთხვევაში; $I_g = I_{\text{sum}} - J$; I_{sum} არის ქვეფენილ ზედაპირზე ჯამური რადიაციის ნაკადი, რომელიც გამოითვლება ფორმულით:

$$I_{\text{sum}} = \begin{cases} r(1 - A_\lambda) I & , \text{ ნიადაგის შემთხვევაში} \\ r[(1 - A_\lambda) I \exp(\text{rad} \times z)] & , \text{ ზღვის შემთხვევაში} \end{cases}, \quad (14)$$

სადაც, r არის ატმოსფეროში ღრუბლიანობით გამოწვეული ჯამური რადიაციის ნაკადის შემცირების კოეფიციენტი; I - მოკლებალდური რადიაციის ნაკადი; J - დედამიწის ეფექტური გამოსხივების ნაკადი; rad -ჯამური რადიაციის ზღვის წყალში შთანთქმის კოეფიციენტი.

ფუნქცია r გამოითვლება ფორმულით [14]

$$r = 1 - 0,08H_c - 0,05(L_c - H_c),$$

სადაც H_c და L_c არის მაღალი და დაბალი ღრუბლიანობის ბალი.

I ნაკადის გამოსათვლელად გამოიყენება ალბრეხტის ფორმულა, რომელიც დახრილი ზედაპირისათვის ჩაიწერება შემდეგი სახით [15]:

$$I = a_0 \cos \alpha - b_0 \sqrt{\cos \alpha},$$

$$\cos \alpha = \sinh_s \cos \alpha_g + \cos \Psi_a (\sin \chi \cos \Omega - \sin \Psi \cos \Psi_a \cos \psi) \times \sin \alpha_g + \sin \Psi_a \cos \Psi \sin \Omega \sin \alpha_g,$$

$$\sinh_s = \sin \chi \sin \psi + \cos \chi \cos \psi \cos \Omega,$$

სადაც, h_s არის მზის ზენიტური კუთხე, Ψ - მზის მიხრილობა; χ - გეოგრაფიული განედი,

$$\Omega = (1 - 12)\pi/12 - \text{მზის საათობრივი კუთხე}; \quad \Psi_a = \arctg(\frac{\partial \delta}{\partial x} / \frac{\partial \delta}{\partial y}) + k\pi \quad \text{არის რელიეფის ნორმალის პორიზონტალურ ზედაპირზე პროექციის აზიმუტი},$$

ნორმალის პორიზონტალურ ზედაპირზე პროექციის აზიმუტი, რომელიც აითვლება მერიდიანის

ზედაპირიდან (ის ითვლება დადებითად სამხრეთის მიმართულებიდან საათის მოძრაობით ათვლისას); $\alpha_g = \arctg\left(\left(\frac{\partial \delta}{\partial x}\right)^2 + \left(\frac{\partial \delta}{\partial y}\right)^2\right)^{1/2}$ -ზედაპირზე მზის სხივების დაცვის კუთხეა; a_0 და b_0 ცნობილი მუდმივი სიდიდეებია.

J გამოითვლება ბრენტის ცნობილი ფორმულით [47], რომელშიც გათვალისწინებულია ეფექტური გამოსხივების დამოკიდებულება რელიეფის სიმაღლისაგან კავკასიის რეგიონისათვის:

$$J = (1 + \beta(\delta)) \sigma_{stbol} f_g T_g (A_c - B_c q^{0.5}) ,$$

სადაც, A_c და B_c არის ემპირიული მუდმივები; σ_{stbol} სტეფან-ბოლცმანის მუდმივაა; f_g პარამეტრით განისაზღვრება თუ რამდენადაა ნიადაგის ზედაპირი რუხი; პარამეტრი $\beta(\delta)$ ასახავს ეფექტური რადიაციის ცლილებას რელიეფის სიმაღლის მიხედვით. ის გამოვლება, ნაშრომში [48] მოყვანილი ცხრილების გამოყენებით მიღებული, კვადრატული ინტერპოლაციური ფორმულების საშუალებით.

ამრიგად ამოცანა მდგომარეობს (1), (3) განტოლებათა სისტემის ამოხსნაში (8) საწყისი და (9) - (13) სასაზღვრო პირობების გამოყენებით.

ამოცანის რიცხვითი ინტეგრირების ალგორითმი. ატმოსფეროს ჰიდროთერმოდინამიკის ამოცანის რიცხვითი ინტეგრირების ოპტიმალური სქემის შესარჩევად საჭიროა გათვალისწინებული იყოს როგორც ზოგადი, ასევე კონკრეტული მეტეოროლოგიური პროცესის დამახასიათებელი ჰიდროდინამიკური კრიტერიუმები. კერძოდ, სქემა უნდა იძლეოდეს ტალღების გავრცელებისა და ურთიერთქმედების, დიდი გრადიუნტების მქონე ველების დროში ეფოლუცის აღწერის საშუალებას მნიშვნელოვანი ხელოვნური სიბლანტის და არაწრფივი, არამდგრადი მოკლე ფიქტიური ტალღების ინდუცირების გარეშე, აწარმოებდეს ინტეგრირებას საკმაოდ დიდი დროის განმავლობაში, იყოს თვლის დროის მხრივ ეკომონიური და სხვა. ერთ-ერთ ასეთ სქემას წარმოადგენს

ვ. შუმანის და ჯ. პოვერმეილის მიერ დამუშავებული რიცხვითი სქემა [49, 50]. ის არის დისპერსიული და არადისიპაციური, აკმაყოფილებს ზევით მოყვანილ ზოგიერთ თვისებებს და ამასთან, არის მეტად მოსახერხებელი რიცხვითი გამოკვლევების ჩატარებისათვის. აღნიშნული სქემის გამოყენებით შესრულებულმა გამოთვლებმა აჩვენეს, რომ ის ინახავს სისტემის სრულ ენერგიას დაახლოებით 5% სიზუსტით.აღნიშნულის შესაბამისად, (1) სისტემაში მოძრაობის, სითბოსგადატანის და უწყვეტობის განტოლებები იხსნება ფ. შუმანის ცხადი რიცხვითი სქემით [49, 50]. სინოტივის, წყლიანობის, მტკრის კონცენტრაციის გადატანა-დიფუზიის და (2), (3) განტოლებები იხსნება კრანკლ-ნიკოლსონის არაცხადი სქემითა და გახლების მეთოდის გამოყენებით. (12) განტოლებათა სისტემის ინტეგრირებისათვის გამოყენებულია [46]-ში მოცემული მეთოდიკა.

ატმოსფეროში სასრულ სხვაობათა ბადე შედგება $118 \times 90 \times 31$ წერტილისაგან, ნიადაგში და ზღვაში - $118 \times 90 \times 20$ წერტილისაგან. პორიზონტალური ბიჯებია 2 კმ, ვერტიკალური ბიჯებია $1/31$. ნიადაგში და ზღვაში ვერტიკალური ბიჯი უდრის 10 სმ-ს, დროითი ბიჯი 10 წმ-ია.

ჩამოვაყალიბოთ ამოცანის ინტეგრირების რიცხვითი სქემა. ატმოსფეროში ამოცანის განსაზღვრის არე დავფაროთ შემდეგი დროითი - სივრცითი ბადით:

$$x_k = k\Delta x; y_l = l\Delta y; \zeta_m = m\Delta \zeta; t_n = \Delta t; k=0,1,\dots,K-1,K;$$

$$l=0,1,\dots,L-1,L; m=0,1,\dots,M-1,M; n=0,1,\dots,N-1,N, \quad (15)$$

და (1) განტოლებათა სისტემის აპროქსიმაცია (15) ბადეზე მოვახდინოთ შემდეგი ალგორითმის სახით:

$$\bar{u}_t^t + \overline{\bar{u}^{xy}\bar{u}_x^y}^{xy} + \overline{v^{xy}\bar{u}_y^x}^{xy} + \overline{\tilde{w}^{xy}\bar{u}_\zeta^{\zeta xy}}^{xy} = -R\bar{T}\overline{\bar{\varphi}_x^y}^{xy} + g\overline{\bar{\vartheta}^{xy}\bar{z}_x^y}^{xy}$$

$$+ l\bar{u}^{xyxy} + \mu(\bar{u}_{xx}^{yy} + \bar{u}_{yy}^{xx}),$$

$$\bar{v}_t^t + \overline{\bar{u}^{xy}\bar{v}_x^y}^{xy} + \overline{v^{xy}\bar{u}_y^x}^{xy} + \overline{\tilde{w}^{xy}\bar{v}_\zeta^{\zeta xy}}^{xy} = -R\bar{T}\overline{\bar{\varphi}_y^x}^{xy} + g\overline{\bar{\vartheta}^{xy}\bar{z}_y^x}^{xy}$$

$$- l\bar{v}^{xyxy} + \mu(\bar{v}_{xx}^{yy} + \bar{v}_{yy}^{xx}),$$

$$\varphi_\zeta = \frac{g}{R\bar{T}} \bar{\vartheta}^\zeta, \quad z_{k,l,m}^n = \zeta_m h_{k,l}^n + \delta_{k,l}, \quad (16)$$

$$\overline{\bar{\vartheta}}_t^t + \overline{\bar{u}^{xy}\bar{\vartheta}_x^y}^{xy} + \overline{v^{xy}\bar{u}_y^x}^{xy} + \overline{\tilde{w}^{xy}\bar{u}_\zeta^{\zeta xy}}^{xy} = S\bar{w}^{xyxy} + \mu(\bar{\vartheta}_{xx}^{yy} + \bar{\vartheta}_{yy}^{xx}) - \bar{\theta}_t^t,$$

$$w_{k,l,m}^n = \zeta_m \overline{\bar{h}_t^{xyxy}}^t + \overline{\bar{u}^{xy}z_x^y}^{xy} + \overline{\bar{v}^{xy}\bar{z}_x^x}^{xy} + \overline{\tilde{w}^{xy}\bar{h}^{xy}}^{xy}.$$

უწყვეტობის განტოლების ინტეგრირებისა და ვერტიკალური სიჩქარის ანალოგის განსაზღვრისათვის გამოვიყენოთ სიჩქარეთა ბაროტოროპული და ბაროკლინური მდგრძელებად დაშლის მეთოდი. ამ მიზნით შემოვიდოთ აღნიშვნები:

$$U = ue^{-\sigma z}, V = ve^{-\sigma z}, \bar{U} = \int_0^1 U d\zeta, \bar{V} = \int_0^1 V d\zeta, U' = U - \bar{U}, \quad V' = V - \bar{V}.$$

მაშინ, (1) სისტემის მეოთხევ განტოლებიდან და (10) ვერტიკალური სასაზღვრო პირობის გამოყენებით მივიღებთ:

$$\frac{\partial h}{\partial t} = e^{\sigma h}(F(\bar{U}, \bar{V}) - \int_0^1 F(U', V') d\zeta), \quad (17)$$

$$\tilde{w} = \frac{1}{h} (\zeta (e^{\sigma h} - e^{\sigma h}) F(\bar{U}, \bar{V}) + e^{\sigma h} \int_0^1 F(U', V') d\zeta - e^{\sigma h \zeta} \int_0^\zeta F(U', V') d\zeta) \quad (18)$$

სადაც

$$F(a, b) = a \frac{\partial h}{\partial t} + h \frac{\partial a}{\partial x} - \sigma ha \frac{\partial \delta}{\partial x} + b \frac{\partial h}{\partial y} + h \frac{\partial b}{\partial y} - \sigma hb \frac{\partial \delta}{\partial y}.$$

წარმოვადგინოთ (17) და (18) სასრულსხვაობიანი ანალოგები შემდეგი სახით:

$$\overline{\bar{h}_t^{xyxy}}^t = \lambda^{\sigma h_{k,l}} (F_{k,l}(\bar{U}, \bar{V}) - \int_0^1 F_{k,l,m}(U', V') d\zeta),$$

$$\begin{aligned} \tilde{w}^{k,l,m} &= \frac{1}{\bar{h}^{xyxy}} (\zeta_m (\lambda^{\sigma h_{k,l}} - \lambda^{\sigma h_{m,k,l}}) F_{k,l}(\bar{U}, \bar{V}) + e^{\sigma h_m h_m} \int_0^{\zeta_m} F_{k,l,m}(U', V') d\zeta - \\ &\quad e^{\sigma h_{k,l}} \int_0^1 F_{k,l,m}(U', V') d\zeta), \end{aligned} \quad (19)$$

$$F_{k,l,m}(a,b) = \overline{\bar{a}^{xy}\bar{h}_x^y}^{xy} + \overline{\bar{h}^{xy}\bar{a}_x^y}^{xy} - \sigma \overline{\bar{h}^{xy}\bar{a}^{xy}\bar{\delta}_x^y}^{xy} + \overline{\bar{b}^{xy}\bar{h}_y^x}^{xy} + \overline{\bar{h}^{xy}\bar{b}_y^x}^{xy} - \sigma \overline{\bar{h}^{xy}\bar{b}^{xy}\bar{\delta}_y^x}.$$

(16) და (19) ალგებრულ განტოლებებში ინტეგრალები გამოითვლებიან ტრაპეციის ფორმულით და გამოყენებულია შემდეგი აღნიშვნები:

$$\bar{\Psi}_t^n = \begin{cases} (\Psi_{k,l,m}^{n+1} - \Psi_{k,l,m}^n) / 2\Delta t & \text{როცა } n > 0, \\ (\Psi_{k,l,m}^1 - \Psi_{k,l,m}^0) / 2\Delta t & \text{როცა } n = 0 \end{cases}$$

$$\Psi_x = (\Psi_{k+0.5,l,m}^n - \Psi_{k-0.5,l,m}^n) / 2\Delta x, \bar{\Psi}^x = (\Psi_{k+0.5,l,m}^n + \Psi_{k-0.5,l,m}^n) / 2, \quad (20)$$

$$\Psi_y = (\Psi_{k,l+0.5,m}^n - \Psi_{k,l-0.5,m}^n) / 2\Delta y, \bar{\Psi}^y = (\Psi_{k,l+0.5,m}^n + \Psi_{k,l-0.5,m}^n) / 2,$$

$$\Psi_\zeta = (\Psi_{k,l,m+0.5}^n - \Psi_{k,l,m-0.5}^n) / 2\Delta \zeta, \bar{\Psi}^\zeta = (\Psi_{k,l,m+0.5}^n + \Psi_{k,l,m-0.5}^n) / 2\Delta \zeta.$$

ატმოსფეროში ორთქლის, წყლისა და მტკრის გადატანა-დიფუზიის განტოლების რიცხვითი ინტეგრირებისათვის გამოვიყენოთ გახლების მეთოდი. ამისთვის ჩავწეროთ ეს განტოლებები ოპერატორული ფორმით

$$\frac{\partial \Psi}{\partial t} + A\Psi - F = 0 \quad \Psi = \Psi_0 \quad \text{როცა } t = 0. \quad (21)$$

სადაც

$$\psi = \begin{pmatrix} q \\ m \\ c \end{pmatrix}, \quad A = \begin{pmatrix} u \frac{\partial}{\partial x} - \mu \frac{\partial}{\partial x^2} & 0 & 0 \\ 0 & v \frac{\partial}{\partial y} - \mu \frac{\partial}{\partial y^2} & 0 \\ 0 & 0 & \tilde{w} \frac{\partial}{\partial z} - \frac{1}{h^2} \frac{\partial}{\partial \zeta} v \frac{\partial}{\partial \zeta} \end{pmatrix}, \quad F = \begin{pmatrix} -\varphi_{con} \\ \varphi_{con} - \frac{\partial N}{\partial t} \\ -\frac{\partial C}{\partial t} \end{pmatrix} \quad (22)$$

$\tilde{w} = \tilde{w}$ ორთქლისა და დრუბლის წყლისათვის და $\tilde{w} = \tilde{w} - w_0/h$ მტკრის შემთხვევაში.

(21) - (23) -ის აპროქსიმირებისათვის გამოვიყენოთ კრანგ - ნიკოლსონს სქემა და განტოლების სივრცული კოორდინატების მიმართ გახლების მეთოდი. მაშინ, ინტეგრირების ალგორითმიდროის ნებისმიერი მცირე ინტერვალისათვის $t_n \leq t \leq t_{n+1}$ ოპერატორული ფორმით შეიძლება ჩაიწეროს შემდეგი სახით:

$$\frac{\phi_{ing,k,l,m}^{n+1/8} - \phi_{ing,k,l,m}^n}{\tau/2} + \Lambda_x \frac{\phi_{ing,k,l,m}^{n+1/8} + \phi_{ing,k,l,m}^n}{2} = 0$$

$$\frac{\Psi_{ing,k,l,m}^{n+2/8} - \phi_{ing,k,l,m}^{n+1/8}}{\tau/2} + \Lambda_y \frac{\phi_{ing,k,l,m}^{n+2/8} + \phi_{ing,k,l,m}^{n+1/8}}{2} = 0$$

$$\frac{\phi_{ing,k,l,m}^{n+3/8} - \phi_{ing,k,l,m}^{n+2/8}}{\tau/2} + \Lambda_\zeta \frac{\phi_{ing,k,l,m}^{n+3/8} + \phi_{ing,k,l,m}^{n+2/8}}{2} = 0$$

$$\frac{\Psi_{ing k,l,m}^{n+5/8} - \Psi_{ing k,l,m}^{n+13/8}}{\tau} = f^{j+1/2} \quad (23)$$

$$\frac{\phi_{ing k,l,m}^{nj+6/8} - \phi_{ing k,l,m}^{n+5/8}}{\tau/2} + \Lambda_\zeta \frac{\phi_{ing k,l,m}^{n+6/8} + \phi_{ing k,l,m}^{n+5/8}}{2} = 0$$

$$\frac{\phi_{ing k,l,m}^{n+7/8} - \phi_{ing k,l,m}^{n+6/8}}{\tau/2} + \Lambda_y \frac{\phi_{ing k,l,m}^{n+7/8} + \phi_{ing k,l,m}^{n+5/8}}{2} = 0$$

$$\frac{\phi_{ing k,l,m}^{n+1} - \phi_{ing k,l,m}^{n+7/8}}{\tau/2} + \Lambda_x \frac{\phi_{ing k,l,m}^{n+1} + \phi_{ing k,l,m}^{n+7/8}}{2} = 0$$

Λ_x, Λ_y და Λ_ζ - შესაბამისი დიფერენციალური ოპერატორების სასრულ სხვაობიანი ანალოგებია, რომლებიც უზრუნველყოფენ სქემის მონოტონურობასა და განისაზღვრებიან შემდეგი ფორმულებით:

$$\Lambda_x = \frac{1}{2\Delta x} (U^- \Psi_{ing k+1,l,m} - U^0 \Psi_{ing k,l,m} - U^+ \Psi_{ing k-1,l,m}) - \frac{\mu}{\Delta x^2} (\Psi_{ing k+1,l,m} - 2\Psi_{ing k,l,m} + \Psi_{ing k-1,l,m}),$$

$$\Lambda_y = \frac{1}{2\Delta y} (V^- \Psi_{ing k,l+1,m} - V^0 \Psi_{ing k,l,m} - V^+ \Psi_{ing k,l-1,m}) - \frac{\mu}{\Delta y^2} (\Psi_{ing k,l+1,m} - 2\Psi_{ing k,l,m} + \Psi_{ing k,l-1,m}),$$

$$\Lambda_\zeta = \frac{1}{2\Delta \zeta} (\tilde{W}^- \Psi_{ing k,l,m+1} - \tilde{W}^0 \Psi_{ing k,l,m} - \tilde{W}^+ \Psi_{ing k,l,m-1}) - \frac{1}{h_{k,l} \Delta \zeta^2} (\nu_{m+1/2} \Psi_{ing k,l+1,m} - \nu_{m-1/2} \Psi_{ing k,l,m} + \nu_{m-1/2} \Psi_{ing k,l-1,m}),$$

$$\text{საფას } U^- = 0.5(u + |u|), \quad U^0 = |u|, \quad U^+ = 0.5(u - |u|), \quad V^- = 0.5(v + |v|),$$

$$V^0 = |v|, \quad V^+ = 0.5(v - |v|), \quad W^- = 0.5(\tilde{w} + |\tilde{w}|),$$

$$W^0 = |\tilde{w}|, \quad W^+ = 0.5(\tilde{w} - |\tilde{w}|).$$

(2) განვითაროთ სისტემის აპროქსიმაცია ხდება კრანკ - ნიკელსონის არაცხადი რიცხვითი სქემით, მუდმივი ბიჯის მქონე ერთგანზომილებიან სივრცით ბადებზე:

$t = n\Delta t; \quad z_k = k\Delta z \quad (n = 0, 1, \dots, N-1, N; \quad k = 0, -1, \dots, -K_g + 1, -K_g)$ შემდეგი სახით:

$$\frac{C_k^{n+1} - C_k^n}{\Delta t} = \frac{1}{2\Delta z^2} [(D_{k+1/2}^n C_{k+1}^{n+1} - (D_{k+1/2}^n + D_{k-1/2}^n) C_k^{n+1} + D_{k-1/2}^n C_{k-1}^{n+1}) +$$

$$(D_{k+1/2}^n C_{k+1}^n - (D_{k+1/2}^n + D_{k-1/2}^n) C_k^n + D_{k-1/2}^n C_{k-1}^n)] - \frac{E_{k+1}^n - 2E_k^n + E_{k-1}^n}{2\Delta z}$$

$$\frac{T_{soil k}^{n+1} - C_k^n}{\Delta t} = \frac{1}{2\Delta z^2} [K_{soil k}^n (T_{soil k+1}^{n+1} - 2T_{soil k}^{n+1} + T_{soil k-1}^{n+1}) +$$

$$K_{soil k}^n (T_{soil k+1}^n - 2T_{soil k}^n + T_{soil k-1}^n)]$$

(8) – (13) საწყის და სასაზღვრო პირობებში წარმოებულები აპროქსიმირდება ცენტრალური სხვაობით. განტოლებათა სისტემა (12) აპროქსიმირდება და რიცხობრივად ინტეგრირდება მეთოდიკით რომელიც მოცემულია [46]-ში.

(16), (19), (22) ალგებრულ განტოლებათა სისტემებს აპროქსიმირებენ შესაბამის დიფერენციალურ განტოლებათა სისტემების დროისა და სივრცის მიხედვით მეორე რიგის სიზუსტით, (23) დროის მიხედვით მეორე რიგის სიზუსტით, ხოლო სივრცული კორდინატის მიხედვით პირველი რიგის სიზუსტით. აპროქსიმაციის შედეგად მიიღება ალგებრულ განტოლებათა სისტემები, რომლებიც გამოითვლებიან პირდაპირიან ფაქტორიზაციის მეთოდით.

ამოცანის რიცხვითი რეალიზაცია განხორციელებულია $236 \times 180 \text{ კმ}^2$ ფართობის კავკასიის რეგიონში $118 \times 90 \times 31$ წერტილისაგან შემდგარ ბადეზე. მოდელში გამოყენებულ პარამეტრთა მნიშვნელობებია: $R = 287 \text{ მ}^3 \text{ ს}^{-2} / \text{K}$; $g = 10 \text{ ms}^{-2}$; $I = 10^{-4} \text{ s}^{-1}$; $\Delta t = 60 \text{ s}$; $\sigma = 10^{-4} \text{ m}^{-3}$;

$$T_0 = 270^\circ \text{K}; \quad \Delta T = 20^\circ \text{C}; \quad \Delta x = \Delta y = 50000 \text{ მ}; \quad K = 26; \quad L = 24; \quad \chi = 42^\circ; \quad M = 16; \quad \Delta \theta = 40^\circ \text{C};$$

$$E_{\max} = 1,5 \times 10^{-8} \text{ გ/მ}^2; \quad D_{\max} = 15 \times 10^{-8} \text{ გ}^2 / \text{მ}^2; \quad \Delta \zeta_0 = 10^{-2}; \quad m_{\max} = 2 \times 10^{-4}; \quad K_{\text{sea}} = 15 \times 10^{-6}$$

$$\text{გ}^2 / \text{მ}^2; \quad K_{\text{soil}} = 3 \times 10^{-7} \text{ გ}^2 / \text{მ}^2; \quad \rho_{\text{sea}} = 1,1 \text{ გ/მ}^3; \quad a_0 = 1,396 \times 10^3 \text{ გ}^3 / \text{მ}^2; \quad b_0 = 10,2094 \times 10^3$$

$$\text{გ}^3 / \text{მ}^2; \quad A_\lambda = 0,15 \text{ გ/მ}^2 \text{ და } A_\lambda = 0,2 \text{ ნიადაგის შემთხვევაში}; \quad A_{\theta,q} = 1,1; \quad A_u = 1,6;$$

$$A_e = 0,39; \quad B_e = 0,058; \quad f_g = 0,9; \quad C_{\text{por}} = 0,3; \quad C_{\text{con}} = 0,01; \quad Z_{\text{soil}} = Z_{\text{sea}} = 1 \text{ მ};$$

$$\text{rad} = 0,0023 \text{ მ}^{-1}; \quad \Delta z = 0,05 \text{ მ}; \quad \zeta_1 = 3/16; \quad \delta_0 = 100 \text{ მ}; \quad c_p = 1,005 \times 10^3 \text{ კ/გ} \text{ გრად};$$

$$c_{\text{por}} = 0,4 \text{ გ/მ}^2 / \text{მ}^3 \text{ გრად}; \quad c_{\text{sea}} = 4,09 \text{ კ/გ} \text{ გრად}; \quad L = 2,5 \times 10^6 \text{ კ/გ} \text{ გრად}; \quad \theta \text{ მის დახრილობა} \\ \psi = 22^\circ \text{ რაც შესაბამება ივნისის თვეს.}$$

განხილულია ზაფხულის უდრუბლო ამინდი, რომლის დროსაც რეგიონში ქრის ფონური დასავლეთის ქარი. შესაბამისად, რიცხვით ექსპერიმენტში გამოყენებულია მეტეოროლოგიური სიდიდეების შემდეგი საწყისი და ფონური მნიშვნელობები:

$$h(t, x, y) = 12000 - q(x, y); \quad q' = q(0, x, y, \zeta) = m = 0;$$

$$\theta \Phi, \quad x, \quad y, \quad \zeta \neq [T_0 + \Delta T_y(90-y)/180 + \Delta T_x(59-x)/236] / \bar{T};$$

$$q(t, x, y) = (U_{\text{Fon}} y + V_{\text{Fon}} x) * 10^{-4} / R \bar{T} + \frac{gh}{R \bar{T}} \int_1^t \Phi(\xi) d\xi; \quad (24)$$

$$M(t, x, y, \zeta) = 0; \quad T_{\text{soil}}(0, x, y, z) = 273 + T_0 + \Delta T_{y, \text{soil}}(90-y)/180 + \Delta T_{x, \text{soil}}(59-x);$$

$$C(0, x, y, z) = \begin{cases} C_{\text{por}}, & \text{if } z = \delta \\ C_1, & \text{if } z < \delta \end{cases} \quad Q = 0.80 \times .622 E / \bar{P};$$

$$C(z_1) = 0.001 + 0.299 \cos(1.57 z_1 / H);$$

$$Q = 0.80 \times .622 E / \bar{P}; \quad E = 100 \times 6.11 \times 10^{\frac{7.62(t-273.2)}{t-31.1}};$$

$$C_{\text{pol}} = C_{0, \text{pol}}, \quad \text{როგორ (x, y) } \in \Omega_{\text{town}} \text{ და } C = 0 \text{ როგორ (x, y)} \quad \Omega_{\text{town}}$$

სადაც, $C_{0, \text{pol}}$ ქალაქებში 2θ სიმაღლეზე მტბრის კონცენტრაციაა, Ω_{town} პარამეტრების დამაბინძურებელი ქალაქის ტერიტორიაა. T_0 , ΔT_x , ΔT_y , $\Delta T_{x, \text{sea}}$, $\Delta T_{y, \text{sea}}$,

$\Delta T_{x,soil}$ $\Delta T_{y,soil}$ ატმოსფეროსტემპერატურის საშუალო თვიური მნიშვნელობა და ფონური ტემპერატურის გრადიუნტების მნიშვნელობებია წყლის და ნიადაგის ზედაპირებზე,

($\Delta T_{x,sea} = \Delta T_{x,soil} = 0$; $\Delta T_{y,sea} = \Delta T_{y,soil} = 6^{*}10^{-6}^{*}0C^{*}m^{-1}$); U_{Fon} , V_{Fon} ფონური ქარის ზონალური და მერიდიანული მდგენელების მნიშვნელობებია ტროპოპაუზაზე. მოცემული თერმობარიული კელის შესაბამისი ფონური ქარის ზონალური მდგენელი,

$$v = \left(\frac{\bar{P}}{\rho} \frac{\partial \varphi}{\partial x} - g(1+0.61q) \vartheta \frac{\partial z}{\partial x} \right) / l , v = \left(\frac{\bar{P}}{\rho} \frac{\partial \varphi}{\partial x} - g(1+0.61q) \vartheta \frac{\partial z}{\partial x} \right) / l , \quad (25)$$

ზემოთ მოყვანილი პარამეტრების მნიშვნელობების შესაბამისად, (24) და (25) ფორმულებით გამოთვლილი კვუნქციები განსაზღვრავენ მეტეოროლოგიური კელების საწყის და ფონურ მნიშვნელობებს.

ჩატარებულმა რიცხვითი ექსპერიმენტმა აჩვენა, რომ გამოთვლების დაწყებიდან დაახლოებით 5 საათის განმავლობაში მიმდინარეობს ადაპტაციის პროცესი. ადაპტაციის პროცესის განმავლობაში დედამიწის ზედაპირზე ჯამური რადიაციის ნაკადი მუდმივია და მისი სიდიდე უდრის ადგილობრივი დროით 0 საათის შესაბამის მნიშვნელობას. ადაპტაციის ინტერვალის დასასრულს, გამოთვლებით მიღებულ $u, v, h, \vartheta', q', m', T_{soil}, T_{sea}, C$ საძიებელ ფუნქციათა მნიშვნელობები განიხილება საწყისად და ინტეგრირება გრძელდება (14) გამოსახულებით განსაზღვრული ჯამური რადიაციის ცვლილების პირობებში.

თავი IV. შიდა და გვემოქართლის, მცხეთა-მთიანეთის და სამცხე-ჯავახეთის
რეგიონებში მეზომასშტაბის ატმოსფერული პროცესების და დამტკიციანების
მოდელირების შედებები

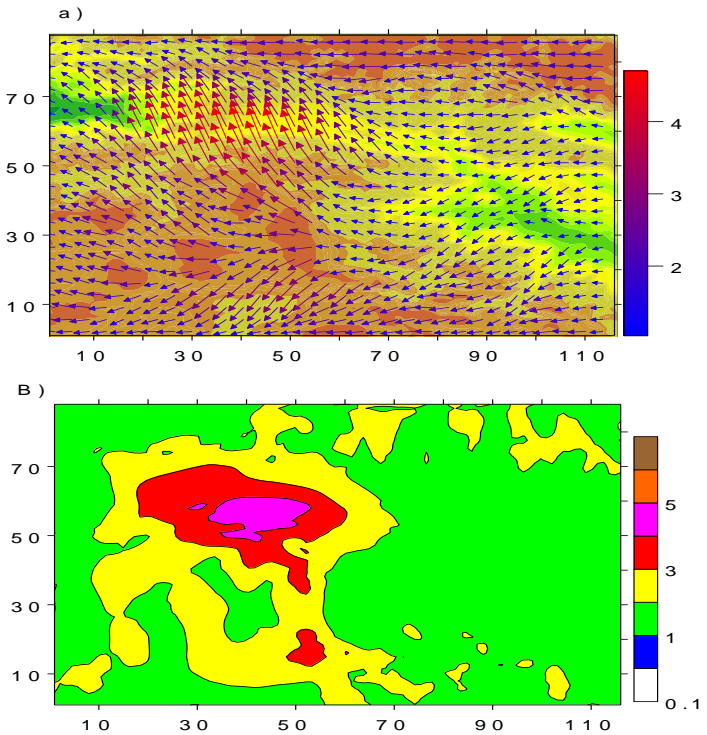
**4.1 პიდროთერმოდინამიკური გელების და მტგრის დროითი და სივრცითი ეფოლუცია ფონური
აღმოსავლეთის ქარის დროს**

მოდელირებული და შესწავლილია შიდა და ქვემო ქართლის, სამცხე-ჯავახეთის და
მცხეთა - მთიანეთის რეგიონებში ატმოსფერული პროცესების განვითარება და ქალაქებში
არსებული მტგრიანობის გავრცელება ფონური აღმოსავლეთის ქარის დროს ზაფხულის
სეზონში. პარამეტრები $u_{fon} = -23.2 \text{ м/წმ}$; $v_{fon} = 0$; $\Delta T_x = 0$; $\Delta T_z = -7.5 \cdot 10^{-6} \text{ гრად/მ}$; ფონური ქარის
სიჩქარე გამოთვლილია გეოსტროფიული ქარის განტოლებებით და მისი მნიშვნელობა
იზრდება 5 მ/წმ-დან 25 მ/წმ-დე 10 მ სიმაღლიდან ტროპოპაუზის დონეზე. გამოთვლებით
მიღებული მეტეოროლოგიური გელების სივრცითი და დროითი განაწილებების სურათები
როცა $t = 12$ სთ ნაჩვენებია ნახ. 4.1-4.10-ზე.

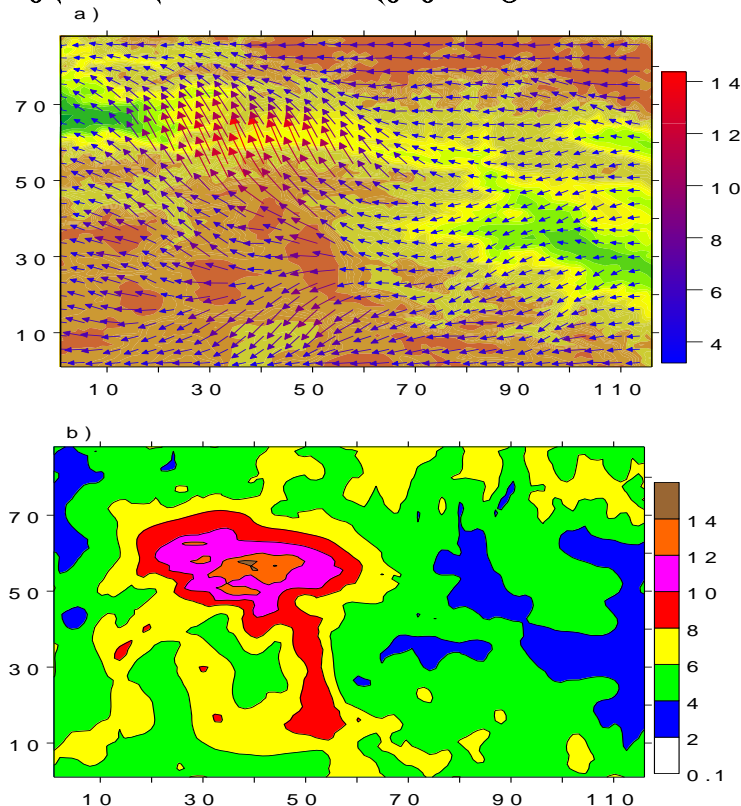
ნახ. 4.1-ზე მოცემულია ქარის სიჩქარის ვექტორის და სიჩქარის მოდულის განაწილება
მიწის ზედაპირიდან $z = 10$ მ სიმაღლეზე. ნახაზიდან ჩანს, რომ მიწისპირა ქარის სიჩქარე
მთელ ტერიტორიაზე იცვლება 1-დან 5 მ/წმ-დე. რელიეფის ზემოქმედება იწვევს
მეზომასშტაბის ტალღების წარმოშობასა და ჰაერის ნაკადის გაყოფას ორ ნაწილად სამხრეთ-
აღმოსავლეთისა და ჩრდილო-აღმოსავლეთის ნაკადებად. ჰაერის მასის ნაკადებად გაყოფა
ხდება თრიალეთის ქედის აღმოსავლეთ ნაწილში. სამხრეთ აღმოსავლეთის ნაკადი შიდა
ქართლის ვაკის გავლით გადაედინება ლიხის ქედს და ვრცელდება დასავლეთ საქართველოში.
ჩრდილო-აღმოსავლეთის ქარი ვრცელდება ჯავახეთის ზეგანზე. მის მოძრაობის
მიმართულებას განსაზღვრავს სამსარისა და ჯავახეთის ქედები და მდ. მტკვრის ხეობის
ორიენტაცია. ადგილი აქვს, აგრეთვე, ორი ლოკალური ნაკადის წარმოშობას რეგიონის
სამხრეთ-აღმოსავლეთ ნაწილში. ისინი იწვებიან ქვემო ქართლის ვაკის ტერიტორიაზე და
მიემართებიან მდინარეების ხრამისა და არაქსის ხეობების გასწვრივ.

ნახ. 4.2-ზე ნაჩვენებია გამოთვლებით მიღებული ქარის სიჩქარის ვექტორის და
მოდულის განაწილება მიწის ზედაპირიდან $z = 100$ მ სიმაღლეზე $t = 12$ სთ-თვის. ამ
ნახაზიდან ჩანს, რომ 100 მ სიმაღლეზე ქარის სიჩქარის სივრცული განაწილება
თვისობრივად ანალოგიურია 10 მ სიმაღლეზე მიღებული განაწილების. განსხვავება
რაოდენობრივია, განსაკუთრებით შიდა ქართლის ვაკის აღმოსავთ ნაწილის და ლიხის ქედის
მიღამოებში. ამ ტერიტორიებზე ქარის სიჩქარე აღწევს 12-14 მ/წმ-ს და დაახლოებით 2-ჯერ და
მეტად აღემატება 10 მ სიმაღლეზე მიღებულ სიჩქარეებს.

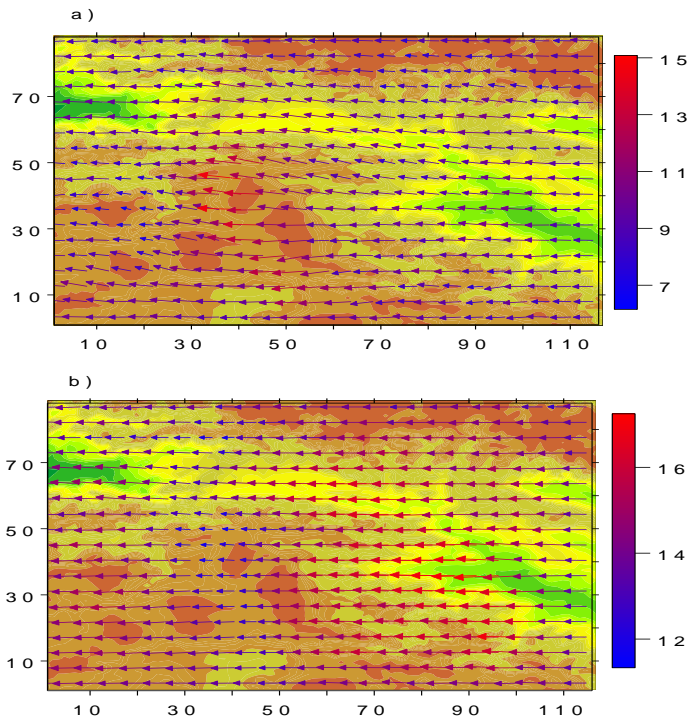
ატმოსფეროს სასაზღვრო ფენის ზევით, თავისუფალ ატმოსფეროში რელიეფის გავლენა
ქარის სიჩქარის სივრცულ განაწილებაზე მნიშვნელოვნად მცირდება (ნახ. 4.3). მიწის
ზედაპირიდან დაშორებისას სიჩქარის სიდიდე იზრდება, მიმართულება კი უახლოვდება ფონურ
მიმართულებას. ზღვის დონიდან 3 კმ სიმაღლეზე ქარის სიჩქარე 7 მ/წმ - 15 მ/წმ-ის
ფარგლებშია, 6 კმ-ის ზევით - 12 მ/წმ - 17 მ/წმ-ის ფარგლებში. ერთსა და იმავე დონეზე
ქარის ზედაპირული განაწილება არაერთგვაროვანია. 3 კმ სიმაღლეზე ქარის სიჩქარე დიდია
ჯავახეთის ზეგანზე სამსარის ქედის მიღამოებში და ნაკლებია ჯავახეთის ზეგანის ქარპირა
და ქარზურგა მხარეს. დედამიწის ზედაპირიდან 6 კმ სიმაღლეზე კი პირიქით. სიჩქარე
შედარებით ნაკლებია სამსარის ქედის მიღამოებში და მეტია ჯავახეთის ზეგანის აღმოსავლეთ
და ცენტრალური ნაწილების თავზე.



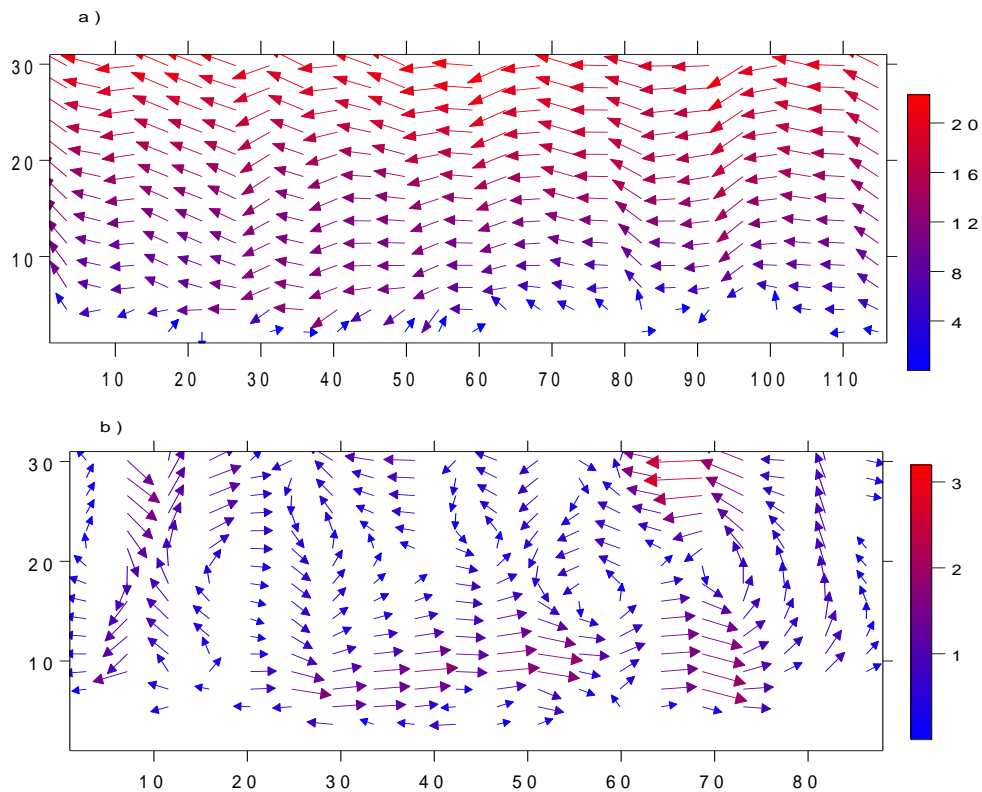
ნახ 4.1. რეგიონის რელეიფი, მიწისპირა ქარის ვექტორი – (a) და მოდული – (b) დედამიწის მიწის ზედაპირიდან 10 მ სიმარლეზე, როცა $t = 12$ სთ.



ნახ. 4.2 რეგიონის რელიეფი, მიწისპირა ქარის ვექტორი – (a) და მოდული – (b) დედამიწის მიწის ზედაპირიდან 100 მ სიმარლეზე, როცა $t = 12$ სთ.

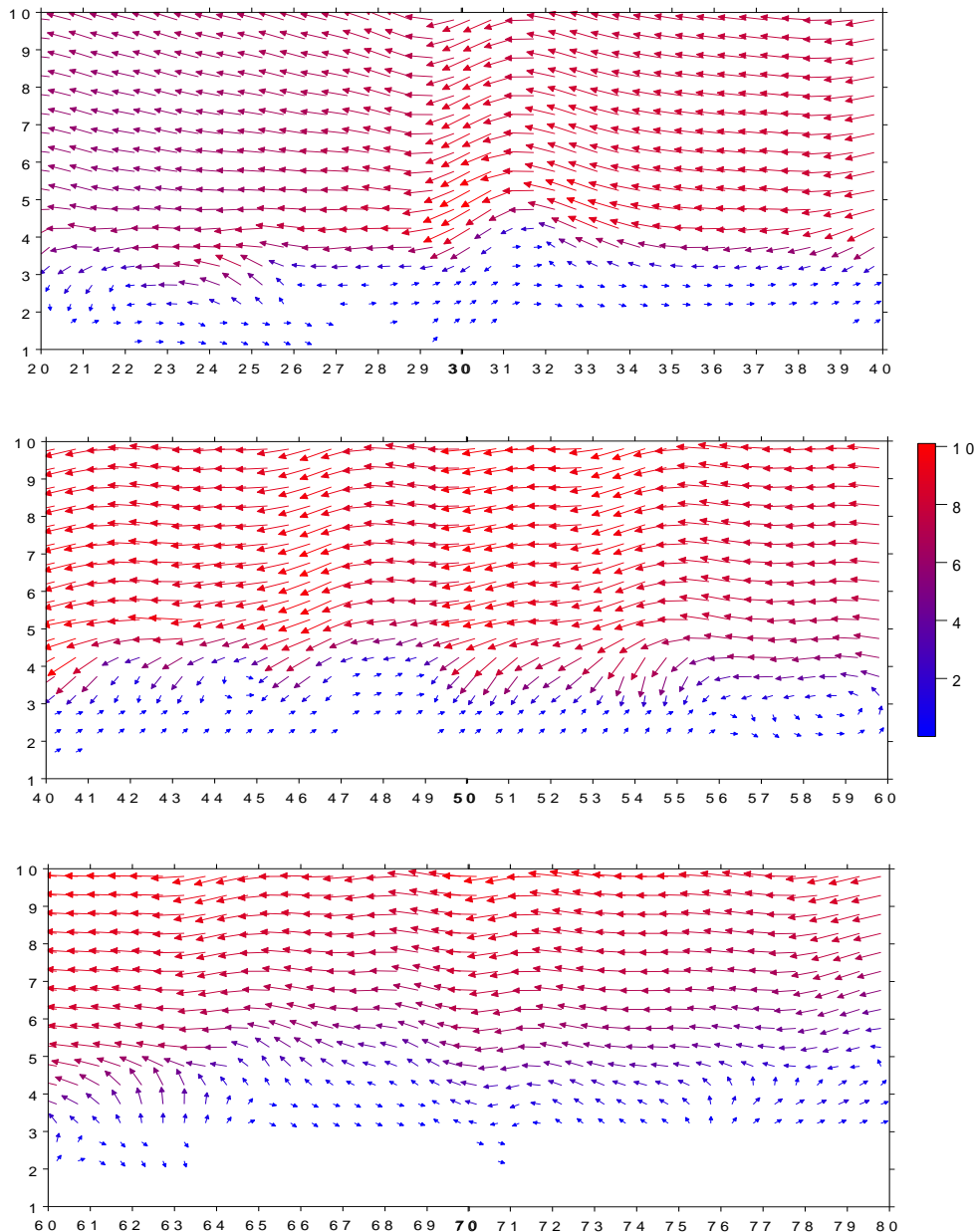


ნახ. 4.3. ქარის სიჩქარის ვექტორი და მოდული ზღვის დონიდან 3 კმ (ა) და 6 კმ
სიმაღლეზე (ბ), როცა $t = 120$ სთ.

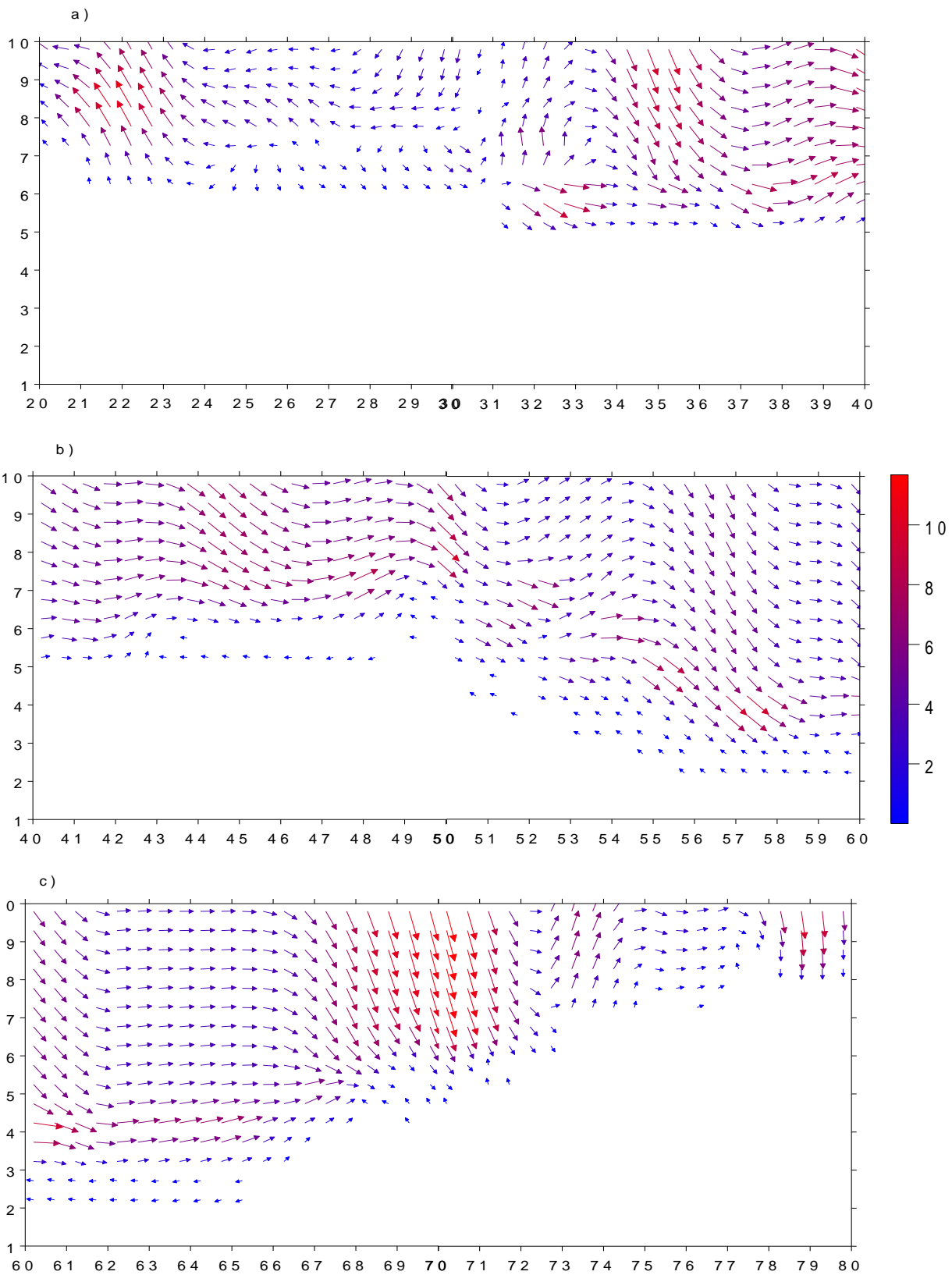


ნახ. 4.4. ქარის სიჩქარის განაწილება XOZ სიბრტყეში (ა) როცა ($Y = 20$) და YOZ
სიბრტყეში (ბ), როცა $t = 12$ სთ.

ნახ. 4.4-ზე ნაჩვენებია ქარის სიჩქარის განაწილება XOZ და YOZ სიბრტყეებში. ნახაზიდან ჩანს, რომ ადგილი აქვს ჰაერის ნაკადის მიერ რელიეფის გარსდენის მოვლენას, რომელსაც თან ახლავს ზონალურ ნაკადში ქედების და მაღლობების მიდამოებში ტალღური შეშფოთების წარმოშობა. რასაც ცალკეულ პუნქტებში თანხდევს ლოკალური მასშტაბის ვერტიკალური გრიგალური სტრუქტურების წარმოშობა მცირე ქედების ქარზურგა მხარეს. ქარის სიჩქარის ვერტიკალური გრიგალები ასევე მიღებულია მერიდიანულ კვეთებში (ნახ. 4.4ბ). მხოლოდ იმ განსხვავებით, რომ ისინი ფორმირებულნი არიან ტროპოსფეროს შუა ნაწილში. ზედა მათი ზომები აღემატებიან პარალელის გაწვრივ ატმოსფეროს სასაზღვრო ფენაში მიღებულ გრიგალების ზომებს. ვერტიკალური გრიგალების არსებობა რელიეფის გარსდენის დროს თეორიულად მიღებული იყო ადრე არა ერთი მკვლევარის მიერ [1, 2].



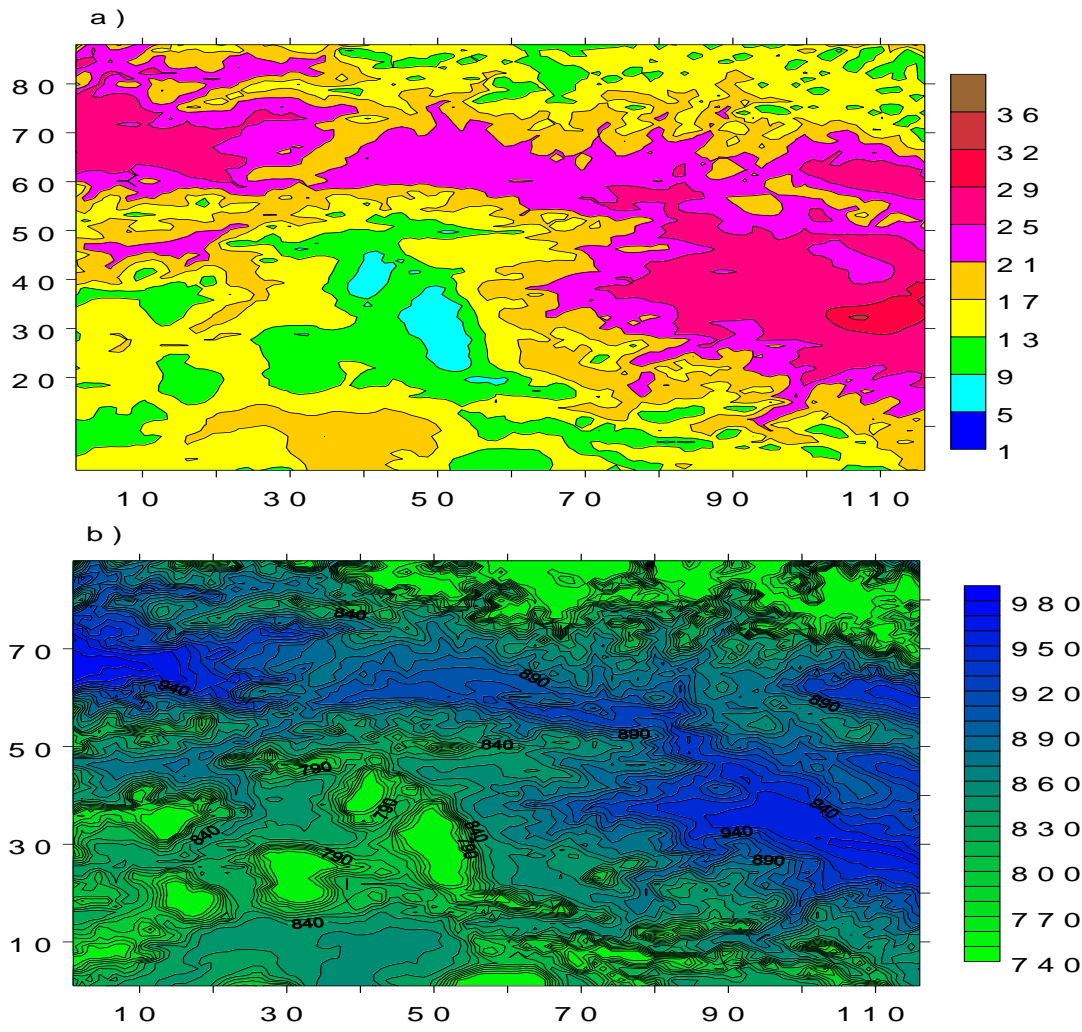
ნახ. 4.5. ქარის სიჩქარის ზონალური გასწვრივი მდგენელის განაწილება XOZ სიბრტყეში როცა $Y = 60$ და $t = 12$ სთ.



ნახ. 4.6. ქარის სიჩქარის განაწილება მერიდიანალურ YOZ სიბრტყეში როცა $X = 60$ და $t = 0$ სთ.

ნახ. 4.5 და 4.6-ზე ნაჩვენებია ქარის სიჩქარის ზონალური და მერიდიანული მდგენელები ზღვის დონიდან 3 კმ სიმაღლემდე. ნახაზიდან ჩანს, რომ ფონური ქარის ოროგრაფიასთან ურთიერთქმედების გამო ატმოსფეროს სასაზღვრო ფენაში წარმოშვებიან ზონალური და მერიდიანული ტალღები და მეზომასშტაბის გრიგალური სისტემები. მათი პორიზონტალური ზომები დამოკიდებულია ოროგრაფიული წინაღობის ზომებზე.

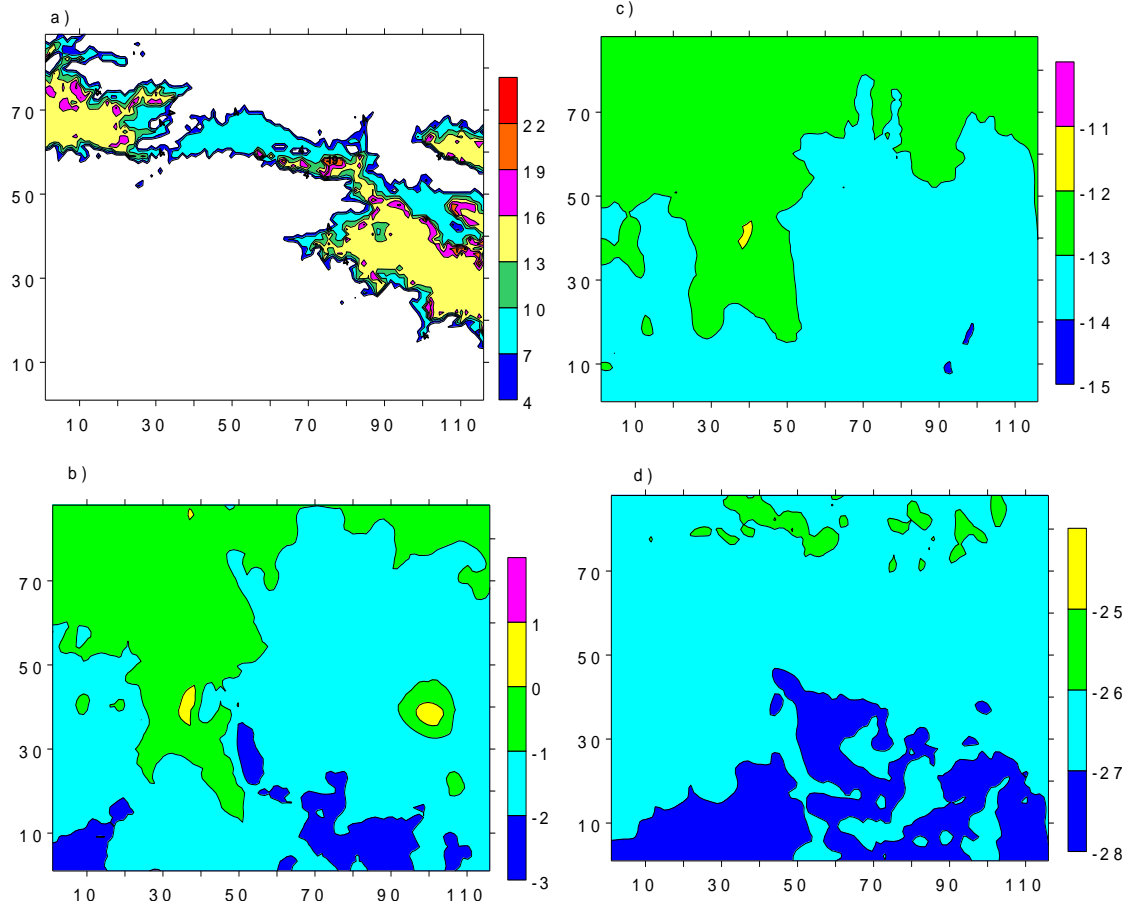
ნახ.4.7 და 4.8-ზე ნაჩვენებია გამოთვლებით მიღებული ტემპერატურისა და მიწისპირა წნევის სივრცული განაწილება. ნახაზებიდან ჩანს, რომ მიწისპირა ტემპერატურა მაქსიმალურია ქვემო ქართლის აღმოსავლეთ ნაწილის, კახეთის და კოლხეთის დაბლობის მიდამოებში. ამ რაიონებში ტემპერატურა იცვლება 21-29°C ინტერვალში. ქართლის ვაკეზე მიწისპირა ტემპერატურა 21-25 °C-ია. ტემპერატურა მინიმალურია სამსარისა და ჯავახეთის ქედების მწვერვალების მიდამოებში. იქ ტემპერატურა დღის 12 სო-თვის იცვლება 5-9°C ინტერვალის ფარგლებში. მიწისპირა წნევა მაქსიმალურია კახეთის, ქართლის ვაკისა და კოლხეთის დაბლობის მიდამოებში.



ნახ. 4.7 ტემპერატურის (a, °C) და წნევის (b, mb) განაწილება $z = 2$ მ სიმაღლეზე როცა $t = 12$ სთ.

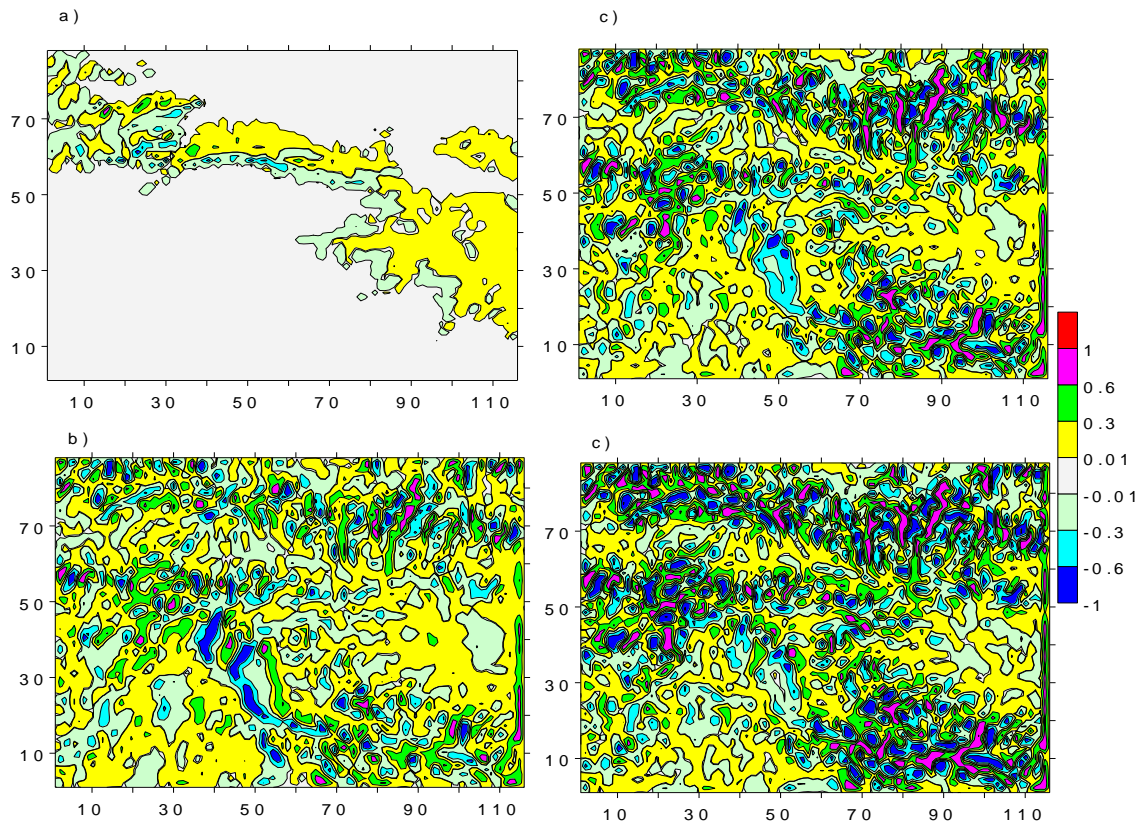
ტემპერატურის ვერტიკალური სივრცული განაწილება იცვლება სიმაღლის ზრდასთან ერთად. 1 კმ სიმაღლეზე ტემპერატურა შედარებით დაბალია რეგიონის ცენტრალურ ნაწილში

(შიდა ქართლის ტერიტორიაზე) და მაღალია რეგიონის ჩრდილო-დასავლეთ (კოლხეთის დაბლობის) და სამხრეთ-აღმოსავლეთ (ქვემო ქართლის ვაკე) ნაწილებში. 3, 5 და 7 კმ სიმაღლეებზე ტემპერატურის გრადიენტი ძირითადად მიმართულულია ჩრდილოეთისკენ. ამავე დროს აღინიშნება რელიეფის გავლენით გამოწვეული ტემპერატურის განაწილების დოკალური თავისებურება.

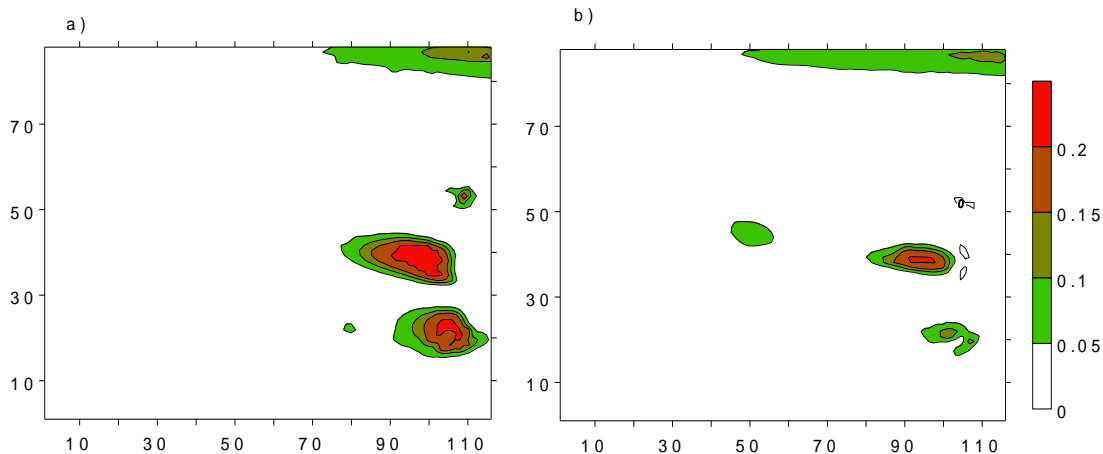


ნახ. 4.8. ტემპერატურის განაწილება ზღვის დონიდან $z=1$ -(a), 3-(b), 5-(c) და 7 კმ - (d) სიმაღლეებზე, როცა $t = 12$ სთ.

ნახ. 4.9-ზე ნაჩვენებია გამოთვლებით მიღებული ვერტიკალური სიჩქარის ველინახაზიდან ჩანს, რომ მას გააჩნია γ -მეზომასშტაბის სტრუქტურა, რომელშიც ერთმანეთს ენაცვლებიან აღმავალი და დაღმავალი დინებები. ქვემო ქართლის ვაკის, ამ მდინარეების აღაზნის, იორის, მტკვარის გასწვრივ და ცივ გომბორის ქედის მიდამოებში ვერტიკალური სიჩქარეების მნიშვნელობები 0.3 მ/წმ-ის ფარგლებშია. მთავარი კავკასიონის ქედის ცალკეულ ხეობების და ქედების მიდამოები ვერტიკალური სიჩქარის მოდულები 1 მ/წმ-დე აღწევენ.



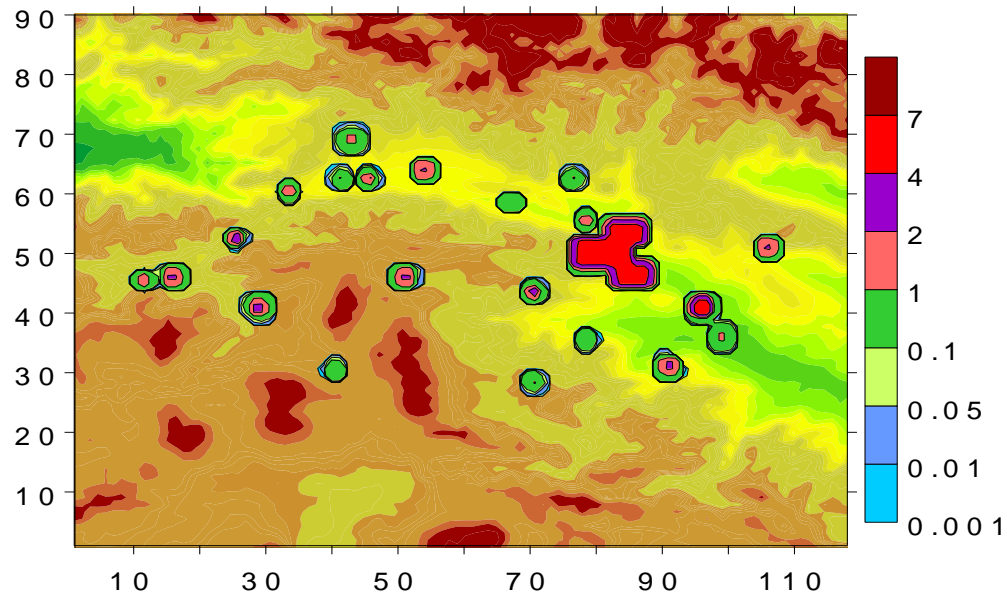
ნახ. 4.9. ვერტიკალური სიჩქარის განაწილება ზღვის დონიდან $z = 1$ -(a), 3-(b), 5-(c) და 7 კმ -(d) სიმაღლეებზე, როცა $t = 12$ სთ.



ნახ. 4.10. დრუბლების წყლიანობა (გ/კგ) $z=3$ -(a) და 5 კმ (b) სიმაღლეებზე.

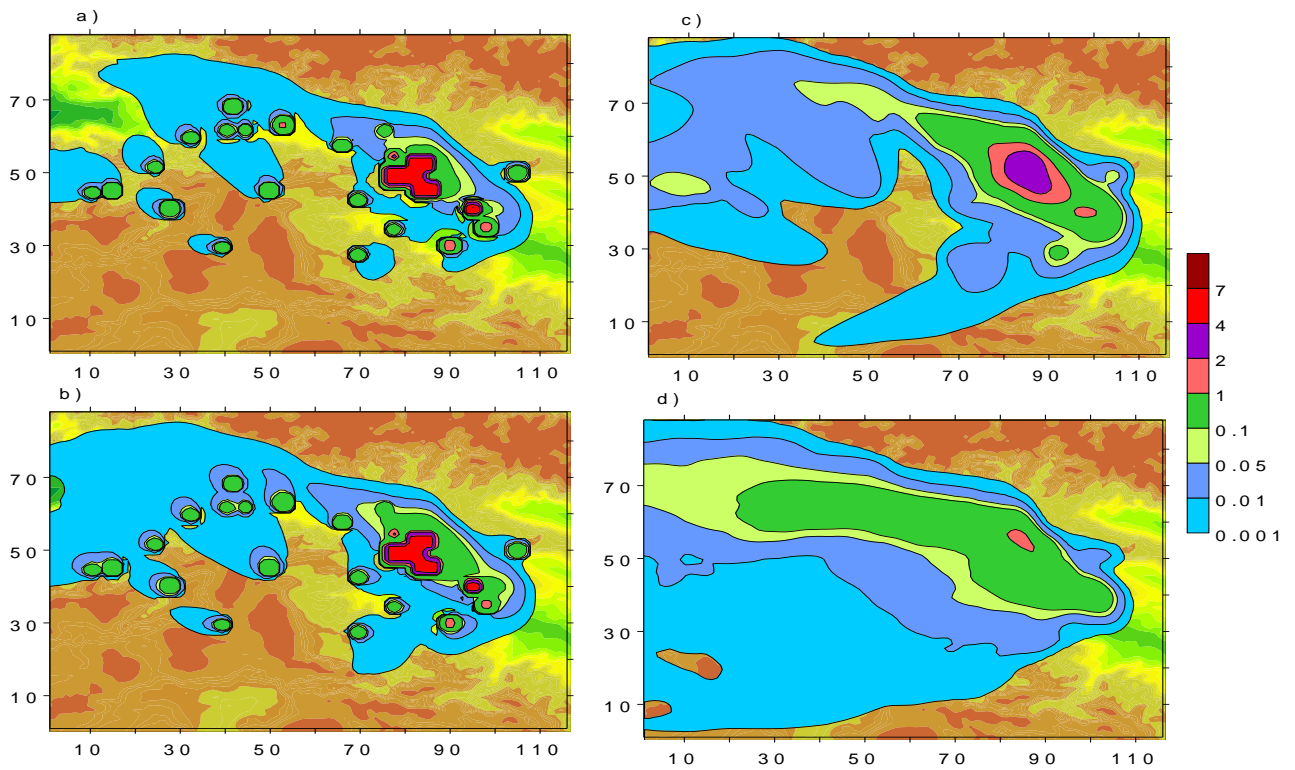
მოდელირებულ შემთხვევაში წარმოიშვებიან დრუბლები, ლოკალიზირებულნი ქვემო ქართლის ვაკის, ქობილისის მიმდებარე ტერიტორიის, რეგიონის ჩრდილოეთ საზღვარის და ორიოდე მცირე პუნქტის მიდამოებში. დრუბლების წყლიანობის სურათი წარმოდგენილია ნახ.4.10-ზე.

რეგიონის დამტვერიანების ძირითად ადგილობრივ წყაროს წარმოადგენს 22 დასახლებულ პუნქტში განლაგებული სამრეწველო ობიექტები (ნახ.4.11) და ავტოტრანსპორტი. ეს ქალაქებია: თბილისი, მცხეთა, რუსთავი, კასპი, ცხინვალი, ქარელი, ხაშური, აგარა, დუშეთი, გორი, ორჯომი, ახალციხე, ვალე, ახალქალაქი, წალკა, თეთერი წერტო, ბოლნისი, მარნეული, დმანისი, გარდაბანი, საგარეჯო, ნინოწმინდა. ქ.ქ.თბილისა და რუსთავში მტვრის კონცენტრაციის მნიშვნელობები განსაზღვრულია გარემოს ეროვნული სააგენტოს მიერ რეგულარული ნატურული დაკვირვებების მონაცემებით [3; 4], ხოლო დანარჩენში განსაზღვრულია მოსახლეობის რაოდენობის მიხედვით [5]-ის შესაბამისად. დასახლებულ პუნქტებში კონცენტრაციის სიდიდეები 2მ სიმაღლეზე მუდმივია და რიცხვითი ინტეგრირების დროს არ იცვლება. ისინი აღებულია გამოთვლების საწყის მნიშვნელობებად. ნახ.4.11-დან ჩანს, რომ რეგიონის დამტვერიანების ძირითად ობიექტებს წარმოადგენს ქქ. თბილისი და რუსთავი. ამ ქალაქების დამტვერიანების დონე აღწევს 5-7 საშუალო სადღელამისო ზღვრულად დასაშვებ კონცენტრაციებს (სსზდ). სხვა ქალაქებში და რაიონულ ცენტრებში კონცენტრაციების მნიშვნელობები 1-2 ზღვ-ს ფარგლებშია.

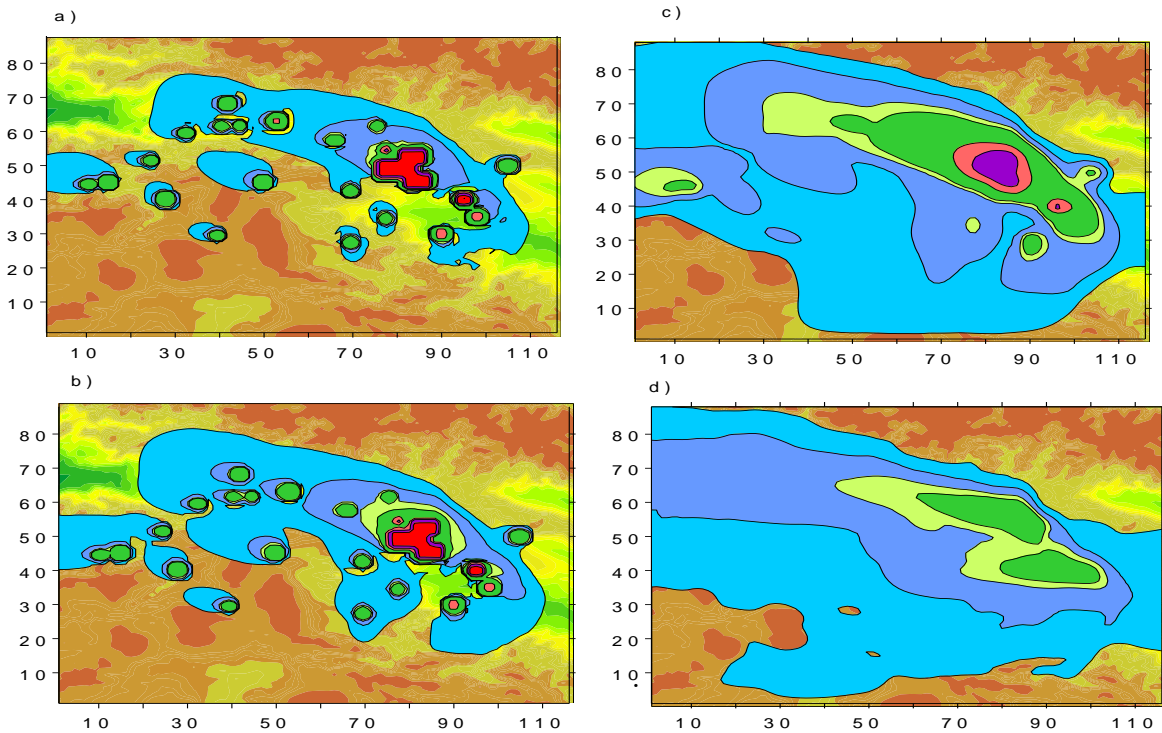


ნახ. 4.11. ატმოსფეროს დამამტვერიანებული ქალაქების და რაიონული ცენტრების განლაგება და საწყისი კონცენტრაციების მნიშვნელობები (სსზდ-ერთეულებში).

ნახ.4.12-ზე ნაჩვენებია რიცხვითი მოდელირებით მიღებული მტვრის კონცენტრაციების სივრცული განაწილება დღის 12 საათისათვის აღმოსავლეთის საშუალო სიჩქარის ქარის შემთხვევაში. ნახაზიდან ჩანს, რომ ატმოსფეროს მიწისპირა ფენის ქვედა დონეებზე ($z=2,10\text{მ}$) მტვერი კონცენტრირებულია უშუალოდ დაბინძურების პუნქტის მიდამოებში და დასახლებული პუნქტიდან ჰორიზონტალური მიმართულებით მხოლოდ მცირე მანძილზე არის გავრცელებული. უფრო დიდ მანძილებზე მიღებულია მტვრის მცირეოდენი კვალი, სადაც კონცენტრაცია 100-ჯერ ნაკლებია ზღვ-ზე.

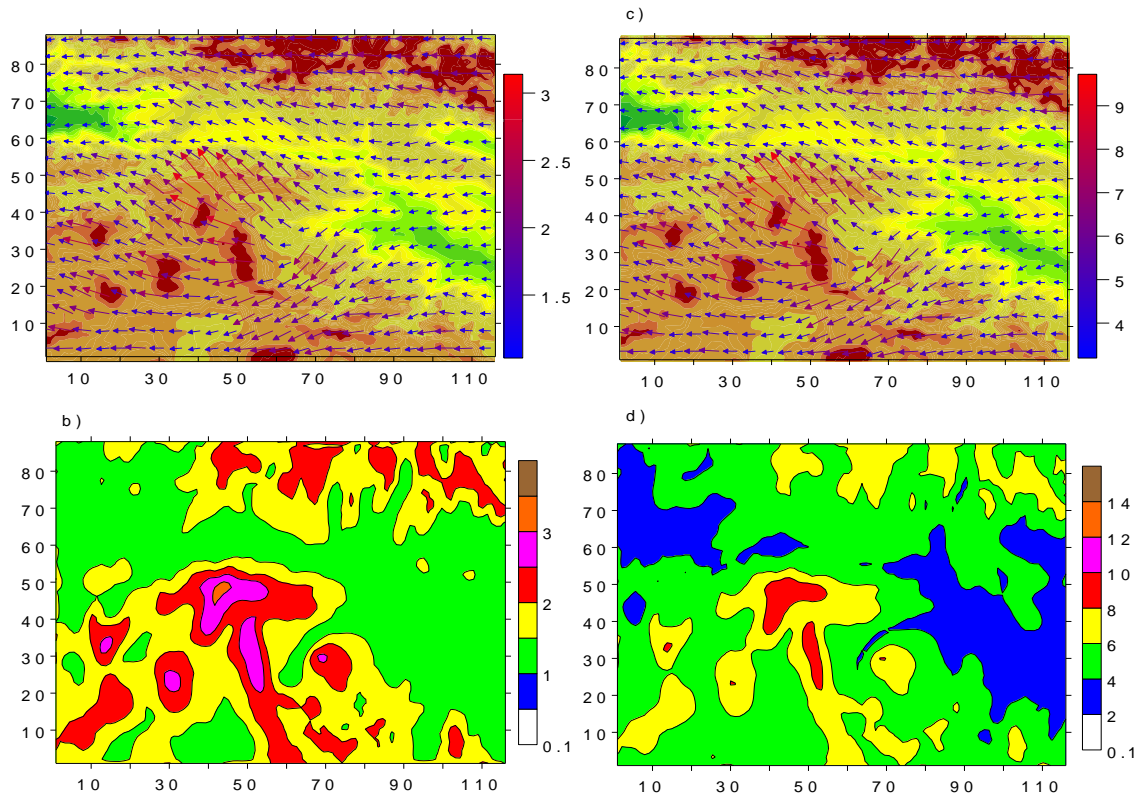


ნახ. 4.12. მტკრის კონცენტრაციები სსზდგ ერთეულებში ატმოსფეროს სასაზღვრო ფენაში დედამიწის ზედაპირიდან $z = 2$ –(a), 10 –(b), 100 (c) - და 600 –(d) მეტრ სიმაღლეებზე როცა $t = 12$ სთ.



ნახ. 4.13. მტკრის კონცენტრაციები სსზდგ ერთეულებში ატმოსფეროს სასაზღვრო ფენაში დედამიწის ზედაპირიდან $z = 2$ –(a), 10 –(b), 100 (c) - და 600 –(d) მეტრ სიმაღლეებზე, $t=24$ სთ.

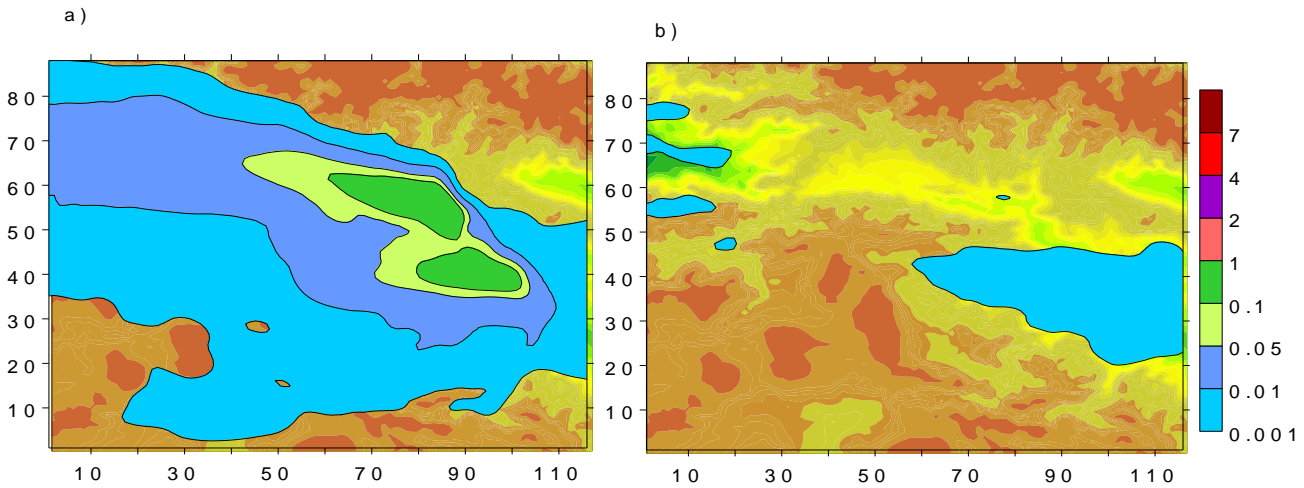
დაბინძურების პუნქტიდან 2 კმ – 4 კმ მანძილზე მისი კონცენტრაცია დაახლოებით 10-ჯერ მცირდება, ხოლო უფრო დაშორებით 20 - 30 კმმანძილზე კონცენტრაცია დაახლოებით 10^2 - 10^3 ჯერ არის შემცირებული. ატმოსფეროს მიწისპირა ფენაში დამაბინძურებელი ნივთიერების გერტიკალური ტურბულენტური გადატანა უპირატესია ჰორიზონტალურ გადატანასთან შედარებით. ამიტომ, ატმოსფეროს მიწისპირა 100 მ ფენაში მტკრით დაბინძურებული გერტიკალური სტრუქტურა ფაქტიურად უცვლელია. ის მცირდე არის გაფართოეული მხოლოდ ჰორიზონტალური მიმართულებით. ატმოსფეროს სასაზღვრო ფენაში ($z = 600\text{მ}$) დამტკერილი ზონის ჰორიზონტალური ზომები მნიშვნელოვნად იზრდება როგორცაერის დინების, ასევე მისი მართობული მიმართულებითაც, რაც, თავის მხრივ, მიუთითებს ჰორიზონტალური ტურბულენტობის მნიშვნელობაზე მტკრის ჰორიზონტალური გადატანის პროცესში. მტკრი ძირითადად გადიტანება მდ.მტკრის გასწვრივ, ჯავახეთის ზეგანზე კი - ჩრდილო დასავლეთის მიმართულებით.



ნახ 4.14. რეგიონის რელიფი და მიწისპირა ქარის გექტორი და მოდული – (b) დედამიწის მიწის ზედაპირიდან 10 მ (ა, ბ) და 100 ნ (ც, დ) სიმარლეებზე, როცა $t = 24$ სთ.

ატმოსფეროს დღედამური რადიაციული რეჟიმის ცვლილების შესაბამისად იცვლებიან ქარის სიჩქარის განაწილება და მეტეოროლოგიური ველები. შესაბამისად ხდება მტკრის გავრცელების ცვლილებაც. კერძოდ, ატმოსფეროს მიწისპირა ფენაში, მცირდება ქარის სიჩქარე მდ. მტკრის მარჯენა სანაპიროს გასწვრივ განლაგებული ქედების ქარპირა მხარეს (ნახ. 4.14) და მცირდება მტკრის გავრცელების არეალი ნახ. 4.13. რაც შეეხება მტკრის სივრცულ განაწილებას, როცა z მეტია ან ტოლია 100მ, ქარის სიდიდის ცვლილება მცირეა და მცირეა ასევე მტკრის სივრცული განაწილების ცვლილებაც.

დედამიწის ზედაპირიდან 1კმ-ზე და უფრო მაღალ დონეებზე (ნახ.4.15) კონცენტრაციის მნიშვნელობა სწრაფად მცირდება და მისი სიდიდე ნაკლებია 0.01-0.001 ზდა-ზე. ამიტომ, 0.001 ზდა შეიძლება მიღებული იყოს აღმოსავლეთ საქართველოს ცენტრალური ნაწილის დამტვერიანების ფონზე კონცენტრაციად.



ნახ. 4.15. მტვრის კონცენტრაციები სსზდა ერთეულებში დედამიწის ზედაპირიდან $z = 1$ და 3 კმ მეტრ სიმაღლეებზე, როცა $t = 24$ სთ.

ამრიგად ჩატრებულმა რიცხვითმა გამოთვლებმა მოგვცა საშუალება შევისწავლოთ ატმოსფეროს მეტეოროლოგიური ველების სივრცითი და დროითი განაწილება ფონური აღმოსავლეთის დინებების დროს. რელიეფის ფონზე დინებაზე ზემოქმედების შედეგად ატმოსფეროს სასაზღვრო ფენაში მიღებულია მეზომასშტაბის დინების გასწვრივ მიმართული ტალღა. მოდელირებით გამოკვლეულია ტემპერატურული ველის ცვლილების სურათი როგორც ატმოსფეროს სასაზღვრო ფენაში, ასევე შეა და ზედა ტროპოსფეროში, შესწავლილია ტემპერატურის ვერტიკალური განაწილების თავისებურება ატმოსფეროს სასაზღვრო ფენაში. ატმოსფეროს სინოტივისა, ღრუბლიანობისა და ნალექების სივრცელი განაწილება, განსაზღვრულია მიწისპირა წნევის ველი.

შესწავლილია რეგიონის ძირითადი ურბანულ ტერიტორიებში ატმოსფეროში გაფრქვეული მტვრით გამოწვეული რეგიონის პაერის დამტვერიანების კინემატიკა. ნაჩვენებია, რომ ატმოსფეროს მიწისპირა ფენაში დამტვერიანების ზონა, რომელშიც კონცენტრაცია მეტია $0,1$ ზდა-ზე, არ აღმატება $10-20$ კმ-ის სიგანის არეს ქე. თბილისისა და რუსთავის მიდამოებში, და $1-2$ კმ-ის სისქის რგოლურ არეს მცირე ქალაქების ირგვლივ. მტვერის დიფუზიური და ადგექტიური გადატანით მიღებული დამტვერიანებული მთელი სივრცე წარმოადგენს დიდი ფართობის მქონე, დაახლოებით 3 კმ-მდე სისქის არეს საქართველოს რეგიონის ცენტრალურ ნაწილში. იგი ორიენტირებულია სამხრეთ-აღმოსავლეთიდან ჩრდილო-აღმოსავლეთისაკენ. ამ სივრცის უმეტეს ნაწილში მტვრის კონცენტრაცია 0.001 სსზდა-ზე ნაკლებია.

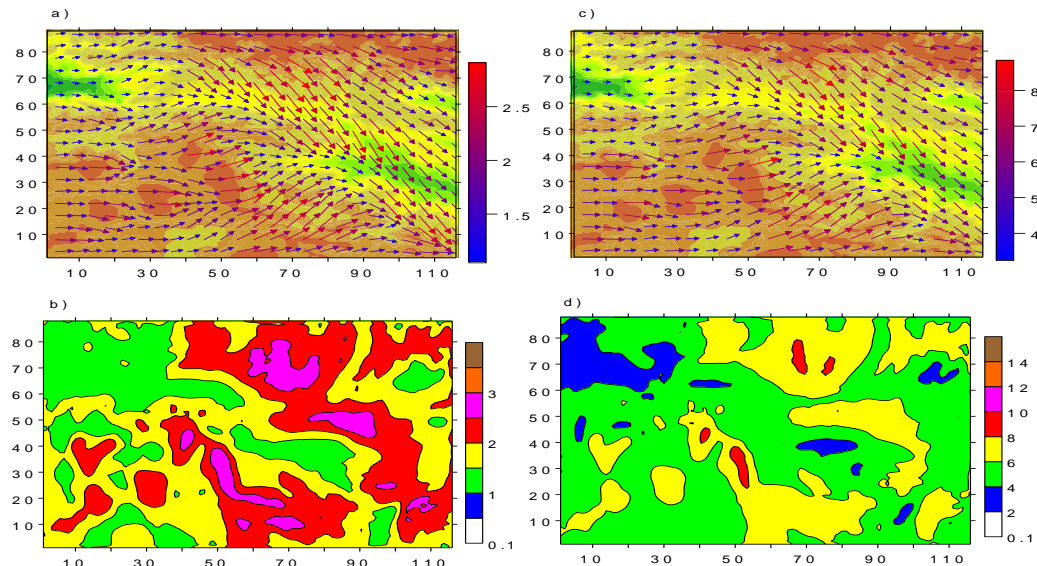
4.2 ჰიდროთერმოდინამიკური ველების და ურბანული მტვრის დროითი და სივრცითი ეფოლუცია ფონზე დასავლეთის ქარის დროს

მოდელირებული და შესწავლილია აღმოსავლეთ საქართველოს ცენტრალურ ნაწილში ატმოსფერული პროცესების განვითარება და ქალაქების მტვრის გავრცელება ფონზე

დასავლეთის ქარის დროს ზაფხულის სეზონში. პარამეტრები $u_{\text{fon}}=25 \text{მ}/\sqrt{\text{მ}}; v_{\text{fon}}=0; \Delta T_x = 0;$ $\Delta T_y = 7,5 \cdot 10^{-6} \text{გრად}/\text{მ}.$

ფონური ქარის სიჩქარე გამოთვლილია გეოსტროფიული ქარის განტოლებებიდან. მისი მნიშვნელობა იცლება 5 მ/მ-დან (10 მ სიმაღლეზე) 25 მ/მ-დე ტროპოპაუზაზე.

ნახ.4.16-ზე ნაჩვენებია გამოთვლებით მიღებული ლოკალური მეტეოროლოგიური ველების სივრცითი და დროითი განაწილებების სურათები. 2.16 -ზე ნაჩვენებია ქარის სიჩქარის ვექტორი და მოდული $z = 10 \text{ მ}$ – a), b) და $z = 100 \text{ მ}$ სიმაღლეზე – c), d), შესაბამისად, როცა $t = 12 \text{ სთ}$. ნახაზებიდან ჩანს, რომ ქარის სიჩქარე ფლუგერის დონეზე მთელ ტერიტორიაზე იცვლება 0-დან 2-3 მ/მ-მდე. თრიალეთის ქედისა და ჯავახეთის ზეგანის აღმოსავლეთ ფერდობების მიღამებში ქარის სიჩქარე დაახლოებით 1-1.5 მ/მ-ის ფარგლებშია. ამ ტერიტორიის ჩრდილო-აღმოსავლეთის და სამხრეთ-დასავლეთის მიმართულებით ქარის სიჩქარე მეტია და შეადგენს დაახლოებით 3 მ/მ-ს.

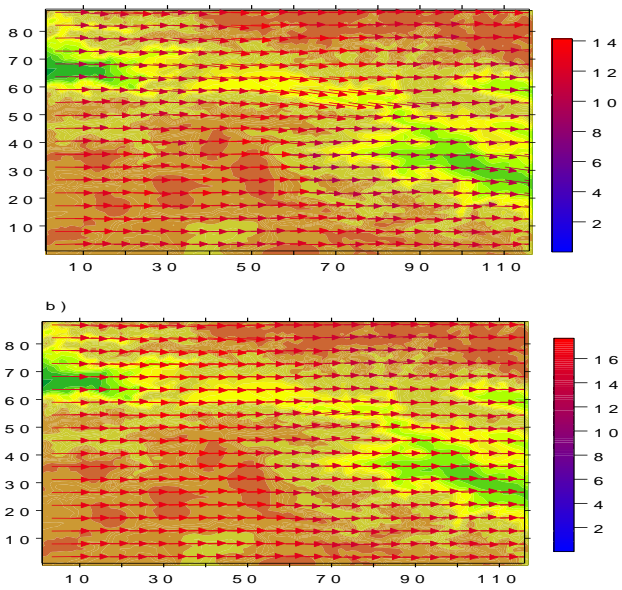


ნახ. 4.16. ქარის სიჩქარის ვექტორი და მოდული $z = 10 \text{ მ}$ – a), b) და $z = 100 \text{ მ}$ სიმაღლეზე – c), d), შესაბამისად, როცა $t = 12 \text{ სთ}$.

მიწისპირა ფენის ზედა საზღვარზე ($z = 100 \text{ მ}$) რეგიონის ვაკე ტერიტორიებზე ქარის სიჩქარე იზრდება. მისი საშუალო მნიშვნელობა იზრდება და იცვლება 4-8 მ/მ ინტერვალში. რეგიონში მიღებულია, ასევე, მცირე ზონები სადაც ქარის სიჩქარები აღწევს მინიმალურ (2 მ/მ, კოლხეთის და ქვემო ქართლის დაბლობები) და მაქსიმალურ (10 მ/მ, კავკასიონის სამხრეთი ფერდობი, სამსარის ქედი) მნიშვნელობებს.

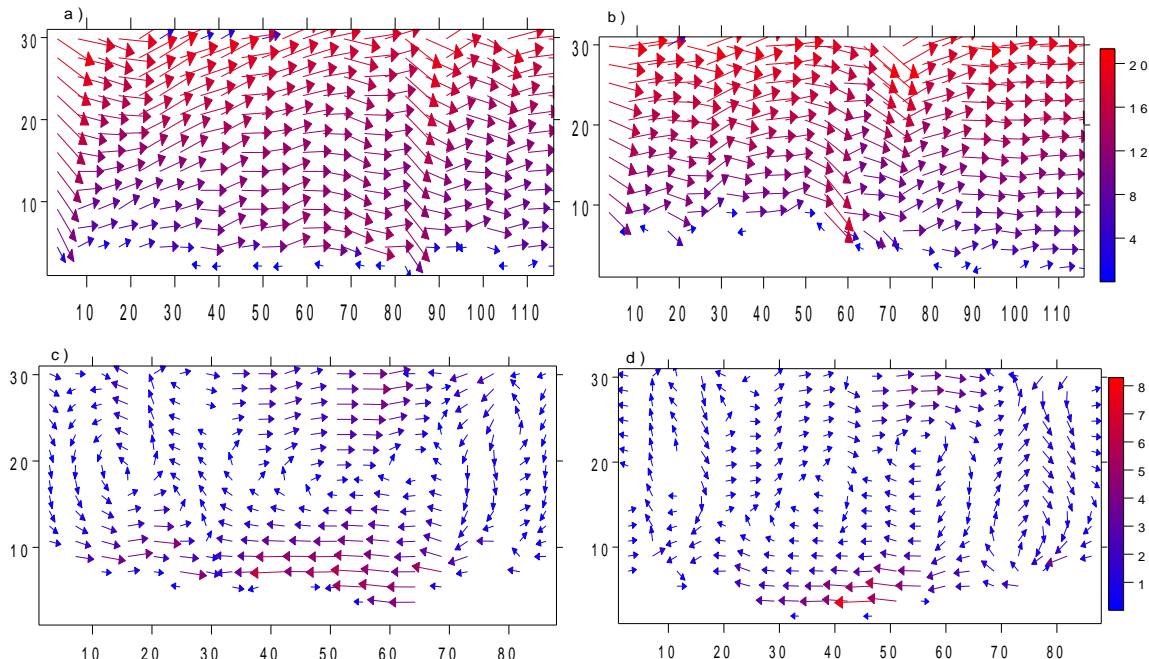
რეგიონის დასავლეთ ნაწილში მოდელირებით მიღებული ქარი ძირითადად დასავლეთისაა (ნახ. 4.16 a) და c)). აღმოსავლეთით გადადგილებისას ქარი იცვლის მიმართულებას, მდგრადი სეობასა და მის მიღებარე ტერიტორიაზე მიღებულია სიჩქარის კონვერგენცია და ქმნის ჩრდილო-დასავლეთის ქარს, რომელიც მიუყვება მტკვრის სეობას.

ატმოსფეროს სასაზღვრო ფენის ზევით რელიეფის გავლენა ქარის სიჩქარის სივრცულ განაწილებაზე მცირეა (ნახ.4.17). მიწის ზედაპირიდან დაშორებისას სიჩქარის სიღიდე იზრდება, მიმართულება კი უახლოვდება ფონურ მიმართულებას. ზღვის დონიდან 3 კმ სიმაღლეზე ქარის სიჩქარე 8-14 მ/მ-ის ფარგლებშია, 6 კმ-ის სიმაღლეზე – 10 - 16 მ/მ-ის ფარგლებში.



ნახ.4.17 ქარის სიჩქარის გელები $z = 3$ გზ - a) და 6 გზ სიმაღლეზე - b).

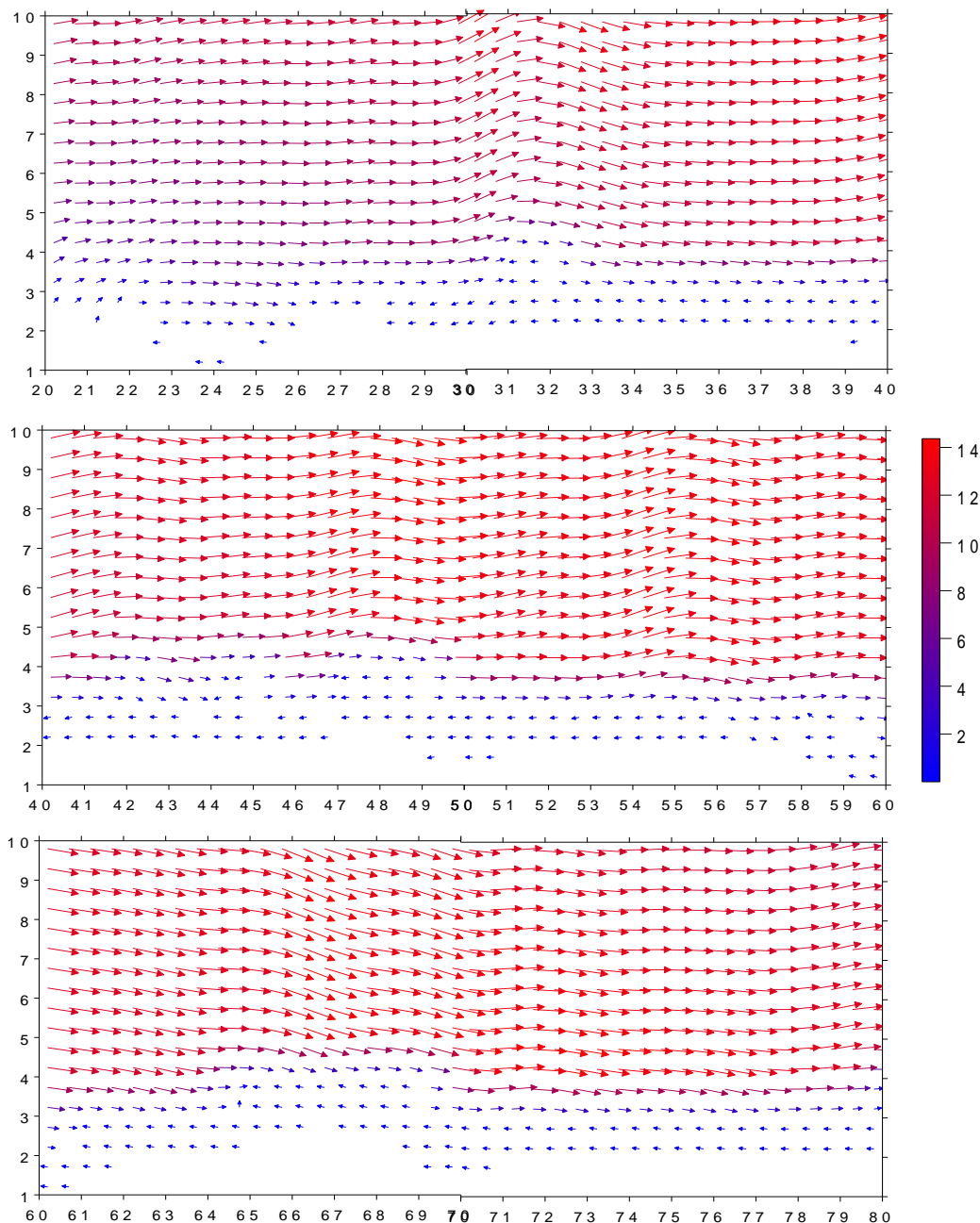
ქარის სიჩქარის ზონალური (ნახ.4.18 a, b)) და მერიდიანული (ნახ.4.18 c, d)) მდგენელების სივრცეზე განაწილების ანალიზი გვიჩვენებს, რომ ფონური ქარის რელიეფთან ურთიერთქმედება წარმოშობის ფონური ქარის გასწვრივ მიმართულ მეზომასტაბურ ტალღებს. ტალღის ამპლიტუდა დამოკიდებულია ოროგრაფიული წინაღობის სიმაღლეზე. ის მაქსიმალურია მთავარი კავკასიონის, სამსარის, ჯავახეთისა და თრიალეთის ქედების მიდამოებში და მცირეა სხვა დაბალი ქედების თაგზე. ასევე, ატმოსფეროს სასაზღვრო ფენაში, წარმოიშვება ქარის ჩაკეტილი გრიგალური სისტემა.



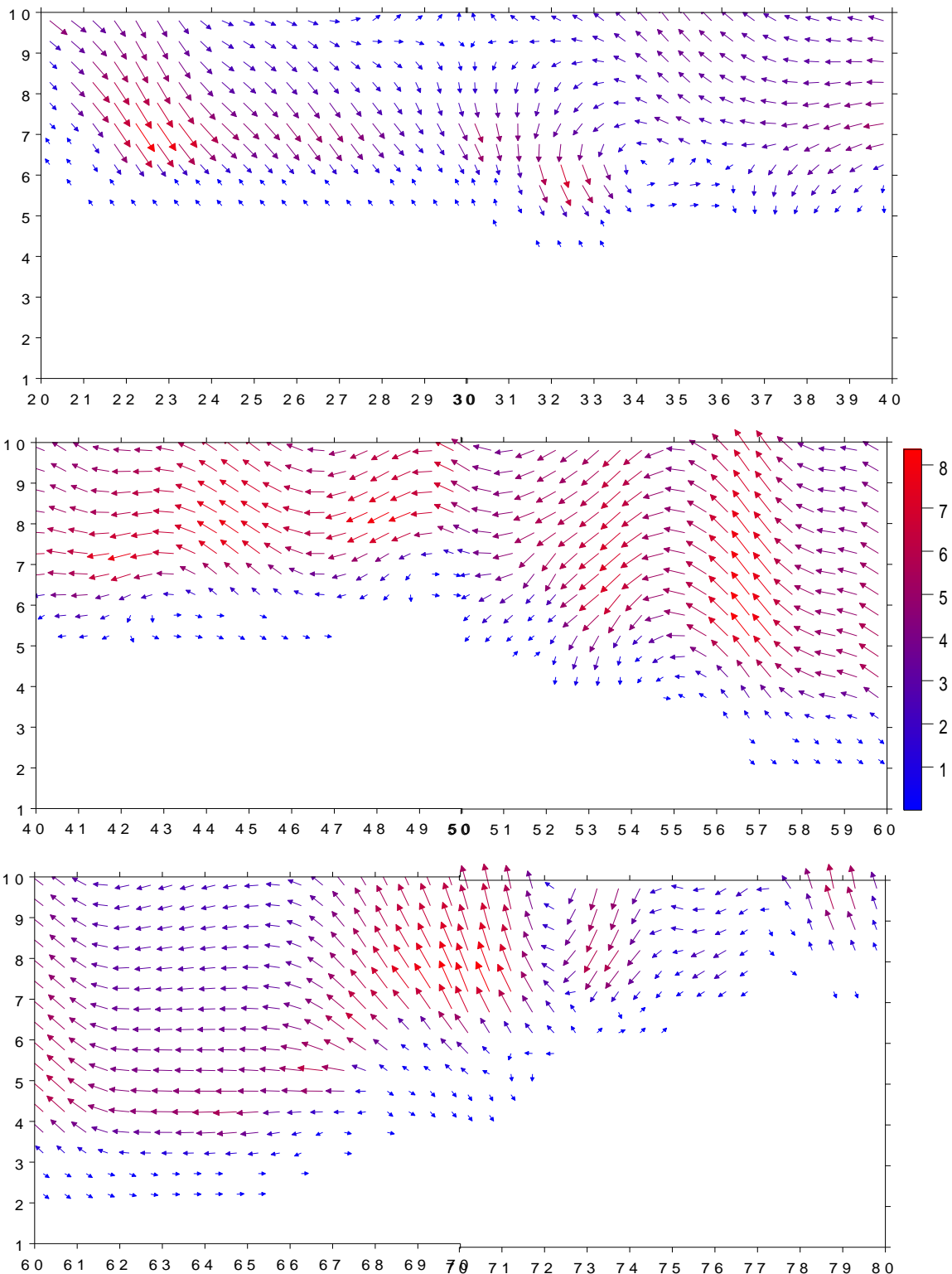
ნახ.4.18. ქარის სიჩქარის გექტორის პარალელის გასწვრივ მიმართული გეგმილი XOZ სიბრტყეში როცა $y = 60$ -(a) და 30 -(b), და მერიდიანული მდგენელი YOZ სიბრტყეში, როცა $x = 60$ (c) და 90 -(d), როცა $t = 12$ სთ.

ქარის სიჩქარის მერიდიანულ მდგენელს გააჩნია როული ვერტიკალური განაწილება. მერიდიანული მდგენელის ველში ერთმანეთს ენაცვლებიან აღმავალი და დაღმავალი ნაკადები. ქარის ზონალური მდგენელიდან განსხვავებით ზედა ტროპოსფეროში ფორმირებულია ქარის სიჩქარის მერიდიანული გრიგალები.

ნახ.4.19 და 4.20-ზე ნაჩვენებია ქარის სიჩქარის ზონალური და პარალელის გასწვრივ მიმართული ვექტორები ატმოსფეროს სასაზღვრო ფენაში. ამ ნახაზებზე ნათლად ჩანს ნიადაგის სიახლოვეს ფორმირებული ვერტიკალური ზონალური, მერიდიანული გრიგალები და ზონალური ტალღური შეშფოთებები.



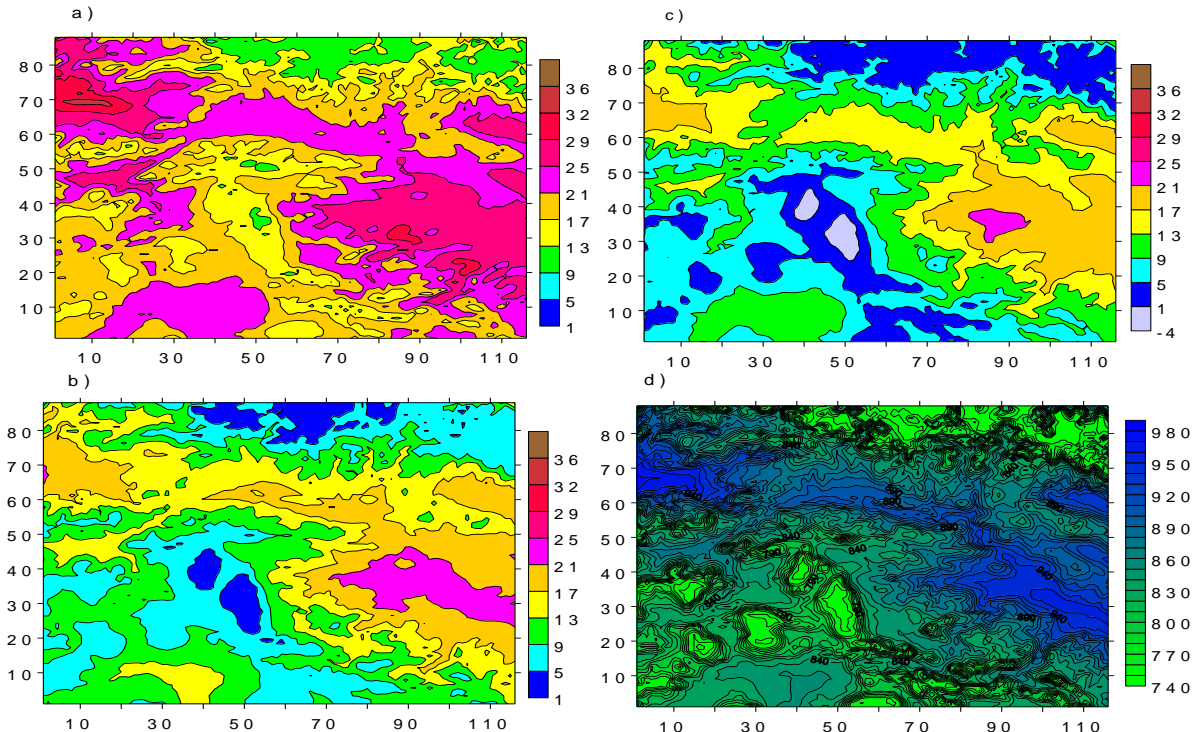
ნახ.4.19. ქარის სიჩქარის ვექტორის პარალელის გასწვრივი მიმართული გეგმილი XOZ სიბრტყეში ატმოსფეროს სასაზღვრო ფენაში (0-3 გ) როცა $y = 60$ და $t = 12$ სთ.



ნახ.4.20. ქარის სიჩქარის ვექტორის მერიდოიანის გასწვრივი მიმართული გეგმილი YOZ სიბრტყეში ატმოსფეროს სასაზღვრო ფენაში (0-3კმ) სიმაღლეზე, როცა $x = 60$ და $t = 12$ სთ.

ნახ.4.21 და ნახ.4.22-ზე ნაჩვენებია გამოთვლებით მიღებული ოქრობარიული ველი როცა $t = 0$ სთ. ნახაზებიდან ჩანს, რომ ნიადაგის ტემპერატურა დღის 12 სთ-თვის მაქსიმალურია კოლხეთის დაბლობის და თრიალეთის ქედის აღმოსავლეთ ნაწილებში, ქართლის ვაკის და კახეთის ტერიტორიაზე. ამ ადგილებში ნიადაგის ტემპერატურა იცვლება $32\text{-}34^{\circ}\text{C}$ ფარგლებში. მიწისპირაპაერის ტემპერატურაყველაზე უფრო მაღალია ქვემო ქართლის ვაკისა და მდ. მტკვრის სამხრეთ აღმოსავლეთ მაწილებში. ამტერიტორიებზე ჰაერის ტემპერატურები იცვლება $21\text{-}25^{\circ}\text{C}$ ინტერვალში. აღმოსფეროს 100 მ ფენა როცა $t = 12$ სთ ხასიათდება მცირე ვერტიკალური გრადიენტით. მაქსიმალური ტემპერატურები მიღებულია ქვემო ქართლის დაბლობის მცირე ნაწილში, ხოლო მინიმალური სამსარისა და ჯავახეთის ქედების ტერიტორიაზე. ამ რაონებში ტემპერატურები ნიადაგის ზედაპირიდან 100მ სიმარლეზე $1\text{-}5^{\circ}\text{C}$ ფარგლებშია.

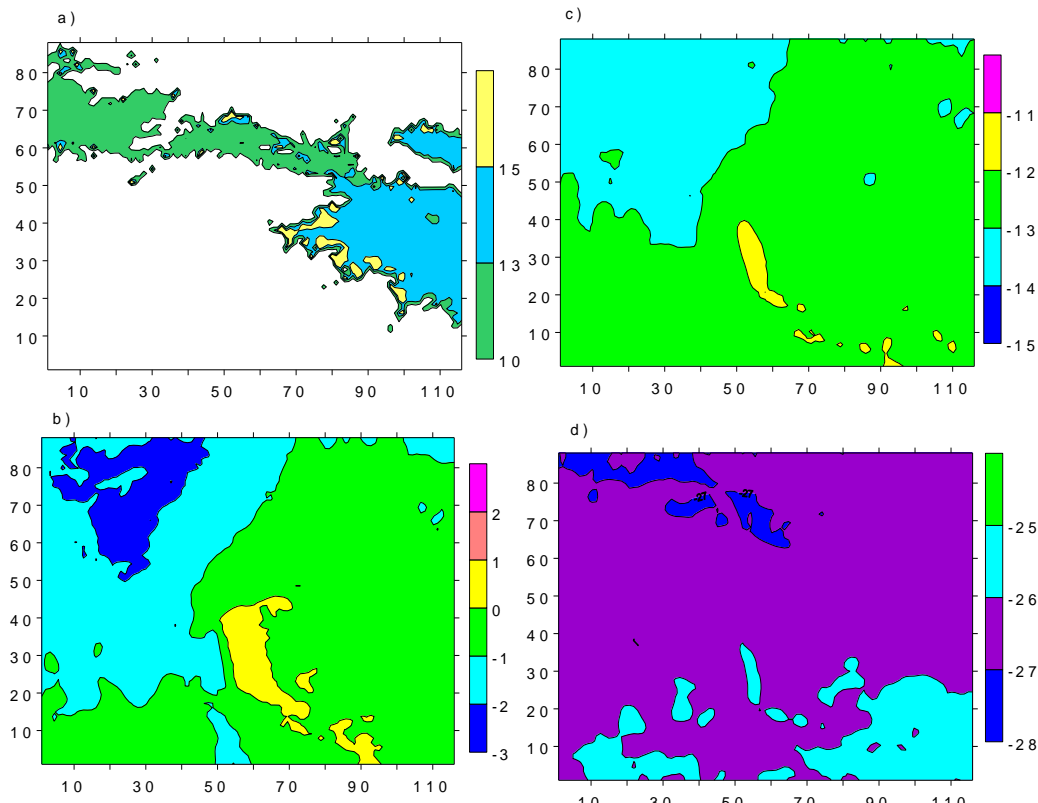
ატმოსფეროს სასაზღვრო ფენასა და ტროპოსფეროში ტემპერატურული ველი ჰორიზონტალური მიმართულებებით ნაკლებად ცვალებადია (ნახ.4.22), მისი გრადიენტი მიმართულია სამხრეთით და უდრის დაახლოებით 2°C -ს 100 კმ-ზე. აღმოსავლეთის ფონური ქარის შემთხვევისაგან განსხვავებით, დასავლეთის ფონური ქარის დროს, ტროპოსფეროში მერიდიანული ტემპერატურული გრადიენტის მიმართულება არ იცვლება. გამოთვლებით მიღებული მიწისპირა წნევის ველი თვისებრივად ანალოგიურია აღმოსავლეთის ფონური ქარის დროს მიღებული მიწისპირა წნევის ვეილის. რაოდენობრივი თვალსაზრისით მათ შორის გასხვავება სხვადასხვა წერტილებში 1-2 მბ-ის ფარგლებშია.



ნახ.4.21 ტემპერატურული ველი ($^{\circ}\text{C}$) ქვეფენილ ზედაპირზე – a), ნიადაგის ზედაპირიდან 2 მ – b), 100 მ – c) სიმაღლეებზე და მიწისპირა წნევის (მბ ველი – d)), როცა $t = 12$ სთ.

ატმოსფეროს სასაზღვრო ფენასა და ტროპოსფეროში ტემპერატურული ველი ჰორიზონტალური მიმართულებებით ნაკლებად ცვალებადია (ნახ.4.22), მისი გრადიენტი მიმართულია სამხრეთით და უდრის დაახლოებით 2°C -ს 100 კმ-ზე. აღმოსავლეთის ფონური ქარის შემთხვევისაგან განსხვავებით, დასავლეთი ფონური ქარის დროს, ტროპოსფეროში მერიდიანული ტემპერატურული გრადიენტის მიმართულება არ იცვლება. გამოთვლებით მიღებული მიწისპირა წნევის ველი თვისობრივად ანალოგიურია აღმოსავლეთის ფონური ქარის დროს მიღებული მიწისპირა წნევის ველის. რაოდენობრივი თვალსაზრისით მათ შორის გასხვავება სხვადასხვა წერტილებში 1-2 მბ-ის ფარგლებშია.

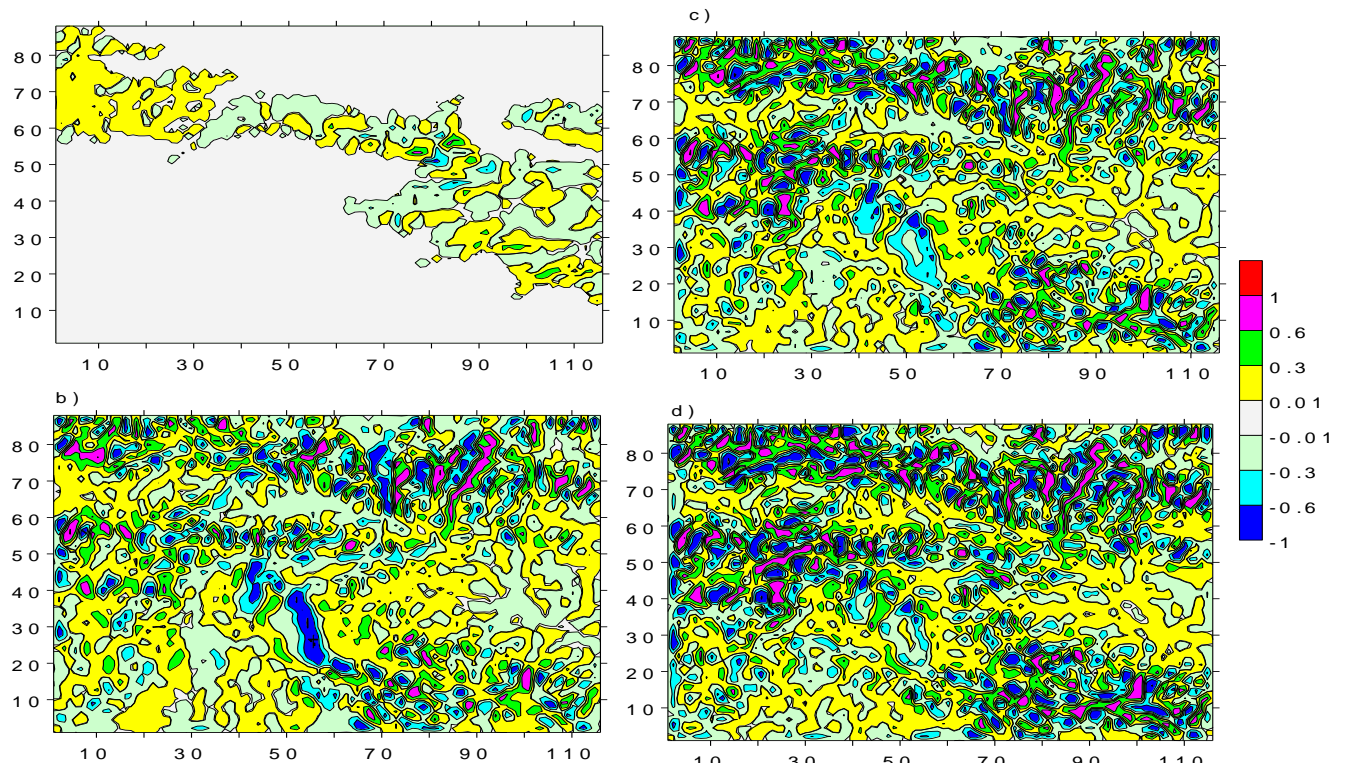
ვერტიკალური სიჩქარის სიდიდეები 100 მ სიმაღლეზე, ვაკე და დაბლობი ტერიტორიების ფარგლებში, იცვლება - 0.3 მ/წმ-დან 0.3 მ/წმ-დე ისე, რომ აღმავალი და დაღმავალი დინებების ვიწრო ზონები ენაცვლებიან ერთმანეთს (ნახ.4.23). აღმავალი მოძრაობა ძირითადად მიღებული ქედების ქარისპირა, ხოლო დაღმავალი - ქარზურგა მხარეს. აღნიშნულ ზოგად სურათს ტროპოსფეროში, მთებისა და ქედების თავზე ზედ ედება ერთმანეთის მონაცვლეობით განლაგებული 2-10 კმ-ის დიამეტრის ვერტიკალური კონვექტიური უჯრედები.



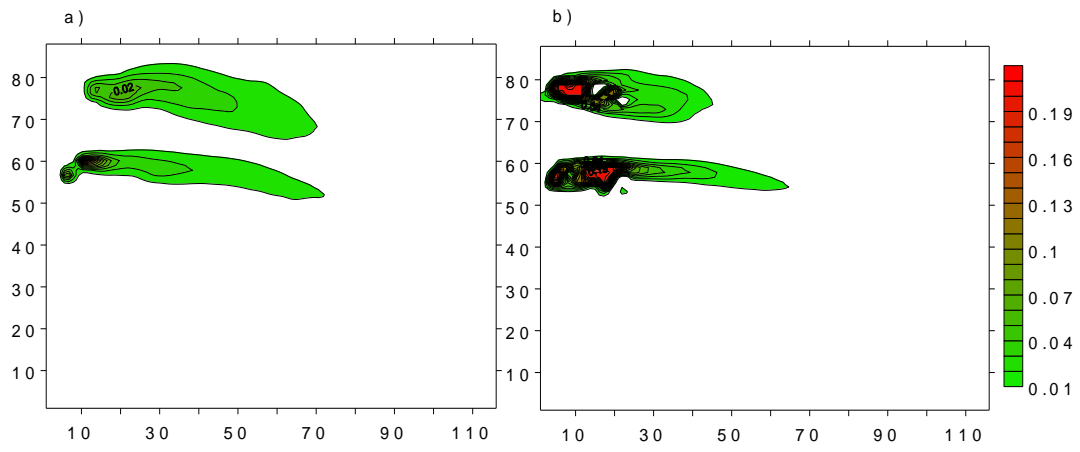
ნახ.4.22. ტემპერატურული ველი ($^{\circ}\text{C}$) ნიადაგის ზედაპირიდან 1კმ – a), 3 კმ – b), 5 კმ – c) და 7კმ – d) სიმაღლეებზე, როცა $t = 12$ სთ.

ატმოსფეროში ორთქლისა და ღრუბლების განაწილების ანალიზმა აჩვენა, რომ, რომ წყლის ორთქლის შემცველობა მეტია რეგიონის ჩრდილო - დასავლეთ ნაწილში კავკასიონის და ლიხის ქედების მიდამოებში. ამ რეგიონებში მიღებულია ასევე ღრუბლების 2 ზონა (ნახ.4.24). მათ გააჩნიათ ფონური ქარის მიმართულებით წარგრძელებული ელიფსის მაგვარი ფორმა. წარმოშობილი ღრუბლების მაქსიმალური წყლიამობა არა დიდი და შეადგენს დაახლოებით 0.19 გ/კგ.

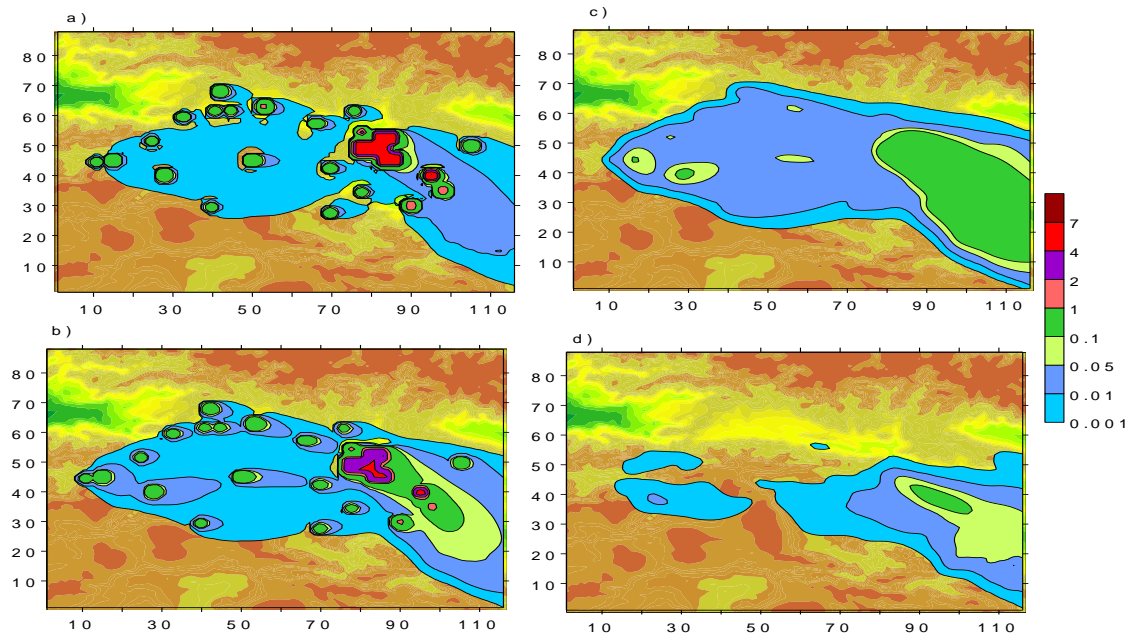
ნახ.4.25 და ნახ.4.26-ზე ნაჩვენებია გამოთვლებით მიღებული მტკრის განაწილება ატმოსფეროს სასაზღვრო ფენაში და ტროპოსფეროში. ატმოსფეროს მიწისპირა ფენაში მიღებულია დამტვერიანების ერთიანი დრუბელი, რომელშიც მიღებულია კონცენტრაციის მომატებული არეები. ისინი კონცენტრირებული არიან ძირითადი დამაბინძურებელი ქალაქების ტერიტორიაზე და მათ მახლობლობაში. მათგან განსაკუთრებით ძლევი დამტვერიანებაა ქქ. თბილისისა და რუსთავის მიდამოებში. ადვექციისა და ჰორიზონტალური ტურბულენტობის გამო ატმოსფეროში გაფერქვეული მტკრი, გარდა ქქ. თბილისის და რუსთავისა, გადატანილია აღმოსავლეთის მიმართულებით, ხოლო ქქ. რუსთავისა და თბილისის მტკრი სამხრეთ-აღმოსავლეთის მიმართულებით. მიწის ზედაპირიდან 2მ სიმაღლეზე მტკრის კონცენტრაცია ქ. თბილისისა და რუსთავის მიდამოებში მცირდება 0.1 ზდკ-ის მნიშვნელობამდე დაახლოებით 2 კმ მანძილზე, 0.01 ზდკ-მდე კი 60-80 კმ-ზე. 10 მ სიმაღლეზე მტკრის გავრცელების არეალი უფრო დიდია. ამ დონეზე ქთბილისის მტკრი ქარის მიმართულებით ვრცელდება დაახლოებით 20 კმ მანძილზე და ამ მანძილზე კონცენტრაცია 5 ზდკ-დან ეცემა 0.1 ზდკ-მდე. მიწის ზედაპირიდან 100 მ სიმაღლეზე მტკრი გავრცელებულია მნიშვნელოვნად მეტ არეზე. ამ დონეზე დამტვერიანება ქმნის ერთიან დრუბელს, რომელიც ძირითადად გავრცელებულია აღმოსავლეთისა და სამხრეთ-აღმოსავლეთის მიმართულებით.



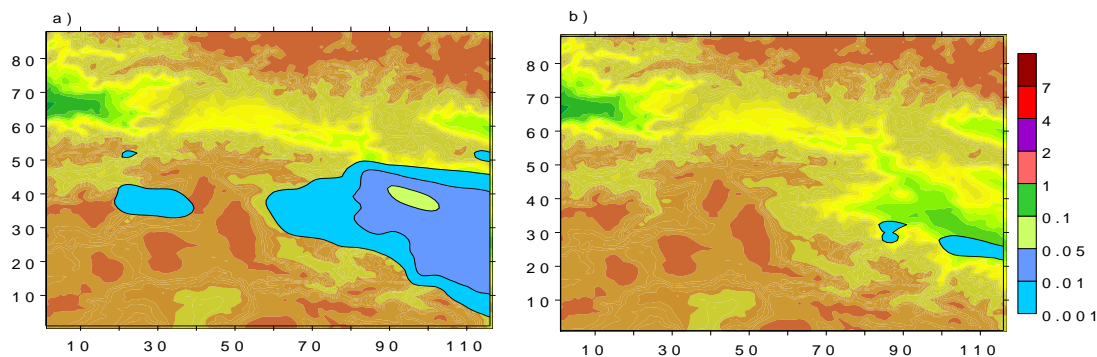
ნახ.4.23. გერტიკალური სიჩქარის გელი ($^{\circ}$ C) ნიადაგის ზედაპირიდან $z = 1$ კმ
1 კმ – a), 3 კმ – b), 5 კმ – c) და 7 კმ – d) მ სიმაღლეებზე, როცა $t = 12$ სთ.



ნახ.4.24. წეიმის წყლის მასიური შემცველობის განაწილება ვერტიკალური ზედაპირიდან $z = 3$ –(ა) და 5 კმ – (ბ) სიმაღლეებზე როცა $t = 12$ სთ.



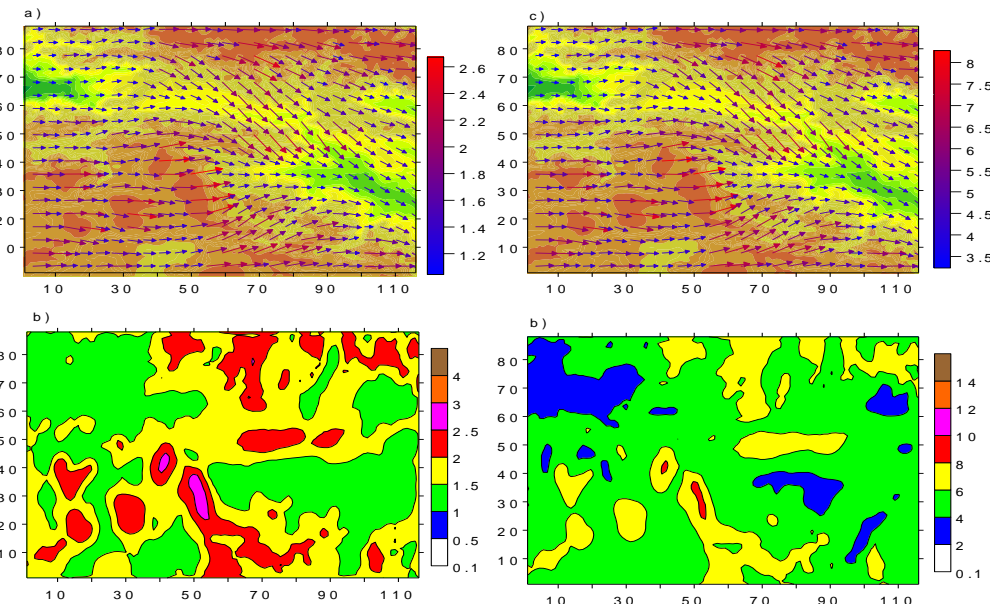
ნახ.4.25 ატმოსფეროში მტვრის კონცენტრაციის განაწილება ნიადაგის ზედაპირიდან 2 - (ა), 10 - (ბ), 100 - (გ) და 600 - (დ) სიმაღლეებზე, როცა $t = 0$ სთ.



ნახ.4.26. ატმოსფეროში მტვრის კონცენტრაციის განაწილება ნიადაგის ზედაპირიდან 3 - (ა) და 5 კმ სიმაღლეებზე, როცა $t = 0$ სთ.

სიმაღლის ზრდასთან ერთად კონცენტრაცია სწრაფად მცირდება. ქ.ქ. თბილისის და რუსთავის თავზე მიწის ზედაპირიდან 600 მ – 1 კმ სიმაღლეზე გამოთვლილი კონცენტრაციის მაქსიმალური მნიშვნელობები აღწევს 1 ზდკ-ს, ისიც მეტად მცირე არეში. დანარჩენ ტერიტორიაზე კონცენტრაციის მნიშვნელობები 100 ჯერ ნაკლებია ზდკ-ზე. მიწის ზედაპირიდან 3 კმ სიმაღლეზე კონცენტრაცია 1000 ჯერ, და უფრო მეტად, ნაკლებია ზღვრულად დასაშვებ მნიშვნელობაზე.

ჰიდრომეტეოროლოგიური ველებირომლებიც გამოთვლილია როცა $t = 24$ სთ ნაჩვენებია ნახ. 4.27 - ზე. ნახ.4.27-ზე მოყვანილია ქარის ვექტორისა და მოდულის განაწილება მიწის ზედაპირიდან $z = 10$ მ – a), b) და 100 მ – c), d) სიმაღლეებზე. ნახაზდან ჩანს, რომ ქარის ზედაპირული განაწილება რთულია. რეგიონის დასავლეთ ნაწილში მიღებულია დასავლეთის ქარი, რომელიც განიცდის კონვერგენციას ქალაქ თბილისის მიდამოებში, თრიალეთის ქედზე არსებულ სამ ხეობაში და წარმოქმნილი პაერის ნაკადები მიემართებიან ჯეირანის დაბლობისაკენ.



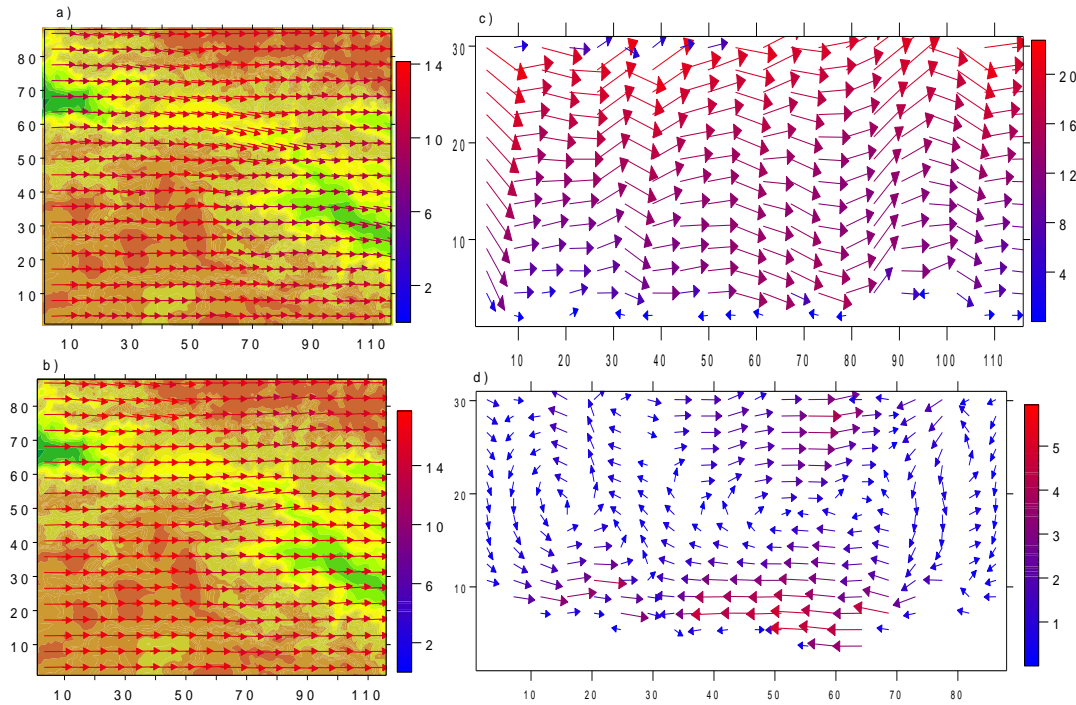
ნახ.4.27 ქარის სიჩქარის ვექტორი და მოდული $z = 10$ მ – a), b)
და $z = 100$ მ სიმაღლეებზე – c), d), შესაბამისად, როცა $t = 24$ სთ.

ანალოგიური მიმართულების ქარი ფორმირდება კახეთის რეგიონის ტერიტორიაზე. ქარის სიჩქარე 10 მ დონეზე არაა დიდი, რეგიონის უმეტეს ნაწილში ის არ აღემატება 3 მ/წმ-ს. მიწის ზედაპირიდან 100 მ სიმაღლეზე (ნახ.4.27c) ქარის ვექტორის სივრცეული განაწილება, მსგავსია მიწისპირა ქარის ვექტორის განაწილების. ამავე დროს, არსებობს რიგი განსხვავებები: უფრო მკვეთრადაა გამოხატული ქარის დივერგენციის ზონა როგორც თრიალეთის ქედის მახლობლობაში.

100 მ სიმაღლეზე ქარის სიდიდე იცვლება ფართო ფარგლებში (ნახ.4.27d). რეგიონის ცენტრალურ ნაწილში, ჯეირანის დაბლობის, ცივ გომბორის ქედის მიდამოებში, მთავარი კავკასიონის ქედის და მისი ჩრდილოეთი ფერდობის გარკვეულ ნაწილებში ქარის სიჩქარე არ აღემატება 5 მ/წმ-ს. ამასთან ერთად, ამ ტერიტორიის ცალკეულ მცირე ნაწილებში მიღებულია შტილის ზონები. 10 მ/წმ ქარის სიჩქარე მიღებულია ჯავახეთის ზეგანის მიდამოებში.

თავისუფალ ატმოსფეროში ორგრაფიისა და ქვეფენილი ზედაპირის თერმიული ზემოქმედება ზონალური ტალღური შემფოთებების წარმოშობასა და ვერტიკალური

მერიდიანულ სიბრტყეში მეზომასშტაბის გრიგალლების ფორმირებაში (ნახ.4.28). ატმოსფეროს სასაზღვრო ფენაში, როგორც ზონალურ ასევე მერიდიანულ კვეთაში, მოდებულია ვერტიკალური ცირკულაციური სისტემები, რომელთა პორიზონტალური მასშტაბები დამოკიდებულია ოროგრაფიის არაერთგვაროვნების ზომებზე.

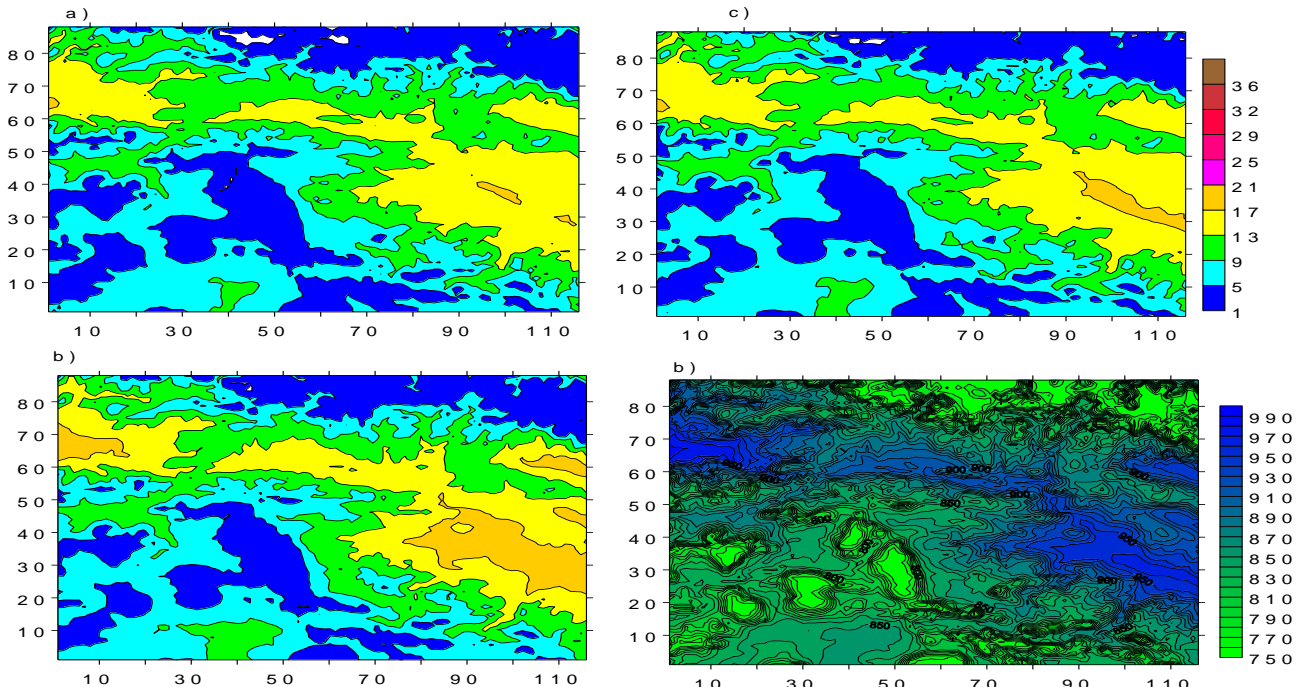


ნახ.4.28 ქარის სიჩქარის ვექტორის და მოდულის ველები $z = 3$ კმ
სიმაღლეზე, – a) და 6 კმ სიმაღლეზე – b). ქარის სიჩქარის ვექტორის ზონალური მდგრენელ
XOZ სიბრტყეში – c) და მერიდიანული მდგრენელი YOZ სიბრტყეში – d), როცა $t = 24$ სთ.

დინებების ზოგადი სურათი ისეთია, რომ ატმოსფეროს სასაზღვრო ფენის ქვედა ნაწილში, ქედებსა ან მაღლობებს შორის არსებულ დაბლობ ტერიტორიებზე, პაერის მოძრაობას აქვს ურთიერთ საპირისპირო მიმართულება და წარმოშობს ციკლონური ან ანტიციკლონური ტიპის ვერტიკალურ ცირკულაციურ სისტემებს. არსებულ ეფექტს ადგილი აქვს მხოლოდ იმ შემთხვევაში თუ მსხვილმასშტაბიანი ფონური მოზრაობის სიჩქარე 1-3 მ/წმ-ის ფარგლებშია. 3 მ/წმ-ზე მეტი ქარის სიჩქარის შემთხვევაში მიწისპირა ფენის დამამურულებელი მოძრაობა ვერ წარმოშობს ვერტიკალურ გრიგალებს და ფორმირებული მეზომასშტაბური ქარის მიმართულება ემთხვევა ფონური ქარის მიმართულებისაა, რომელზედაც ზედ ედება სხვადასხვა სიგრძის მცირე ამპლიტუდის ტალღური შეშფოთებები. ტალღური შეშფოთების ამპლიტუდა დიდია დიდი დახრილობის ოროგრაფიული არაერთგვაროვნების არეში და მცირდება დაბლობ და ვაკე ტერიტორიების თავზე.

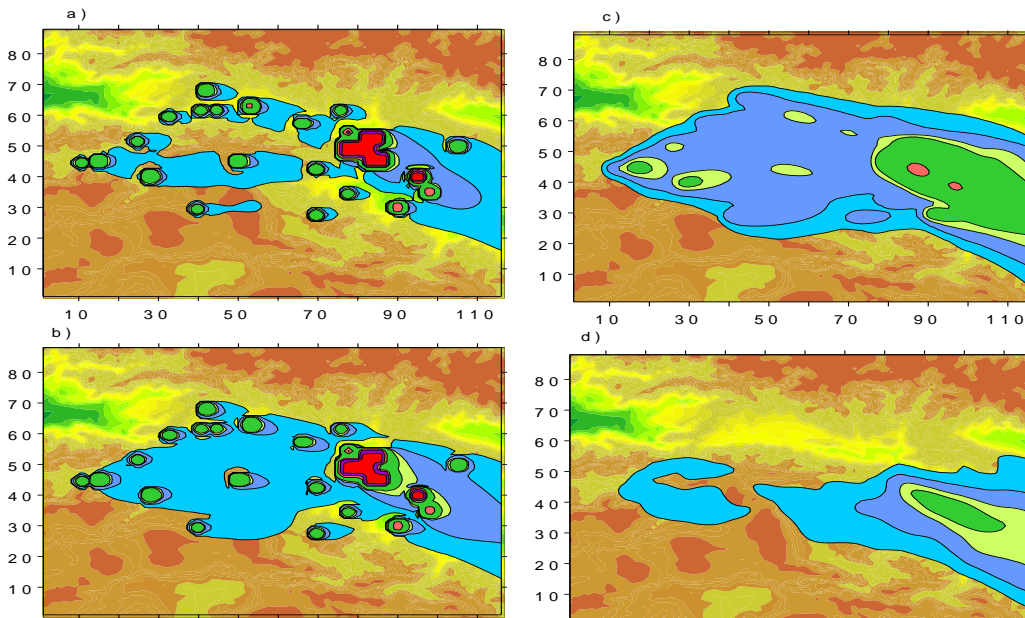
ნახ.4.29-ზე ნაჩვენებია გამოთვლებით მიღებული ტემპერატურისა და წნევის ველები. ნახაზიდან ჩანს, რომ მოდელირების არეში ნიადაგის ტემპერატურა იცვლება $5 - 21^{\circ}\text{C}$ ფარგლებში. ტემპერატურის მაქსიმალური მნიშვნელობები $13-17^{\circ}\text{C}$ მიღებულია მდ. მტკვრის გასწვრივ არსებულ ვაკე და დაბლობ ტერიტორიებზე და კოლხეთის დაბლობის ნაწილში. მიწისპირა წნევის მნიშვნელობები 760 მბ – 1000 მბ-ის ფარგლებშია. ტროპოსფეროში ტემპერატურა სიმაღლის ზრდასთან ერთად ეცემა დაახდლოებით 0.65°C -ით 100 მ-ზე ისე, რომ

მისი პორიზომტალური გრადიენტი მიმართულია სამხრეთიდან ჩრდილოეთისაკენ და დაახლოებით უდრის $1^{\circ}\text{C}/50$ გ.

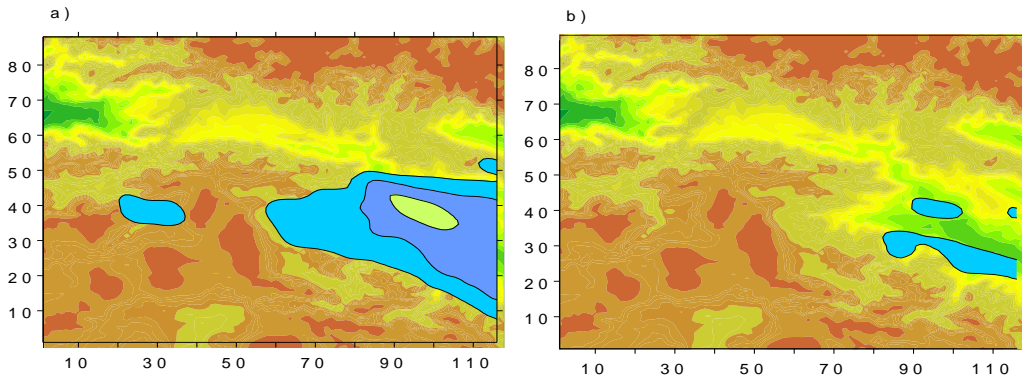


ნახ.4.29 ტემპერატურული ველი ($^{\circ}\text{C}$) ქვეფენილზედაპირზე – a), ნიადაგის ზედაპირიდან 2 მ – b), 100 მ – c) სიმაღლეებზე და მიწისპირა წნევის (მბ ველი – d)), როცა $t = 24$ სთ.

ატმოსფეროს სასაზღვრო ფენის ზევით არაა ფორმირებული მკაფიოდ გამოხატული გერტიკალური მოძრაობის არეები. ვერტიკალური მოძრაობა აქ უფრო ლოკალურ ხასიათს ატარებს და დაკავშირებულია რელიეფის ლოკალურ არაერთგვაროვნებასთან.



ნახ.4.30. ატმოსფეროში მტვრის კონცენტრაცია $z = 2, 10, 100$ და 600 მ სიმაღლეებზე, როცა $t = 14$ სთ.



ნახ.4.31 ატმოსფეროში მტგრის კონცენტრაცია მიწის ზედაპირიდან
 $z = 1$ და 3კმ სიმაღლეებზე, როცა $t=24$ სთ.

ნახ.4.30 და 4.31-ზე ნაჩვენებია გამოთვლებით მიღებული მტგრის განაწილება ატმოსფეროს სასაზღვრო ფენაში და ტროპოსფეროში, როცა $t = 24$ სთ. ნახაზებიდან ჩანს, რომ დამტვერიანება გავრცელებულია უფრო ნაკლებ ტერიტორიაზე ვიდრე იყო მიღებული ფონური ადმოსავლეთის ქარის დროს. 2მ სიმაღლეზე დამტვერიანების ზონები მცირე ქალაქების მიდამოებში წარმოადგენენ ცალკეულ მცირე ტერიტორიებს. 10 მ სიმაღლეზე ეს ტერიტორიები ერთიანდებიან და ქმნიან დაბინძურების ერთიან ღრუბელს. მიღებულ ღრუბელში მტგრის კონცენტრაციები >0.01 ზღვა ლოკალიზირებულია ფონური ქარის გასწვრივ ორიენტირებულ მცირე ზომის სივრცეში, რომელთა სიგრძე 2-4 კმ-ის ფარგლებშია. 2 მ სიმაღლეზე კონცენტრაცია 0.1 ზღვა -1 ზღვა მიღებულია მხოლოდ ქალაქების ტერიტორიებზე და მათ უშუალო სიახლოეს. 0.01 ზღვა-ის საზღვარი ქქ თბილისის და რუსთავის ირგვლივ ქალაქის ტერიტორიიდან დაახლოებით 20-40 კმ მანძილზე. 100მ სიმაღლეზე მაქსიმალური კონცენტრაცია 1-2 ზღვა ფორმირებულია მცირე სივრცეში ქთბილისიდან სამხრეთ-ადმოსავლეთის მიმართულებით. უფრო მეტ სიმაღლეზე მტგრის კონცენტრაცია სწრაფად მცირდება და 3 კმ სიმაღლეზე ის მხოლოდ მცირე კვალის სახით არის წარმოდგენილი.

4.3 ჰიდროთერმოდინამიკური გელების და ურბანული მტგრის დროითი და სივრცითი უვოლუცია ფონური სამხრეთის ქარის დროს

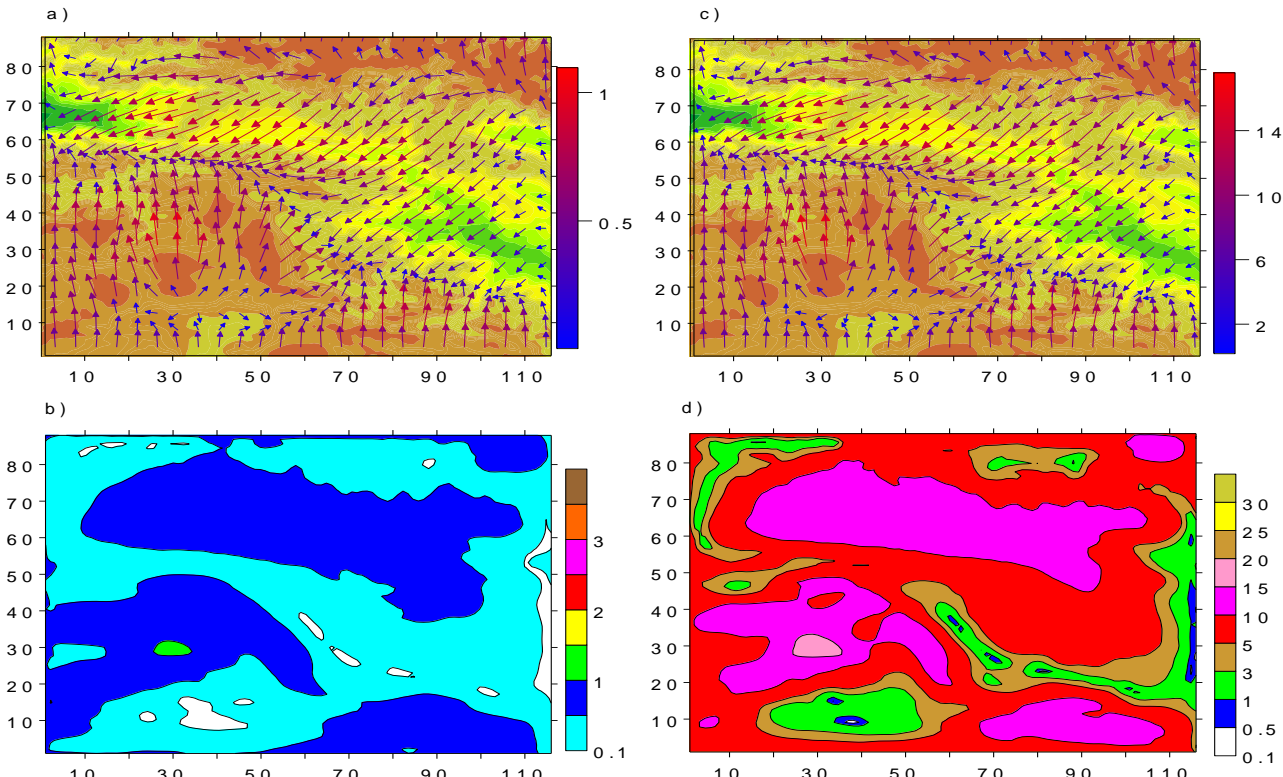
მოდელირებული და შესწავლილია აღმოსავლეთ საქართველოს ცენტრალურ ნაწილში ატმოსფერული პროცესების განვითარება და ქალაქების მტგრის გავრცელება ფონური სამხრეთის ქარის დროს ზაფხულის სეზონში. პარამეტრები $u_{fon}=25\text{მ}/\sqrt{\text{მ}}; v_{fon}=0; \Delta T_x = 0; \Delta T_y = 7,5 \cdot 10^{-6} \text{ გრად}/\text{მ};$ ფონური ქარის სიჩქარე გამოთვლილია გეოსტროფიული ქარის განტოლებებიდან. მისი მნიშვნელობა იცლება 5 მ/მ-დან (10 მ სიმაღლეზე) 25 მ/მ-და (ტროპოპაუზაზე).

ნახ. 4.32 - 4.36 - ზე ნაჩვენებია გამოთვლებით მიღებული ლოკალური მეტეოროლოგიური გელების სივრცითი და დროითი განაწილებების სურათები. ნახ.4.32-ზე ნაჩვენებია ქარის სიჩქარის გექტორი და მოდული $z = 10$ მ – a), b) და $z = 100$ მ სიმაღლეებზე – c), d), როცა, $t=12$ სთ. ნახაზებიდან ჩანს, რომ ქარის სიჩქარე ფლუგერის დონეზე მთელ ტერიტორიაზე იცვლება 0-დან 1 მ/მ-მდე. 100მ სიმაღლეზე ქარის სიჩქარე აღწევს 15 მ/მ-ს. რელიეფის ზემოქმედება ფონურ დინებაზე იწვევს ქარის მიმართულების და სიდიდის მნიშვნელოვან

ცვლილებას. მთავარი კავკასიონის ქედის სამხრეთით, კოლხეთის დაბლობის აღმოსავლეთ ნაწილზე, ქართლის ვაკის, კახეთის ტერიტორიაზე და თრიალეთის ქედის აღმოსავლეთ ფერდობის მიდამოებში სამხრეთის ქარი იცვლის მიმართულებაზე და ფორმირდება ჩრდილო-აღმოსავლეთის ქარი. აღნიშვნული ქარი ხვდება სამხრეთის ფონურ ქარს და წარმოშობს ქარის სიჩქარის კონვერგენციის ზოლს ვიწრო ზოლს, რომელიც გასდევს მცირე კავკასიონის ჩრდილო და აღმოსავლეთ ნაწილს.

რეგიონის ჩრდილოეთ ნაწილში, კავკასიონის ქედის სამხრეთ კალთაზე, ქარი მირითადად აღმოსავლეთისაა (ნახ.4.32 ა) და ც). ქარის სიჩქარის მოდელირებით მიღებული რთული განაწილება დაკავშირებულია კავკასიონის ქედის დინამიკურ ზემოქმედებასთან. მაღალი ქედი ეწინააღმდება პაერის გავრცელებას ჩრდილოეთის მიმართულებით და უცვლის მას მიმართულებას. ინამიკური წინააღმდეგობა იმდენად ძლიერია, რომ ის ატმოსფეროს მიწისპირა ფენაში წარმოშობს ძლიერ აღმოსავლეთის ქარს.

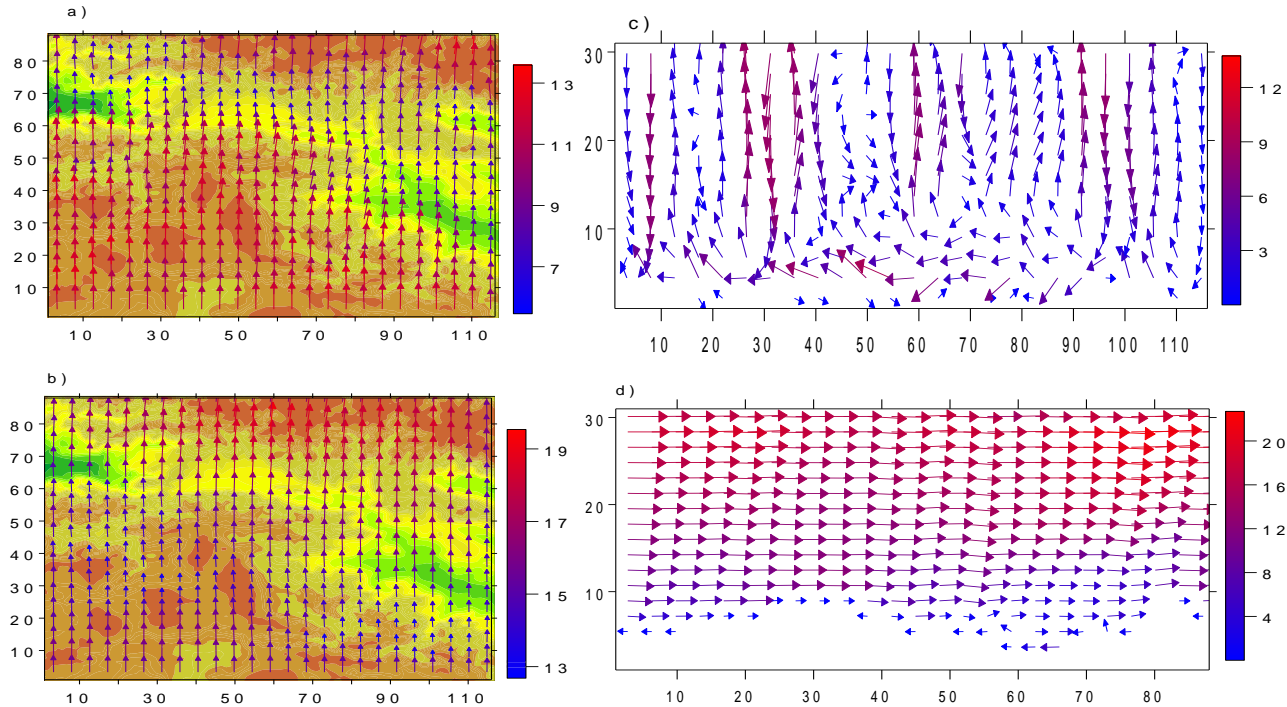
ატმოსფეროს სასაზღვრო ფენის ზევით რელიეფის გავლენა ქარის სიჩქარის სივრცულ განაწილებაზე მცირება (ნახ.4.33). მიწის ზედაპირიდან დაშორებისას სიჩქარის სიდიდე იზრდება, მიმართულების კი უახლოვდება ფონურ მიმართულებას. ზღვისდონიდან 3 კმ სიმაღლეზე ქარის სიჩქარე 6-13 მ/წმ-ის ფარგლებშია, 6 კმ-ის სიმაღლეზე – 13-19 მ/წმ-ის ფარგლებში.



ნახ.4.32 ქარის სიჩქარის ვექტორი და მოდული $z = 10$ მ – ა), ბ) და $z = 100$ მ სიმაღლეზე – ც), დ), შესაბამისად, როცა $t = 12$ სთ.

ქარის სიჩქარის ზონალური (ნახ.4.33 ა), ბ) და მერიდიანული (ნახ.4.34 ც), დ) მდგენელების სივრცული განაწილების ანალიზი გვიჩვენებს, რომ ფონური ქარის რელიეფთან ურთიერთქმედება წარმოშობს ფონური ქარის გასწვრივ მიმართულ მეზომასტაბურ ტალღებს და გრიგალურ სისტემებს. ქარის სიჩქარის მერიდიანულ მდგენელს გააჩნია რთული

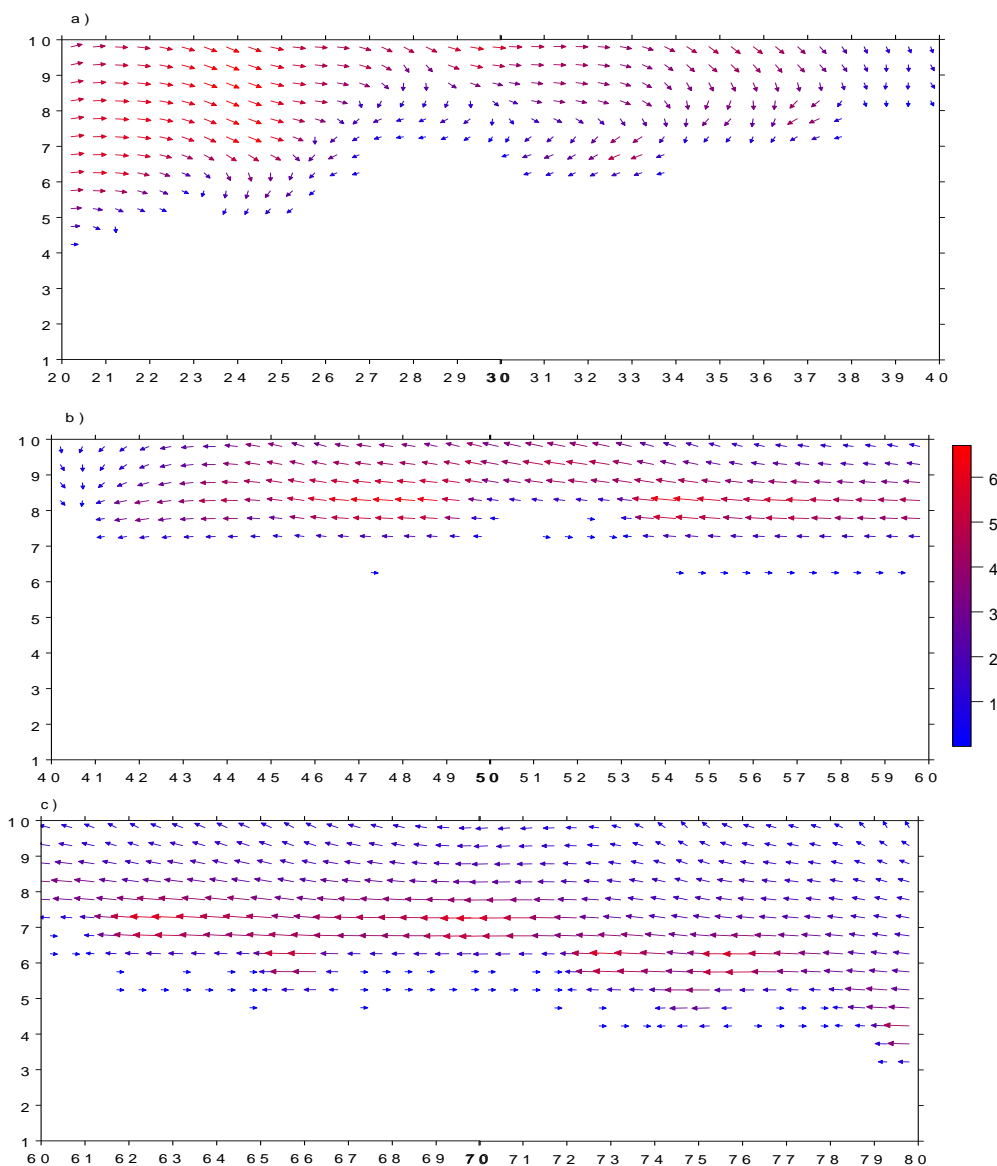
გერტიკალური განაწილება. მერიდიანული მდგენელის ველში ერთმანეთს ენაცვლებიან აღმავალი და დაღმავალი ნაკადები.



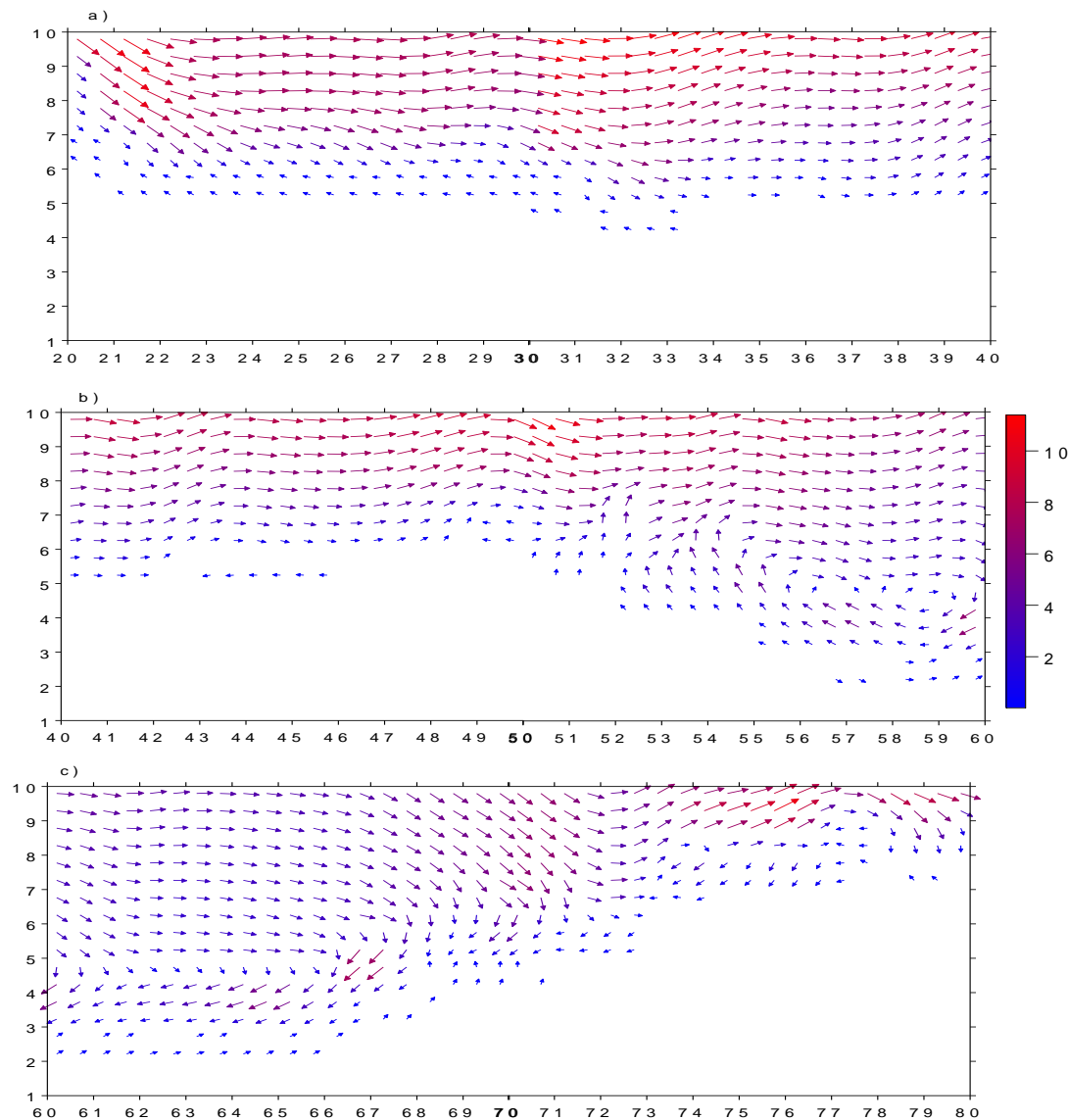
ნახ.4.33 ქარის სიჩქარის ველები $z = 3$ კმ - a), 6 კმ სიმაღლეზე – b a), ზონალურ XOZ -c) და მერიდიანულ YOZ -d) სიბრტყეებში, როცა $y = 50$, $x = 60$ და $t = 12$ სთ.

ნახ. 4.34 და 64.35-ზე ნაჩვენებია ქარის სიჩქარის ზონალური და მერიდიანული ვექტორები ატმოსფეროს სასაზღვრო ფენაში. ამ ნახაზებზე ნათლად ჩანს ნიადაგის სიახლოვეს ფორმირებული ვერტიკალური ზონალური, მერიდიანული გრიგალები და ზონალური ტალღური შეშფოთებები. მოძრაობის გრიგალური ხასიათი, განსაკუთრებით ქართლის ვაკის და კავკასიონის ქედის სამხრეთ ფერდობების თავზეა გამოხატული.

ნახ.4.36-ზე ნაჩვენებია გამოთვლებით მიღებული თერმობარიული ველი როცა $t = 12$ სთ. ნახაზებიდან ჩანს, რომ ნიადაგის ტემპერატურა დღის 12 სთ-თვის მაქსიმალურია მდ.მტკვრის გასწვრივ მდებარე ჯეირანჩოლის ველის, ივრის ზეგანისა და შირაქის ველის მიდამოებში. ამ ადგილებში ნიადაგის ტემპერატურე იცვლება $32-34^{\circ}\text{C}$ ფარგლებში. მიწისპირა ჰაერის ტემპერატურა ყველაზე უფრო მაღალია ქვემო ქართლის ვაკისა, მდ. მტკვრის სამხრეთ აღმოსავლეთ ნაწილებში და კოლხეთის დაბლობის ტერიტორიებზე. ამ ტერიტორიებზე ჰაერის ტემპერატურე იცვლება $21-29^{\circ}\text{C}$ ინტერვალში. ატმოსფეროს მიწისპირა 2 მ ფენა, როცა $t = 12$ სთ ხასიათდება მცირე ვერტიკალური გრადიენტით. 2-დან 100მ ფენაში ტემპერატურის ვერტიკალური გრადიენტი დაახლობით 5°C -ია 100მ-ზე.

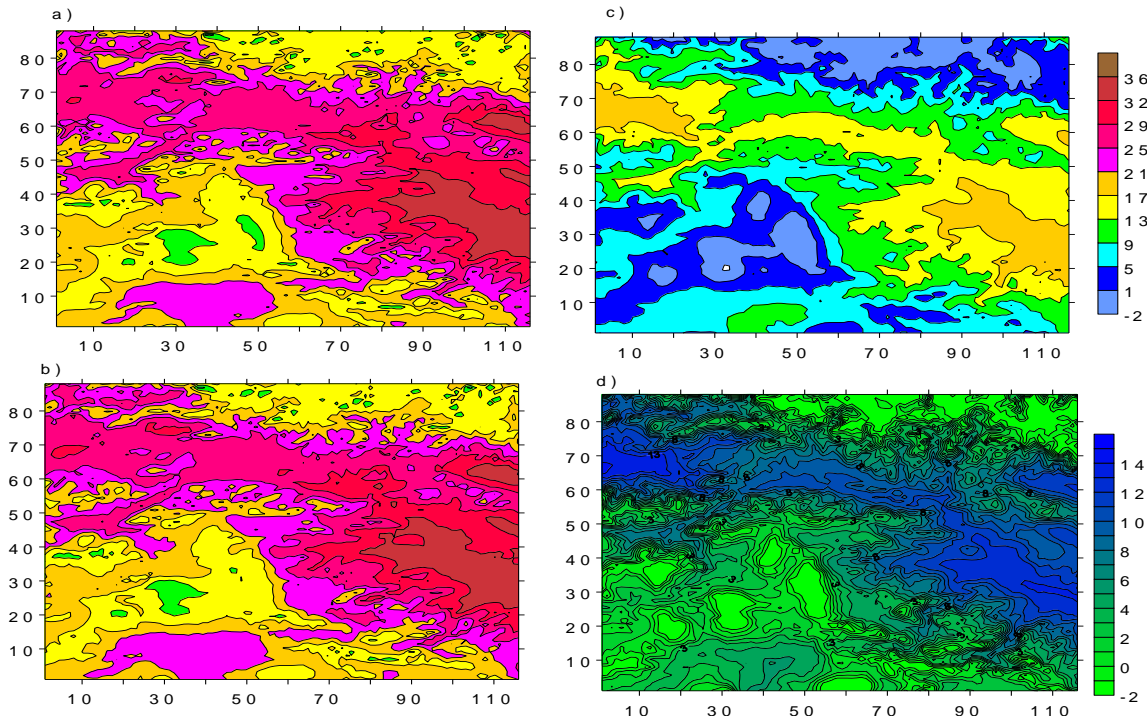


ნახ.4.34 ატმოსფეროს სასაზღვრო ფენაში (3 კბ) ქარის სიჩქარის ვექტორის ზონალური გეგმილი XOZ სიბრტყეში, როცა $y = 50$ –(a) და $t = 12$ სთ.



ნახ.4.35 ატმოსფეროს სასაზღვრო ფენაში (3 გზ) ქარის სიჩქარის გექტორის მერიდიანული გეგმილი YOZ სიბრტყეში როცა, $x = 60$ –(a) და $t = 12$ სთ.

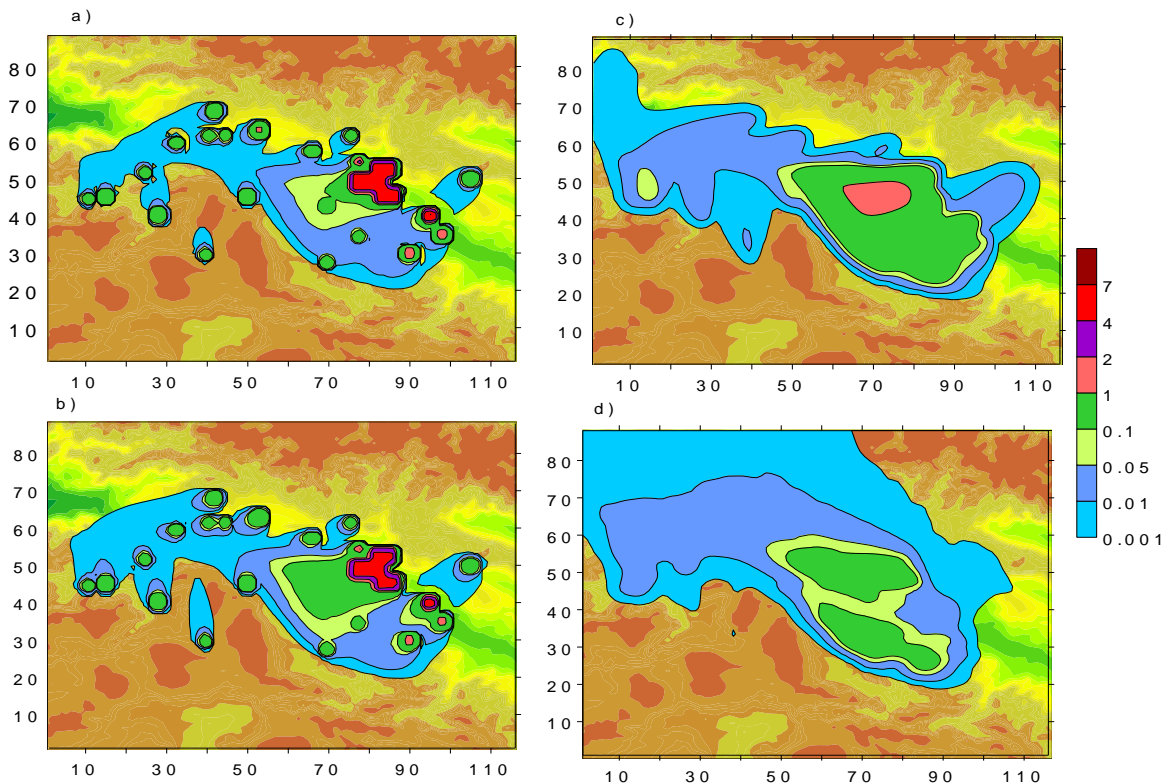
გამოთვლებით მიღებული მიწისპირა წნევის გელი თვისობრივად ანალოგიურია აღმოსავლეთის და დასვლეთის ფონური ქარების დროს მიღებული მიწისპირა წნევის გელის.



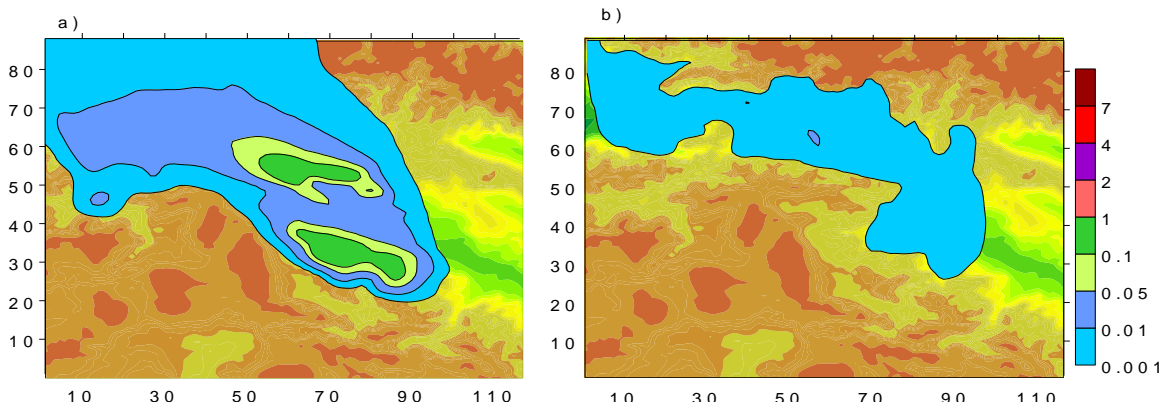
ნახ.4.36 ტემპერატურული გელი ($^{\circ}\text{C}$) ქვეფენილზედაპირზე – а), ნიადაგის ზედაპირიდან 2 მ – б), 100 მ - გ), სიმაღლეებზე და მიწისპირა წნევის (მგ გელი – д)), როცა $t = 12$ სთ.

ნახ.4.37 და 4.38-ზე ნაჩვენებია გამოთვლებით მიღებული მტკრის განაწილება ატმოსფეროს სასაზღვრო ფენაში და ტროპოსფეროში. ატმოსფეროს მიწისპირა ფენაში, 2 მ სიმაღლეზე, დამტკრიანების ზონალოკალიზირებულია უშუალოდ ქალაქების მიმდებარე ტერიტორიაზე. დამტკრიანება მაღალია ქ.ქ. თბილისისა და რუსთავის მახლობელ ტერიტორიებზე. ქ. თბილისის შემთხვევაში კონცენტრაცია 0.1-1 ზღვა მიღებულია დაახლოებით 10 კმ მანძილზე, ქ. რუსთავის შემთხვევაში კი 2-4 კმ მანძილზე. კონცენტრაცია 0.1-0.01 ზღვა მიღებულია ქ.ქ. თბილისის, რუსთავის, გარდაბნის, მარნეულის, ბოლნისის და მცხეთის მიმდებარე 40 კმ სიგანისა და 60 კმ სიგრძის მართკუთხედის ფორმის ერთიან არეში. ქალაქების შემთხვევაში კონცენტრაცია 0. 01 ზღვა მიღებულია ქალაქებიდან დაახლოებით 2 კმ მანძილზე.

10მ სიმაღლეზე მტკრის გავრცელება თვისობრივად ანალოგიურია 2მ სიმაღლეზე მიღებული სურათის (ნახ.4.37 ბ). განსხვავება, მხოლოდ დამტკრიანების ზონის ზომებშია. სიმაღლის ზრდასთან ერთად კონცენტრაცია სწრაფად მცირდება. მიწის ზედაპირიდან 100 მანძილზე მიღებული კონცენტრაციის მაქსიმალური მნიშვნელობა აღწევს 2ზღვას, 3კმ-ზე 1ზღვას. 6კმ სიმაღლეზე მიღებულია დამტკრიანების მეტად მცირე კონცენტრაცია 0.001ზდაკქარის მიღებული ფორმირებული გელი განსაზღვრავს დამტკრიანების გავრცელების მიმართულებას. ქ. თბილისის მიმდებარედ არსებული ქალაქების მტკრი ატმოსფეროს ქვედა 100მ ფენაში გადაიტანება სამხრეთ-დასავლეთისა და სამხრეთის მიმართულებით. მოდელირების რეგიონის დასავლეთ ნაწილში განლაგებული ქალაქების მტკრი გადაიტანება ჩრდილოეთის მიმართულებით. 100მ-ის ზევით მტკრის გავრცელება ხდება ერთიანი ღრუბლის სახით ჩრდილო-დასავლეთის მიმართულებით (ნახ.4.38).



ნახ.4.37 ატმოსფეროში მტგრის კონცენტრაციის განაწილება ნიადაგის ზედაპირიდან
2 - (a), 10 - (b), 100 - (c) და 600 - (d) სიმაღლეებზე, როცა, $t = 12$ სთ.



ნახ.4.38 ატმოსფეროში მტგრის კონცენტრაციის განაწილება ნიადაგის ზედაპირიდან
3 - (a) და 6 - (b) კმ სიმაღლეებზე, როცა $t = 12$ სთ.

4.4 პიდროთერმოდინამიკური ველების და ურბანული მტგრის დროითი და სივრცითი ეგოლუცია ფონური ჩრდილოეთის ქარის დროს

მოდელირებული და შესწავლილია კახეთის ტერიტორიაზე ატმოსფერული პროცესების განვითარება და ქალაქებში არსებული მტგრიანობის გავრცელება ჩრდილოეთის ფონური

სტაციონალური ქარის დროს ზაფხულის სეზონში. ამისათვის, პარამეტრები $u_{fon}=0$; $v_{fon}=-23.2$ მ/წ; $\Delta T_x=7.5 \cdot 10^{-6}$ 0გრად/მ; $\Delta T_y=0$;

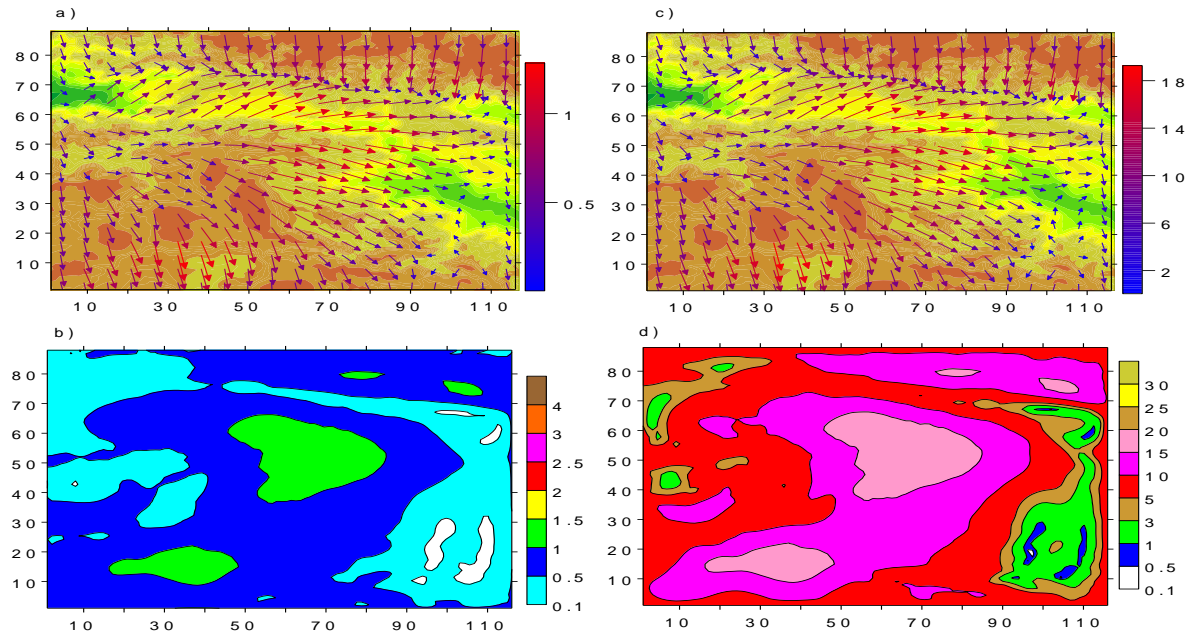
ფონური წნევა განსაზღვრულია კვაზისტატიკის განტოლებით, ხოლო შესაბამისი ფონური ქარის სიჩქარე გამოთვლილია გეოსტროფიული ქარის განტოლებებიდან და მისი მნიშვნელობა იცლება 5 მ/წმ-დან 10 მ სიმაღლეზე, 20 მ/წმ-დან ტროპოპაუზაზე, შესაბამისად.

ნახ.4.39-4.45-ზე ნაჩვენებია გამოთვლებით მიღებული ლოკალური მეტეოროლოგიური კელების სივრცითი და დროითი განაწილებების სურათები როცა $t = 12$ სთ.

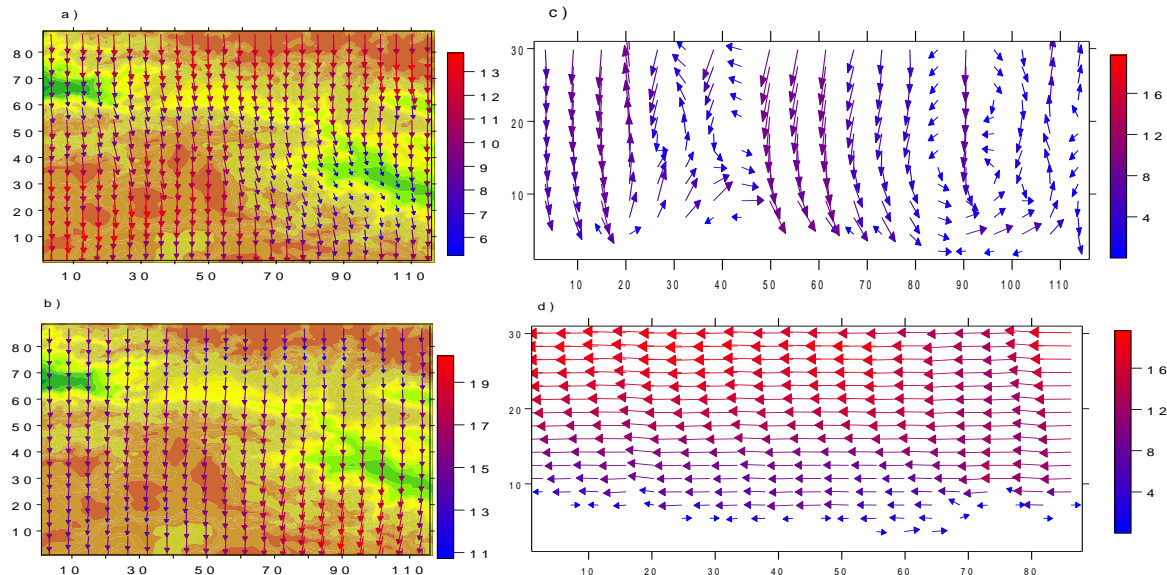
ნახ. 4.39-ზე ნაჩვენებია ქარის სიჩქარის კვექტორი და მოდული $z = 10$ მ - a), b) და $z = 100$ მ სიმაღლებზე - c), d), შესაბამისად. ნახაზებიდან ჩანს, რომ რელიეფის ზემოქმედებამ ფონური ჩრდილოეთის ქარზე ატმოსფეროს მიწისპირა ფენაში, გამოიწვია სიჩქარის ველის მნიშვნელოვანი ცვლილება კავკასიონის მთავარ ქედსა და თრიალეთის ქედს შორის არსებულ ტერიტორიაზე. ჩრდილოეთის ქარი მიღებულია მხოლოდ მთავარი კავკასიონის ქედის სამხრეთ კალთებზე და თრიალეთის ქედის ნაწილზე, რომელიც მდებარეობს მოდელირების არის სამხრეთ აღმოსავლეთ ნაწილში. დანარჩენ ტერიტორიაზე მიღებულია სამხრეთ-დასავლეთის, დასავლეთის და ჩრდილო დასავლეთის სუსტი ქარები. აღსანიშნავია, კავკასიონის მთავარიქედის სამხრეთ კალთის მიდამოებში მტკვრის ხეობის გასწვრივ, მკვეთრად გამოყოფილი ჰაერის ნაკადის წარმოშობა. აღნიშნულ ტერიტორიაზე ქარის სიჩქარე არაა დიდი. 10 მ სიმაღლეზე ძირითადადმიღებულია სუსტი ქარი, რომლის სიდიდე არ აღემატება 1 მ/წმ-ს. 100 მ სიმაღლეზე ქარის სიჩქარის მაქსიმალური მნიშვნელობა 15 მ/წმ-ია. მიწის ზედაპირიდან 10 მ და 100 მ სიმაღლეზე (ნახ. 4.39 c) და დ) ქარის სიჩქარის სივრცული განაწილება ერთმანეთის მსგავსია. მიწისპირა ფენაში ქარის მიმართულების და სიდიდის ცვლილება ანალოგიურია პლანეტარული სასაზღვრო ზონისათვის დამახასიათებელი ცვლილების.

თავისუფალ ატმოსფეროში ქარი ინარჩუნებს ფონური ქარის მიმართულებას (ნახ. 4.40). სიმაღლის ზრდასთან ერთად იცვლება ქარის სიჩქარის მოდულის ზედაპირული განაწილება. 3 კმ სიმაღლეზე ქარის სიჩქარე მარალია მთავარი კავკასიონის ქედის სამხრეთ კალთებისა და ჯავახეთის ზეგანის მიდამოებში. ამ რაიონებში სიჩქარე აღწევს 13 მ/წმ-ს. სიჩქარე შედარებითნაკლებია მდ. მტკვრის გასწვრივ მდებარე არეში. მიწის ზედაპირიდან 6 კმ სიმაღლეზე ქარის განაწილება განსხვავებულია 3 კმ სიმაღლეზე მიღებული განაწილების. ის მაქსიმალურია (19-20 მ/წმ) თრიალეთის ქედის სამხრეთ აღმოსავლეთ კალთის მიდამოებში. ოროგრაფიის გარსდენის მოვლენისათვის დამახასიათებელი ტალღური და გრიგალური მოძრაობების წარმოშობა, როგორც სასაზღვრო ფენაში, ასევე თავისუფალ ატმოსფეროში წარმოდგენილია ნახ. 4.40 c), d) და ნახ. 4.41- 4.42-ზე.

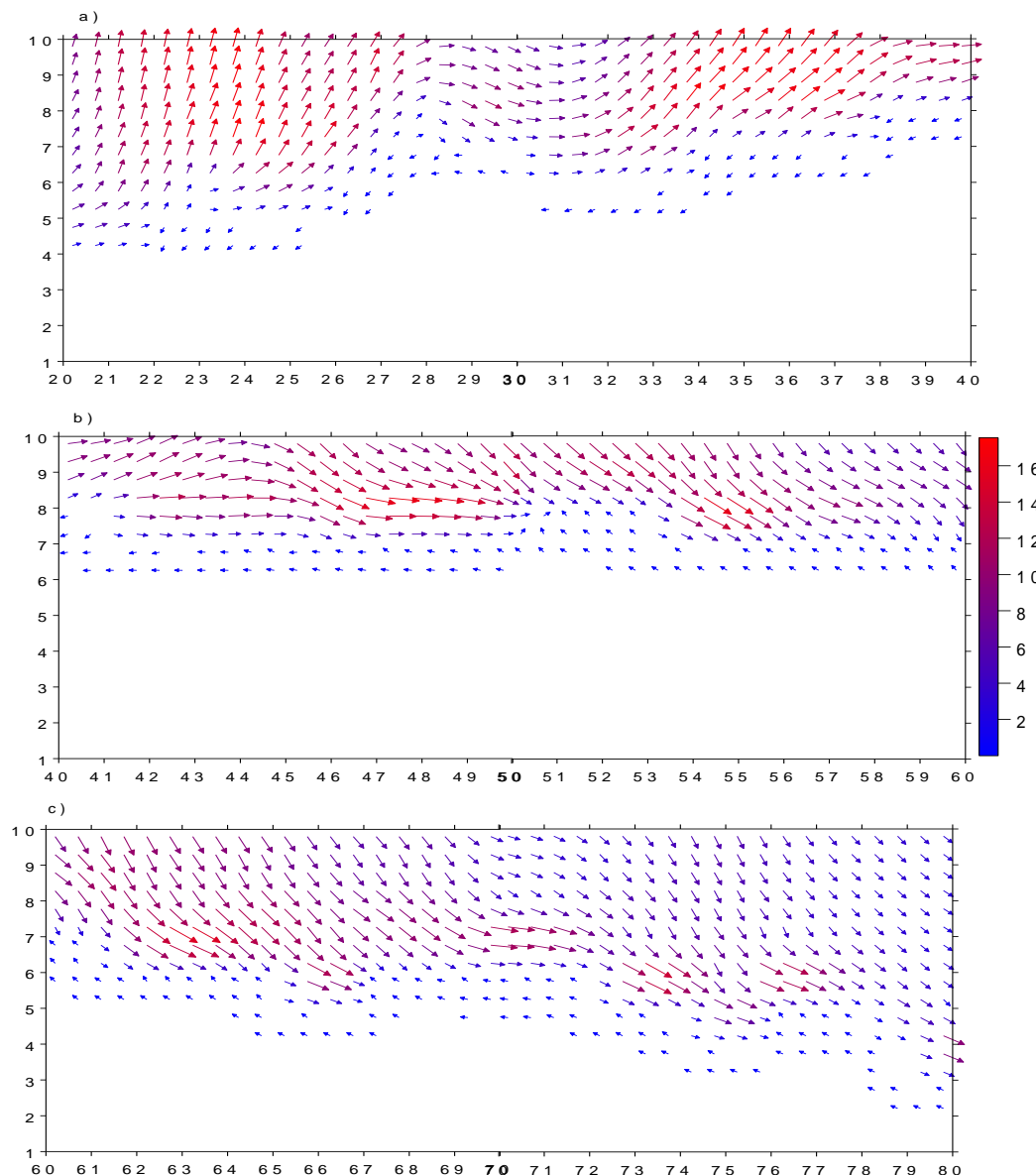
ატმოსფეროს სასაზღვრო ფენაში ვერტიკალური გრიგალები უფრო მკაფიოდ არიან გამოსახული, ვიდრე ტალღები თავისუფალ ატმოსფეროში. ფონური დინების გასწვრივ მიმართულ (მერიდიანულ) სიბრტეში მიღებულია დაახლოებით 40 კმ სიგანისა და 1 კმ სისქის ციკლონური გრიგალი. ის ფორმირებულია კავკასიონის ქედის სამხრეთ კალთისა და ქართლის ვაკის თავზე არსებულ სივრცეში. ასევე მიღებულია მცირე ზონის ცალკეული მერიდიანული და ზონაღური გრიგალები, უშუალოდ ქავენილი ზედაპირის მიმდებარე სივრცეში.



ნახ. 4.39. ქარის სიჩქარის გექტორი და მოდული $z = 10$ გ – a), b) და $z = 100$ გ სიმაღლეებზე – c), d), შესაბამისად, როცა $t = 12$ სთ.



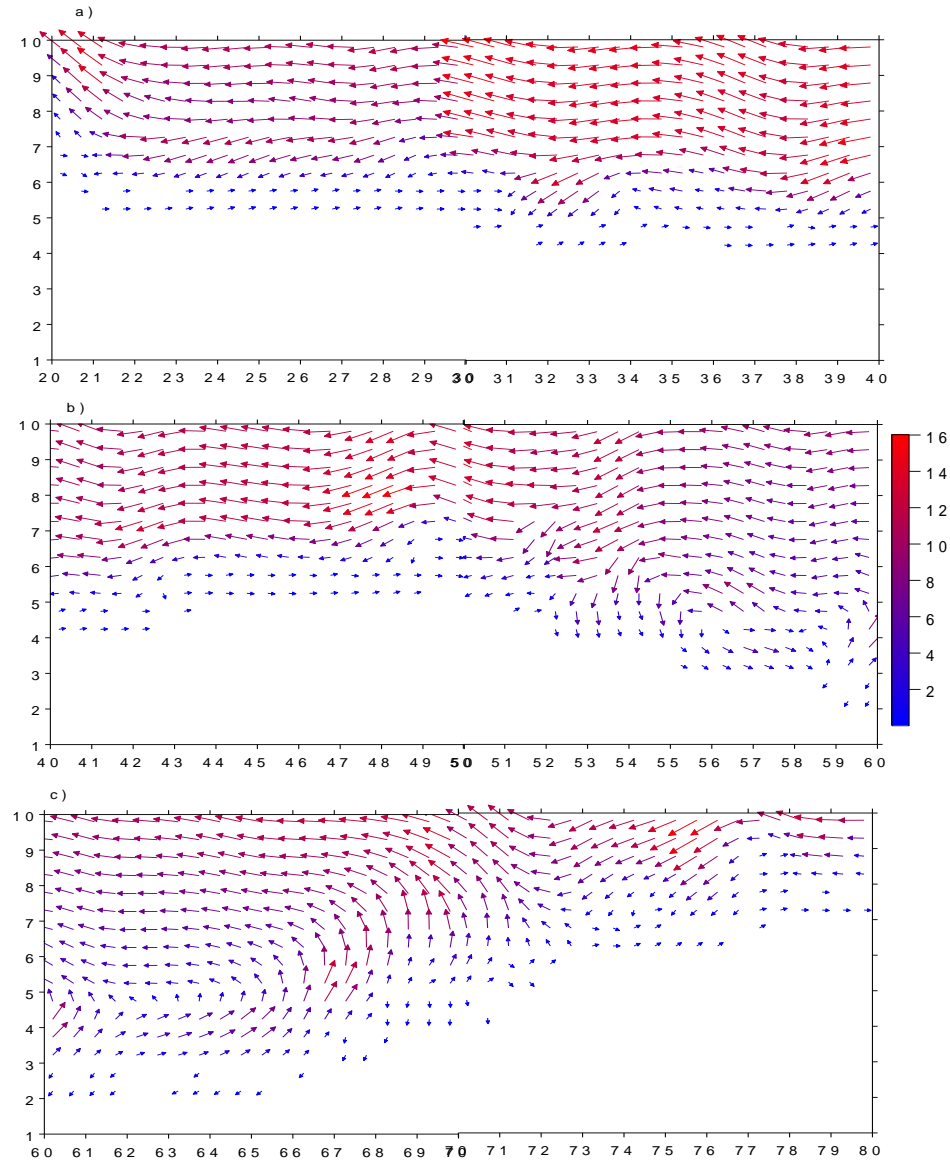
ნახ. 4.40. ქარის სიჩქარის გექტორის და მოდულის გელები $z = 3$ კგ
სიმაღლეზე, – a) და 6 კგ სიმაღლეზე – b). ქარის სიჩქარის გექტორის პარალელის გასწვრივი
მდგენელ X Oz სიბრტყეში, როცა $Y = 50$ – c) და მერიდიანული მდგენელი
YOZ სიბრტყეში, როცა $X = 60$ – d), როცა $t = 12$ სთ.



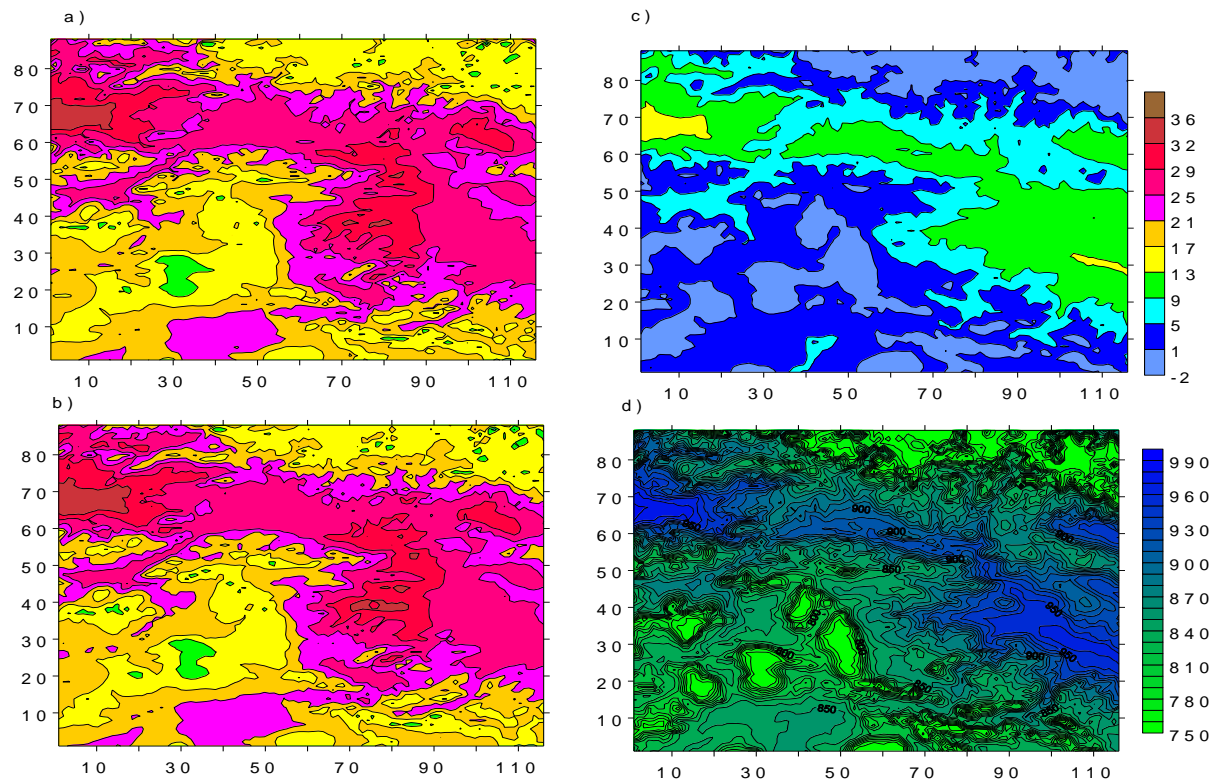
ნახ. 4.41. ქარის სიჩქარის ვექტორის ზონალური გეგმილი ატმოსფეროს სასაზღვრო ფენაში XOZ სიბრტყეში $z \leq 3$ კმ სიმაღლეზე $y = 50$ და როცა $20 \leq x \leq 40$ – a), $40 \leq x \leq 60$ – b) და $60 \leq x \leq 80$ – c), როცა $t = 12$ სთ.

ნიადაგის ტემპერატურა იცვლება $19-36^{\circ}\text{C}$ ფარგლებში (ნახ.4.43). ტემპერატურის მაქსიმალური მნიშვნელობები მიღებულია კოლხეთის დაბლობის ტერიტორიაზე ($34-36^{\circ}\text{C}$), ქქ. თბილისი, რუსთავი გარდაბნის მიმდებარე ტერიტორიებზე და მდ ალაზნის მიდამოებში ($30-32^{\circ}\text{C}$). მიმიმალური ტემპერატურა მიღებულია $9-13^{\circ}\text{C}$ მიღებულია ჯავახეთის ქედის მიდამოებში. 28 სიმაღლეზე ტემპერატურა ახლოსაა ნიადაგის ტემპერატურასთან. მნიშვნელოვანი გასხვავება ატმოსფეროს ტემპერატურებს შორის მიადაგის ზედაპირიდან 2-დან და 100მ სიმაღლეებზე. 100 მ სიმაღლეზე მინიმალური ტემპერატურა შეადგენს -12°C და ისინი მიღებულია მთავარი და მცირე კავკასიონის ქედების მიდამოებში. თავისუფალ ატმოსფეროში ტემპერატურის ზოგადი მერიდიანული განაწილება დეფორმირებულია ქვეყნილი ატმოსფეროს

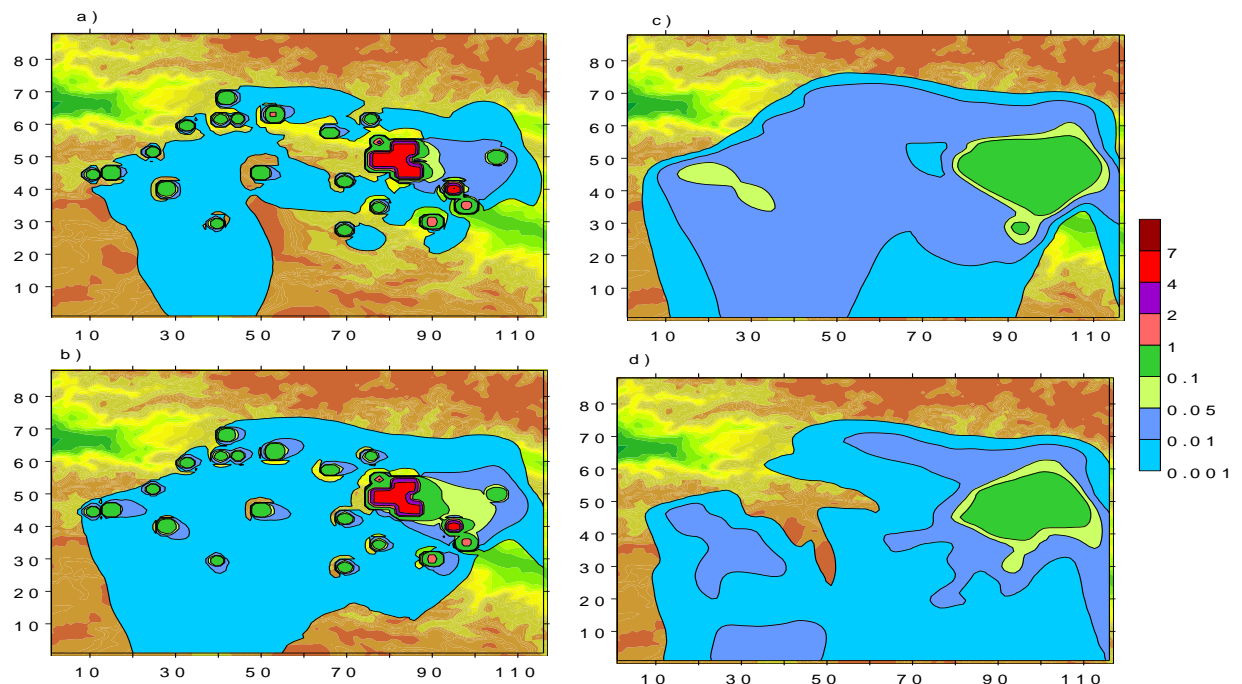
სასაზღვრო ფენასა და ქვედა ტროპოსფეროში მიმდინარე ადვექტიური და ტურბულენტური სითბოგადატანის პროცესებით. ამ ეფექტებით გამოწვეული ტემპერატურის მატება დაახლოებით $2\text{--}4^{\circ}\text{C}$ -ის ინტერვალშია.



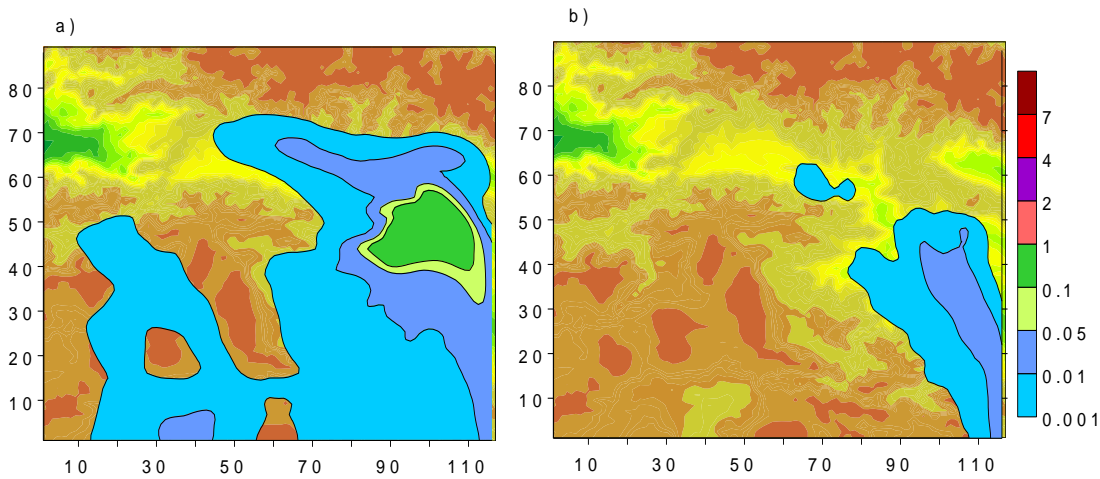
ნახ. 4.42. ქარის სიჩქარის გექტორის მერიდიანული გეგმილი ატმოსფეროს სასაზღვრო ფენაში YOZ სიბრტყეში $z \leq 3$ კმ სიმაღლეზე $x = 60$ და $20 \leq y \leq 40$ – a), $40 \leq y \leq 60$ – b) და $60 \leq y \leq 80$ – c), როცა $t = 0$ სთ.



ნახ. 4.43. ტემპერატურული გელი ($^{\circ}\text{C}$) ქვეფენილზედაპირზე – a), ნიადაგის ზედაპირიდან 2 მ – b), 100 მ – c) სიმაღლეებზე და მიწისპირა წნევის (მმ) გელი – d)),
 $t = 12\text{სთ.}$



ნახ. 4.44. ატმოსფეროში მტვრის კონცენტრაცია $z = 2, 10, 100$
 და 600 მ სიმაღლეებზე, როცა $t = 0$ სთ.



ნახ. 4.45. ატმოსფეროში მტვრის კონცენტრაციის განაწილება ნიადაგის ზედაპირიდან
3 - (a) დან- (b) კმ სიმაღლეებზე, როცა $t = 12$ სთ.

მიწისპირ წნევა დამოკიდებულია ოროგრაფიისაგან და მისი მნიშვნელობა იცვლება 750-1000მბ-ის ფარგლებში.

რეგიონის რთული პიდროდინამიკა ახდენს გავლენას მტვრის გავრცელებაზე ატმოსფეროში. მიწისპირა ფენაში 2მ სიმაღლეზე მდ. მტკვრის გასწვრივ მდებარე ქალაქების ხაშური, გორი, კასპი, ცხინვალი, თბილისი და რუსთავის მტვერი ვრცელდებიან აღმოსავლეთის მიმართულებით, ხოლო სამცხე - ჯავახეთის ქალაქების მტვერი ვრცელდება აღმოსავლეთის და სამხრეთის მიმართულებით. 100 და 600მ სიმაღლეზე მტვრის აღმოსავლეთით გადატანასთან ერთად პრიორიტეტულია მტვრის გავრცელება სამხრთით. 3კმ-ის ზევით მტვერი ძირთადად ვრცელდება სამხრეთის მიმართულებით, თუმცა ამ სიმაღლეებზე კონცენტრაცია მცირეა და არ აღემატება 1 ° ხდკ.

დასტვები

ჩატარებული ქიმიური ანალიზის ძირითადი შედეგები შეიძლება ასე ჩამოყალიბდეს

1. წყალსაცავების, სარწყავი არხის, გრუნტის და სასოფლო სამეურნეო ჩამონადენის წყლის pH მერყეობს 6,70-8,61 ფარგლებში. ბუნებრივი წყლების ერთ-ერთი ძირითადი მაჩვენებელი არის pH, რომელიც ბუნებრივი თუ ანთროპოგენული ფაქტორების მიხედვით საკმაოდ ცვლადია. იგი განსაზღვრავს ჟანგვა-აღდგენით პოტენციალს და მასზეა დამოკიდებული წყლის თვითგაწმენდის უნარი.
2. სიღნადის ახალი წყალსაცავის წყლის მინერალიზაცია იცვლება 239,18-791,55 მგ/ლ-ის, ხოლო ძველის - 390,45-1051,2 მგ/ლ-ის ფარგლებში. ახალი წყალსაცავის წყლის მინერალიზაცია გაცილებით ნაკლებია ძველი წყალსაცავის წყლის მინერალიზაციასთან შედარებით. გახსნილი ნივთიერებების მიხედვით (მგ/ლ-ით) წყალსაცავები მიეკუთვნებიან ზომიერ (500-1000 მგ/ლ) და მაღალ (>1000 მგ/ლ) მინერალიზაციის მქონე წყლებს.
3. სასოფლო-სამეურნეო ჩამონადენის მინერალიზაცია გაცილებით ნაკლებია და ტოლია 200 -650 მგ/ლ.
4. ქვემო აღაზმის სარწყავი წყლის მინერალიზაცია შეადგენს 299,13-420,48 მგ/ლ. მარილების ზღვრული დასაშვები შემცველობა წყალში, რომელიც გამოიყენება სასოფლო-სამეურნეო კულტურების სარწყავად შეადგენს 1გ/ლ, ამიტომ ქვემო აღაზნის სარწყავი არხის წყალი შეიძლება ჩაითვალოს სარწყავად ვარგისად. ამონიუმის იონების რაოდენობა უმნიშვნელოდ აღემატებიან ზღულ-ს ზოგიერთ შემთხვევაში.
5. გურჯანის წყალში წყლის მინერალიზაცია სიღნადის რაიონის წყლებთან შედარებით ნაკლებია და მერყეობს 238,85-678,45 მგ/ლ ფარგლებში და მიეკუთვნებიან ზომიერი (500-1000 მგ/ლ) მინერალიზაციის მქონე წყლებს. ხოლო ამონიუმის იონების კონცენტრაცია თითქმის ყველა შემთხვევაში მაღალია ზღვრულად დასაშვებ კონცენტრაციაზე, მაგრამ მისი შემცველობა არ აღემატება 0,7 მგ/ლ-ს (1,8 ზღულ). გურჯანის წყალსაცავის წყალი უმეტესად სუფთაა, E-coli-ის მნიშვნელობა თითქმის ყველა შემთხვევაში დაბალია ზღულ-ზე.
6. გრუნტის წყლების მინერალიზაცია გაცილებით მეტია ყველა წყალსაცავის მინერალიზაციაზე (5212,3-12958,0 მგ/ლ) და ის მიეკუთვნებია მაღალ მინერალიზირებულ წყლებს. ამავე დროს აღსანიშნავია ის ფაქტიც, რომ აღაზნის ველზე გრუნტის წყალი ამოსულია მაღლა 1,5-2,5 მ-მდე და შესაძლებელია მათი შედინება წყალსაცავის წყლებში.
7. აღინიშნება ნატრიუმის, ქლორისა და სულფატების იონების მაღალი შემცველობა, რაც იმის მაჩვენებელია, რომ წყალსაცავები გაშენებულია დამლაშებულ ნიადაგებზე.
8. ბიოგენური ნივთიერებებიდან მხოლოდ ამონიუმის იონები აღემატებიან შესაბამის ზღვრულად დასაშვებ კონცენტრაციას და აღინიშნულ წყლებში მერყეობს 0,368-0,78 მგ/ლ-ს ფარგლებში. ამავე დროს შეინიშნება ტენდენცია, რომ ამონიუმის იონები უფრო მეტი რაოდენობით არის ძველ წყალსაცავში, ვიდრე ახალში. ამონიუმის იონების შემცველობა ახალი წყალსაცავის წყალში 2016-2017 წწ-ში, ზოგიერთ შემთხვევაში აღემატება ზღვრულად დასაშვებ კონცენტრაციას (ზღულ), მაშინ როცა ძველი წყალსაცავის წყალში მისი კონცენტრაცია, 2017-2019 წწ-ის განმავლობაში ყოველთვის აღემატება ზღულ-ს. მაქსიმალური რაოდენობა აღინიშნება ზამთრის თვეებში და შეადგენს 0,70-0,78 მგ/ლ (1,8-2 ზღულ).
9. მძიმე ლითონების შემცველობა წყალსაცავების წყლებში ნორმის ფარგლებში დაფიქსირდა და ამ მხრივ დაბინძურებას აღგილი არ აქვს.
10. წყლის დაბინძურების შედეგად იცვლება მისი ფიზიკური თვისებები (ფერი, სუნი, სიმღვრივე), ქიმიური შედგენილობა (ორგანული და ბიოგენური ნივთიერებები, მძიმე ლითონები და სხვ), მიკროფლორა. წყლის ბაქტერიოლოგიურ სისუფთავეს აფასებენ ნაწლავის ჩხირების (E-coli) რაოდენობით 1 ლიტრ წყალში. კოლი ინდექსის მაღალი მნიშვნელობა წყლის ფერადური დაბინძურების მაჩვენებელია. ძველი წყალსაცავის წყალი დაბინძურებულია და E-coli-ი

შეადგენს 1,4 % ზღვას, ხოლო სასოფლო-სამეურნეო ჩამონადენში შედარებით უფრო მაღალია და შეადგენს 2,7 % ზღვას.

11. ქველი ანაგის ნიადაგებში მშრალი ნაშთი მერყეობს 1,800-2,000 %-ის ფარგლებში. ამავე დროს სიღრმეში მისი შემცველობა თანდათან მატულობს და მაქსიმუმს აღწევს 60-80 სმ სიღრმეზე. ეს ნიადაგი ეკუთვნის საშუალოდ და სიღრმეში ძლიერ და მეტად ძლიერ დამლაშებული ნიადაგის კატეგორიას. ხოლო გურჯაანის სოფ. ახაშნის ნიადაგებში მშრალი ნაშთი მერყეობს 0,060-დან 0,250 %-მდე. ნიადაგი, რომლის მშრალი ნაშთი <0,3%-ზე, ეკუთვნის დაუმლაშებელი ნიადაგების კატეგორიას, რასაც მიუკუთვნება ჩვენი საკვლევი ნიადაგი.
12. პუმუსის შემცველობა სოფ. ქველი ანაგის ნიადაგებში, ზედა პორიზონტში შეადგენს 2,36%, სიღრმეში თანდათან კლებულობს და 40-60 სმ სიღრმეზე შეადგენს 1,11 %-ს, ე.ი. ეს ნიადაგები პუმუსით ნაკლებად უზრუნველყოფილი ნიადაგებია.
13. ნიადაგი მდიდარია შესათვისებელი კალიუმით (50,0 მგ/100 გ ნიადაგში, სამაგიეროდ მცირეა შესათვისებელი ფოსფორის რაოდენობა). სიღრმეში მისი რაოდენობა კლებულობს და შეადგენს 30,0 მგ/100 გ ნიადაგში.
14. პიდროლიზური აზოტის რაოდენობა იცვლება პუმუსის შემცველობის მიხედვით, მაქსიმალურია ზედა პუმუსიან ფენაში და შეადგენს 4,6 მგ/100 გ ნიადაგში. სიღრმეში მისი რაოდენობა კლებულობს. ეს მიუთითებს იმაზე, რომ საკვლევ ნიმუშებში დაბალია პიდროლიზური ანუ შესათვისებელი აზოტის შემცველობა, ე.ი. ნიადაგი ითვლებიან დაბალნაყოფიერ ნიადაგებად.
15. ქველი ანაგის ნიადაგებში სპილენძის შემცველობა ზედა 0-10 სმ-იან ნიადაგის ფენაში გაცილებით მაღალია ქვედა-10-20 სმ ფენასთან შედარებით. მისი მაქსიმალური მნიშვნელობა შეადგენს 100,00 მგ/კგ, რაც 2-ჯერ აღემატება კლარკში და 5-ჯერ ნიადაგში მის საშუალო შემცველობას. სოფ. ახაშნის ნიადაგებში სპილენძის მაქსიმალური მნიშვნელობა შედგენს 49 მგ/კგ, ე.ი. 0,2,5-ჯერ აღემატება მის საშუალო მნიშვნელობას ნიადაგში.
16. სოფ. ქველი ანაგის ნიადაგში ტყვიის შემცველობის მაქსიმალური მნიშვნელობა შეადგენს 36,00 მგ/კგ-ს, რაც 2,3-ჯერ აღემატება კლარკში და 3,6-ჯერ ნიადაგში მის საშუალო შემცველობას. სოფ. ახაშნის ნიადაგებში ტყვიის მაქსიმალური მნიშვნელობა შედგენს 29,0 მგ/კგ, ე.ი. 1,8-ჯერ აღემატება კლარკის და 2,9-ჯერ მის საშუალო მნიშვნელობას ნიადაგში.
17. ვერცხლის შემცველობა დაბალია ორივე ტიპის ნიადაგში და მერყეობს მეათედი და მეასედი მგ/კგ ფარგლებში
- ჩატარებული რიცხვითი მოდელირების ძირითადი ეტაპები ასე ჩამოყალიბდა:**
18. ატმოსფეროს პიდროლემოდინამიკის და ნივთიერების გადატანა-დიფუზიის განტოლებების, ნიადაგში ტემპერატურის გავრცელებისა და სინოტივის გატოლების, წყლის არეში ტემპერატურის გავრცელების განტოლებების და შესაბამისი საწყისი და სასაზღვრო პირობების გამოყენებით დამუშავებულია აღმოსავლეთ საქართველოს ცენტრალურ ნაწილში ატმოსფერული პროცესების უვოლუციისა და მტკერის გავრცელების მათემატიკური მოდელი.
19. არასტაციონალური, არაწრფივი სამგანზომილებიანი განტოლებების რიცხვითი ინტეგრირებისათვის გამოყენებულია ცხადი შემანის და არაცხადი, გახლების მეოდეზე დაფუძნებული რიცხვითი რეალიზაციის მეთოდები.
20. დამუშავებულია მოდელის რეალიზაციის ალგორითმი, შედგენილია რიცხვითი ინტეგრირების კომპიუტერული პროგრამა კომპიუტერულ ენაზე "VIZUAL FORTRAN".
21. განსაზღვრულია ინტეგრირების არე. არის პორიზონტალური ზომებია 236,კმ \times 180,კმ \times 9,კმ ატმოსფეროში, და 236,კმ \times 180,კმ \times 2 მ ქვეფენილი ნიადაგისათვის. პორიზონტალური მიმართულებით სივრცელი ბიჯები 2 კმ-ია, ვერტიკალური მიმართულებით დაახლოებით 300 მ ატმოსფეროში და 0,1 მ ნიადაგში. დროითი ბიჯი უდრის 10 წმ-ს.

22. ჩატარებულია რიცხვითი ექსპერიმენტები. ექსრეტიმენტების მიზანი იყო გამოკვლეულიყოსაქართველოს ცენტრალურ ნაწილში β და γ მეზომასშტაბის ატმოსფერული პროცესების განვითარების ჰიდროთემოდინამიკური თავისებურებები და კინემატიკით გამოწვეული ქალაქებში განხეული მტვრის გავრცელების შესაძლო სურათები.
23. განხილულია 4 სინოპტიკური სიტუაცია: ფონური სტაციონალური დასავლეთის, აღმოსავლეთის, ჩრდილოეთის, სამხრეთის ქარების შემთხვევები. მოდელირებისას დაშვებული იყო, რომ ქალაქების ტერიტორიაზე 2 მ სიმაღლეზე კონცენტრაციების მნიშვნელობები მუდმივია და სიდიდით ტოლია საშუალო წლიური მნიშვნელობის. შესწავლილია, მტვრის გავრცელება სტაციონალური დასავლეთის ქარის დროს არასტაციონალური მტვრის წყაროების პირობებში.
24. ატმოსფეროს სასაზღვრო ფენაში, როგორც ზონალურ ასევე მერიდიანულ კვეთაში, წარმოიშვება მეზომასშტაბის ვერტიკალური ცირკულაციური სისტემები, რომელთა პორიზონტალური ზომები დამოკიდებულია ოროგრაფიისარაერთგვაროვნებაზე.
25. ატმოსფეროს სასაზღვრო ფენის ქვედა ნაწილში, ქვედებსა ან მაღლობებს შორის არსებულ დაბლობ ტერიტორიებზე, ჰაერის მოძრაობას აქვს ურთიერთ საპირისპირო მიმართულება და წარმოშობები ციკლონური ან ანტიციკლონური ტიპის ვერტიკალურ და პორიზონტალურ ოროგრაფიულ ცირკულაციურ სისტემებს. არსებულ ეფექტს ადგილი აქვს იმ შემთხვევაში თუ მსხვილმასშტაბიან ფონურ მოზრაობის სიჩქარე 1-3 მ/წმ-ის ფარგლებშია.
26. 3 მ/წმ-ზე მეტი ქარის სიჩქარის შემთხვევაში მიწისპირა ფენის დამამუხრუჭებელი მოძრაობა ვერ წარმოშობს ვერტიკალურ გრიგალებს. დინება ფონური სიჩქარის მიმართულებისა, რომელზედაც ზედ ედება სხვადასხვა სიგრძის ტალღური შეშფოთების ამპლიტუდა დიდია დიდი დახრილობის ოროგრაფიული არაერთგვაროვნების არეში და მცირდება დაბლობ და გაკე ტერიტორიების თავზე
27. თავისუფალ ატმოსფეროში ოროგრაფიისა და ქვეფენილი ზედაპირის თერმიული ზემოქმედების გავლენა ფონური ქარზე სიჩქარეზე გლიდება ზონალური ტალღური შეშფოთებების წარმოშობასა და ვერტიკალური მერიდიანულ სიბრუნვი მეზომასშტაბის გრიგალლების ფორმირებაში.
28. ვერტიკალური გრიგალური სტრუქტურები, რომლებიც წარმოიშვებიან მთაგორიან არეში მიწისპირა ტემპერატურულ ველთან ერთად როგორ აძლიერებენ, ასევე ასუსტებენ თემიული რეჟიმით გამოწვეულ მთა-გორის ქარებს.
29. მიწისპირა ქარის სიჩქარეების განაწილება აჩვენებს, რომ თერმიული რეჟიმის დღედამურმა ცვლილებამ შეძლება გამოიწვიოს ქარის ვერტიკალური განაწილების ცვლილება – მინიმალური მიწისპირა ტემპერატურის დროს ფორმირებული შტილური მდგომარეობა შეიცვალის არაშტილური სიტუაციით მიწისპირა მაქსიმალური ტემპერატურის დადგომის მოქნებისათვის, და პირიქით.
30. β - მეზომასშტაბის ვერტიკალური საიჩქარეების ველის განაწილება ატმოსფეროს სასაზღვრო ფენაში მეტად რთული სახისაა. ის ერთის მხრივ დამოკიდებულია ფონური დინების და რელიეფის ურთიერთ თრიენტაციაზე, ფორმირებული მიწისპირა ქარის სიჩქარეზე და ტემპერატურულ ველზე ატმოსფეროს მიწისპირა ფენაში.
31. ტემპერატურის განაწილება ატმოსფეროს მიწისპირა ფენის ზევით ძირითადად დამოკიდებულია ტემპერატურის ფონურ განაწილებაზე. მასზე გარეულ ზეგავლენას ახდენს სითბოს გაცვლა ატმოსფეროს მიწისპირა ფენასა და მის ზევით არსებილ არეს შორის. ცალკეულ შემთხვევაში ეს გავლენა იწვევს ტემპერატურის გრადიენტის 100 კმ-ზე 1 - 3 გრადუსით ცვლილებას. ფონური აღმოსავლეთის ქარის დროს 3 კმ სიმაღლეზე ტემპერატურის გრადიენტი მიმართულია ჩრდილოეთიდან სამხრეთისაკენ. 6 კმ სიმაღლეზე

- ტემპერატურა მაქსიმალურია რეგიონის ცენტრალურ ნაწილში და მცირდება როგორც სამხრეთის ასევე ჩრდილოეთის მიმართულებით. 8 კმ სიმაღლეზე ტემპერატურულის გრადიენტი მიმართულია სამხრეთიდან ჩრდილოეთისკენ.
32. მიწისპირა ტემპერატურის დროითი და სირცითი განაწილება განისაზღვრება ლოკალური რელიეფით და ტემპერატურის დღედამური ცვლილებით. გამოკვეთილია რეგიონის დამახასიათებელი მიწისპირა ტემპერატურის განაწილება მომატებული და შემცირებული ტემპერატურების ზონებით. ტემპერატურის დღედამური ცვლილება იწვევს მიწისპირა ფენაში ვერტიკალურ თერმიულ და დინამიკური მდგრადობის ცვლილებას. ცვლილები ზომები დამოკიდებულია კონკრეტულ ტერიტორიაზე და მისი ზომები განსხვავდება ერთმანეთისაგან.
33. შესწავლია აღმოსავლეთ საქართველოს ცენტრალურ ნაწილში დამტკერიანების დღედამური ცვლილება 4 ძირითადი მეტეოროლოგური სიტუაციის შემთხვევაში. გამოკვლეულია მტვრის გადატან-დიფუზიის როგორც საერთო კანონზონიერებანი ასევე ცალკეულ სიტუაციებისათვის დამახასიათებელი თავისებურებები:
34. მტკერი კონცენტრირებულია უშუალოდ დაბინძურების პუნქტის მიდამოებში და დასახლებული პუნქტიდან პორიზონტალური მიმართულებით მხოლოდ მცირე მანძილზე არის გავრცელებული. დაბინძურების პუნქტიდან 2 კმ – 4 კმ მანძილზე მისი კონცენტრაცია დაახლოებით 10 ჯერ მცირდება, ხოლო უფრო დაშორებით 20 - 30 კმ მანძილზე კონცენტრაცია დაახლოებით 10^2 - 10^3 ჯერ არის შემცირებული. დამაბინძურებელი ნივთიერების ვერტიკალური ტურბულენტური გადატანა ატმოსფეროს მიწისპირა ფენაში არის უპირატესი პორიზონტალურ გადატანასთან შედარებით. ამიტომ, ატმოსფეროს მიწისპირა 100 მ ფენაში მტკერით დაბინძურებული არის ვერტიკალური სტრუქტურა ფაქტიურად უცვლელია. ის პორიზონტალური მიმართულებით მხოლოდ მცირდით არის გაფართოებული. ატმოსფეროს სასაზღვრო ფენაში ($z = 600$ მ – 1000 მ) დამტკერილი ზონის პორიზონტალური ზომები მნიშვნელოვნად იზრდება როგორც ჰაერის დინების მიმართულებით, ასევე მისი მართობული მიმართულებითაც, რაც, თავის მხრივ, მიუთითებს პორიზონტალური ტურბულენტობის მნიშვნელობაზე მტკერის პორიზონტალურ გადატანის პროცესში.
35. ჰაერის დინებისა და ტურბულენტობის დროში ცვლილება ახდენს გავლენას ატმოსფეროში ქალაქებიდან მოხვედრილი მტკერის სივრცულ განაწილებაზე. ჰაერში მტკერი ვრცელდება რეგიონის დიდ ნაწილზე. მიუხედავად ამისა, 0.1 საშუალო დღედამური ზღვ-ზე მეტი კონცენტრაცია მიიღება მხოლოდ ქქ. თბილისის და რუსთავის უშუალო სიახლოვეს. დანარჩენ ნაწილში კონცენტრაცია გაცილებით ნაკლებია 0.1 ზღვ-ზე. მტკერის გავრცელების ვერტიკალური არე შემოსაზღვრულია ატმოსფეროს სასაზღვრო ფენით, მის ზევით თავისუფალ ატმოსფეროში დამტკერიანება მიღებულია ცალკეული ლაქების სახით.

ამრიგად, ჩატარებულმა კვლევებმა პასუხი გასცა აღმოსავლეთ საქართველოს მეტეოროლოგიის მრავალ საკითხს. ამასთან წამოაჩინა საკითხები, რომლებიც მოითხოვენ შედგომ დაზუსტებასა და გაუმჯობესობას. მიზანშეცვნია კვლევის შემდგომი განვრცობა უფრო დიდი გარჩევის უნარის მქონე უ მეზომასტაბის რიცხვითი მოდელების გამოყენებით სხვადასხვა სიმძლავრისა და მიმართულების ფონური სიტუაციებისათვის.

ლიტერატურა

თავი პირველი

1. კოტარია ა., მეტეოროლოგიის საფუძვლები. თსუ გამომცემლობა. 1992.
2. http://enqisblogi.blogspot.com/2012/09/blog-post_2.html
3. <http://www.humanrights.ge/index.php?a=main&pid=17780&lang=geo>
4. <http://www.ick.ge/photogalleries/22014-i.html>
5. <http://www.ick.ge/rubrics/society/22928-i.html>
6. <http://www.ick.ge/rubrics/economics/23371-i.html>
7. Опасные гидрометеорологические явления на Кавказе. Под ред. Сванидзе Г.Г. и Цуцкиридзе Я.А., Л.: „Гидрометеоиздат”, 1980.
8. Элизбарашили Э. Ш.; Амиранияшили А.Г.; Варазанашвили О.Ш.; Церетели Н.С.; Элизбарашили М.Э.; Элизбарашили Ш.Э.; Пипия М.Г. Градобитие на территории Грузии European Geographical Studies, Vol. 2, No. 2, pp. 55-69, 2014.
9. Сулаквелидзе Г. К. Венашвили М. Г. Шахулова Л. А. Районирование территории Грузии.
10. ფიფია მ. სეტყვიანობის კლიმატოლოგია აღმოსავლეთ საქართველოში. ი.გოგბაშვილი სახლობის ოელაგის სახელმწიფო უნივერსიტეტი, 2016.
11. სახელმწიფო სამხედრო სამეცნიერო-ტექნიკურ ცენტრი „დელტა“

თავი მეორე

1. ა.თხელიძე, რ.ლიპარიტენიანი, ნ.მუმლაძე, ხ.ხომასურიძე, გ.დანელია - სოფლის მეურნეობის ქიმიზაცია და გარემოს დაცვა - თბილისი, აგრარული უნივერსიტეტისგამომცემლობა, 186 გვ., 2009.
2. გ.სუპატაშვილი - გარემოს ქიმია (ექოქიმია) - თბილისი, უნივერსიტეტის გამომცემლობა, 187 გვ., 2009.
3. ქ.ლაფერაშვილი - სურსათის უკნებლობა - საქართველოს სტრატეგიული კალუებისა და განვითარების ცენტრი, ბიულეტენი #110, გვ.3-91, 2008.
4. ა.ამირანაშვილი, ო.ვარაზანაშვილი, მ.ფიფია, ნ.წერეთელი, მ.ელიზბარაშვილი, ე.ელიზბარაშვილი - ზოგიერთი მონაცემები სეტყვიანობაზე აღმოსავლეთ საქართველოში და მისგან მიყენებულ გკონომიკურ ზარალზე - ივჯავახიშვილის სახელობის თბილისის სახელმწიფო უნივერსიტეტი, მ.ნოდიას გეოფიზიკის ინსტიტუტის 80 წლისადმი მიძღვნილი სამეცნიერო კონფერენციის შრომები, თბილისი, გვ.145-150, 2014.
5. თ.ურუშაძე - საქართველოს ძირითადი ნიადაგები - „მეცნიერება“, თბილისი, 267 გვ., 1997;
6. საკვლევ რეგიონში ნიადაგის საანალიზო ნიმუშების აღება, წერტილების ინვენტარიზაცია, რომელიც განხორციელდა ISO 10381-1 და 10381-2-ის მიხედვით;
7. ნიადაგის ნიმუშების წინასწარი დამუშავება და შესაბამისად მისი მომზადება (გაშრობა, დაფ-ხვიერება, გაცრადასხვა) ქიმიური ანალიზისათვის (ISO-11464, ISO-565);
8. წყლის საანალიზო სინჯების აღების და ტრანსპორტირების განხორციელება ISO- 5667-4:1987 სტანდარტების შესაბამისად;
9. საველე ე.წ. პირველი დღის ანალიზის ფიზიკურ-ქიმიური მაჩვენებლების (გახსნილი ჟანგ-ბადი, pH, ტემპერატურა, მარილიანობა) განსაზღვრა უშუალოდ ადგილზე მობილური აპარატით;
10. საანალიზო სინჯების ლაბორატორიული განსაზღვრა, კერძოდ: გათიონები, ანიონები, ბიოგენური ელემენტების განსაზღვრა (ISO 10304-1 :2007, ISO 7150-1, ISO 9964, ISO 6059), ჟბმ5 (ISO5815-1:2010);
11. ნიადაგის ნიმუშებში ჰუმუსის კოლორიმეტრული მეთოდით განსაზღვრა (ГОСТ 26213-91);
12. ნიადაგის ნიმუშებში საკვები ელემენტების შესათვისებელი ფორმების (N,P,K) განსაზღვრა ISO 103041 :2007 და ISO 9964-3 :2010;

13. მძიმე ლითონების (Cu, Pb და Ag) ჰემცველობის დადგენა ICP-OES -აქსიალური ინდუქტიური პლაზმის სპექტრომეტრით ISO 11885:2007სტანდარტებზე დაყრდნობით;
14. მიკრობიოლოგიური კომპონენტებიდან ტოტალური კოლოფორმების, E-coli-ს და ფეპალური სტრესტოკოკებისგანსაზღვრა ISO 7899-2, ISO 9308-1:2000 სტანდარტებზე დაყრდნობით.

თავი მესამე

1. გ. კორძახია. საქართველოს პაგა. საქართველოს მეცნ. აკად. გამომ., საქართველო, თბილისი, 1961, 240 გვ.
2. Климат и климатические ресурсы Грузиию Под ред. В. П. Ломинадзе, Г. И. Чиракадзе. Гидрометеорологическое издательство. СССР, Ленинград, 1971, 384 с.
3. ქ. ელიზბარაშვილი. საქართველოს პაგა. საქართველოს ტექნიკური უნივერსიტეტის პიდრომეტეოროლოგიის ინსტ. გამომც., საქართველო, თბილისი, 2017. 360 გვ.
4. საქართველო სპაგა, ტ.5. შიდა ქართლი, ე. ელიზბარაშვილის, რ. სამუკაშვილის, ჯ. ვაჩნაძის, გ. მელაძის რედ. პიდრომეტეოროლოგიის ინსტ. შრომები, ტ. 122, 2016.
5. <http://shidakartli.gov.ge/ge/pages/index/17>. 2019, (შემოწმებულია 29.06.2019).
6. Гигиенишвили В. М. Градобития в Восточной Грузии. Госкомгидромет, Россия, Ленинград, 1960.
7. A. P. Weigel, F. K. Chow and M. W. Rotach, "On the nature of turbulent kinetic energy in a steep and narrow Alpine valley," Boundary-Layer Meteorology Springer Science-Business Media B.V. 2006, DOI 10.1007/s10546-006-9142-9.
8. S. Kirkwood, M. Mihalikova, T. N. Rao, and K. Satheesan, "Turbulence associated with mountain waves over Northern Scandinavia – a case study using the ESRAD VHF radar and the WRF mesoscale model," Atmospheric Chemistry and Physics Discussions, vol. 9, 2009, pp. 20775–20817.
9. Г. С. Ривин, И. А. Розинкина, Р. М. Вильфанд, Д. Ю. Алферов, Е. Д. Астахова, Д. В. Блинов, А. Ю. Бундель, Е. В. Казакова, А. А. Кирсанов, М. А. Никитин, В. Л. Перов, Г. В. Суркова, А. П. Ревокатова, М. В. Шатунова, М. М. Чумаков. Система COSMO-Ru негидростатического мезомасштабного краткосрочного прогноза погоды Гидрометцентра России: второй этап реализации и развития. 2015, Метеорология и гидрология. № 6, с. 58-67.
10. Г.С. Ривин. Современные системы мезомасштабного прогноза погоды: состояние и перспективы .http://method.meteorf.ru/publ/books/80_years/rivin.pdf. 20 с.
11. Г. И. Марчук Методы вычислительной математики. М., Наука, 1980, 608 с.
12. Пененко В.В., Алоян А.Е. Модели и методы для задач охраны окружающей среды. Новосибирск: Наука, 1985. 256с.
13. Шлычков В.А. Расчет влияния выбросов Экибастузской ГРЭС на загрязнение территории Западной Сибири в результате дальнего атмосферного переноса // Оптика атмосф. и океана. 1998. Т. 11. № 6. С. 598-601.
14. Шлычков В.А., Мальбахов В.М., Леженин А.А. Численное моделирование атмосферной циркуляции и переноса загрязняющих примесей в Норильской долине . // Оптика атмосферы и океана. 2005. Т. 18. № 05-06. С. 490-496.
15. Шлычков В.А. Численная модель пограничного слоя атмосферы с детализацией конвективных процессов на основе вихреразрешающего подхода // Аэрозоли Сибири. Новосибирск: Изд-во СОРАН, 2005. 612с.
16. R. W Boubel, Donald L. F, D. B. Turner and A. C. Stern. [Fundamentals of Air Pollution - \(Third Edition\)](http://www.sciencedirect.com/science/book/9780080507071). Academic Press, 1994. 574 pp. www.sciencedirect.com/science/book/9780080507071
17. AERMOD: Latest Features and Evaluation Results. United States. Environmental Protection Agency.EPA-454/R-03-003.2003, p. 41. https://www3.epa.gov/scram001/7thconf/aermod/aermod_mep.pdf

18. M. E. Berliand: Modern problems of atmospheric diffusion and atmospheric pollution. Leningrad, Russia, (1975).
19. M.E. Berliand: Forecast and adjustment atmospheric pollution. Leningrad, Russia, (1985). Methods of Calculating Pollutant Concentrations in Atmospheric Air as Present in Factory Discharges.OND-86. Leningrad, Russia, (1987).
20. Schwere, S., A. Stohl and M. W. Rotach, 2002: Practical considerations to speed up Lagrangian stochastic particle models. *Computers & Geosciences* Vol. 28, 143-154.
21. Tinarelli, G., D. Anfossi, M. Bider, E. Ferrero and S. T. Castelli, 2000: A New High Performance Version of the Lagrangian Particle Dispersion Model SPRAY, Some Case Studies. *NATO challenges of modern society* Vol. 23A, 499-508.
22. Wilson, J. D. and B. L. Sawford, 1996: Review of Lagrangian stochastic models for trajectories in the turbulent atmosphere. *Boundary-Layer Meteorology* Vol. 78, 191-210.
23. Суркова Г.В., Кирсанов А.А., Кислов А.В., Ревокатова А.П., Ривин Г.С. Прогноз концентрации загрязняющих веществ с помощью объединенной модели COSMO-RU7-ART . Труды Гидрометеорологического научно-исследовательского центра Российской Федерации. 2014. № 352. С. 115-138.
24. Grell G. A., Prkham S. E., Schmitz R., McKeen S. A. Fully coupled „online” chemistry within the WRF model: description and applications. *Atmospheric Environment*. 2005, v. 39, Issue 37, p. 6957-6975.
25. Grell G. A., Emeis S., Stockwell W. R., Schoenemeyer T., Forkel R., Michalakes J., Knoche R., Seide W. Application of a multiscale, coupled MM5/chemistry model to the complex terrain of the VOTALD valley campaign. *Atmos. Env.* 2000, vol. 34, p. 1435-1453.
26. Karsholm U. S., Baklanov A., Gross A., Mahura A., Sass B. H., Kaas E. Online coupled chemical wheather forecasting based on HIRLAM – overview and prospective of Enviro – HIRLAM. *HIRLAM Newsletter*, 2008, No. 54.
27. G.I Marchuk: Mathematical modeling in the environmental problem. Leningrad, Russia, (1982).
28. V. V. Penenko, A. E. Aloyan: Models and methods for environmental protection tasks. Novosibirsk, Russia, (1985).
29. A. E. Aloyan: Modeling of dynamics and kinetics of gaseous admixtures and aerosols in the atmosphere. Moscow, Russia, (2008).
30. A. M. Grishin: Mathematical modeling of forest fires and new methods of struggle against them. Novosibirsk, Russia, (1992).
31. A. E. Aloyan: Modeling of aerosols dynamics during forest fires. *Izvestiya, Atmospheric and Oceanic Physics*, 45, (2009), 62-75.
32. V. A. Shlichkov, V. M. Malbakhov, A. A. Leghenin: (2005). Numerical modeling of atmospheric circulation and transfer of contaminating impurities in Norilsk valley. *Atmospheric and Oceanic Optic.* 18 (5-6), (2005), 490-496.
33. Сурмава А. А. Кваарацхелия Д. У., Кухалашвили В. Г. О возможных траекториях облаков загрязнения в атмосфере Кавказского региона. Сборник трудов Ин-та геофизики им. М. З. Нодиа. 2008, т. LX. с. 179-185.
34. Surmava A. A., Mishveladze B. A., Davitashvili T. Numerical modeling of the pollution transfer in the Caucasus atmosphere from hypothetical source in the case of the background western wind. *J. GeorgianGeoph. Soc.*, 2009.v. 13(b), pp. 15-21.
35. A. Surmava. Numerical investigation of the modeling of transportation and deposition of the radioactive pollution in the Caucasian Region in case of the hypothetical accident on the Armenian Nuclear Power Plant. *Journal of the Georgian Geophysical Society, Issue B, Physics of Atmosphere, Ocean and Space Plasma*, v.15, 2011/2012, pp. 32-45.

36. A. A. Kordzadze, A. A. Surmava, V. G. Kukhalashvili. Numerical investigation of the air possible pollution in case of large hypothetical accidents in some industrial territories of the Caucasus. Journal of the Georgian Geophysical Society, Issue B, Physics of Atmosphere, Ocean and Space Plasma, v.16B, 2013, pp. 13-23.
37. ა. კორძაძე, ა. სურმავა. ჰავი და კასპიის ზღვების სანაპირო ზონებში დამაბინბურებელი ნივთიერებების ავარიული ამოფრქვევების შემთხვევებში პარამეტრების გაცვლობის რიცხვითი მოდელირება. გ. ნოდიასგაოვიზიერის ინსტიტუტის 80 წლისტავისადმი მიღებილი საიუბილეო კონფერენციის გარემო. 2014.. გვ. 3–10.
38. Сурмава А. А., Мишвеладзе Б. А. Моделирование загрязнения воздушного бассейна г. Рустави. Труды ЗакНИГМИ (для сл. пользования). вып.2, 1985. с. 92-105.
39. Мишвеладзе Б. А., Сурмава А. А. Математическое моделирование загрязнения атмосферы Кавказа в результате аварийного выброса из гипотетического источника расположенного в окрестностях г. Поти. 2010. С. 139-143. Зилинтикович С. С., Монин А. С. Турбулентность в динамических моделях атмосферы. Л.: Наука, 1971, 44 с.
40. Марчук Г. И., Кочергин В. П., Саркисян А. Ш. И др. Математические модели циркуляции в океане. Наука: Новосибирск, 1980. 288 с.
41. Пененко В. В., Алоян А. Е. Модели и методы для задач охраны окружающей среды. Новосибирск: Наука, 1985, 256 с.
42. Дымников В. П. О параметризации балла неконвенциональной облачности в задачах фонового прогноза погоды и общей циркуляции атмосферы. Тр. ЗСРНИГМИ, 1974, вып. 11, с. 62-68.
43. Белов П. Н., Борисенков Е. П., Панин Б. Д. Численные методы прогноза погоды. Л.: Гидрометеоиздат, 1989, 376 с.
44. Гандин Л. С., Данович А. М., ЛайхтманД. Л., Мельников И. И., Рузин М. И., Соцопко Е. А., Шленева М. В. Задачник по динамической метеорологии. Л.: Гидрометеоиздат, 1967б, 218 с.
45. Чудновский А. Ф. Теплофизика почв. Москва: Наука. 1976. 352 с.
46. Казаков А. Л., Лазриев Г. Л. О параметризации приземного слоя атмосферы и деятельного слоя почвы. Изв. АН СССР. Физика атмосферы и океана, 1978, т.14, № 3, с. 257-265.
47. Марчук Г. И. Математическое моделирование в проблеме окружающей среды. Л.: Гидрометеоиздат, 1982, 320 с.
48. [31] Тавартиладзе К. А. Учёт влияния высоты местности при вычислении эффективного излучения. Тр. ЗалНИГМИ, 1970, вып. 35, с. 10-41.
49. Шуман Ф. Многоуровенная модель по полным уравнениям. Лекции по численным методам прогноза погоды. Л.: Гидрометеоиздат, 1969, с. 481-498.
50. Shuman F. G., Hovermale L. R. An operational six-layer primitive equation model.J. Appl. Mech. 1968. V. 7. No 4. P. 525-547.

თავი მეოთხე

1. Деметрашвили Д. Инестационарная задача о мезомасштабных процесах в свободной атмосфере над орографически неоднородной поверхностью земли. Изв. АН СССР. Физика атмосферы и океана т. 15, № 7, 1979, с. 699-709.
2. Сохов Т. З. О нелинейных орографических волнах в атмосфере. Изв. АН СССР. Физика атмосферы и океана т. 6, № 2, 1970, с. 115-126.
3. საქართველოს ტერიტორიაზე ატმოსფერული პარამეტრების წელიწადები. 2015. www.nea.gov.ge
4. მოკლე მიმოხილვა საქართველოს გარემოს დაბინბურების შესახებ. www.nea.gov.ge
5. Руководство по контролю загрязнения атмосферы. РД 52. 04. 57-95.